

أساسيات معالجة الصور الرقمية

تأليف
الأستاذ المساعد
هند رستم محمد شعبان
Hind_restem@yahoo.com

الفهرست

الفصل الأول المقدمة

- 1-1 معالجة الصورة
- 2-1 أنواع الصور
- 3-1 أهمية معالجة الصورة الرقمية
- 4-1 آلات التصوير الرقمية Digital Cameras
- 5-1 تخزين الصور الرقمية في الحاسوب
- 6-1 مكونات الكاميرا الرقمية

الفصل الثاني تحليل الصورة

- 1-2 تحليل الصورة Image analysis
- 2-2 عناصر نظام معالجة الصورة الرقمية
- 3-2 موديل تحليل الصورة
- 4-2 أنظمة صور الحاسوب
- 5-2 صور الحاسوب
- 6-2 العمليات الجبرية
- 7-2 تحسين الصورة (المرشحات الحيزية) Special Filteres
- 8-2 تقلیص الصور Image Quantization

الفصل الثالث تحسين الصورة الرقمية

- 1-3 تحسين الصورة Image Enhancement Techniques
- 2-3 تعديل المخططات Histogram modification
- 3-3 المدرج التكراري المخصص : Histogram specification
- 4-3 كشف الحواف للصورة Edge / Line Detection For Image

الفصل الرابع

تنعيم وحدة الصورة الرقمية

1-4 أيجاد حدة التفاصيل الصورة Image sharpening

2-4 تنعيم الصورة Image Smoothing

3-4 استرجاع (أعادة ترميم الصورة) Image Restoration

4-4 تحسين الصورة حسب المجالات

الفصل الخامس

ضغط الصورة الرقمية

1-5 ضغط الصور Image Compression

2-5 نسبة الضغط Compression ratio

3-5 معايير الدقة أو مقاييس التقييم (الموثوقية) Fidelity criteria

4-5 طرائق الضغط للصورة الرقمية

1-4-5 طرق الضغط بدون فقدان البيانات Lossless data compression

2-4-5 طرق الضغط الحاوية على فقدان البيانات Lossy Compression Methods

الفصل السادس

بعض تطبيقات معالجة الصورة الرقمية

1-6 مقدمة

2-6 التعرف على بعض المجالات التطبيقية في موضوع المعالجة الرقمية للصور

3-6 تطبيقات المعالجة الرقمية للصور

4-6 التداخل الترددية وأشكال موير

5-6 بعض العلاقات الأساسية بين مجموعات العناصر

6-6 مقاييس المسافة

7-6 تمييز الأنماط ومعالجة الصور Pattern Recognition and Image Processing

8-6 تشفير صورة باستخدام خوارزمية جديدة لتحديد وتشفيت حواف ألوان الصورة

9-6 تشفير الفونيمات الصوتية التوفيقية والاحتاكية داخل صورة مشفرة

الملاحق

جميع البرامج الخاصة بمعالجة الصورة الرقمية

الفصل الأول

المقدمة

١-١ معالجة الصورة:

معالجة الصورة (Image Processing) هي تمثيل للصور الثنائية الأبعاد على الحاسوب بواسطة الصفر والواحد (01)، وت تكون كل صورة رقمية على الحاسوب من البكسل (Pixel) وهو أصغر وحدة في الصورة وكل صورة تحتوى على صفوف وأعمدة من البكسلات وكلما زادت عدد البكسلات كلما كانت الصورة أوضح.

تعرف معالجة الصورة أيضاً بأنها أحد فروع علم الحاسوب (المعلوماتية)، تهتم بإجراء عمليات على الصور بهدف تحسينها طبقاً لمعايير محددة أو استخلاص بعض المعلومات منها.

يتتألف نظام معالجة الصور التقليدي من ستة مراحل متتالية وهي على الترتيب:

1. استحصل الصورة (image acquisition) بواسطة حساس ضوئي (على سبيل المثال آلة تصوير، حساس ليز وغير ذلك)
2. المعالجة الابتدائية (pre-processing) كتصفية الصورة من التشوش
3. تقسيم الصورة (segmentation) لفصل المعلومات المهمة على سبيل المثال أي جسم في الصورة عن الخلفية
4. استخلاص المميزات (features extraction) أو الصفات
5. تصنیف المميزات (classification) وربطها بالنمط الذي تعود إليه و التعرف على الأنماط
6. فهم الصورة (image understanding)

وتشتمل نظم معالجة الصورة في الكثير من التطبيقات ولا سيما تطبيقات التحكم الآلي، الإنسان الآلي والخ.

يمكن أن تستخدم معالجة الصورة الرقمية لتحديد التفاصيل الخاصة بإضاعة صورة معينة أو تحديد هيكل الصورة بالمقابل من خلال قيم (مايكرو سكوب) دقة والتي من خلالها يتم استخراج قيم للصورة الرقمية يمكن أن تأخذ من خلال خرائط للصور، مثلاً صور الستلايت أو صور القمر الصناعي.

كما يمكن أن تحول و تعالج الصور من خلال الحاسوب بصيغ رقمية من خلال عدة مصادر :

-1 Camera digital الكاميرا الرقمية : تحول الصور إلى صور رقمية ذات دقة متناهية وشدة الوضوح اللوني للصور.

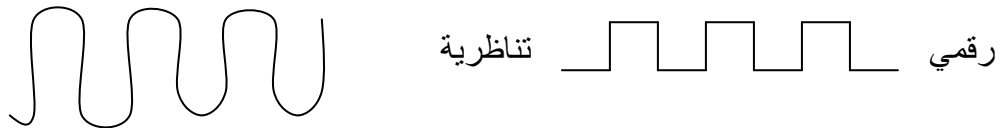
-2 Any photo Graph أي فوتوغراف يمكن أن يحول الصورة إلى صيغة رقمية مثل ال Scanner

-3 Photoshop

برنامج يضيف بعض التعديلات على الصورة سواء إضافة أو حذف أو أي تعديل يناسب ذلك .

-4 برنامـج الكورول (Corel Draw) :

Note : البيانات المدخلة هي تناظرية وليسـت رقمـية والشكل أدـناه يوضـح ذلك



شكل(1): الإشارة الرقمية والنظالية

أنواع أو حقول معالجة الصورة

- | | |
|------------------------------|----------------------------|
| 1- Image restoration | أعادة مكونات الصورة |
| 2- Image enhancement | تحسين الصورة |
| 3- Image compression | ضغط الصورة |
| 4- Image segmentation | تقسيم الصورة |

الصورة الرقمية سوف تأخذ الصيغة المحددة بمصفوفة $(I_{x,y})$ أي تكون مصفوفة الصورة هي $I(r,c)$ حيث تمثل بقيمتين هي point أو pixel (r,c) هي ل نقطة واحدة $I(r,c)$ هي لنقاط المصفوفة كاملة لكل الأعمدة والصفوف هذه النقاط تمثل بمصفوفة تأخذ أبعاد أي ذات بعدين (two dimension)



حيث أن الصورة هنا سوف تحول إلى صيغة رقمية بطريقتين

1- الطريقة الأولى : الإحداثيات الحيزية Spatial coordinate
حيث أن الصورة تكون على شكل عينات (Image sampling) تعتمد على قيم الصورة الخاصة (أي مباشرة قيم الصورة نفسها)

2- الطريقة الثانية Amplitude domain
 تعتمد هذه الطريقة على كميات المستوى الرمادي يعني (Gray level quantization) أي تعتمد على المستويات : مثلاً 3 مستويات فيكون عدد المستويات الرمادي يمكن إيجاده بالقانون التالي وهو

عدد المستويات الرمادية

$$2^3 = 8$$

لهذا السبب سوف تتولد لدينا مصفوفة ذات حجم $(N^*N)I$ حجمها N^*N وهي أبعاد الصورة .

يستخدم القانون أدناه لإيجاد عدد البتات التي تحتاجها مصفوفة الصورة الرقمية .

حيث أن (M) هي عبارة عن عدد البتات المطلوبة والتي تمثل كل مستوى رمادي .
 عدد البتات الكلية للصورة هو B
 وعدد بتات كل مستوى رمادي هو M
 N,N هي أبعاد الصورة

مثال // إذا كان لديك 6 بت يعني $(128 * 128)$ مصفوفة صورة

١- أوجد عدد المستويات الرمادية المطلوبة للصورة

2- أوجد عدد البتات لصورة كاملة

الحل //

$$Ng = 2^n = 2^6 = 64 \quad 1 - \text{استخراج عدد المستويات الرمادية}$$

$$\begin{aligned} \mathbf{B} &= \mathbf{N} * \mathbf{N} * \mathbf{M} \\ \mathbf{B} &= 128 * 128 * 6 \end{aligned} \quad -2$$

8 : عدد البتات في المستوى الواحد معطى بالسؤال
 يجب أن تكون هنالك دقة في الخزن وعدد البتات للخزن هي 6 بتات أي 6 مراتب وبجانب آخر
 الرقم المستخرج كبير جدا لذلك يجب أن يحول إلى
 كالآتي $9.8304 * 10^4$
 10^4 لأن زحفنا الرقم أربع مراتب لكي أحصل على أقل رقم للخزن .

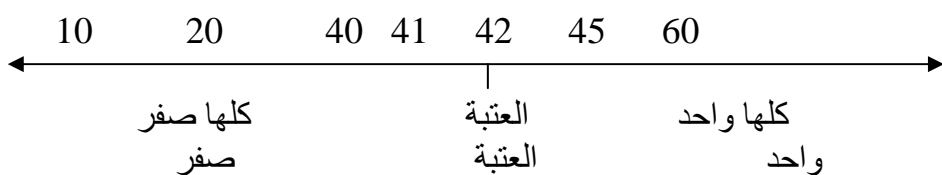
2-1 : أنواع الصور (Type of Images)

تقسم الصور الرقمية إلى الأنواع التالية

1- الصورة الثنائية (Binary Image)

قيم الصورة بعد تحويلها تكون كلها أما أصفار أو واحد أما أسود أو أبيض يمكن تحويل كل أنواع الصور إلى الصور الثنائية عن طريق ما يسمى بالعتبة (Threshold) قبل العتبة هو صفر وبعد العتبة هو واحد

// مثال



نأخذ العتبة هنا على طريقتين

12	14	28
40	5	9
15	20	7

الطريقة الأولى : هي أن نختار أي رقم من الأرقام وهو مثلاً الرقم 15 فكل رقم أقل من 15 هو صفر يمثل بالمصفوفة وكل رقم أكبر من 15 هو واحد

0	0	1
1	0	0
1	1	0

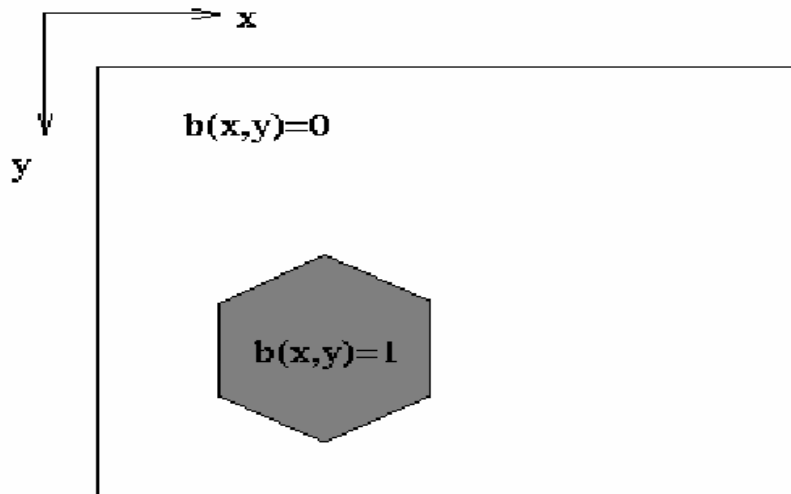
فتصبح تمثيل المصفوفة كالتالي

الطريقة الثانية : نأخذ أقل رقم من المصفوفة وأكبر رقم من المصفوفة ونجمعهم ونقسمهم على 2 وبالمثال أقل قيمة هي 5 وأكبر قيمة هي 40 إذن $22.5 = 2 \div 45 = 5 + 40$ لذلك تكون العتبة 22 ونكتب المصفوفة

0	0	1
1	0	0
0	0	0

العتبة هنا 22

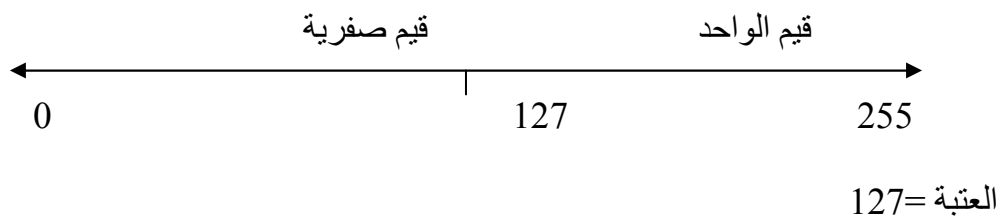
الصورة الثنائية هي أبسط أنواع الصور تتمثل باللونين الأبيض والأسود أو يرمز له بالصفر أو الواحد ، فالصورة الثنائية يمكن أن يشار إليها بالمعنى (1 bit per pixel) كل بكسل يأخذ قيمة واحدة مثل الصفر بكسل واحد ، وكذلك يمكن تكون هذه الصورة من أنواع الصور الأخرى مثل صورة المستوى الرمادي وذلك باستخدام ما يسمى بالعتبة كل باند (Band) يقابل لون واحد ، ملاحظة الصورة الرقمية الثنائية لا تمتلك لون ثالث بل فقط الأبيض والأسود



شكل(2): صورة ثنائية

2- النوع الثاني Gray_Scale_Image

يمثل هذا من الصور على أساس لون واحد للصورة أو ما يسمى بال (Monochrome) حيث يمتلك معلومات عن الإضاءة للصورة فقط ولا يمتلك معلومات عن اللون هذه المعلومات الخاصة بإضاءة مستويات الصورة تمثل ب 8bit على الكسل للبيانات لمختلف المستويات يعني $2^8 = 256$ يعني من 0 إلى 255 من مستويات الإضاءة المختلفة هذا النوع من أنواع الصور سهل التحويل إلى الصورة الثنائية





شكل(3): صورة نوع Gray _Scale _Image

3- النوع الثالث Color Image

الصورة الملونة تمتلك موديل معين يتكون من (3 Bands) (كل باند لون واحد) يعني ثلاثة ألوان أحادية للصورة كل لون يشار له بتمثيل معين هي الأحمر Red والأخضر Green والأزرق Blue يسمى (RGB) كل لون يأخذ 8 بت إذن الصورة الملونة تمتلك 24 بت (pixel)



شكل(4) (صور ملونة

4- النوع الرابع Multi spatial Image

الصورة متعددة الأطياف : تأخذ من قبل الآلات تصوير خاصة توجد فيها العديد من الـ Band الباندات قد يصل في بعض الأحيان إلى مئات من الباندات وعند العمل عليها تسقط هذه الباندات بطريقة معينة تسمى (Mapping) التخطيط أو التبويب بحيث تقابل النوع الثالث من الصور . يعني تصبح من متعددة إلى صورة ملونه (أي يجمع مثلاً تدرجات الأحمر تدمج باللون الأحمر) وذلك بعملية الإسقاط على الصورة لكي تصبح للصورة ثلاثة ألوان أساسية فقط .

1-3 اهمية معالجة الصورة الرقمية

توجد أهمية كبيرة لمعالجة الرقمية للصور في ميدان (إدراك الصورة) أي عندما نحاول مثلاً أن نجعل الحاسوب أو الرجل الآلي يفهم الصورة ولها أهمية في ميدان (التعرف على الأنماط) أو الأشكال.

أن للتعرف على الأنماط أهمية كبيرة في المعالجة الآلية للصور التي تلتقطها المكواكب لسطح الأرض حيث يمكن استخدامه في المجالات العسكرية وفي الملاحة إعتماداً على خرائط أو صور من الأرض.

تعامل الصورة كإشارة ويتم تطبيق طرائق المعالجة الرقمية للإشارة عليها من خلال المرشحات (الفلاتر) التعرف على أنماط أو أجسام ضمن الصورة مثلاً تحسس وجود أورام في صورة شعاعية .

عندما تلتقط الصور، تقوم الكاميرا بحفظها على الوسيط الرقمي ضمن أحد النساقات التالية:

JPEG -1

النساق JPEG اختصار للعبارة (Joint Photographic Experts Group)، ويعتبر النساق الأكثر شعبية وانتشاراً لا سيما لعرض الصور على الانترنت. المصطلح "JPEG" يستخدم عادة لوصف النساق الملفي JFIF والذي هو اختصار لـ (JPEG File Interchange Format). إن JFIF هو الشكل الفعلي للملفات الحاوية على صور مضغوطة وفق نظام JPEG في الوقت الحالي تستخدم ملفات JFIF الحديثة نفس التمدد jpg ولكن هناك اتجاه بتغيير التمدد إلى Jif في الأنظمة المستقبلية.

يستخدم JPEG آلية ضغط متغيرة، حيث تستطيع التحكم بدرجة الضغط عند التخزين، للحصول على حجم ملف مناسب، حتى أنه يمكنك الحصول على حجم ملف صغير جداً ولكن طبعاً مع ضعف في جودة الصورة .

يدعم النساق JPEG نظام عمق لوني لغاية (24 بت 16) مليون لون، في حين أن العمق اللوني للنساق Gif محصور ب 8 بت 256 لون.

يتم الضغط عبر وحدات (blokates) تتكون من ثمانية بكسلات. تستطيع رؤية هذه البlokات عندما تختار أعلى درجة من درجات الضغط، أو عندما تقوم بتكبير الصورة إلى قياس كبير جداً.

يعلم JPEG وفق آلية ضغط ثنائية المراحل . هذا يعني أنه يحتاج إلى وقت أطول من أجل تحميل وعرض الصورة. بعد عدد من المرات، تضيع التفاصيل الدقيقة والدرجات اللونية.

يفضل حفظ الصور الأصلية وفق نساقات غير مضغوطة مثل TIFF أو BMP وبأقصى عمق لوني متوفّر. عندما تقوم بحفظ الصورة وفق النساق Jpeg فإن التغيير الحاصل على الصورة لا ينعكس على الشاشة مباشرة، ولكن فقط بعد أن تقوم بتحميل الصورة من جديد.

TIFF اختصار لـ (Format Tag Image File)، صممتها شركة Aldus في الأصل لحفظ الصور المستوردة من الماسح الضوئي (Scanner) أو من برامج المعالجة. انتشر هذا النساق بشكل واسع، وشاع نساق نقل الصور دون أن يكون مرتبط بمساح ضوئي معين أو طباعة أو برنامج معالجة. النساق TIFF يحظى بشهرة واسعة أيضاً مع تطبيقات النشر الاحترافية. هنالك عدة صيغ للنساق TIFF تدعى توسيعات (extensions)، من هنا تظهر بعض المشاكل عند محاولة تحميل أحدها عن طريق الآخر. بعض التوسيعات تتعامل بآلية ضغط من النوع LZW التي لا تضعف الصورة بتاتاً. نساق TIFF يدعم عمق لوني 24 بت كحد أقصى.

CCD RAW - 3

تقوم الكاميرا بمعالجة بيانات الصورة التي تسجلها الخلية الضوئية CCD وحفظها في أحد النساقات. بعض الكاميرات تسمح بحفظ البيانات الخام (غير معالجة وغير مضغوطة) في نساق يسمى CCD RAW أو اختصاراً (CRW). هذه البيانات تحتوي على كل شيء التقطته الكاميرا. وبدلاً من معالجة هذه البيانات داخل الكاميرا، حيث قوة المعالجة وحيز العمل محدودين. تتم معالجة البيانات الخام وتحويلها إلى الصورة النهائية عن طريق حاسوب خارجي. أن حيز العمل الواسع وقوة المعالجة التي يتمتع بها الحاسوب الخارجي من شأنها التأثير إيجاباً على جودة الصورة في المحصلة النهائية.

أحد أهم خصائص ملفات النساق CCD RAW الناتجة عن كاميرا رقمية. صغر حجم الفايل وبنسبة تصل إلى 60% أقل من حجم الفايلات من النساق RGB TIFF غير المضغوطة (في حال كانت كثافة التسجيل Resolution لكلا النساقين متساوية). صغر حجم الملف (مع الحفاظ على جودة الصور) يتيح للكاميرات الرقمية اختصار الزمن بين اللقطات.

إن النساق CRW يسجل بيانات الخلية الضوئية وبواسع بايت لكل بكسل ويسجل بيانات توازن اللون الأبيض، White Balance وخربيطة التباين Contrast mapping وغيرها من البيانات الضرورية، التي تساعد في الحفاظ على دقة الألوان وغيرها من أمور مهمة عند معالجة الصورة.

أن بعض الكاميرات الرقمية الحديثة تسجل الصور في نساق CCD RAW بعمق لوني 10 بابت/قناة ولأربع قنوات . (C-M-Y-G) بينما تعمل تطبيقات المعالجة على تحويلها إلى نظام RGB بعمق لوني كلي 24 بت. من المتوقع أن تحول الكاميرات المستقبلية إلى نظام تسجيل بمستوى 12-بت لكل قناة، الأمر الذي سيؤدي إلى تحسين التدرجات اللونية للصورة.

4-1 آلات التصوير الرقمية Digital Cameras

يتم التقاط الصور بالكاميرا الرقمية بنفس الطريقة التي تلتقط بها الصور بالكاميرا العادية الفرق هو أن الكاميرا الرقمية لا تستعمل الفيلم العادي وبدلاً منه فإن الصور يتم تسجيلها إلكترونياً وتخزنها في الذاكرة الداخلية للكاميرا إذا كانت تحتوي على ذاكرة داخلية أو أن تخزن على بطاقة ذاكرة خارجي (وهو في هذه الحالة يمكن تشبّيهه بفيلم إلكتروني) أو أن يتم تسجيله على قرص لين كقرص الحاسوب العادي Floppy Disk عادة فانك تستطيع رؤية الصور بكل ألوانها على شاشة الكريستال السائل LCD الداخلية للكاميرا تستطيع توفير جزء من ذاكرة الكاميرا للتلتقط عليها صورة أخرى.

ويجب أن نأخذ بنظر الاعتبار بعض الأمور المهمة:

أ- جوده الصورة

تعتمد جوده الصورة جزئيا على كميـه التفاصـيل (Resolution) والتـي تستـطـيع الكـامـيرا إيجـادـها ويمـكـن قـيـاسـ ذلك بـعـدـ الحـبـيـات Pixels وـهـيـ تـلـكـ القـطـعـ المـتـنـاهـيـةـ الصـغـرـ والـحـسـاسـةـ للـصـوـرـ فيـ الـكـامـيراـ . إنـ قـدرـهـ الـكـامـيراـ عـلـىـ إـعـطـاءـ تـفـاصـيلـ حـادـهـ يـمـكـنـ مـعـرـفـتهاـ مـسـبـقاـ إـمـاـ بـمـجـمـوعـ عـدـدـ تـلـكـ الـحـبـيـاتـ أـوـ الـقـطـعـ الصـغـيرـةـ (Pixels)ـ المـوـجـودـةـ بـالـكـامـيراـ مـثـلاـ 307200ـ أـوـ بـقـيـاسـاتـ الخطـوطـ الأـفـقيـةـ وـالـرـأـسـيـةـ 480 × 640ـ (ـوـهـوـ يـسـاوـيـ نـفـسـ الـقـيـاسـ الـأـوـلـ 307200ـ)ـ وـعـلـىـ الـعـمـومـ فـكـلـماـ تـواـجـدـتـ بـكـسـلـاتـ أـكـثـرـ بـالـكـامـيراـ كـانـتـ الـكـامـيراـ أـفـضـلـ.

يمـكـنـ لـلـكـامـيرـاتـ أـنـ تـسـتـخـدـمـ تقـنـيـةـ ضـغـطـ الـمـعـلـومـاتـ (Data Compression)ـ لـتـخـزـينـ الصـوـرـ لـتـقـوـيـرـ اـسـتـخـدـمـ جـمـيعـ الـقـطـعـ أـوـ الـحـبـيـاتـ الصـغـيرـةـ الـمـسـمـاةـ بـكـسـلـ Pixelsـ وـفـيـ هـذـهـ الـحـالـةـ تـقـلـ جـوـدـهـ الـصـوـرـةـ وـلـكـنـ هـذـاـ يـعـنـيـ اـسـتـخـدـمـ مـسـاحـةـ ذـاـكـرـهـ أـقـلـ . إنـ جـوـدـهـ الـصـوـرـةـ تـعـتـمـدـ عـلـىـ درـجـهـ جـوـدـهـ الـعـدـسـةـ وـعـدـدـ الـأـلـوـانـ الـتـيـ تـسـتـطـعـ الـكـامـيراـ أـنـ تـسـتـجـيبـ لـهـ .

ب- ذـاـكـرـةـ الـكـامـيراـ

يـمـكـنـ تـخـزـينـ الصـوـرـ فـيـ كـامـيرـاتـ الـدـيـجـيـتـالـ (ـالـرـقـمـيـةـ)ـ فـيـ ذـاـكـرـهـ دـاخـلـيـهـ أـوـ فـيـ ذـاـكـرـهـ خـارـجـيـهـ . بـعـضـ آـلـاتـ التـصـوـيرـ الرـقـمـيـةـ تـسـتـخـدـمـ طـرـيقـتـيـنـ وـتـقـاسـ الـذـاـكـرـةـ بـوـحدـةـ قـيـاسـ تـسـمـىـ مـيـجـابـاـيـتـ Megabyteـ . إنـ حـجـمـ الـذـاـكـرـةـ أـوـ كـمـيـهـ الـمـيـجـابـاـيـتـ الـتـيـ تـأـخـذـهـ كـلـ صـورـهـ تـخـلـفـ حـسـبـ اـعـتـباـراتـ عـدـيدـ تـعـتـمـدـ عـلـىـ حـدـهـ الـتـفـاصـيلـ فـيـ الـصـوـرـةـ أـوـ مـاـ نـاطـقـ عـلـيـهـ هـنـاـ بـقـوـهـ التـحـديـدـ وـكـلـكـلـ عـلـىـ عـدـدـ الـأـلـوـانـ Resolutionـ .

أـنـ كـمـيـهـ الـذـاـكـرـةـ الـتـيـ تـسـتـهـلـكـهـ كـلـ صـورـهـ تـخـلـفـ باـعـتـباـراتـ عـدـيدـ تـعـتـمـدـ عـلـىـ درـجـهـ تـفـاصـيلـ الصـوـرـةـ أـوـ قـوـهـ التـحـديـd Resolutionـ وـكـلـكـلـ عـلـىـ اـسـتـخـدـمـ تقـنـيـةـ ضـغـطـ الـمـعـلـومـاتـ Data Compressionـ وـعـدـدـ الـأـلـوـانـ . نـتـيـجـةـ لـهـذـاـ فـانـهـ لـاـ يـعـنـيـ بـالـضـرـورـةـ أـنـ الـذـاـكـرـةـ الـكـبـيرـةـ تـسـتـطـعـ تـخـزـينـ عـدـدـ أـكـبـرـ مـنـ الصـورـ . فـبـحـسـبـ قـوـهـ التـحـديـd أيـ حـدـهـ الـتـفـاصـيلـ فـيـ الـصـوـرـةـ وـجـودـهـ يـمـكـنـ أـنـ تـخـزـنـ الـكـامـيراـ صـورـاـ قـدـ تـكـونـ عـشـرـ صـورـ وـقـدـ تـصـلـ إـلـىـ تـسـعـيـنـ صـورـهـ فـيـ الـذـاـكـرـةـ الـتـيـ تـأـتـيـ معـهـاـ .

ج- الـذـاـكـرـةـ الـخـارـجـيـهـ لـلـكـامـيرـاـ

يـتـوفـرـ نـوـعـيـنـ مـنـ بـطـاقـاتـ الـذـاـكـرـةـ الـخـارـجـيـهـ وـذـلـكـ بـحـسـبـ طـاـقـهـ تـخـزـينـهـ . الـأـولـىـ طـاـقـهـ تـخـزـينـ أـرـبـعـ مـيـجـابـاـيـتـ وـالـثـانـيـةـ ثـمـانـيـ مـيـجـابـاـيـتـ . يـتـمـ التـقـاطـ تسـجـيلـ الصـورـ عـلـيـهـاـ فـإـذـاـ اـمـتـلـأـتـ فـانـ باـسـتـطـاعـتـكـ تـقـرـيـغـهـ إـلـىـ الـحـاسـوبـ .

بعـضـ آـلـاتـ التـصـوـيرـ تـسـتـخـدـمـ القرـصـ الـلـيـنـ العـادـيـ 3.5 Inch Floppy Diskـ وـلـكـنـ قـوـهـ تـخـزـينـهـ قـلـيلـ 1.4 Mـيـجـابـاـيـتـ بـالـإـضـافـهـ إـلـىـ أـنـ حـجـمـ الـكـامـيرـاتـ فـيـ هـذـهـ الـحـالـةـ يـكـونـ أـكـبـرـ وـلـكـنـ قـدرـهـ التـخـزـينـ الـقـلـيلـهـ هـذـهـ يـعـوـضـهـاـ ثـمـنـ القرـصـ الـلـيـنـ بـيـنـماـ بـطاـقـهـ التـخـزـينـ مـنـ النـوـعـ الـأـوـلـ قدـ يـصـلـ إـلـىـ خـمـسـيـنـ باـونـداـ .

د- تـقـرـيـغـ الصـورـ

يـتـمـ تـقـرـيـغـ الصـورـ إـلـىـ الـحـاسـوبـ بـمـسـاعـدـهـ بـرـنـامـجـ خـاصـ بـذـلـكـ وـهـذـاـ بـرـنـامـجـ يـأـتـيـ عـادـهـ مـعـ الـكـامـيرـاـ عـنـ شـرـائـهـ . وـعـلـيـهـ تـقـرـيـغـ سـهـلـهـ . وـمـهـمـاـ كـانـ نـوـعـ أـوـ مـصـدـرـ الـبـرـنـامـجـ الـمـسـتـخـدـمـ فـانـ عـلـيـهـ تـقـرـيـغـ تـتـمـ باـسـتـخـدـمـ سـلـكـ مـتـصلـ بـالـحـاسـوبـ مـنـ الـخـلـفـ مـنـ النـوـعـ الـتـسـلـسـلـيـ Serial Portـ وـيـأـتـيـ السـلـكـ عـادـهـ مـعـ الـكـامـيرـاـ عـنـ شـرـائـهـ . وـتـحـتـاجـ الـعـلـيـةـ لـعـدـهـ دـقـائقـ لـنـقـلـ كـلـ الـذـاـكـرـةـ .

يمكن أن تتم عملية النقل من الذاكرة الخارجية بواسطة جهاز غالى الثمن نسبياً وهذه طريقة أسرع.

1-5 تخزين الصور الرقمية في الحاسوب

يحتاج تخزين الصور إلى مساحة كبيرة على قرص الذاكرة الصلب Hard Disk الموجود بداخل الحاسوب وأن يكون الحاسوب بحد أدنى من المواصفات أهمها أن يكون مزوداً بذاكرة "RAM" لا تقل عن 16 ميجابايت.

أن رؤية الصور بنوعيه جيدة تتم من خلال يكون تزويد الحاسوب بذاكرة فيديو خاصة Video RAM (V-RAM) لا تقل عن 2 ميجابايت . حيث إن سرعة المعالج المركزي Central Processing Unit "CPU" العالية مهم وأذا أردنا معالجة الصور كإجراء بعض التغييرات عليها فإنها ضرورية ، وكلما كان المعالج أسرع كلما كانت معالجه الصور أسرع.

هناك عده طرق لمشاهدة الصور المأخوذة بواسطة الكاميرا الرقمية ، منها أن يتم وصل الكاميرا بجهاز التلفزيون ورؤيتها على الشاشة كما يمكن رؤيتها على شاشة الحاسوب ويمكن وضعها في إي موقع على الإنترنـت.

يمكن طباعة الصور ببعض الكاميرات تستطيع أن توصل بالطابعة مباشرة وهناك أنواع أخرى يلزم أن يكون ذلك عن طريق الحاسوب . يمكن أن تكون الطابعة من أي نوع ولكن الطابعات الرقمية الخاصة بهذا الغرض تعطي صوراً أفضل بكثير.

إن جوده الصورة المطبوعة تعتمد على نوع الطابعة ونوع الورق المستعمل وهناك أنواع من الورق الفوتوغرافي لهذا الغرض يعطي أفضل النتائج ولكنه غالى الثمن..أن تكلفه الصورة في الحالة الأخيرة قد تكون أكثر من ضعف تكلفه طباعه الفيلم المعتاد حتى مع تكاليف تحميشه. إن الورق العادي بالطبع ارخص بكثير ولكنه سهل التلف وجوده الصورة لا تكون جيدة ولا تبدو الصورة طبيعية كالصور العادية التي اعتدنا أن نراها.

إذا تفحصنا الصور المطبوعة من كاميرا digital عن قرب فستجد أنها مكونة من نقاط من الألوان وينطبق هذا على الصور المطبوعة بأي نوع من الطابعات حتى وإن كانت طباعه رقميه متخصصة ، وكلما كان عدد النقاط أكثر وذات حجم اقل أي Resolution أعلى كلما كانت الصور أفضل وطبيعي أن نوع الكاميرا المنتجة للصورة لها تأثيرها في هذا المجال فالنوعيات ذات قوه التحديد الضعيفه يمكن أن تكون صورها مقبولة لعمل النشرات المطبوعة .

كثيراً ما يفشل التحكم التلقائي بالتعريض في حساب كميته الإضاءة الصحيحة اللازمة في حالة وجود خلفيه للصورة ذات إضاءة قويه ولذا فان توفر إمكانية زيادة التعريض في الكاميرا ، و تقدر طاقه ذاكره الكاميرا بعدد اللقطات التي يمكن أخذها باستخدام اكبر قدر من الذاكرة المتوفرة. وتتوفر إمكانية استخدام كميته من الذاكرة أقل في حالة استخدام قوه تحديد اقل Resolution وكذلك عند عملية ضغط المعلومات للصورة Data Compression

6-1 مكونات الكاميرا الرقمية

* العدسة Lens.

* مصباح Flash.

* ذراع الزوم، وهو ذراع للتحكم بتكبير وتصغير الصورة الملقطة.

* قاعدة تركيب الحامل الثلاثي (الساند - الاستاند Tripod).

* زر حاجب العدسة، وهو زر يكون استخدامه بالضغط عليه نحو الأسفل يتم من خلاله تسجيل الصورة أو الصوت في الكاميرات المزودة بالميكروفون (Microphone) وبالعادة تكون هذه الكاميرات غير احترافية، وهي مزودة باختيار نحو ضبط مدة التسجيل للصورة والتي تصل إلى عشرة ثوانٍ في بعض الأحيان.

* لاقطة صوتية Microphone (في الكاميرات التي تلتقط الصوت).

* حلقة التركيز البوري، وهي التي تحدد المسافة مابين العدسة والموضع المراد تصويره لتحقيق صوره واضحة، وفي اغلب الأحيان تكون الكاميرات الرقمية مزودة بمجسات أو متحسسات تتحسس المسافة وتضبط التبؤر تلقائياً

* مفتاح اختيار وضع التركيز البوري التلقائي أو التركيز البوري اليدوي (Focus Auto / manual).

* نافذة خلية كهر وضوئية للفلاش، وهي نافذة تسمح بمرور الضوء على الخلية الكهروضوئية لمعرفة كمية الضوء ومن ثم إرسال إيعاز إلى مبرمج الفلاش لإشعال ضوئه وفق الكمية التي يحتاجها الموضع المراد تصويره

* مقبس لتوصيل سلك الفلاش الخارجي.

* مقبس لتوصيل سلك الصوت أو الصورة من وإلى الحاسوب الإلكترونية.

* مقبس لتوصيل التيار الكهربائي المباشر DC حيث أن أكثر الكاميرات الرقمية بالإضافة إلى أنها تعمل على طاقة البطاريات التي تشغّل الكاميرا تكون مزودة بمحولة كهربائية صغيرة تعمل على تزويد الكاميرا بالطاقة الكهربائية المباشرة.

* نافذة خلية كهر وضوئية لشاشة عرض الكريستال السائل (LCD) في الكاميرات التي تحتوي على (LCD)، حيث تتحسس هذه الخلية كمية الضوء المسلط على الشاشة ومن ثم تحدد كمية سطوع الشاشة لكي تكون واضحة، وتكون هذه الشاشة أكثر سطوعاً عند تعرضها لضوء الشمس وبشكل تلقائي استناداً إلى هذه الخلية التي توزع إلى كم السطوع.

* أزرار للتحكم بـ صوت (Volume +/-).

* مفتاح اختيار الأوضاع (Movie/Play/Still) وهو زر يحدد اختيار عرض أو تسجيل أو تحرير الصور الثابتة أو المسارع الصوتية أو الصور المتحركة وهي (Play) لعرض أو تحرير الصور (Still) لتسجيل الصور الثابتة واللحظات الصوتية (Movie) لتسجيل الصور المتحركة.

* زر التركيز البوري (Focus) فبالإضافة إلى وجود حلقة للتركيز هناك زر في الكاميرا بمجرد الضغط عليه تتم عملية التركيز البوري تلقائياً.

* مفتاح التحكم بالإضاءة الخلفية لشاشة العرض الكريستال السائل (LCD Back light) حيث يعمل هذا المفتاح على ضبط مستوى سطوع شاشة عرض الكريستال السائل (LCD Bright) فيمكن من خلال رفع أو ضغط الزر تغيير السطوع بهذه الشاشة وذلك حفاظاً على عين المصور من خلال إعطاء سطوع يوائمه ما يرغب المصور بمشاهدته في هذه الشاشة الخلفية أو الجانبية.

* زر التعريض الضوئي التلقائي المبرمج بمؤثرات خاصة (Program Automatic Exposure) حيث يقوم هذا الزر بضبط التعريض للصورة المراد التقاطها وذلك من خلال مبرمج داخل الكاميرا يسمى (Program Automatic Exposure).

* فتحة لإدخال قرص التسجيل، الكاميرات الرقمية لا تعتمد الأفلام الفوتوغرافية المعروفة مثل أفلام (36) أو أفلام (24) أو (120) أو أفلام أخرى عديدة معروفة من قبل المصورين المحترفين بتسميات عديدة، بل أن الكاميرات الرقمية تعتمد أقراص خاصة بتسجيل الصور الرقمية وهي تكون بهيئات عديدة كأن تكون على شكل قرص (Floppy Disk) أو تكون على شكل آخر يشبه الـ (Flash Ram) أو يكون على شكل شريط كاسيت صغير (DV) أو أشكال أخرى كان تكون بطاقة ذاكرة (stick Memory) إلخ.

* ذراع إخراج القرص (Disk Eject)، وهو ذراع يقوم بازلاق مفتاح تأمين إخراج القرص (Eject).

* مفتاح الطاقة (Power)، وهو مفتاح يقوم بتزويد الكاميرا بالطاقة الكهربائية لتشغيل الكاميرا وعملياتها الرقمية، وهذا المفتاح يكون بالعادة مستخدم للتيار الكهربائي القادم من البطارية أو من التيار الكهربائي المباشر.

* زر التحكم، وهو زر أشبه بالدائري في اغلب كاميرات الـ (Digital) حيث يعمل هذا الزر على اختيار الأزرار والصور والقوائم المعروضة على شاشة عرض الكريستال السائل في الكاميرا ويقوم أيضاً بتعديل التهبيئات، هذا الزر بأربع اتجاهات وعليه إشارات سهم أي أن المستخدم سوف يعرف استخدام هذا الزر من خلال الصورة التي تظهر في الشاشة والاتجاه الذي هو فيه لاختيار العمليات والقوائم المعروضة والأزرار التي تدرج من هذا الزر، فبمجرد الضغط على الزر من الاتجاه الذي تكون فيه القوائم أو الأزرار في الشاشة تظهر مجموعة من الاختيارات لقوائم أو عمليات يرمي لها المصور أو المستخدم.

* زر العرض (Display)، وهو زر يستعرض العديد من المؤشرات المهمة أثناء التسجيل أو التصوير بالكاميرا وهذه المؤشرات إنما هي العمليات التي يرغب المصور دائمًا بمعرفتها في التصوير للاطمئنان على عمله والتأكد من نجاح التصوير،

والمؤشرات هذه عادة تكون كما يأتي:

- 1- مؤشر تأمين وضع التعرض الضوئي AE التي تعني التعرض التلقائي أو التعرض الأوتوماتيكي (Automatic Exposure).
- 2- مؤشر تأمين التركيز.
- 3- مؤشر حدة الصورة.
- 4- مؤشر وضع التركيز البؤري / مؤشر وظيفة التصوير عن قرب.
- 5- مؤشر الشحنة المتبقية من البطارية.
- 6- مؤشر مستوى الفلاش / مؤشر وضع الفلاش.
- 7- مؤشر وظيفة التعرض الضوئي التلقائي المبرمج بمؤشرات خاصة Program AE / مؤشر الزوم.
- 8- مؤشر موازنة البياض (balance White).
- 9- مؤشر مؤثرات الصورة.
- 10- مؤشر مستوى التعرض الضوئي EV.
- 11- عمود القائمة ومؤشر إرشاد القائمة وهي تظهر بالعادة بضغط زر التحكم وتختفي بضغط زر التحكم المعاكس.
- 12- مؤشر وضع التسجيل.
- 13- مؤشر حجم الصورة.
- 14- عدد الصور المسجلة.
- 15- مؤشر السعة المتبقية من قرص التسجيل.
- 16- 15 مؤشر مدة التسجيل.
- 17- مؤشر وظيفة عرض التشخيص الذاتي/ مؤشر زمن التسجيل.
- 18- مؤشر المؤقت الذاتي.
- 19- مؤشر التعرض الضوئي المتربي.

الفصل الثاني

تحليل الصورة الرقمية

1-2 تحليل الصورة (Image analysis)

هي عملية معالجة نقل بيانات الصورة بحيث تستخدم المعلومات الضرورية فقط التي تساعدانا حل مسألة معينة خاصة بالصورة الرقمية داخل الحاسوب يمكن أن نحل بطريقتين هما

- | | |
|------------------|--------------------|
| Computer vision | 1- الرؤية بالحاسوب |
| Image Processing | 2- معالجة الصور |

1- الرؤية بالحاسوب : عند استخدامنا الرؤية بالحاسوب فأنتا سوف تحصل على أنتاج نوعي مستخلص لمستويات المعلومات العالية الخاصة للصورة بالحاسوب وهذه المستويات بالمعلومات العالية تتمثل في معانٍ هي : مثلا اللون والخصائص الأساسية والحدود (الهيكل)

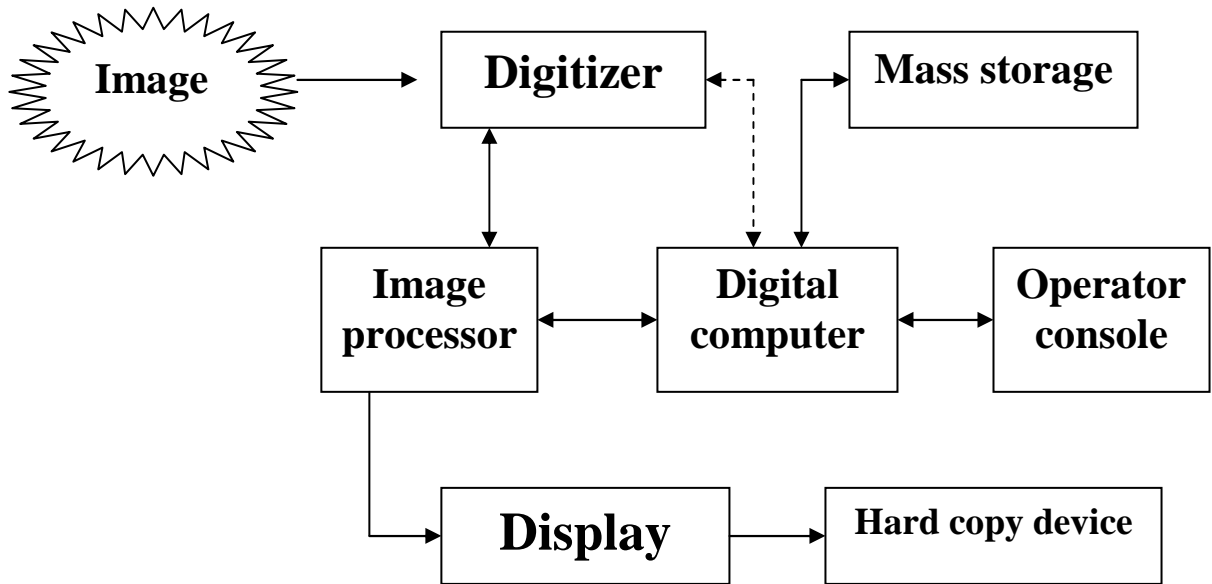
2- معالجة الصور : نحل الصورة الخاصة بتطبيقات معالجة الصورة باستخدام طرق معينة تحدد المعالجة المطلوبة والمعالج التخصصية . ويوجد نظام أو موديل لتحليل الصورة يتكون من ثلاثة مراحل هي

- | | |
|------------------|------------------------|
| Preprocessing | 1- المعالجة الابتدائية |
| Data Reduction | 2- تقليل البيانات |
| Feature analysis | 3- تحليل الخواص |

2-2 عناصر نظام معالجة الصورة الرقمية

تتكون من :

- 1- معالج الصورة Image Processor
- يعد بمثابة القلب لأي نظام معالجة صور ويتألف معالج الصورة الرقمية من الوحدات التالية :
- 1-الحاسوب الرقمي للصورة (تحصيل الصورة) Image Digital computer
 - 2- التخزين Storage
 - 3- المعالجة الصورة Image Processing
 - 4- العرض Display



شكل(5): عناصر نظام معالجة الصورة الرقمية

Digitizer - المرقمات

مرقم الصورة (يتحول الصورة إلى رقمية) هو عبارة عن وحدة تقوم بتحويل الصورة إلى تمثيل رقمي بالحاسوب الالكترونيه وتوجد العديد من أجهزة الإدخال الأكثر شيوعا المستخدمة مع المرقمات مثل

- 1- مقياس الكثافة الضوئية الدقيق (يعتمد على الكثافة الضوئية) .
- 2- ماسحات النقطة الطائرة (ما هو المركز للضوء) .
- 3- محللات الصورة (تحليل الصورة كاملة) .
- 4- كاميرات الفيديو كون (كاميرا + فيديو مثل الكاميرا الرقمية) .
- 5- مصفوفات أنساف النواقل الحساسة للضوء .

أي نقسم الشاشة إلى أنساف قطرات ونختار أي نصف قطر نريد .
النقطة الأولى والثانية يتطلبان أن تكون الصورة التي يراد ترقيمها شفافة مثل النسخة السالبة للفلم أو النسخة المطبوعة . Film

أما محللات الصورة أو كاميرات الفيديو كون أو مصفوفة أنساف النواقل أي (النقاط الثلاثة) يمكن أن تقبل صورة مسجلة بدلا من السابقة وهذه ميزة تضاف كونها قادرة على ترقيم صورة طبيعية وأن تكون لهذه الصورة شدة ضوئية كافية لإشارة المكشاف .

3- الحواسيب الرقمية وأجهزة الخزن

أن أنظمة الحواسيب المستعملة من أجل معالجة الصورة تتدرج من أجهزة المعالجات الصغيرة إلى أنظمة الحواسيب الضخمة القادرة على إنجاز دوال معقدة حسابياً على مصفوفات حساب كبيرة . أن المعلومات الأساسية التي تؤثر على بنية الحاسوب المخصص لمعالجة الصور هي التطبيق المقصود وكمية البيانات المراد إدخالها وإخراجها من أجل التطبيق لهدف معين .

كيف نفرق بين الحاسوب الرقمية والمتناهية : الحاسوب الذي نستخدمها في مختبراتنا وحساباتنا الشخصية هي رقمية أما الحاسوبات المتناهية فهي الحاسوبات التي تستخدم لمعرفة الزلازل والبراكين والرياح التي تستخدم في التسفلات الجوية والحسابات الهجينية تجمع بين النوعين الرقمي والمتناهي .

أن صورة رقمية تتتألف من 512*512 عنصر يمكن تهيئتها 8 بتات (1 Byte) تتطلب 0.25 ميكابايت من التخزين أن وسائل التخزين هنا يمكن تقسيمها إلى ثلاثة أنواع :-

- 1- الأقراص المغناطيسية
- 2- الأشرطة المغناطيسية
- 3- الأقراص البصرية ال Optical

1- الأقراص المغناطيسية : تكون سعة 700 MB أو أكثر هي الشائعة حيث يمكنها الاحتفاظ بـ 2800 صورة من الحجم 512*512 .

2- الأشرطة المغناطيسية : عالية الكثافة من جهتيها (two side) 6400 بايت للإنج الواحد تستطيع أن تخزن صورة واحدة من الحجم 512*512 في أربعة أقدام تقريباً من الشريط .

3- الأقراص البصرية : تعتمد على تقنية الليزر في القراءة والكتابة أصبحت الآن متوفرة تجارياً . أن سعة التخزين لقرص كبير منفرد تصل إلى 4 GB أي إلى 4000 مليون بايت في القرص الواحد .

مثال // بين كيفية أن الصورة حجمها 512 * 512 بكسل تتطلب 0.25 من التخزين
الحل//

$$512 * 512 = 2^{18}, M = 2^{20}$$
$$512 * 512 / 2^{20} = 2^{18} / 2^{20} = 0.25$$

أو طريقة أخرى
700 MB / 2800 MB = 0.25

4-أجهزة التسجيل والإظهار "العرض "

أن شاشات المراقبة التلفزيونية الأبيض والأسود والملون هي أجهزة الإظهار الرئيسية المستعملة في أنظمة المعالجات الصورية (معالجة صور) الحديثة.

أنظمة أنابيب الأشعة المهبطية يتم فيها تحويل الموقعين الأفقي والعمودي لكل عنصر في الصورة إلى جهود تستعمل لحرف شعاع أنبوب الأشعة المهبطية مؤمنة بذلك تحديده على شكل أبعاد ثنائية لإنتاج الصورة المخرجة .

أن أجهزة أظهار الطباعة مفيدة بشكل أساسي من أجل الأعمال المتعلقة لمعالجة الصورة بدقة منخفضة ، وهناك أجهزة أخرى تتضمن طابعات الليزر وأجهزة الورق الحساس للحرارة وأجهزة رش الحبر.

5- تحصيل الصورة

يكون دخل تحصيل الصورة عبارة عن تحصيل صورة إشارة معينة (إشارة صوتية) أن غالب معالجات الصورة الحديثة تقدر بزمن إطار واحد هو (1/30 Per second) من الثانية ولهاذا السبب غالبا ما يشار إلى وحدة تحصيل الصورة بقانص الإطار (Frame grabber) لأن كل صورة لها زمان معين 1/30 بالثانية وكذلك لها إطار حجم معين للصورة لذلك وجد قانص الإطار .

أن وحدة التخزين التي غالبا ما تستدعي وتخزن قانص الإطار هي عبارة عن ذاكرة قادرة على تخزين صورة رقمية كاملة حيث يتم إعادة بناء وحدات هذا النوع من المعالج ولها القدرة على التخزين أيضا في نفس الوقت 30 صورة في الثانية أن هذه الخاصية تسمح بالسرعة بعملية التخزين .

أن وحدة المعالجة تتجز الوظائف المنخفضة المستوى مثل العمليات الحسابية والمنطقية في وحدة الحساب والمنطق (ALU) حيث تسمح المكونات هنا بالمعالجة بالشكل المتوازي (يعني أي خطاء لا يؤثر على بقية الأخطاء لأنه متوازي) .

أن وحدة أو جهاز العرض يقوم بقراءة الصورة المخزونة بالذاكرة وتحويل المعلومات الرقمية المخزنة إلى إشارة تماثلية مرئية وإخراج هذه الإشارة إلى شاشة الجهاز لكي ترى من قبل المستخدم .

(بيانات مدخلة تناظرية ← → إشارات رقمية (أرقام) ← معالجة رقمية (المخرجات))

3-2 موديل تحليل الصورة

معالجة تحليل الصورة يمكن أن ندونها بالمراحل التالية :

1- المعالجة الابتدائية Pre processing

تستخدم هذه المعالجة لتحديد الضوابط (النقط والنمث والريش) والمعلومات المرئية التي لا علاقة لها أو لا تؤثر على نتائج المناطق التي سوف تعالج لاحقا.

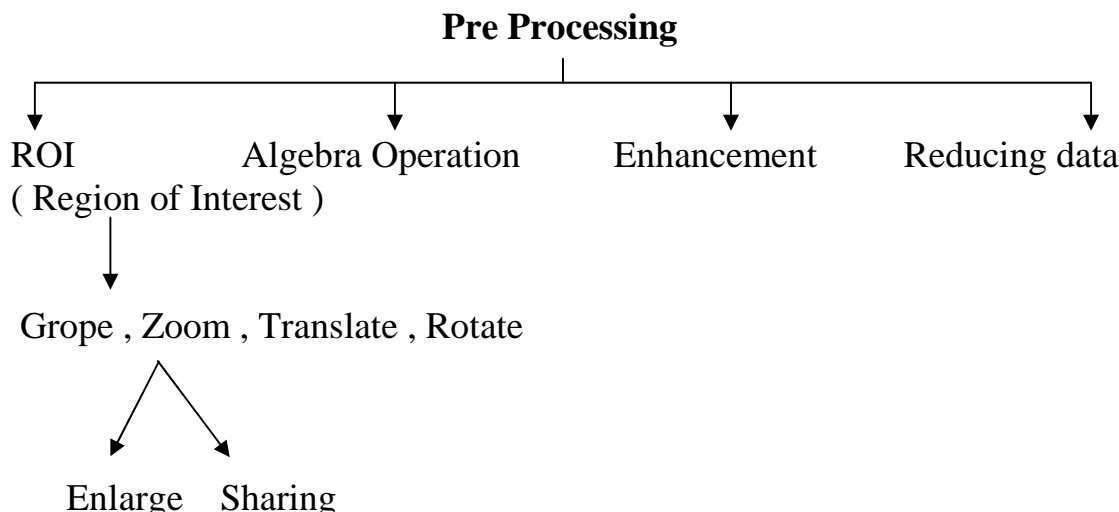
2- تقليل البيانات Data Reduction

وهي المرحلة التي تستخدم لتقليل البيانات في المجال الحيزي وتنقل النتيجة إلى مكان آخر يسمى المجال التردددي ونحدد الخواص (مجال تردددي - ومجال حيزي)
لمعالجة التحليل نستخدم الحيزي لأنة أسهل

3- تحليل الخواص المستخلصة Feature analysis

نستخدم هذه المرحلة باستخدام الخواص المستخلصة في المرحلة السابقة حيث تختبر وتقييم باستخدام أحدى التطبيقات

يمكن توضيح المعالجة الابتدائية بالشكل الآتي:



شكل(6): المعالجة الابتدائية

المعالجة الابتدائية تقسم إلى أقسام

1- هندسة الصورة لمنطقة داخلية أو نسخة داخلية معينة كسوف نستخدم الخواص المستخلصة لمنطقة معينة تسمى (ROI) يتم هنا استخدام عمليات معينة يتم من خلالها تعديلها عن طريق إحداثيات حيزيه مستخدمة عمليات هندسة الصورة ومن هذه العمليات

أو Zoom Group أو توسيع أو تقليل أو نقل تدوير وبعد ذلك يتم الحصول على صورة جزئية تقوم بالمعالجة اللاحقة لها.

طريقة التكبير أو التصغير (Zoom Process) :

1- هناك طرق لمعالجة ال Zoom وأول طريقة هي طريقة الترتيب الصفرى (Zero-Order-Hold) والتي تتم من خلال إعادة رقم البكسلات السابقة بتكرار قيم الصفوف والأعمدة مثلاً نظيف صف صف لتكبير الصفوف أو إضافة أعمدة أو إضافة صفوف وأعمدة بنفس الوقت لتلتف المصفوفة أو العمود.

مثال // لديك جزء الصورة التالي المطلوب

1- تلتفها بطريقة Zero-Order-Hold صف صف

2- تلتفها بطريقة Zero-Order-Hold عمود عمود

3- تلتفها بطريقة Zero-Order-Hold صف وعمود

40	20	10
70	50	30
90	80	10

الحل //

1- يكون الناتج مصفوفة سعتها 3×6

40	40	20	20	10	10
70	70	50	50	30	30
90	90	80	80	10	10

2- يكون الناتج مصفوفة سعتها 6×3

40	20	10
40	20	10
70	50	30
70	50	30
90	80	10
90	80	10

4- يكون الناتج مصفوفة سعتها 6×6

40	40	20	20	10	10
40	40	20	20	10	10
70	70	50	50	30	30
70	70	50	50	30	30
90	90	80	80	10	10
90	90	80	80	10	10

2- طريقة إيجاد المعدل

أيجاد المعدل بين قيمتين بكسلين متقاربين ووضع القيمة بينهما مثل 8 ، 4 نجمعها = 12 نقسم على 2 فتصبح القيمة الوسطية هي 6 تكتب النتيجة

$$8 \quad 6 \quad 4$$

وإذا استخدمنا هذه الطريقة بطريقة معدل بكسلات الصفوف فسوف تزداد الأعمدة وإذا استخدمنا الأعمدة تزداد الصفوف .

3- يمكن أن نعمل على زوجي بكسل في كل صف وكل عمود وكما يمكننا أن نوسع الأعمدة والصفوف سوية .

هذه الطريقة تكبير سعة المصفوفة الـ N^*N لتصبح مصفوفة صورة حجمها $(2n-1)^*2n-1$

// مثال

إذا كانت لدينا المصفوفة هي 3^*3 تمثل جزء من قيم الصورة الرقمية والمطلوب توسيع الأعمدة والصفوف سوية .

الحل // يصبح حجم المصفوفة 5^*5

مثال للتوضيح // لدينا المصفوفة التالية سنجري عليها عمليات التوسيع للصفوف والأعمدة سوية

$$\left[\begin{array}{ccc} 8 & 4 & 8 \\ 4 & 8 & 4 \\ 8 & 2 & 8 \end{array} \right] \xrightarrow{\text{توسيع}} \left[\begin{array}{ccccc} 8 & 6 & 4 & 6 & 8 \\ 4 & 6 & 8 & 6 & 4 \\ 8 & 5 & 2 & 5 & 8 \end{array} \right]$$

$$\xrightarrow{\hspace{1cm}} \left[\begin{array}{ccccc} 8 & 6 & 4 & 6 & 8 \\ 6 & 6 & 6 & 6 & 6 \\ 4 & 6 & 8 & 6 & 4 \\ 6 & 11/2 & 5 & 11/2 & 4 \\ 8 & 5 & 2 & 5 & 8 \end{array} \right]$$

يتم العمل على الصفوف
والأعمدة على المصفوفة
الناتجة وليس الأصلية

3- طريقة التلفيف (الطي)

توجد طريقة أخرى جديدة تعطينا نفس النتائج بطريقة معالجة رياضية تسمى التلفيف (convolution) تكون هذه الطريقة من خطوتين معالجة

1- توسيع الصورة بإضافة صفوف وأعمدة من الأصفار بين عناصر الصورة الأصلية (صفوف وأعمدة الصورة)

2- نبدأ بعملية التلفيف (لكل طريقة تلفيف تكبير أو تحسين لها مصفوفة خاصة بها (المصفوفة تتغير حسب نوع التغير)

مثال // لديك المصفوفة التالية التي تمثل جزء من الصورة المطلوب توسيع هذه الصورة بطريقة التلقيف .

الحل // 1- نضيف أعمدة أصفار وصفوف أصفار لتصبح المصفوفة على الشكل التالي

3 5 7

2 7 6

3 4 9

$$\left[\begin{array}{ccccccc} 0 & 0 & 0 & 0 & 0 & 0 & 0 \\ 0 & 3 & 0 & 5 & 0 & 7 & 0 \\ 0 & 0 & 0 & 0 & 0 & 0 & 0 \\ 0 & 2 & 0 & 7 & 0 & 6 & 0 \\ 0 & 0 & 0 & 0 & 0 & 0 & 0 \\ 0 & 3 & 0 & 4 & 0 & 9 & 0 \\ 0 & 0 & 0 & 0 & 0 & 0 & 0 \end{array} \right] \quad \begin{array}{l} \text{أصبحت المصفوفة} \\ 7 * 7 \end{array}$$

2- نقوم بعملية التلقيف أي نستخدم ماسك (Mask) قناع للتلقيف الذي يؤدي العملية الرياضية هذه لكل موقع بكسل (يجب أن يكون الماسك أو القناع أو النافذة بحجم المصفوفة الأصلية يعني مصفوفة تضرب بالمصفوفة التي عندنا وكل عملية هناك قناع ماسك خاص بها .

وقناع أو ماسك ال Window بماسك التلقيف الخاص بالتكبير هو ذو حجم $3*3$

$$\left[\begin{array}{ccc} 1/4 & 1/2 & 1/4 \\ 1/2 & 1 & 1/2 \\ 1/4 & 1/2 & 1/4 \end{array} \right]$$

نأخذ من المصفوفة ما يساوي حجم الماسك (جزء من المصفوفة ولتكن $3*3$ وهو الجزء الأول فيها) نضرب المصفوفة ونستخرج الناتج مثلاً نضرب الصف الأول من جزء المصفوفة المختار (المصفوفة $3*3$ المختارة) ونضرب بما يقابلها في الماسك

$$1/4 * 0 + 1/2 * 0 + 1/4 * 0 + 1/2 * 0 + 1 * 3 + 1/2 * 0 + 1/4 * 0 + 1/2 * 0 + 1/4 * 0 = 3$$

فتوضع القيمة الناتجة من الضرب وهي 3 في أول موقع للمصفوفة الجديدة وتبقى في نفس الصف (الصف الأول من المصفوفة الكبيرة ولكن هنا نزحف المصفوفة المختارة (جزء من المصفوفة الكبيرة) لعمود واحد فقط أي العمود الثاني في الصف الأول من المصفوفة الكبيرة ونستمر هكذا إلى أن ننتهي كل أعمدة الصف الأول ثم فنزيل إلى الصف الثاني وأيضاً نتبع نفس الطريقة ألطريقه في عملية تزحيف الأعمدة .

نضرب هذا الجزء بمصفوفة الماسك

$$\begin{array}{cccc}
 0 & 0 & 0 & 0 \\
 0 & 3 & 0 & 5 \\
 0 & 0 & 0 & 0
 \end{array}
 \quad
 \begin{bmatrix} 0 & 0 & 0 \\ 0 & 3 & 0 \\ 0 & 0 & 0 \end{bmatrix} *
 \begin{bmatrix} 1/4 & 1/2 & 1/4 \\ 1/2 & 1 & 1/2 \\ 1/4 & 1/2 & 1/4 \end{bmatrix} =$$

$$0*1/4 + 0*1/2 + 0*1/4 + 0*1/2 + 3*1 + 0*1/2 + 0*1/4 + 0*1/2 + 0*1/4 = 3$$

توضع في المصفوفة الجديدة القيمة الأول

$$\begin{bmatrix} 0 & 0 & 0 \\ 3 & 0 & 5 \\ 0 & 0 & 0 \end{bmatrix} *
 \begin{bmatrix} 1/4 & 1/2 & 1/4 \\ 1/2 & 1 & 1/2 \\ 1/4 & 1/2 & 1/4 \end{bmatrix} =$$

$$0*1/4 + 0*1/2 + 0*1/4 + 3*1/2 + 0*1 + 5*1/2 + 0*1/4 + 0*1/2 + 0*1/4 = 4$$

$$\begin{bmatrix} 0 & 0 & 0 \\ 0 & 5 & 0 \\ 0 & 0 & 0 \end{bmatrix} *
 \begin{bmatrix} 1/4 & 1/2 & 1/4 \\ 1/2 & 1 & 1/2 \\ 1/4 & 1/2 & 1/4 \end{bmatrix} =$$

$$0*1/4 + 0*1/2 + 0*1/4 + 0*1/2 + 5*1 + 0*1/2 + 0*1/4 + 0*1/2 + 0*1/4 = 5$$

$$\begin{bmatrix} 0 & 0 & 0 \\ 5 & 0 & 7 \\ 0 & 0 & 0 \end{bmatrix} *
 \begin{bmatrix} 1/4 & 1/2 & 1/4 \\ 1/2 & 1 & 1/2 \\ 1/4 & 1/2 & 1/4 \end{bmatrix} =$$

$$0*1/4 + 0*1/2 + 0*1/4 + 5*1/2 + 0*1 + 7*1/2 + 0*1/4 + 0*1/2 + 0*1/4 = 6$$

$$\begin{bmatrix} 0 & 0 & 0 \\ 0 & 7 & 0 \\ 0 & 0 & 0 \end{bmatrix} *
 \begin{bmatrix} 1/4 & 1/2 & 1/4 \\ 1/2 & 1 & 1/2 \\ 1/4 & 1/2 & 1/4 \end{bmatrix} =$$

$$0*1/4 + 0*1/2 + 0*1/4 + 0*1/2 + 7*1 + 0*1/2 + 0*1/4 + 0*1/2 + 0*1/4 = 7$$

ثم تنزل للصف الثاني ونتبع نفس الطريقة بالتحريف

$$\begin{bmatrix} 0 & 3 & 0 \\ 0 & 0 & 0 \\ 0 & 2 & 0 \end{bmatrix} *
 \begin{bmatrix} 1/4 & 1/2 & 1/4 \\ 1/2 & 1 & 1/2 \\ 1/4 & 1/2 & 1/4 \end{bmatrix} =$$

$$0*1/4 + 3*1/2 + 0*1/4 + 0*1/2 + 0*1 + 0*1/2 + 0*1/4 + 2*1/2 + 0*1/4 = 5/2$$

$$\begin{bmatrix} 3 & 0 & 5 \\ 0 & 0 & 0 \\ 2 & 0 & 7 \end{bmatrix} *
 \begin{bmatrix} 1/4 & 1/2 & 1/4 \\ 1/2 & 1 & 1/2 \\ 1/4 & 1/2 & 1/4 \end{bmatrix} =$$

$$3*1/4 + 0*1/2 + 5*1/4 + 0*1/2 + 0*1 + 0*1/2 + 2*1/4 + 0*1/2 + 7*1/4 = 17/4$$

$$\begin{bmatrix} 0 & 5 & 0 \\ 0 & 0 & 0 \\ 0 & 7 & 0 \end{bmatrix} * \begin{bmatrix} 1/4 & 1/2 & 1/4 \\ 1/2 & 1 & 1/2 \\ 1/4 & 1/2 & 1/4 \end{bmatrix} =$$

$$0*1/4 + 5*1/2 + 0*1/4 + 0*1/2 + 0*1 + 0*1/2+0*1/4+7*1/2+ 0*1/4=6$$

$$\begin{bmatrix} 5 & 0 & 7 \\ 0 & 0 & 0 \\ 7 & 0 & 6 \end{bmatrix} * \begin{bmatrix} 1/4 & 1/2 & 1/4 \\ 1/2 & 1 & 1/2 \\ 1/4 & 1/2 & 1/4 \end{bmatrix} =$$

$$5*1/4 + 0*1/2 + 7*1/4 + 0*1/2 + 0*1 + 0*1/2+7*1/4+0*1/2+ 6*1/4=25/4$$

$$\begin{bmatrix} 0 & 7 & 0 \\ 0 & 0 & 0 \\ 0 & 6 & 0 \end{bmatrix} * \begin{bmatrix} 1/4 & 1/2 & 1/4 \\ 1/2 & 1 & 1/2 \\ 1/4 & 1/2 & 1/4 \end{bmatrix} =$$

$$0*1/4 + 7*1/2 + 0*1/4 + 0*1/2 + 0*1 + 0*1/2+0*1/4+6*1/2+ 0*1/4=13/2$$

$$\begin{bmatrix} 0 & 0 & 0 \\ 0 & 2 & 0 \\ 0 & 0 & 0 \end{bmatrix} * \begin{bmatrix} 1/4 & 1/2 & 1/4 \\ 1/2 & 1 & 1/2 \\ 1/4 & 1/2 & 1/4 \end{bmatrix} =$$

$$0*1/4 + 0*1/2 + 0*1/4 + 0*1/2 + 2*1 + 0*1/2 + 0*1/4 + 0*1/2 + 0*1/4=2$$

$$\begin{bmatrix} 0 & 0 & 0 \\ 2 & 0 & 7 \\ 0 & 0 & 0 \end{bmatrix} * \begin{bmatrix} 1/4 & 1/2 & 1/4 \\ 1/2 & 1 & 1/2 \\ 1/4 & 1/2 & 1/4 \end{bmatrix} =$$

$$0*1/4 + 0*1/2 + 0*1/4 + 2*1/2 + 0*1 + 7*1/2 + 0*1/4 + 0*1/2+ 0*1/4=9/2$$

$$\begin{bmatrix} 0 & 0 & 0 \\ 0 & 7 & 0 \\ 0 & 0 & 0 \end{bmatrix} * \begin{bmatrix} 1/4 & 1/2 & 1/4 \\ 1/2 & 1 & 1/2 \\ 1/4 & 1/2 & 1/4 \end{bmatrix} =$$

$$0*1/4 + 0*1/2 + 0*1/4 + 0*1/2 + 7*1 + 0*1/2 + 0*1/4 + 0*1/2 + 0*1/4=7$$

$$\begin{bmatrix} 0 & 0 & 0 \\ 7 & 0 & 6 \\ 0 & 0 & 0 \end{bmatrix} * \begin{bmatrix} 1/4 & 1/2 & 1/4 \\ 1/2 & 1 & 1/2 \\ 1/4 & 1/2 & 1/4 \end{bmatrix} =$$

$$0*1/4 + 0*1/2 + 0*1/4 + 7*1/2 + 0*1+ 6*1/2+0*1/4+ 0*1/2+ 0*1/4=13/2$$

$$\begin{bmatrix} 0 & 0 & 0 \\ 0 & 6 & 0 \\ 0 & 0 & 0 \end{bmatrix} * \begin{bmatrix} 1/4 & 1/2 & 1/4 \\ 1/2 & 1 & 1/2 \\ 1/4 & 1/2 & 1/4 \end{bmatrix} =$$

$$0*1/4 + 0*1/2 + 0*1/4 + 0*1/2 + 6*1 + 0*1/2 + 0*1/4 + 0*1/2 + 0*1/4=6$$

$$\begin{bmatrix} 0 & 2 & 0 \\ 0 & 0 & 0 \\ 0 & 3 & 0 \end{bmatrix} * \begin{bmatrix} 1/4 & 1/2 & 1/4 \\ 1/2 & 1 & 1/2 \\ 1/4 & 1/2 & 1/4 \end{bmatrix} =$$

$$0*1/4 + 2*1/2 + 0*1/4 + 0*1/2 + 0*1 + 0*1/2 + 0*1/4+3*1/2+ 0*1/4=5/2$$

$$\begin{bmatrix} 2 & 0 & 7 \\ 0 & 0 & 0 \\ 3 & 0 & 4 \end{bmatrix} * \begin{bmatrix} 1/4 & 1/2 & 1/4 \\ 1/2 & 1 & 1/2 \\ 1/4 & 1/2 & 1/4 \end{bmatrix} =$$

$$2*1/4 + 0*1/2 + 7*1/4 + 0*1/2 + 0*1+ 0*1/2+ 3*1/4+ 0*1/2+ 4*1/4=4$$

$$\begin{bmatrix} 0 & 7 & 0 \\ 0 & 0 & 0 \\ 0 & 4 & 0 \end{bmatrix} * \begin{bmatrix} 1/4 & 1/2 & 1/4 \\ 1/2 & 1 & 1/2 \\ 1/4 & 1/2 & 1/4 \end{bmatrix} =$$

$$0*1/4 + 7*1/2 + 0*1/4 + 0*1/2+ 0*1+ 0*1/2+ 0*1/4+4*1/2 + 0*1/4=11/2$$

$$\begin{bmatrix} 7 & 0 & 6 \\ 0 & 0 & 0 \\ 4 & 0 & 9 \end{bmatrix} * \begin{bmatrix} 1/4 & 1/2 & 1/4 \\ 1/2 & 1 & 1/2 \\ 1/4 & 1/2 & 1/4 \end{bmatrix} =$$

$$7*1/4 + 0*1/2 + 6*1/4 + 0*1/2 + 0*1+0*1/2+4*1/4+0*1/2 + 9*1/4=26/4$$

$$\begin{bmatrix} 0 & 6 & 0 \\ 0 & 0 & 0 \\ 0 & 9 & 0 \end{bmatrix} * \begin{bmatrix} 1/4 & 1/2 & 1/4 \\ 1/2 & 1 & 1/2 \\ 1/4 & 1/2 & 1/4 \end{bmatrix} =$$

$$0*1/4 + 6*1/2 + 0*1/4 + 0*1/2 + 0*1+0*1/2+0*1/4+9*1/2 + 0*1/4=15/2$$

ثم ننزل إلى الصف الأخير بالمصفوفة الكبيرة

$$\begin{bmatrix} 0 & 0 & 0 \\ 0 & 3 & 0 \\ 0 & 0 & 0 \end{bmatrix} * \begin{bmatrix} 1/4 & 1/2 & 1/4 \\ 1/2 & 1 & 1/2 \\ 1/4 & 1/2 & 1/4 \end{bmatrix} =$$

$$0*1/4 + 0*1/2 + 0*1/4 + 0*1/2 + 3*1 + 0*1/2 + 0*1/4 + 0*1/2 + 0*1/4=3$$

$$\begin{bmatrix} 0 & 0 & 0 \\ 3 & 0 & 4 \\ 0 & 0 & 0 \end{bmatrix} * \begin{bmatrix} 1/4 & 1/2 & 1/4 \\ 1/2 & 1 & 1/2 \\ 1/4 & 1/2 & 1/4 \end{bmatrix} =$$

$$0*1/4 + 0*1/2 + 0*1/4 + 3*1/2 + 0*1 + 4*1/2 +0*1/4+0*1/2+ 0*1/4=7/2$$

$$\begin{bmatrix} 0 & 0 & 0 \\ 0 & 4 & 0 \\ 0 & 0 & 0 \end{bmatrix} * \begin{bmatrix} 1/4 & 1/2 & 1/4 \\ 1/2 & 1 & 1/2 \\ 1/4 & 1/2 & 1/4 \end{bmatrix} =$$

$$0*1/4 + 0*1/2 + 0*1/4 + 0*1/2 + 4*1 + 0*1/2 + 0*1/4 + 0*1/2 + 0*1/4=4$$

$$\begin{bmatrix} 0 & 0 & 0 \\ 4 & 0 & 9 \\ 0 & 0 & 0 \end{bmatrix} * \begin{bmatrix} 1/4 & 1/2 & 1/4 \\ 1/2 & 1 & 1/2 \\ 1/4 & 1/2 & 1/4 \end{bmatrix} =$$

$$0*1/4 + 0*1/2 + 0*1/4 + 4*1/2 + 0*1 + 9*1/2+0*1/4+0*1/2+ 0*1/4=13/2$$

$$\begin{bmatrix} 0 & 0 & 0 \\ 0 & 9 & 0 \\ 0 & 0 & 0 \end{bmatrix} * \begin{bmatrix} 1/4 & 1/2 & 1/4 \\ 1/2 & 1 & 1/2 \\ 1/4 & 1/2 & 1/4 \end{bmatrix} =$$

$$0*1/4 + 0*1/2 + 0*1/4 + 0*1/2 + 9*1 + 0*1/2 + 0*1/4 + 0*1/2 + 0*1/4=9$$

المصفوفة الناتجة بعد عملية التأليف هي

$$\begin{matrix} 3 & 4 & 5 & 6 & 7 \\ 17/4 & 6 & 25/4 & 13/2 & 5/2 \\ 9/2 & 7 & 13/2 & 6 & 2 \\ 4 & 11/2 & 26/4 & 15/2 & 5/2 \\ 7/2 & 4 & 13/2 & 9 & 3 \end{matrix}$$

عدد المرات التي استخدمنا فيها الماسك هي 25

يمكن أن نجد قاعدة لإيجاد المعدل بين الجيران إذا افترضنا بأن ماسك التأليف هو $M(r,c)$
 مصفوفة وقيم عناصر الصورة هي $I(r,c)$
 فأنتا تحصل على معادلة تأليف هي

$$\sum_{x=\infty} \sum_{y=\infty} I(r-x, c-y) M(x, y) \dots \dots \dots \dots (3)$$

تحول الماسك إلى y, x لأنّة تحول إلى البكسلات $c-y, r-x$ الناتج عن التزحيف للصفوف والأعمدة؟ برهن ذلك؟

الجواب // نقوم بفك الـ \sum والـ $M(x,y)$ هي حجم المصفوفة وهي 3×3 والـ $r-x, c-y$ هي المصفوفة بعد التوسيع وهي 7×7 والـ r, c وهي 7×7 والـ x, y يعني حجم المصفوفة هي 7×7 والـ x, y هي قيم الـ \sum التي تبدأ من 1 إلى 3

X	Y	$I(r-x, c-y) * M(x, y)$
1	1	$I(6, 6) * M(1, 1)$
1	2	$I(6, 5) * M(1, 2)$
1	3	$I(6, 4) * M(1, 3)$
2	1	$I(5, 6) * M(2, 1)$
2	2	$I(5, 5) * M(2, 2)$
2	3	$I(5, 4) * M(2, 3)$
3	1	$I(4, 6) * M(3, 1)$
3	2	$I(4, 5) * M(3, 2)$
3	3	$I(4, 4) * M(3, 3)$

مثال // لماذا تتطلب التaffيف طريقة العديد من الحسابات بالمقارنة مع طريقة أيجاد المعدل للجيران؟ ما هو السبيل لحل هذه المشكلة؟

الجواب // سعة المصفوفة الأصلية يكون أكبر بالنسبة للتaffيف مثلا $(3 \times 3) I$ تصبح $(7 \times 7) I$ بينما بالمعدل فإن سعة المصفوفة $(3 \times 3) I$ تصبح $(5 \times 5) I$ يعني التaffيف تكبير السعة وبهذه الطريقة نعتمد على الماسك والطريقة بالمعدل لا تعتمد على الماسك بل فقط على عناصر الصورة ونجد المعدل بين العنصرين فقط.

بالتأffيف :
 1- حجم الصورة سعتها كبيرة
 2- تعتمد على الماسك الذي يضرب بالعناصر .
 والحل لهذه المشكلة هو استخدام الحاسوب لأجراء عملية التaffيف حيث تسهل وتسرع الخوارزمية .

يمكن إجراء الترتيب الأولي (First order) باستخدام التaffيف بحيث يمثل طريقة الZero ويساعد على التaffيف (توسيع) المصفوفة (الصورة) مع قيم الاصفار باستخدام ماسك ثانٍ هو

$$\begin{bmatrix} & 1 \\ & 1 \end{bmatrix}$$

وتتضمن هذه الطريقة كالأتي :

- 1- حشر صفوف وأعمدة من الاصفار (نفس الطريقة السابقة)
- 2- نأخذ الماسك بحجم (2×2) من الصورة ونقوم بأجراء عملية الضرب والجمع لكن هنا يجب أن تعطى النتائج في الجهة اليمنى السفلى .

$$\begin{bmatrix} 3 & 2 & 1 \\ 4 & 9 & 5 \\ 6 & 7 & 6 \end{bmatrix}$$

وهذه المصفوفة تصبح بعد التaffيف

$$\begin{bmatrix} 0 & 0 & 0 & 0 & 0 & 0 & 0 \\ 0 & 3 & 0 & 2 & 0 & 1 & 0 \\ 0 & 0 & 0 & 0 & 0 & 0 & 0 \\ 0 & 4 & 0 & 4 & 0 & 5 & 0 \\ 0 & 0 & 0 & 0 & 0 & 0 & 0 \\ 0 & 6 & 0 & 7 & 0 & 6 & 0 \\ 0 & 0 & 0 & 0 & 0 & 0 & 0 \end{bmatrix} * \begin{bmatrix} 1 & 1 \\ 1 & 1 \end{bmatrix}$$

بعد ضرب المصفوفة بال MASKE أعلاه تكون المصفوفة النهائية هي

$$\begin{array}{ccccccc} 3 & 3 & 2 & 2 & 1 & 1 \\ 3 & 2 & 2 & 1 & 1 & 3 \\ 4 & 9 & 9 & 5 & 5 & 4 \\ 4 & 9 & 9 & 5 & 5 & 4 \\ 6 & 7 & 7 & 2 & 2 & 6 \end{array}$$

6 7 7 2 2 6

هذه النتيجة بالZero هي تشبه أو نفس طريقة التلقيف بالاصفار عندما تضرب بالماسک

4- التكبير باستخدام المعامل K :

يعني مثلاً كبر الصورة (المصفوفة) مثلاً 3 مرات بحجمها يعني المعامل $K = 3$ يضرب في سعة المصفوفة .

أذا كان المطلوب تكبير مصفوفة (جزء من صورة) تكبيرها ثلاثة أو أربع مرات أو غيرها ... نستخدم ما يسمى بمعامل K ونقوم وبالتالي :

1- طرح قيمة كل قيمتين متتاليتين .

2- قسمة الناتج على معامل التكبير

3- إضافة النتيجة إلى أصغر قيمة ونستمر بالإضافة لكل العناصر بمقدار 1- K .

4- تطبيق هذه الخطوات على الصفوف والأعمدة .

مثال // لديك جزء الصورة التالية المطلوب تكبيرها بمقدار 3 مرات من حجمها الأصلي ؟

[125 140 155]

الحل // نأخذ كل قيمتين متتاليتين فنطرح الصغير من الكبير

$$140 - 125 = 15$$

$$15/3 = 5$$

$$125 + 5 = 130$$

ثم نقسم الناتج على 3

ثم نضيف نتيجة القسمة إلى أصغر قيمة فتصبح

$$K = K - 1 = 3 - 1 = 2$$

$$130 + 5 = 135$$

أي نضيف 5 مرتين

فتصبح النتيجة هناك رقمين بين الـ 125 والـ 140

[125 130 135 140]

ثم نأخذ الرقمين المتتاليين الآخرين وهما 140 و 155

$$155 - 140 = 15$$

$$15/3 = 5$$

$$K = K - 1 = 3 - 1 = 2$$

$$140 + 5 = 145$$

$$145 + 5 = 150$$

فتصبح المصفوفة على الشكل التالي

[125 130 135 140 145 150 155]

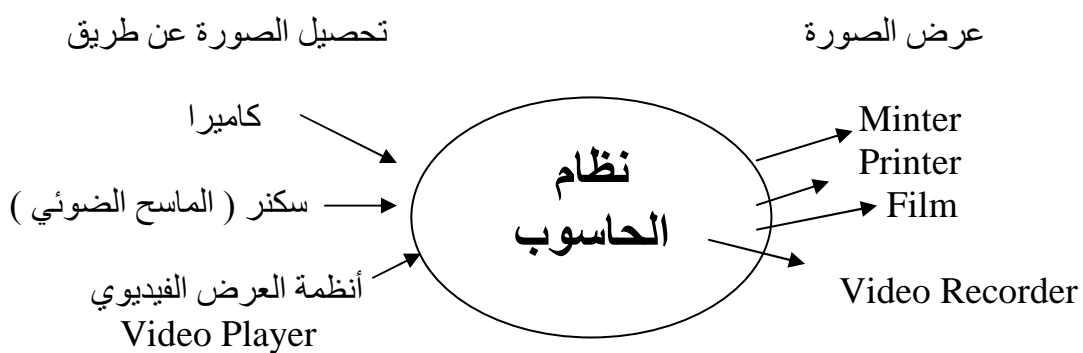
واجب // لديك المصفوفة التالية المطلوب تكبيرها أربع مرات $K = 4$ ؟

[140 160 180]
[160 180 200]

4-2 أنظمة صور الحاسوب

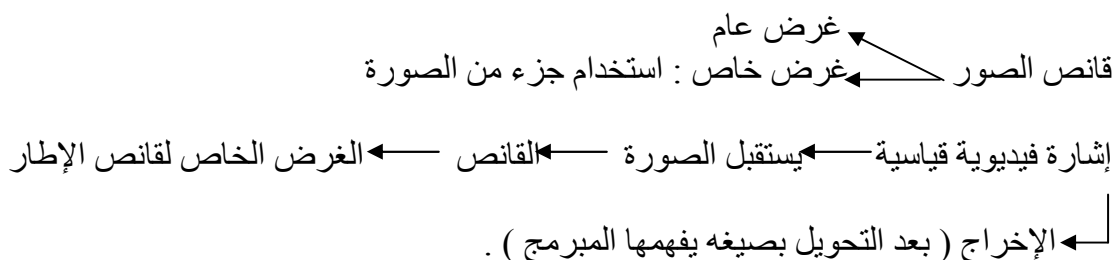
يمكن أن تقسم المكونات الابتدائية للحاسوب إلى المكونات المادية والبرمجيات :

- 1- المكونات المادية : يمكن أن تقسم إلى الأنظمة الفرعية لتحصيل الصورة أو الحاسوب نفسها واستخدام أجهزة العرض .
 - 2- البرمجيات : يمكن تمثيلها كوصف للبرامج المستخدمة لتمثيل بيانات الصورة ويمكن لهذه البرمجيات السيطرة على تحصيل الصورة ومعالجة الخزن .
- H/W : تحصيل الصورة والعرض والخزن
S/W : البرامج (البيانات التمازجية تحول إلى بيانات رقمية)



الشكل(7): يمثل المكونات المادية لنظام صورة بالحاسوب

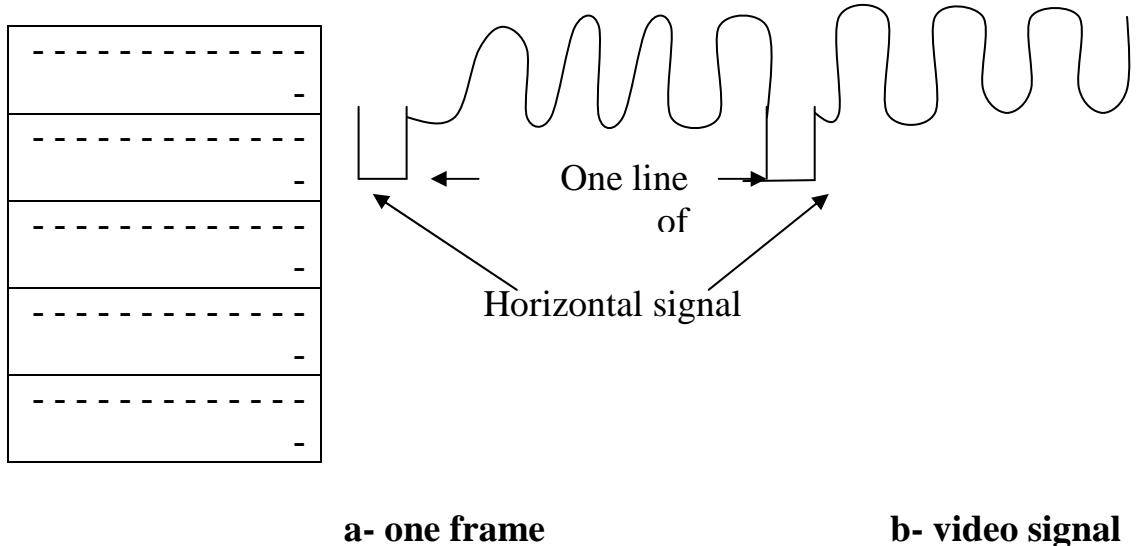
نظام الحاسوب يمكن أن يستخدم كنظام متعدد الأغراض من خلال ما يسمى بقانص الإطار أو المرقم للصورة كوحدة لإدخال الصورة المستخدمة . يمكن أن تعتبر قانص الإطار كغرض خاص بالمكونات المادية لأنها يقبل الإشارة الفيديوية القياسية وإخراج الصورة بصيغة معينة من خلال الحاسوب بحيث يفهمها المستخدم.



الغرض العام : يستخدم الصورة كاملة بحيث يقوم قانص الإطار كمرقم للصورة الكاملة فالصورة الرقمية هنا هي الصورة المحولة من قبل قانص الإطار إلى صورة رقمية .

الترقيم (Digitalization) : وهي معالجة تحويل الصورة من الإشارة الفيديوية القياسية إلى صورة رقمية فالتحويل هذا ضروري لأن الإشارة الفيديوية القياسية تكون بصيغة تمازجية (Continuous Symbol) لذا يتطلب التحويل إلى صيغة أخرى تسمى الإشارة الرقمية (Continuous Symbol) أو أرقام .

الإشارة الفيديوية تتكون من مجموعة من الإطارات الفيديوية التي تحتوي على المعلومات ، كل إطار يتكون من مكونات تملأ الشاشة بصيغة مرئية للمعلومات أي أنه يمكن أن نقسم هذا الإطار إلى حقول وهذه الحقول بدورها تحتوي على خطوط خاصة بالمعلومات الفيديوية .



a- one frame

b- video signal

شكل(8): الإشارة الفيديوية

5-2 صور الحاسوب

يمكن أن نعرفها بأنها تحصيل (اكتساب) ومعالجة المعلومات المرئية بواسطة الحاسوب و يمكن أن نقسمها إلى مستويين مختلفين من المساحة هما :

- 1- الرؤية بالحاسوب
- 2- معالجة الصور

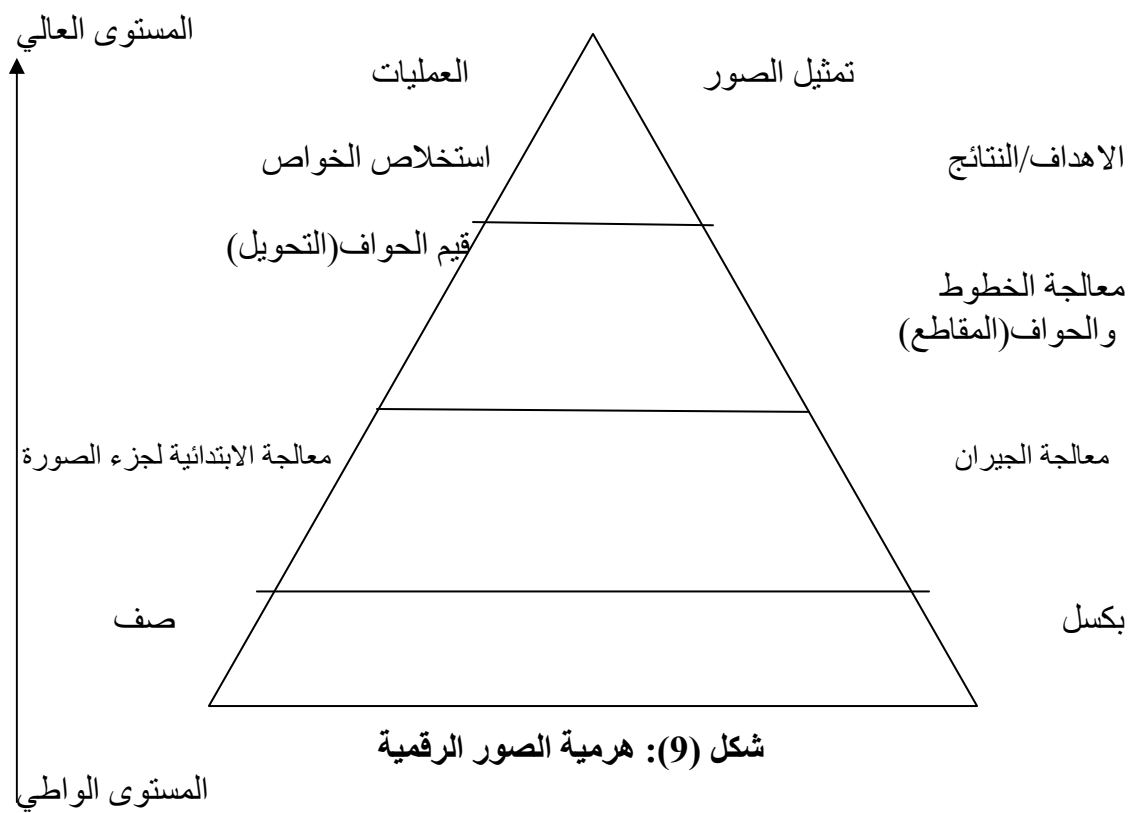
الرؤية بالحاسوب : هي صور الحاسوب التي يكون فيها التطبيق لا يستخدم من خلال الشخص كبداية في عمليات تدويريه تكراريه مرئية للصورة المختبرة وفعاليتها بواسطة الحاسوب وهي واحدة من الخصائص أو الحقول التي نمثلها في الرؤية بالحاسوب مثل تحليل الصورة حيث يستخدم تحليل الصورة لاختيار بيانات الصورة الخاصة بعمليات بيانات الصور والتسهيل وحلول الرؤية بالحاسوب يمكن أن نقسمها بصورة عامة إلى قسمين

- 1- استخلاص الخواص
- 2- تصنیف النماذج

استخلاص الخواص : هو معالجة معلومات الصورة ذات المستوى العالي المكتسبة مثل الحدود والألوان للصورة وغيرها .

تصنيف النماذج : هو الفعالية المستخدمة لمعالجة معلومات المستوى العلیا للصورة وتعريف الأهداف الخاصة بها .

معالجة الصورة : هي المعالجة التي يكون فيها تطبيق الصورة معتمداً على الشخص (العمليات التكرارية المرئية المتمننة والفعالة للشخص) ويمكن أن نقسم معالجة الصورة إلى أربعة أنواع رئيسية هي :



ملاحظة// شكل المثلث يمثل هرمية الصورة .

المستوى الأول/ المتطلبات بالبكسل (تعالج البيانات بشكل خطى لبيانات صفات الصورة لأن المعالجة هي صفات صفات)

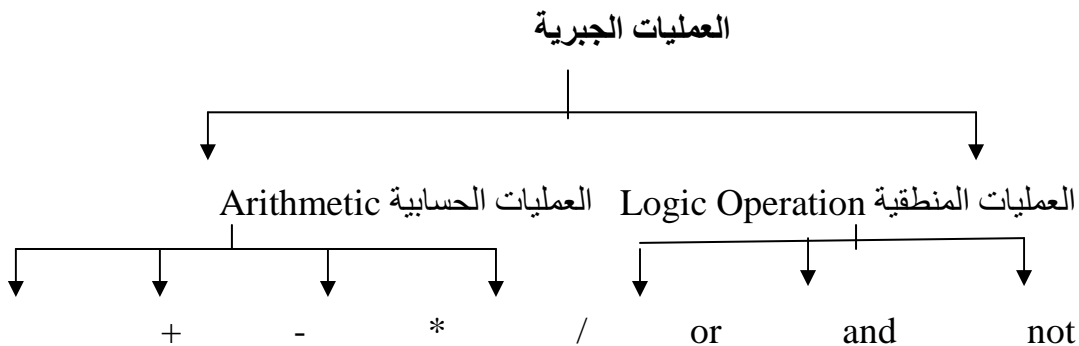
المستوى الثاني/ جiran الكسل (صورة جزئية) سوف نعمل لها معالجة ابتدائية تكبير أو تصغير ()

المستوى الثالث / (خطوط وحواف مقطعة طيفية) نعمل لها عمليات التحويل والتقطيع وتحديد الحواف

المستوى الرابع الأخير / (خواص الأهداف يعني نعمل استخلاص الخواص) .

6-2 العمليات الجبرية Image Algebra

العمليات الجبرية تقسم إلى عمليات رياضية (عمليات حسابية) وعمليات منطقية ويمكن تحديد العمليات الجبرية بالمخيط التالي



شكل(10): مخطط يوضح العمليات الجبرية للصورة الرقمية

العمليات الحسابية:

* عملية الجمع (Addition)

عملية الجمع تستخدم لجمع معلومات صورتين من خلال جمع عناصر الصورة الأولى مع الثانية مبتدئين بالعنصر الأول من الصورة الأولى مع العنصر الأول من الصورة الثانية وهكذا بالنسبة لباقي العناصر . ونستخدم طريقة الجمع في إعادة أو ترقيم الصورة Image Restoration و إضافة الضوضاء للصورة Noise (نوع من أنواع التشويش) .

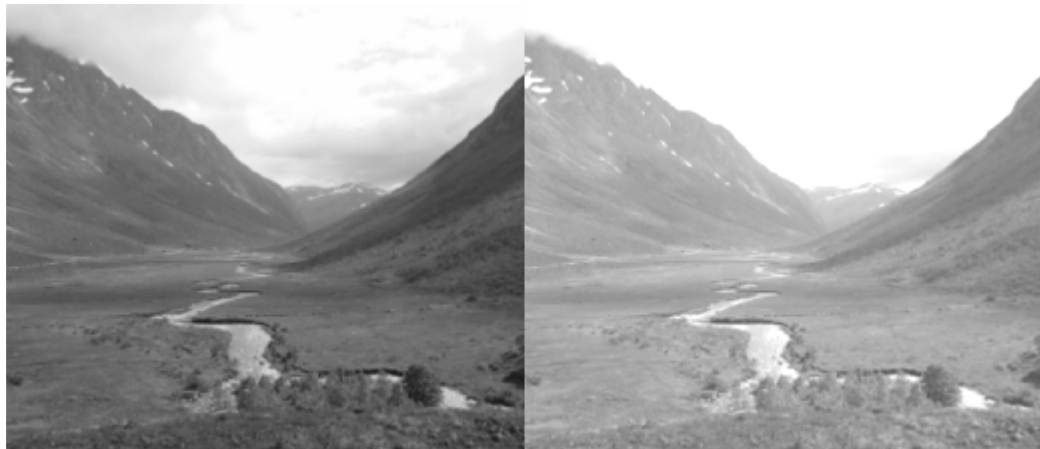
مثال // لديك جزئي الصورتين التاليتين الصورة الأولى هي I_1 والصورة الثانية هي I_2 المطلوب جمع هاتين جمع الجزئين؟

$$I_1 = \begin{bmatrix} 3 & 4 \\ 2 & 4 \\ 2 & 4 \end{bmatrix}^7 \quad I_2 = \begin{bmatrix} 6 & 6 & 6 \\ 4 & 2 & 6 \\ 3 & 5 & 5 \end{bmatrix}$$

// الحل

$$I_1 = \begin{bmatrix} 3 & 4 & 7 \\ 2 & 4 & 5 \\ 2 & 4 & 6 \end{bmatrix} + I_2 = \begin{bmatrix} 6 & 6 & 6 \\ 4 & 2 & 6 \\ 3 & 5 & 5 \end{bmatrix}$$

$$=I_3= \begin{bmatrix} 9 & 10 & 13 \\ 6 & 6 & 11 \\ 5 & 9 & 11 \end{bmatrix}$$



شكل(11): تستخدم الجمع لزيادة إضاءة صورة

مثال // في حالة استخدام الجمع للـ Noise ما هي الطريقة برأيك لإعادة الصورتين ؟
الجواب // سوف نعتمد على النتيجة حيث نطرح إحدى المصفوفتين من النتيجة فالمصفوفة الناتجة من الطرح هي مصفوفة الضوضاء حيث نبدأ من الهدف ونخترق احتمالات الهدف باستخدام احتمالات فضاء البحث

* عملية الطرح :

تستخدم عملية الطرح لطرح معلومات صورتين بحيث نطرح كل عنصر في الصورة الأولى مع العنصر الذي يقابلها من الصورة الثانية . حيث يستخدم الطرح في تحديد الحركة على افتراض أن الصورتين متشابهتين لكن الأشياء الموجودة داخل الصورة مختلفة .

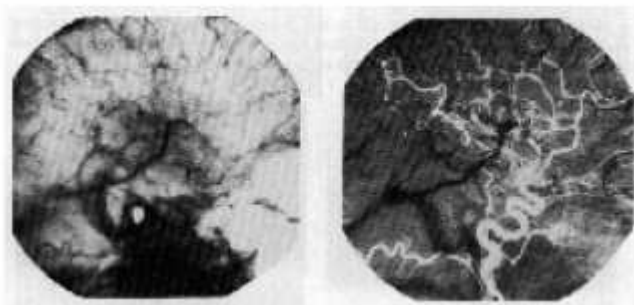
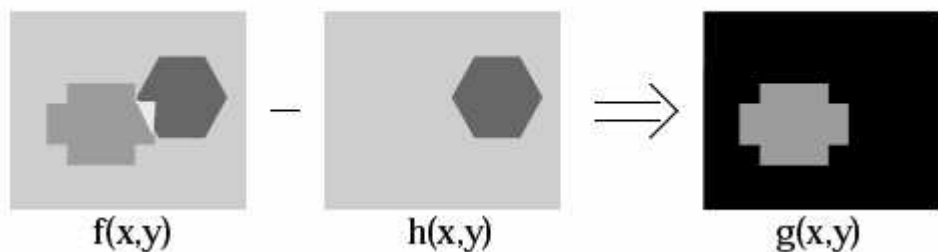
مثلاً // لديك الصورتين الآتتين المطلوب طرح الصورتين ؟؟

$$\left[\begin{array}{ccc} I_1 & 7 & 3 \\ & 9 & 8 \\ & 3 & 3 \end{array} \right] \begin{matrix} 2 \\ 6 \\ 3 \end{matrix} \quad \left[\begin{array}{cccc} I_2 & 6 & 1 & 1 \\ & 5 & 3 & 2 \\ & 1 & 1 & 1 \end{array} \right]$$

$$\text{الحل //} \\ I_1 \begin{bmatrix} 7 & 3 & 2 \\ 9 & 8 & 6 \\ 3 & 3 & 3 \end{bmatrix} + I_2 \begin{bmatrix} 6 & 1 & 1 \\ 5 & 3 & 2 \\ 1 & 1 & 1 \end{bmatrix} = \begin{bmatrix} 1 & 2 & 1 \\ 4 & 5 & 4 \\ 2 & 2 & 2 \end{bmatrix}$$

في عملية الطرح المتشابه سوف يحذف والمختلف سوف يبقى ويمكن تحديد الحركة بسهولة

$$g(x,y) = f(x,y) - h(x,y) \quad \text{e.g., mask mode radiography}$$



شكل(12): عملية الطرح للصورة

* عملية الضرب

تم العملية بضرب عناصر المصفوفة الخاصة بالصورة بمعامل أكبر من الواحد وتستخدم لزيادة أو تقليل الصورة
مثلا : المعامل K يجب أن يكون أكبر من الواحد عندما نريد تكبير الصورة

مثل // لديك الصورة التالية المطلوب زيتها وتقليصها بإحدى عمليات الجبرية للصور الرقمية

$$\begin{bmatrix} 3 & 4 & 7 \\ 3 & 4 & 5 \\ 2 & 4 & -6 \end{bmatrix}$$

الجواب //

باستخدام عملية الضرب 1- زيتها 2- تقليصها
نستخدم الضرب كعمليات حسابية جبرية مثلاً ضرب المصفوفة هذه في معامل (هنا نحن نختار المعامل لأن لم يحدد لنا بالسؤال)

يكون المعامل هو $K=3$ أكبر من الواحد في حالة الزيادة

$$\begin{bmatrix} 3 & 4 \\ 3 & 4 \\ 2 & 4 \end{bmatrix} * 3 = \begin{bmatrix} 9 & 12 & 21 \\ 9 & 12 & 15 \\ 6 & 12 & 18 \end{bmatrix}$$

في حالة تقليل الصورة تضرب في 3 - أقل من الواحد

$$\begin{bmatrix} 3 & 4 & 7 \\ 3 & 4 & 5 \\ 2 & 4 & 6 \end{bmatrix} * -3 = \begin{bmatrix} -9 & -12 & -21 \\ -9 & -12 & -15 \\ -6 & -12 & -18 \end{bmatrix}$$

مثال // مثلا لدينا المصفوفة (جزء من صورة) التي تعتبر ناتج عملية الزيادة وال($K=3$)
المطلوب أيجاد المصفوفة الأصلية ؟؟
الجواب // هناك طريقتين للحل

- 1- نقسم المصفوفة على معامل K حيث تقسم كل قيمة موجودة بالمصفوفة الناتجة على المعامل (3) فتنتج المصفوفة الأصلية .
- 2- بدلالة النصسان بحيث نستخدم المعامل $K=1/3$ أقل من الواحد مثلا
ملاحظة //

$1 < K$ في حالة الزيادة يجعل الصورة تميل للبياض
 $1 > K$ في حالة النقصان (التقليل) وهذا الصورة تميل للسوداد (الظلام)

* عملية القسمة
نقسم عناصر الصورة المعطاة على معامل أكبر من الواحد حيث يجعل عملية القسمة هذه الصورة بشكل مظلم .

مثال // لديك المصفوفة التالية وهي جزء من صورة المطلوب تقسيم الصورة على معامل 4

$$\begin{bmatrix} & & 8 & 12 & 16 \\ & & 8 & 16 & 8 \\ & & 20 & 24 & 16 \end{bmatrix} \quad \text{الحل} \\ \begin{bmatrix} 8 \\ 8 \\ 20 \end{bmatrix} \begin{bmatrix} 12 & 16 \\ 16 & 8 \\ 24 & 16 \end{bmatrix} \div 4 = \begin{bmatrix} 2 & 3 & 4 \\ 2 & 4 & 2 \\ 5 & 6 & 4 \end{bmatrix}$$

إذا المعامل أكبر من الواحد يجعل الصورة بالقيم تمثل إلى السواد على عكس عملية الضرب التي تجعل الصورة تمثل للبياض . وذلك لأن الصورة قد صغرت أي قريبة للصفر وهو جهة السواد أما الضرب فهو زيادة لأنة يكبر ويقترب لجهة البياض .

العمليات المنطقية :

* العملية المنطقية AND

يتم تطبيق العمليات المنطقية على عناصر الصورة بعد تحويل كل عنصر من عناصر الصورة إلى الحالة الثنائية (Binary) بحيث يمكن استخدام العمليات المنطقية فيها من خلال طريقة (ROI) . تعتبر الـ AND شبيهه بعملية الضرب أي أن الصورة تمثل إلى البياض وتتم من خلال مربع أبيض مع عناصر الصورة بحيث يكون الناتج جزء من الصورة المقابل للمربع الأبيض .

(AND) : تجعل الجزء الذي نريده نجعل خلفيته بلون أبيض أما الـ OR نجعل خلفيه الجزء المراد سواداً ()

* العملية المنطقية OR

تتم هنا بأخذ مربع اسود وخلفية بيضاء لبيانات الصورة المطلوبة من الصورة الأصلية وأن عملية الـ OR تشبه عملية الجمع .

* العملية المنطقية NOT

تستخدم بإعطاء القيم السالبة للصورة الأصلية أي يحدد عكس الصورة (مثل فلم الكاميرا negative) أي تتم عكس بيانات الصورة أي الأسود يصبح أبيض والأبيض يصبح اسود

$$\begin{bmatrix} 7 & 3 & 2 \\ 9 & 8 & 6 \\ 3 & 3 & 3 \end{bmatrix} \text{ مثلا // إذا كان لديك جزء الصورة التالي المطلوب استخدام الـ NOT؟} \quad \text{الحل //}$$

$$\begin{bmatrix} 7 & 3 & 2 \\ 9 & 8 & 6 \\ 3 & 3 & 3 \end{bmatrix} * -1 = \begin{bmatrix} -7 & -3 & -2 \\ -9 & -8 & -6 \\ -3 & -3 & -3 \end{bmatrix}$$

والصورة الناتجة من عملية الـ NOT هي قريبة للسواد وبيانات هذه الصورة يجب أن تحول إلى صيغة الـ (Binary) (0 ، 1) .



شكل(13) : عملية not للصورة الأصلية

مثال // طبق عملية بوابة ب (AND) لعنصر من الصورة بحيث العنصر الأول هو 88 والعنصر الثاني هو 111
الحل //

$$\begin{array}{r}
 2 \quad 88 \\
 | \\
 2 \quad 44 \\
 | \\
 2 \quad 22 \\
 | \\
 2 \quad 11 \\
 | \\
 2 \quad 5 \\
 | \\
 2 \quad 2 \\
 | \\
 2 \quad 1 \\
 | \\
 2 \quad 0
 \end{array}
 \begin{array}{r}
 \uparrow \quad 0 \\
 \quad 0 \\
 \quad 0 \\
 \quad 1 \\
 \quad 1 \\
 \quad 0 \\
 \quad 1 \\
 \quad 0
 \end{array}
 \begin{array}{l}
 \text{نحو 88 إلى الصيغة الثنائية } (1, 0) \text{ بحيث يكون} \\
 01011000
 \end{array}$$

$$\begin{array}{r}
 2 \quad 111 \\
 | \\
 2 \quad 55 \\
 | \\
 2 \quad 27 \\
 | \\
 2 \quad 13 \\
 | \\
 2 \quad 6 \\
 | \\
 2 \quad 3 \\
 | \\
 2 \quad 1 \\
 | \\
 2 \quad 0
 \end{array}
 \begin{array}{r}
 \uparrow \quad 1 \\
 \quad 0 \\
 \quad 1 \\
 \quad 1 \\
 \quad 0
 \end{array}
 \begin{array}{l}
 01101111
 \end{array}$$

Binary (ال NOT وال OR وال AND) يجب أن تكون كلها

$$\begin{array}{r}
 01101111_2 \\
 \text{AND} \quad * \quad 01011000_2 \\
 \hline
 \end{array}$$

7-2 تحسين الصورة (المرشحات الحيزية) (Special Filter)

مرشح (Filter) يعني عملية تقوم بتصفية الصورة من الشوائب العالقة أي تبرز ملامح الجزء الذي نريده من الصورة بإزالة الضوضاء و الشوائب .

نستخدم المرشحات الحيزية لإزالة الضوضاء أو لتحسين الصورة حيث تطبق هذه المرشحات في مجال الصورة مباشرة (على عناصر الصورة مباشرة) وليس في مجال التردد (التحويل) حيث تستخدم عناصر الصورة باستخدام أحدى التحويلات مثل تحويل فوريير وتحويلات \cos وتقسم الفلاتر إلى ثلاثة أنواع :

- 1- مرشح المتوسط Mean Filter
- 2- مرشح الوسيط Median Filter
- 3- مرشح التحسين Enhancement Filter

نستخدم النوعين الأول والثاني لإزالة الضوضاء بالإضافة إلى بعض التطبيقات التي تعطي شكل التباعد للصورة أي 1- إزالة الضوضاء 2- التباعد أما النوع الثالث يستخدم لتوضيح الحافات والتفاصيل الموجودة في الصورة حيث تطبق المرشحات الحيزية أما باستخدام العناصر مباشرة بدون استخدام ماسك أو عن طريق ماسك تأثير مع العناصر ومجاوراتها.

يمكن معرفة نتائج الماسك كالتالي :

- 1- إذا كان مجموع معاملات الماسك يساوي 1 يعني إضاءة عالية للصورة .
- 2- إذا كان مجموع المعاملات يساوي 0 فإن إضاءة الصورة تفقد أي تميز للسواد .
- 3- إذا كانت المعاملات سالبة وموجبة يعني ذلك معلومات عن الحواف .
- 4- إذا كانت المعاملات موجبة فقط يحصل نوع من التشويه بالصورة .

1- مرشح المتوسط Mean Filter

$$\begin{bmatrix} 1/9 & 1/9 & 1/9 \\ 1/9 & 1/9 & 1/9 \\ 1/9 & 1/9 & 1/9 \end{bmatrix}$$

هو مرشح خطى عناصره هي

وكل عناصره موجبة ولأنها كلها موجبة إذا هنالك تشويه بالصورة وبما أن مجموع عناصر الماسك يساوي 1 إذن هناك إضاءة عالية

مثلا // طبق ماسك ال Mean على الصورة التالية

$$\begin{bmatrix} 2 & 3 & 5 & 4 \\ 1 & 5 & 6 & 7 \\ 2 & 3 & 9 & 11 \end{bmatrix}$$

// الحل

$$\begin{bmatrix} 2 & 3 & 5 \\ 1 & 5 & 6 \\ 2 & 3 & 9 \end{bmatrix} * \begin{bmatrix} 1/9 & 1/9 & 1/9 \\ 1/9 & 1/9 & 1/9 \\ 1/9 & 1/9 & 1/9 \end{bmatrix}$$

$$2/9 + 3/9 + 5/9 + 1/9 + 5/9 + 6/9 + 2/9 + 3/9 + 9/9 = 4$$

$$\begin{bmatrix} 3 & 5 & 4 \\ 5 & 6 & 7 \\ 3 & 2 & 11 \end{bmatrix} * \begin{bmatrix} 1/9 & 1/9 & 1/9 \\ 1/9 & 1/9 & 1/9 \\ 1/9 & 1/9 & 1/9 \end{bmatrix}$$

$$3/9 + 5/9 + 4/9 + 5/9 + 6/9 + 7/9 + 3/9 + 2/9 + 11/9 = 6$$

وبنا أن الناتج نقطتين فنصل بينهم فيصبح الشكل خطى



شكل(14): - مرشح المتوسط

Median Filter - مرشح الوسيط 2

هو عبارة عن مرشح لا خطى يعمل على عناصر الصورة مباشرة بعد تحديد ماسك من خلال العناصر حيث يستبدل مركز الصورة بالقيمة التي في الوسط

مثال // طبق Median Filter على جزء الصورة التالية ؟

$$\begin{bmatrix} 5 & 5 & 6 \\ 3 & 4 & 5 \\ 3 & 4 & 7 \end{bmatrix}$$

لا يوجد ماسك بالMedian ونعمل لها ماسك من عناصر المصفوفة حيث نأخذ عناصر الصورة ونعمل فيها ماسك وذلك بترتيب عناصر الصورة تصاعديا فتصبح :

1- الخطوة الأولى : نرتب العناصر تصاعديا

3 3 4 4 5 5 6 7

2- الخطوة الثانية : نقسم عدد العناصر على 2 لنتخرج الموضع الوسط

$9/2 = 4.5$ 5

3- الخطوة الثالثة : نرى ما هي قيمة الموضع الخامس

قيمة الموضع الخامس 5

ليس شرطا أن تتساوى القيمة مع الموضع الوسيط

4- الخطوة الرابعة : نغير الموضع الوسط بالمصفوفة وهو الموضع الخامس (4) الذي يكون مساويا للقيمة 5 بدل العنصر الوسط بالمصفوفة الأصلية وهو 4 (أي نضع 5 بدل الـ 4) وتصبح

	5	5	6
	3	5	5
	3	4	7

مثال // لديك جزء الصورة التالية

	2	3	5	4
	1	15	6	7
	2	3	9	11

// الحل

1- نأخذ الجزء (3*3) ونرتبه تصاعديا

1 2 2 3 3 4 6 9 15

2- نحدد العنصر في الوسط

$9/2 = 4.5 \rightarrow 5$

3- نجد القيمة التي في الوسط

$5 = 3$

4- نبدل العنصر الذي في الوسط ونكتب المصفوفة

	2	3	4
	1	3	6
	2	3	9

نأخذ الجزء التالي من المصفوفة وهو أيضا (3*3) ونرتبه تصاعديا

	3	5	4
	15	6	7
	3	9	11

1- نرتبه تصاعديا

3 3 4 4 6 7 9 11 15

2- نحدد العنصر في الوسط

$9/2 = 4.5 \rightarrow 5$

3- نجد القيمة التي في الوسط

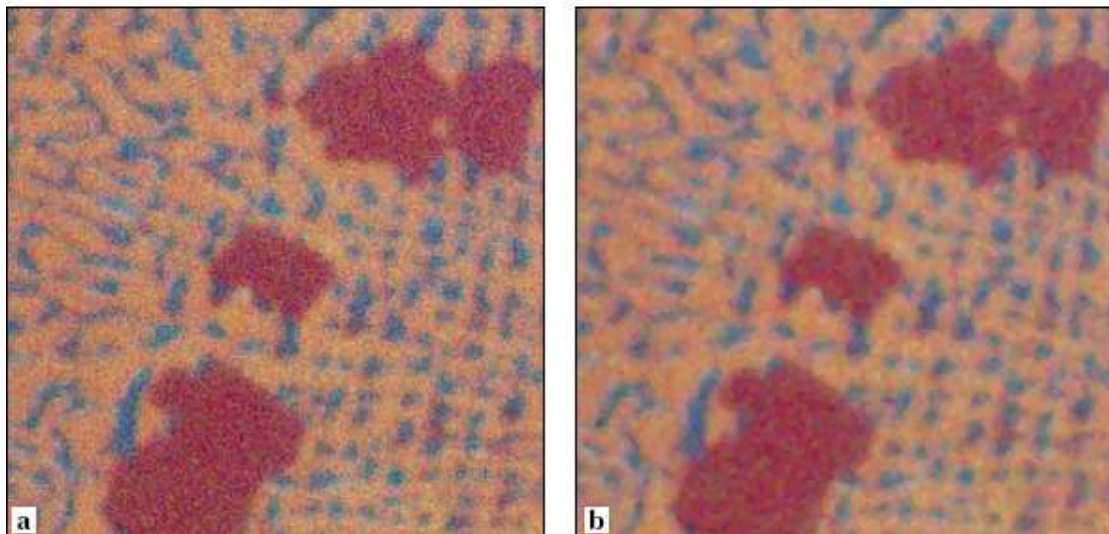
$5 = 6$

4- نبدل العنصر الذي في الوسط ونكتب المصفوفة

	3	5	4
	15	6	7
	3	9	11

وبالتالي تصبح المصفوفة الناتجة كالتالي :

$$\begin{bmatrix} 2 & 3 & 5 & 4 \\ 1 & 3 & 6 & 7 \\ 2 & 3 & 9 & 11 \end{bmatrix}$$



شكل(15) : مرشح الوسيط Median Filter

3- مرشح التحسين Enhancement Filter

التحسين يتكون من نوعين من المرشحات وهمما :

Laplacian Enhancement -1

Difference Enhancement -2

يستخدم النوع الأول لتحسين تفاصيل الصورة في جميع الاتجاهات وله ماسكين هما :

$$\begin{bmatrix} 0 & -1 & 0 \\ -1 & 5 & -1 \\ 0 & -1 & 0 \end{bmatrix} \quad \begin{bmatrix} 1 & -2 & 1 \\ -2 & 5 & -2 \\ 1 & -2 & 1 \end{bmatrix}$$

أما النوع الثاني فيستخدم لتحسين تفاصيل الصورة باتجاه واحد وله أربع ماسكات

$$\begin{bmatrix} 0 & +1 & 0 \\ 0 & +1 & 0 \\ 0 & -1 & 0 \end{bmatrix}$$

ماسك بالاتجاه العمودي

$$\begin{bmatrix} 0 & 0 & 0 \\ +1 & +1 & -1 \\ 0 & 0 & 0 \end{bmatrix}$$

ماسك بالاتجاه الأفقي

$$\begin{bmatrix} +1 & 0 & 0 \\ 0 & +1 & 0 \\ 0 & 0 & -1 \end{bmatrix}$$

ماسك بالاتجاه القطري الرئيسي

$$\begin{bmatrix} 0 & 0 & +1 \\ 0 & +1 & 0 \\ -1 & 0 & 0 \end{bmatrix}$$

ماسك بالاتجاه القطري الثانوي

مثال // طبق ماسك Laplacian بال MASKE الأول وما سك القطر الرئيسي على جزء

$$\begin{bmatrix} 2 & 3 & 5 & 4 \\ 1 & 5 & 6 & 7 \\ 2 & 3 & 9 & \underline{11} \end{bmatrix}$$

الصورة التالية؟؟

$$\begin{bmatrix} 2 & 3 & 5 \\ 1 & 5 & 6 \\ 2 & 3 & 9 \end{bmatrix} * \begin{bmatrix} 0 & -1 & 0 \\ -1 & 5 & -1 \\ 0 & -1 & 0 \end{bmatrix}$$

$$-3 - 1 + 25 - 6 - 3 = 12$$

$$\begin{bmatrix} 3 & 5 & 4 \\ 5 & 6 & 7 \\ 3 & 9 & 11 \end{bmatrix} * \begin{bmatrix} 0 & -1 & 0 \\ -1 & 5 & -1 \\ 0 & -1 & 0 \end{bmatrix}$$

$$-5 - 5 + 30 - 7 - 9 = 4$$

أما في حالة الـ Difference

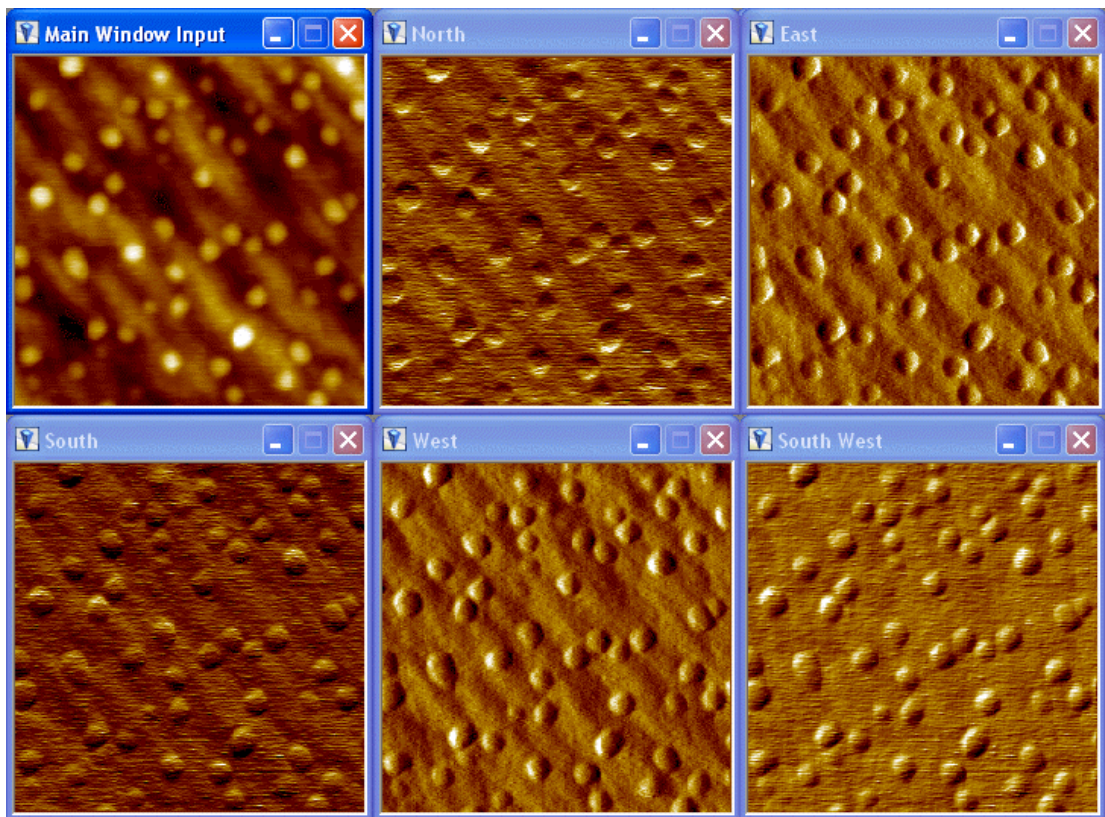
$$\begin{bmatrix} 2 & 3 & 5 \\ 1 & 5 & 6 \\ 2 & 3 & 9 \end{bmatrix} * \begin{bmatrix} 1 & 0 & 0 \\ 0 & 0 & 0 \\ 0 & 0 & -1 \end{bmatrix}$$

$$2 + 5 - 9 = -2$$

$$\begin{bmatrix} 3 & 5 & 4 \\ 5 & 6 & 7 \\ 3 & 9 & 11 \end{bmatrix} * \begin{bmatrix} 1 & 0 & 0 \\ 0 & 0 & 0 \\ 0 & 0 & -1 \end{bmatrix}$$

$$3 + 6 - 11 = -2$$

إذا في الرسم البياني نعتمد على الموقع وليس على القيمة أي أن الـ 12 موقعها .(1 ، 1)



شكل(16):تحسين الصورة بجميع الاتجاهات Difference Enhancement

8-2 تقليص الصور (Image Quantization)

الفرق بين الضغط والتقليل : تقليل الصورة هي عملية نقل بيانات الصورة بإزالة بعض معلومات الصورة بإسقاط مجموعه عناصر الصورة إلى نقطة واحدة تتم عملية التقليل هذه (تكثيم) .

أما الضغط : الصورة نفسها تعامل معها كملف بينما التقليل قد يحذف جزء من الصورة وتعامل مع القيم للصورة.

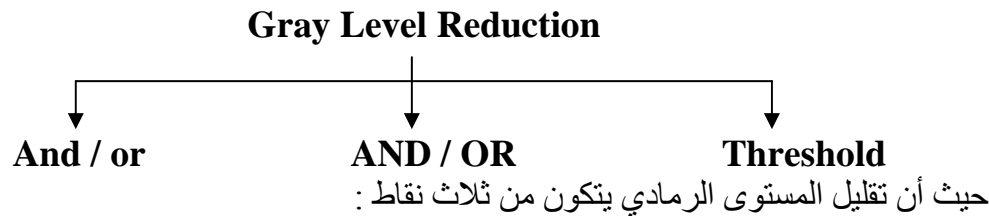
يوجد مجالان لتقليل الصورة هما :

Gray Level Reduction - 1
أي نقوم بتقليل المستويات اللونية للصورة وهذا يتم على $I(r, c)$.

Special Reduction - 2
وهذا يتم العمل على إحداثيات عناصر الصورة (r, c) الموقعة مثلًا $(1, 1)$

Gray Level Reduction -1

يمكن أن نوضح أقسامه كالتالي:



أ- الطريقة الأولى **Threshold**

يتم اختيار قيمة معينة من المستويات اللونية هذه القيمة تسمى عتبة فـأـي قيمة من بيانات الصورة أعلى من قيمة العتبة تصبح قيمتها واحد وإذا أقل تصبح قيمتها صفر ، يعني يتم هنا تحويل العدد ذات المستويات اللونية 256 إلى صور ثنائية .

مثال //

إذا كانت قيمة العتبة 127 طبقها للقيم التالية:

Gray Level

11

100

129

200

251

الحل // نرى أن أعلى قيمة هي 251 وأقل قيمة هي 11
حسب الصورة الثنائية العتبة هي 127 فتكون

Gray level

Threshold

11	0
100	0
129	1
200	1
251	1

مثال // إذا كانت قيمة العتبة 127 طبقها للقيم التالية:

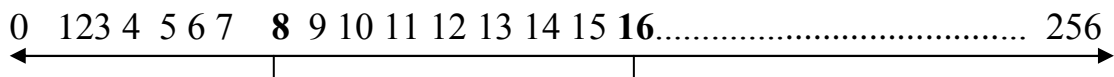
الحل// هذه القيمة كلها تكون أقل من العتبة 127 فيكون أصفار فـيـ هـذـهـ الـحـالـةـ نـدـدـ الـأـكـبـرـ وـأـقـلـ وـنـأـخـذـ الـوـسـطـ فـيـكـوـنـ أـقـلـ قـيـمـةـ 2ـ وـأـكـبـرـ قـيـمـةـ 25ـ أـذـاـ الـوـسـطـ بـيـنـهـمـ هـوـ 12ـ أـوـ 13ـ

Gray level	Threshold
7	0
11	0
2	0
4	0
20	1
25	1

بـ. الطريقة الثانية : هي عملية ال OR ، عدم استخدام الماسك
وهنا تتم تقليل عدد البتات لكل عنصر (Bit Per pixel)

// مثل

نريد أن نقلص أو نقلل المعلومات لثمان بتات إذا كان الاحتمال القياسي لنا هو 256 للمستوى الرمادي إلى 32 مستوى استخدام طريقة ال AND لتوضيح ذلك أقل رقم من كل خانة بال AND
الحل //
 $256 \div 8 = 32$

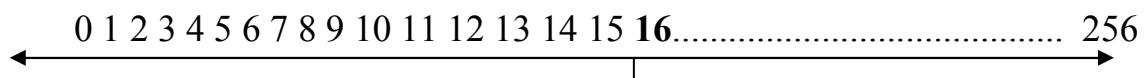


إذا يجب تقليل هذه الأطيف الملونة من 256 إلى 32 طيف معناها كل 8 بتات نضعها في خانة بعدها نأخذ أقل قيمة في كل خانة فيكون هنا الخانة الأولى أقل قيمة 0 والثانية 8 والثالثة 16 إلى أن تصل إلى 256 بحيث يكون عدد هذه الأرقام المستخرجة هي 32 رقم .

أما إذا كانت طريقة OR نأخذ أكبر رقم في الخانة لماذا ؟

الجواب // لأن ال OR لا تأخذ صفر والأرقام تكون أقل من ال AND برقم واحد يبدأ من الخانة الثانية (فتكون ... 32 15 7 ال OR يأخذ أكبر رقم من كل خانة)

مثال // إذا كان لديك عدد المستويات القياسية (256) المطلوب تقليلها إلى 16 ؟
الجواب // يعني يكون كل 16 بت بخانة واحدة فيكون التقسيم على 16 فنبدأ بالخانة الأولى من 0 إلى 16 وهذا ..
 $256 \div 16 = 16$



3- الطريقة الثالثة الـ AND والـ OR باستخدام الماسك
تستخدم هذه الطريقة لتقليل الصورة (تقليلها) باستخدام ماسك معين .

// مثال
إذا كان لديك الماسك التالي المطلوب استخدام طريقة الماسك للـ AND لتقليل هذا الجزء من الصورة اعتماداً على عدد البتات لكل عنصر وهي 8 ؟

0	10	7
255	242	1
15	16	20

الحل //
قانون المستويات الرمادية

$$2^k = 8$$

$$K = 3$$

أي 8 تأتي من (0 ... 7)
وبالثاني الـ 7 تصبح (111) فإذا الماسك هو عبارة عن 8 بتات ويساوي 00000111

ومن ثم نأخذ رقم رقم من المصفوفة ونحوله إلى الصيغة الثنائية ونضربه بالماسك
فنأخذ الرقم صفر يكون الثنائي 00000000

$$\begin{array}{r} 00000111 \\ 00000000 \\ \hline 00000000 \end{array}$$

وبعد ضربه بالماسك يكون

$$\begin{array}{r} 00000000 \\ 00000111 \\ 00001010 \\ \hline 00000010 \end{array}$$

والـ 10 ونحوله إلى ثنائية هي 1010

$$\begin{array}{r} 11111111 \\ 00000111 \\ \hline 00000111 \end{array}$$

أما رقم 255 فهو

وهكذا لبقية أرقام المصفوفة

00000000	00001010	00000111
00000111		

0	2	7
7		

Special Reduction -2

التقليل الحizi يتم بثلاث طرق
1- المعدل 2- الوسيط 3- التقيص

الطريقة الأولى : المعدل

وهي الطريقة التي تتم بأخذ مجموعة من العناصر المجاورة واخذ المعدل لها .

مثلا // المطلوب استخدام طريقة المعدل لجزء الصورة التالية

$$\begin{bmatrix} & 9 & 8 \\ & 11 & 22 \end{bmatrix}$$

الحل //

$$(9 + 8) / 2 = 8$$

$$(11 + 22) / 2 = 16$$

$$\begin{bmatrix} & 8 \\ & 16 \end{bmatrix}$$

أما إذا كان المعدل الكلي للصورة فيكون

$$\text{Total Average of Image} = (33 + 17) / 4 = 13$$

أما في حالة إذا كانت المعدل لصفوف فيكون بمجموع الصف على عدد الأرقام في الصف الواحد

الطريقة الثانية : الوسيط

في هذه الطريقة يتم ترتيب عناصر الصورة تصاعديا واخذ القيمة التي في الوسط .

مثلا // لديك المصفوفة التالية المطلوب 1- أخذ الوسيط لكل العناصر 2- باستخدام ماسك معين ؟

$$\begin{bmatrix} 9 & 8 & 7 & 3 \\ 4 & 9 & 5 & 2 \\ 1 & 3 & 4 & 6 \end{bmatrix}$$

الحل //

1- نرتتب الأرقام تصاعديا فتصبح

$$1 \ 2 \ 3 \ 3 \ 4 \ 4 \ 5 \ 6 \ 7 \ 8 \ 9 \ 9$$

أذا الوسيط هو العنصر السادس أي

$$12 \div 2 = 6$$

2- أما في حالة استخدام الماسك ونفرض الماسك هو 3×3 ونقوم بترتيب العناصر تصاعديا فيكون ترتيب عناصر المصفوفة الأولى وهي 3×3

$$\begin{bmatrix} 9 & 8 & 7 \\ 4 & 9 & 5 \\ 1 & 3 & 4 \end{bmatrix}$$

$$1 \ 3 \ 4 \ 4 \ 5 \ 7 \ 8 \ 9 \ 9$$

$$9 \div 2 = 4.5 \rightarrow 5$$

إذا الوسيط هو العنصر الخامس وقيمته 5

8	7	3
9	5	2
3	4	6

فيكون ترتيب عناصر المصفوفة الثانية وهي 3×3

2 3 3 4 5 6 7 8 9

$$9 \div 2 = 4.5 \rightarrow 5$$

إذا الوسيط هو العنصر الخامس وقيمه أيضا 5

الطريقة الثالثة التقىص

تم بحذف بعض بيانات الصورة فمثلاً تقليل حجم الصورة بمقدار 2 . فيتم هنا بأخذ كل صف أو عمود من الصورة وحذف الصف والعمود الذي يليه
مثال // لديك جزء الصورة التالي المطلوب التقىص بمقدار 2 حسب الأعمدة ؟؟

9	8	7	3
4	9	5	2
1	3	4	6

$$2 - 1 = 1$$

9	7
4	5
1	4

فيكون حذف العمود الثاني والرابع أي

فتصبح المصفوفة كالتالي

9	3
4	2
1	6

فتصبح المصفوفة كالتالي

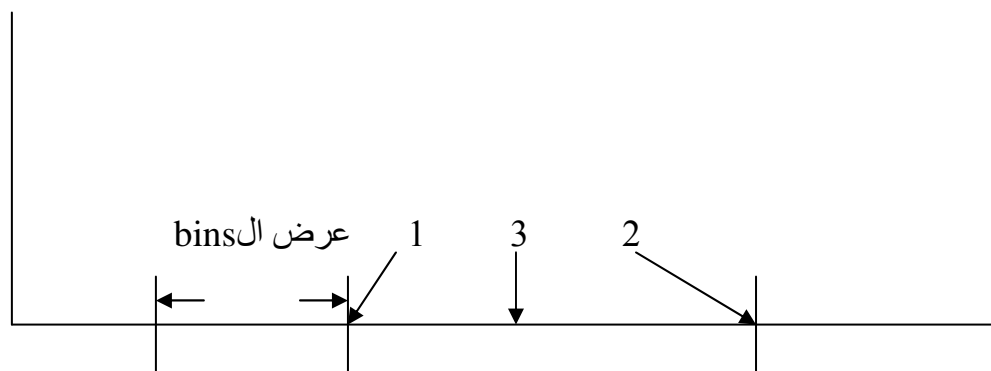
أما إذا كان التقىص بمقدار 3 فنقوم بحذف عمودين وهما الثاني والثالث أي $2 - 1 = 1$

وفي هذه الحالة إذا كان المطلوب التقىص بمقدار 3 صفوف فيكون الجواب لا يمكن لأن

المصفوفة مكونة من 3 صفوف وليس 4 .

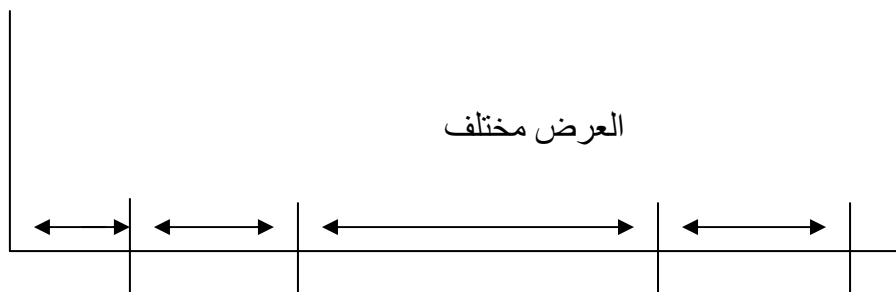
ملاحظة // على الرغم من أن طريقة ال AND وال OR هي طريقة فعالة جداً لكنها ليست مرنة أبداً
كانت أحجام المصفوفة (الصورة) كبيرة ، لذلك يجب استخدام طريقة أخرى هي طريقة ال Bins
وأن سبب وجود طريقة ال Bins هو لأن الطريقة السابقة هي فعالة ولكنها ليست مرنة أبداً طريقة
ال Bins هي ليست سريعة ولكنها منتظمة ويمكن أن تحاكي النظرة الشخصية للنظام حسب
لوغاريتمات معينة للبنات والشكل العام لها هو :

- 1) Low end
- 2) High end
- 3) Middle



شكل (17) : طريقة المنتظمة Bins

Bins : هي وحدات صغيرة بتجميعها تكون نظام متكامل لتقليل الصورة والمسافة بين بن وأخر هي متساوية ، أما الشكل الثاني لها فهي أن عرض البناء مختلف :

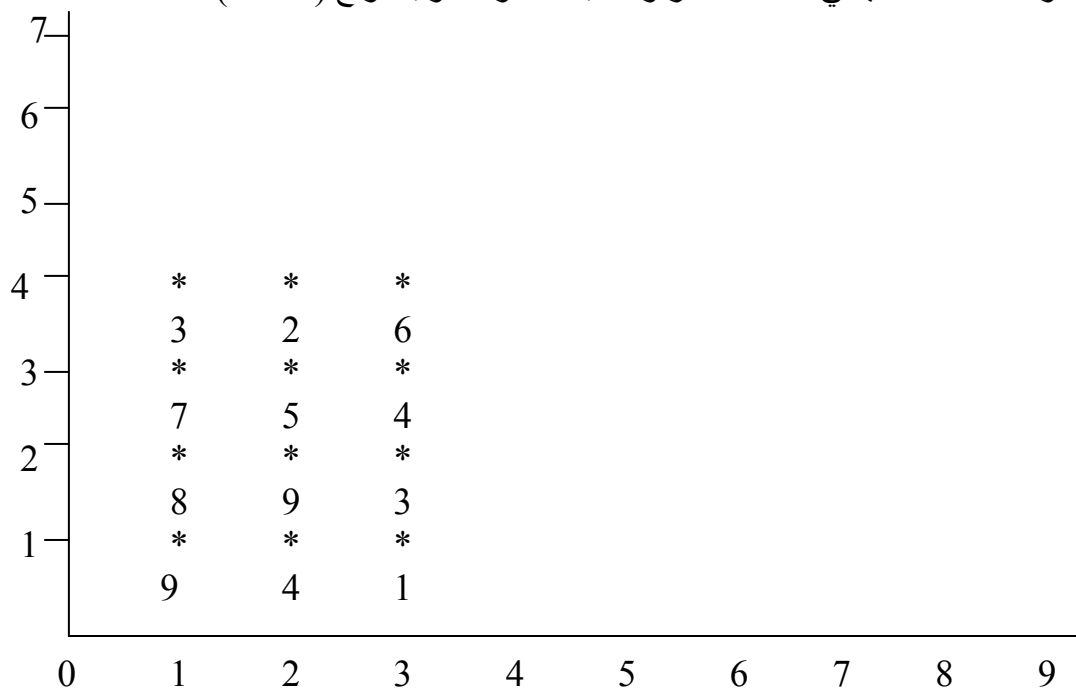


شكل (18) : طريقةBins غير المنتظمة

مثال // لديك المصفوفة التالية المطلوب تطبيقها حسب البناء
 1- في حالة إذا كان العرض ثابت بين البناء .
 2- في حالة إذا كان العرض مختلف .

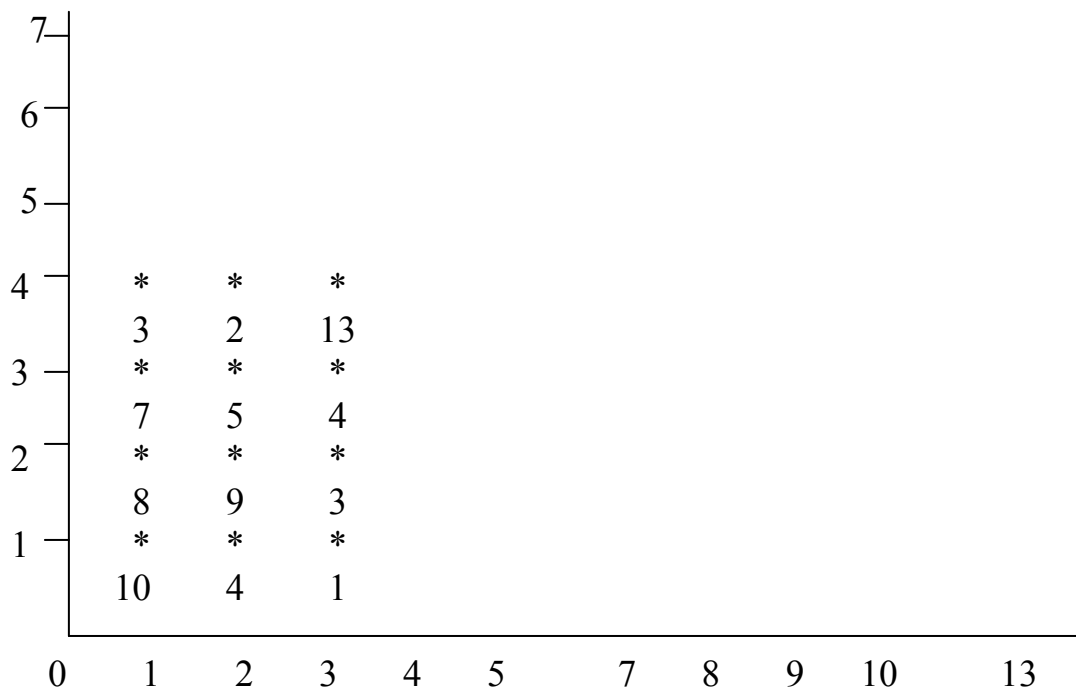
الحل //

نلاحظ هنا أن أقل قيمة هي 1 وأعلى قيمة هي 9 فعند رسم ال Bin نرسم كوحدات واحدة يعني واحد لكل Bin يعني مثلا العنصر واحد بالمصفوفة هو بالموقع (1 ، 3)



أما في حالة عدم تساوي المسافات بين الـ bins فنأخذ المصفوفة التالية كمثال توضيحي

$$\begin{bmatrix} & 10 & 8 & 7 & 3 \\ & 4 & 9 & 5 & 2 \\ & 1 & 3 & 4 & \underline{13} \end{bmatrix}$$



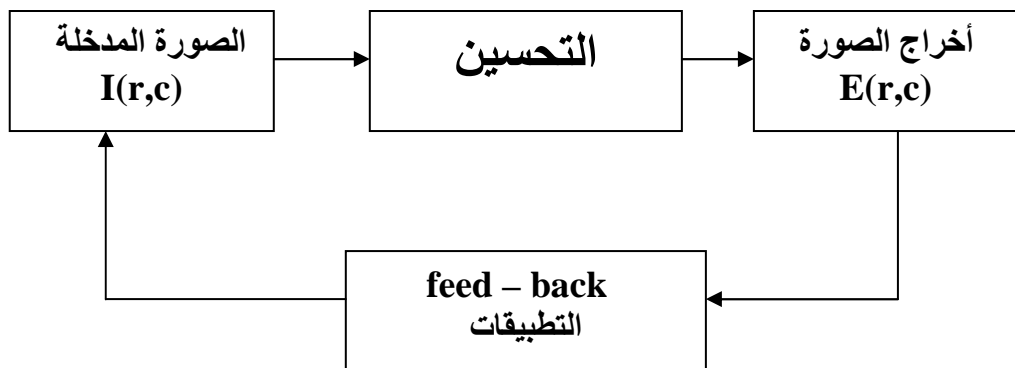
الفصل الثالث

تحسين الصورة الرقمية

1-3 تحسين الصورة (Image Enhancement Techniques)

تقنيات تحسين الصورة : هي عبارة عن التقنيات التي تستخدم لتحديد التشدد أو الحدود الموجودة في الصورة لإبراز مميزات الصورة وخصائصها وتحليلها .

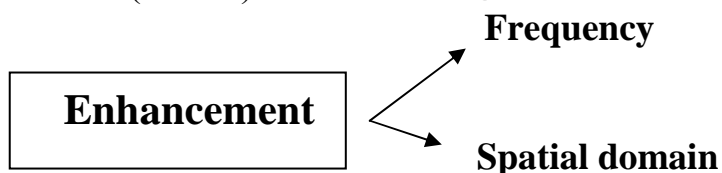
تستخدم هذه التقنيات في تطبيقات متعددة باستخدام ما يسمى باللغزية الرجعية من المدخلات إلى المخرجات لإعطاء موديلات التحسين المختبرة بطبعتها بعد التطوير .



شكل(19): معالجة تحسين الصورة The image enhancement process

أحدى تطبيقات Feed Back أو طرائق لتحسين الصورة طريقة التعديل والتحسين مستخدم المستوى الرمادي كذلك تسمى بتعديل المستوى الرمادي من خلال العمليات التي تطبق على النقطة باستخدام الدوال وتغير هذه النقاط مستخدمين معادلة تسمى بال Mapping equation معادلة المطابقة وهي معادلات خطية وغير خطية نوعاً ما وتعمل بواسطة موديلات خطية وتطابق مع النموذج الأصلي للمستوى الرمادي أي قيمته مع القيم المخصصة الأخرى .

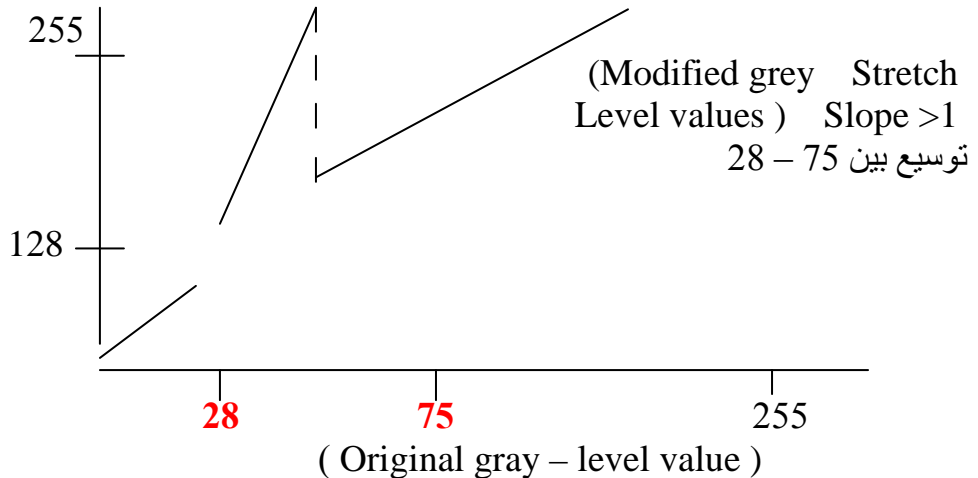
تتضمن هذه التطبيقات ما يسمى بتحسين التباين وما يسمى بتحسين المميزات (الخواص).



معتمدين على العمليات الأولية التي تطبق على المستويات الرمادية أما أن تكون العمليتين السابقتين (التباين - الخواص) أما أن تكون تقليص أو أن تكون تكبير للمستويات الرمادية وهنا أبسط الأنواع أن تأخذ المعادلات الخطية ونطبق هذه العملية بحيث نقوم بضغط المستوى الرمادي أو ضغط المستوى الرمادي إذا كان المدى أكبر من الواحد فنعتبره توسيع .

- عندما نأخذ صورة اعتمادا على التباين (هو بالألوان)
- أما إذا اعتمدنا على الخواص فهو (أي الألوان سوف تبرز أكثر)

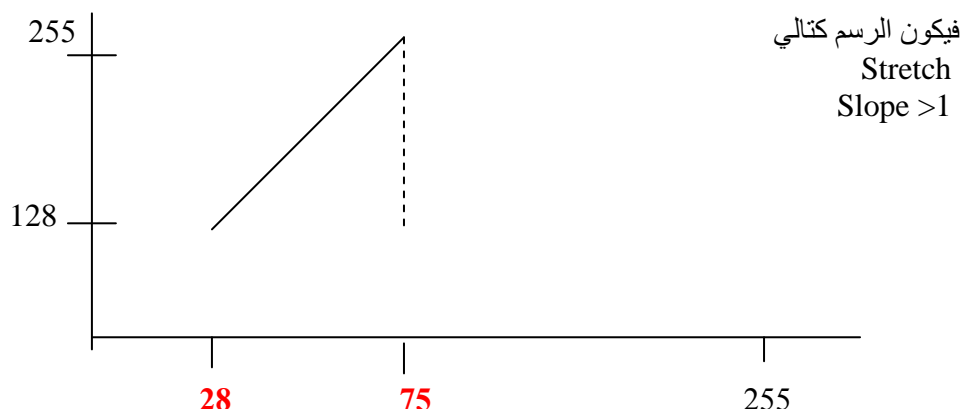
//
فـسـر الرسم التـالـي مـعـتـمـدـين عـلـى المـدى ؟ Slop



شكل(20): توسيع المستوى الرمادي ((Gray level stretching))

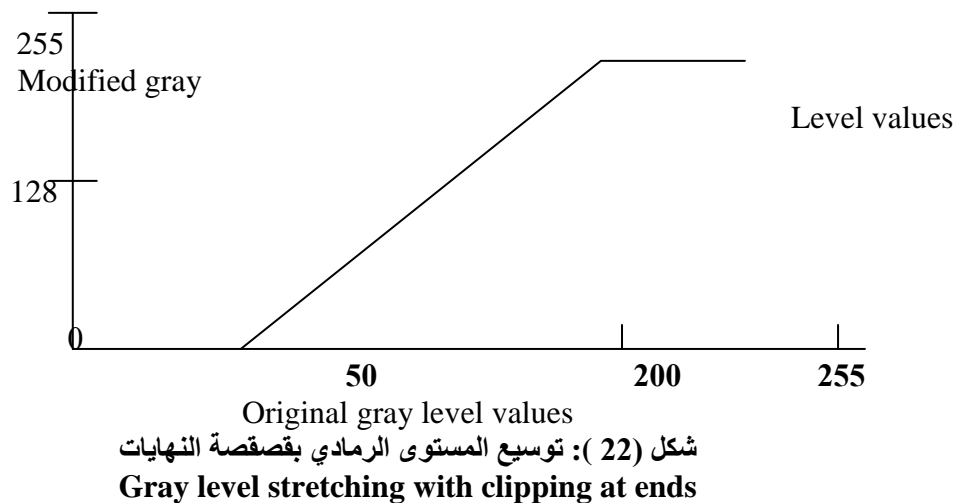
// الحل

- المعالجة تبدأ من الصفر إلى 255 مـعـتـمـدـا عـلـى المـسـطـوـيـات الرـمـادـيـة .
- بـما أـنـ المـدى الـSlop هـو أـكـبـرـ منـ الـواـحـدـ فـهـو توـسيـعـ وـإـذـا كـانـ المـدىـ مـنـ 0ـ إـلـىـ الـواـحـدـ فـهـو تقـليـصـ ، وـإـذـا لـمـ يـعـطـيـ الـSlop فـنـحنـ نـعـرـفـ المـدىـ لـأـنـ الرـسـمـ يـبـدـأـ مـنـ بـعـدـ الـواـحـدـ يـعـنـيـ يـبـدـأـ مـنـ 28ـ .
- الـنـقـاطـ الـتـيـ تـمـ توـسيـعـهـاـ هـيـ مـنـ 28ـ إـلـىـ 75ـ
- الـرـسـمـ بـدـونـ قـصـقـصـةـ Chippingـ يـعـنـيـ توـجـدـ نـقـاطـ بـيـنـ 28ـ وـالـ255ـ



شكل(21): توسيع المستوى الرمادي ((Gray level stretching))

مثال // لديك الرسم التالي فسر ذلك ؟



- 1- لأنه يبدأ من الصفر إلى 255 فهو يعتمد على المستويات الرمادية .
- 2- المدى Slop هو أكبر من الواحد لأنه بدأ من 50 وهي عملية توسيع .
- 3- النقاط التي تم توسيعها هي بين 50 إلى 255
- 4- الرسم بقصقصة Chipping لا توجد نقاط بين 50 والـ 255

يمكن تقسيم معادلات المطابقة هي

1- معادلات المطابقة لتوسيع أو تقليل بقصقصة

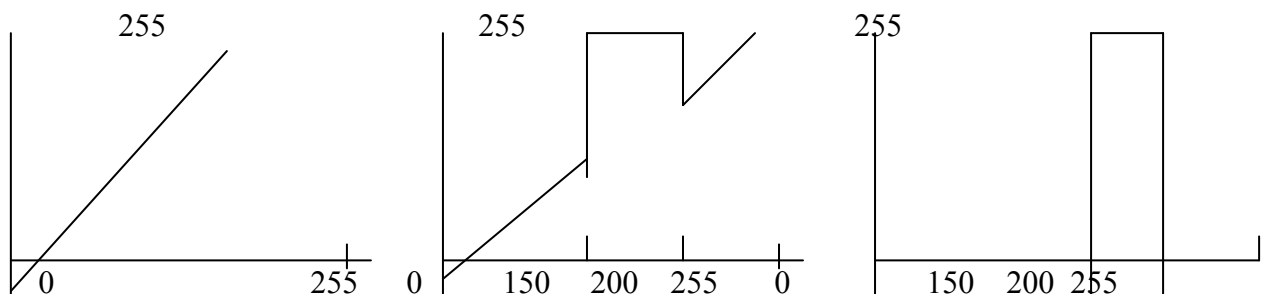
2- معادلات المطابقة لتوسيع أو تقليل بدون قصقصة

3- معادلات المطابقة تستخدم لاستخلاص الخواص يطلق عليها معادلة شريحة مستوى الشدة

Intensity Level Slicing

هنا يتم اختيار فيم مستوى رمادي مخصصة للشدة وتطبيقها بحيث تعطي إضاءة عالية والمثال التالي يوضحها

(ranges " 50-200")



The original gray levels The desired gray level Range The desired gray level range

(change the other value)
شكل(23): انواع القصقصة

(change the other value)

الرسم الأول : هو مستويات رمادية أصلية لم تحدد هل هي بقصقصة أو توسيع أو تقليل
 الرسم الثاني : هو عبارة عن المجال المخصص هنا الذي يبتدئ من 150 وينتهي ب200 والمجال
 عام أي مجرد تغير بالقيم
 الرسم الثالث : حصلنا على مستويات رمادية متخصصة متغيرة القيم .
 وهذه الحالات الثلاثة هي دالة المطابقة لشريحة مستوى الشدة يعني مستوى الشدة هنا على تقليل
 أو توسيع أو قصقصة .

2-3 تعديل المخطط :Histogram modification

يقوم المخطط الذي يستخدم المستويات الرمادية للصورة بتوزيع هذه المستويات الخاصة
 بالصورة بحيث يجعل جزء من الصورة الذي يحتوي على المعلومات يملأ أو يكون المخطط وبقية
 المساحة تكون فارغة اعتمادا على القيم الخاصة بنقاط الصورة الخاصة للمخطط .

توجد العديد من هذه المستويات المعدلة يمكن أن نذكرها كالتالي :

- 1- المدرج التكراري مع انتشار صغير للمستويات المتباينة (الرمادية)
 Low Contrast Image
- 2- المدرج التكراري مع انتشار كبير للمستويات الرمادية المتباينة
 High Contrast Image
- 3- المدرج التكراري المتجمع عند النهاية الواطئة Dark Slide Image
- 4- المدرج التكراري المتجمع عند النهاية العليا White Slide Image

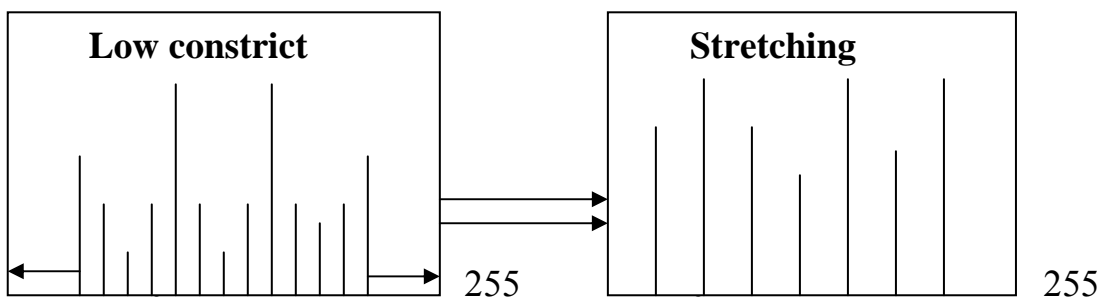


شكل(24):صورة مع المدرج التكراري لها

وتنتمي عملية تغيير المدرج التكراري بثلاث طرق :

- 1- توسيع المدرج التكراري Histogram Stretching
- 2- تقليل المدرج التكراري (compressed) Histogram Shrink
- 3- الشريحة الخاصة بالمخيط Slide of Histogram

* الطريقة الأولى : توسيع المدرج التكراري Histogram Stretching



شكل(25): توسيع المدرج التكراري

يمكن توسيع المدرج التكراري حسب القانون التالي :

$$\text{Stretch } (I(r,c)) = \left[\frac{I(r,c) - I(r,c)_{\min}}{I(r,c)_{\max} - I(r,c)_{\min}} \right] [\text{Max} - \text{Min}] + \text{Min} \dots \dots (6)$$

حيث أن :

- 1- قيمة المستوى الرمادي الكبيرة في الصورة $I(r,c)_{\max}$
- 2- قيمة المستوى الرمادي الصغرى في الصورة $I(r,c)_{\min}$
- 3- تعتمد قيم المستوى الرمادي الصغرى والكبيرة المحتملة أي $(255, 0)$ Max & Min

مثال // لديك جزء الصورة التالي المطلوب توسيع هذا الجزء من الصورة باستخدام طريقة توسيع المدرج التكراري ؟

$$I_{\text{Sub}} = \begin{bmatrix} 7 & 12 & 8 \\ 20 & 9 & 6 \\ 10 & 15 & 1 \end{bmatrix}$$

$$\text{stretch } (I(r,c)) = \left[\frac{I(r,c) - I(r,c)_{\min}}{I(r,c)_{\max} - I(r,c)_{\min}} \right] [\text{Max} - \text{Min}] + \text{Min}$$

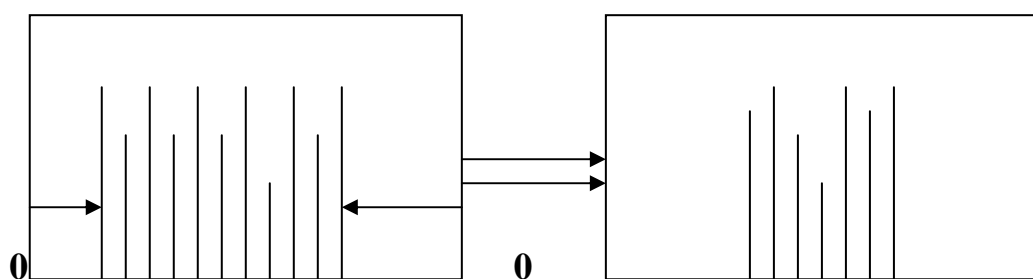
$$\begin{aligned}
 &= [7-1 / 20-1] * [255 - 0] + 0 = 76.5 \\
 &= [12-1 / 20-1] * [255 - 0] + 0 = 127.5 \\
 &= [8-1 / 20-1] * [255 - 0] + 0 = 76.5 \\
 &= [20-1 / 20-1] * [255 - 0] + 0 = 255 \\
 &= [9-1 / 20-1] * [255 - 0] = 7.6 \\
 &= [6-1 / 20-1] * [255 - 0] + 0 = 51 \\
 &= [10-1 / 20-1] * [255 - 0] + 0 = 102 \\
 &= [15-1 / 20-1] * [255 - 0] + 0 = 178.5 \\
 &= [1-1 / 20-1] * [255 - 0] + 0 = 0
 \end{aligned}$$

$$\mathbf{I}_{\text{Stretch}} = \begin{bmatrix} 76.5 & 127.5 & 76.5 \\ 255 & 7.6 & 51 \\ 102 & 178.5 & 0 \end{bmatrix}$$



شكل(26): توسيع التباين لصورة Contrast stretching

* الطريقة الثانية تقليل المدرج التكراري histogram shrinking



شكل(27): الطريقة الثانية تقليل المدرج التكراري

يمكن تقليل المدرج التكراري حسب القانون التالي :

$$\text{Shrink} (I(r,c)) = \left[\frac{\text{Shrink}_{\text{Max}} - I(r,c)_{\text{Min}}}{I(r,c)_{\text{Max}} - I(r,c)_{\text{Min}}} \right] [I(r,c) - I(r,c)_{\text{Min}}] + \text{shrink}_{\text{Min}} \dots\dots(7)$$

حيث أن :-

- 1- قيمة المستوى الرمادي الكبري في الصورة هي $I(r,c)_{\text{max}}$
- 2- قيمة المستوى الرمادي الصغرى في الصورة هي $I(r,c)_{\text{min}}$
- 3- تعتمد على قيم المستوى الرمادي $\text{Shrink}_{\text{max}}$ & $\text{Shrink}_{\text{min}}$ الكبri والصغرى المحتملة أي $(0, 255)$.

مثال // لديك جزء الصورة التالي المطلوب تقليله هذا الجزء من الصورة باستخدام طريقة تقليل المدرج التكراري ؟

$$I_{\text{Sub}} = \begin{bmatrix} 7 & 12 & 8 \\ 20 & 9 & 6 \\ 10 & 15 & 1 \end{bmatrix}$$

$$\begin{aligned} \text{Shrink} (I(r,c)) &= \left[\frac{\text{Shrink}_{\text{Max}} - I(r,c)_{\text{Min}}}{I(r,c)_{\text{Max}} - I(r,c)_{\text{Min}}} \right] [I(r,c) - I(r,c)_{\text{Min}}] + \text{shrink}_{\text{Min}} \\ &= [255-1 / 20-1] * [7-1] + 0 = 79.8 \\ &= [255-1 / 20-1] * [12-1] + 0 = 146.3 \\ &= [255-1 / 20-1] * [8-1] + 0 = 93.1 \\ &= [255-1 / 20-1] * [20-1] + 0 = 252.7 \\ &= [255-1 / 20-1] * [9-1] + 0 = 106.4 \\ &= [255-1 / 20-1] * [6-1] + 0 = 66.5 \\ &= [255-1 / 20-1] * [10-1] + 0 = 119.7 \\ &= [255-1 / 20-1] * [15-1] + 0 = 186.2 \\ &= [255-1 / 20-1] * [1-1] + 0 = 0 \end{aligned}$$

$$I_{\text{Shrink}} = \begin{bmatrix} 79.8 & 146.3 & 93.1 \\ 252.7 & 106.4 & 66.5 \\ 119.7 & 186.2 & 0 \end{bmatrix}$$

* الطريقة الثالثة: أزاحه المدرج التكراري Histogram slide

يمكن أزاحه المدرج التكراري لمسافة معينة حسب القانون التالي :

$$\text{Slide} (I (r,c)) = I (r,c) + \text{OFFSET} \dots \dots \dots \dots \dots (8)$$

حيث أن :-

Offset : هي الكمية التي يزاح بها المدرج التكراري لمسافة ما .

مثال // لديك جزء من الصورة التالي المطلوب أزاحه هذا الجزء لمسافة مقدارها 10 وحدات باستخدام طريقة Histogram slide

$$I_{\text{Sub}} = \begin{bmatrix} 12 & 7 & 8 \\ 20 & 9 & 6 \\ 10 & 15 & 1 \end{bmatrix}$$

$$\text{Slide} (I (r,c)) = I (r,c) + \text{OFFSET}$$

$$\begin{aligned} &= 7 + 10 = 17 \\ &= 12 + 10 = 22 \\ &= 8 + 10 = 18 \\ &= 20 + 10 = 30 \\ &= 9 + 10 = 19 \\ &= 6 + 10 = 16 \\ &= 10 + 10 = 20 \\ &= 15 + 10 = 25 \\ &= 1 + 10 = 11 \end{aligned}$$

$$I_{\text{Slide}} = \begin{bmatrix} 17 & 22 & 18 \\ 30 & 19 & 16 \\ 20 & 25 & 11 \end{bmatrix}$$



شكل (28): أزاحه المدرج التكراري لصورة

3-3 المدرج التكراري المخصص : Histogram specification :

هو معالجة الصورة بواسطة استخدام المدرج التكراري وتعديل هذا المدرج بحيث يكون مطابق للمدرج المخصص .
الطريقة :

- 1- أيجاد جدول التخطيط (Mapping Table) ويسمى (H) ويعني المدرج التكراري المنظم .
- 2- نقوم بوصف مدرج تكراري مخصص .
- 3- نقوم بإيجاد جدول التخطيط للمدرج التكراري المنظم من خلال وصف قيم المدرج التكراري .
- 4- نقوم بإيجاد جدول يعتمد على القيم الأصلية للخطوات من 1 إلى خطوة 3 .

مثال // لديك الجدول التالي المطلوب أيجاد المدرج التكراري المخصص ؟

Gray level	Number of pixel (histogram values)
0	10
1	8
2	9
3	2
4	14
5	1
6	5
7	2

Step1 : 10 , 18 , 27 , 29 , 43 , 44 , 49 , 51

Step2 : $10 + 8 + 9 + 2 + 14 + 1 + 5 + 2 = 51$
 $10/51 , 18/51 , 27/51 , 29/51 , 43/51 , 44/51 , 49/51 , 51/51$.

Step3 : Multiply these values by Maximum gray level values in this case 7 and round the result to the integer . After this done we option 1,2,4,4,6,6,7,7 .

Step4 : Map the original values to the results from step3 by one to one correspondence .

Original gray level values

0
1
2
3
4
5
6
7

Histogram equalized values

1
2
4
4
6
6
7
7

$$\text{Round} \left(\left(10/51 \right) * 7 \right) = 1$$

$$\text{Round} \left(\left(18/51 \right) * 7 \right) = 2$$

$$\text{Round} \left(\left(22/51 \right) * 7 \right) = 4$$

|

|

|

$$\text{Round} \left(\left(51/51 \right) * 7 \right) = 7$$

Example :-**Step1 :****Original Gray level value-O**

0
1
2
3
4
5
6
7

Number of pixel in histogram-H

1
2
4
4
6
6
7
7

Step2 : specify the histogram**Gray level value****Number of pixels in histogram**

0	1
1	5
2	10
3	15
4	20
5	0
6	0
7	0

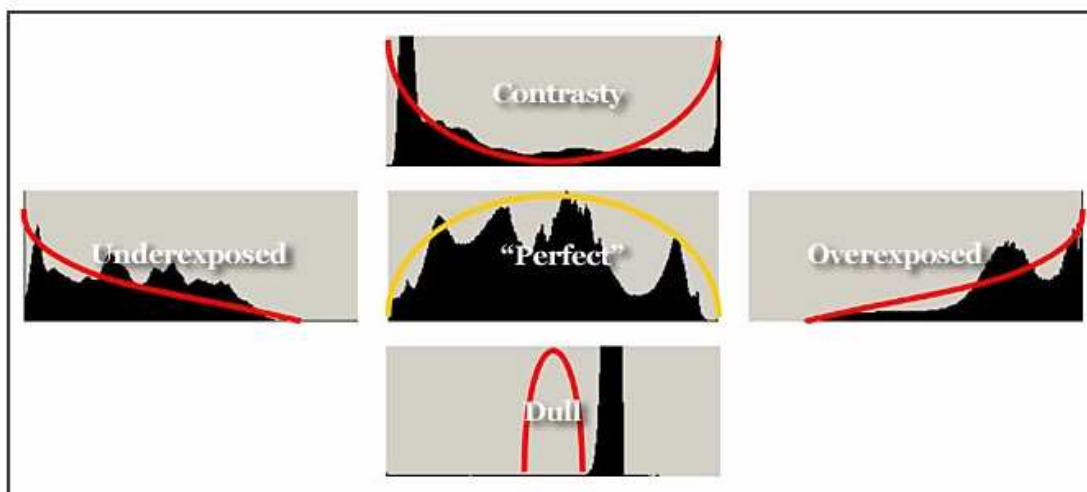
Step3 :

Gray level value	Histogram equalized – S
0	Round (1/51) * 7 = 0
1	Round (6/51) * 7 = 1
2	Round (16/51) *7 = 2
3	Round (31/51) * 7 = 4
4	Round (51/51) * 7 = 7
5	Round (51/51) * 7 = 7
6	Round (51/51) * 7 = 7
7	Round (51/51) * 7 = 7

Step4:

O	H	S	M
0	1	0	1
1	2	1	2
2	4	2	3
3	4	4	3
4	6	7	4
5	6	7	4
6	7	7	4
7	7	7	4

يمكن تمثيل أشكال Histogram بالرسم أدناه



شكل(29):أشكال Histogram للصور الرقمية

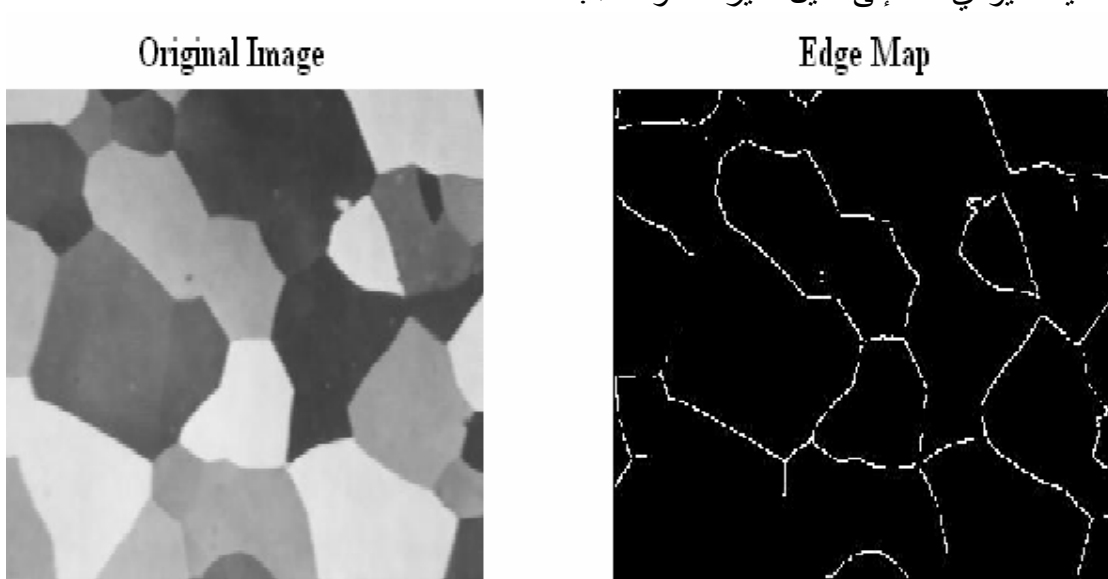
4-3 كشف الحواف للصورة :Edge / Line Detection For Image

شدة إضاءة الحواف تكون أعلى من مجاوراتها حيث تحدد من خلال الفرق بين الكسل وبين المجاورات له يكون كبير جداً أو يتم اكتشاف الحواف باستخدام ما يسمى بالتلقيف (Convolution Mask) حيث أن الحافة هي البحث عن أكبر تغيير بالدالة (دالة الإضاءة) بعض عمليات كشف الحواف تحمل ما يسمى باتجاه الحافة (Edge Direction) متوجه الحافة (Edge Magnitude) قيم الحافة .

يوجد معاملين عند تطبيق عمليات كشف الحواف :

1- حجم الماسك المستخدم في تحديد الحافة :
إذا كان كبير سيكون أقل حساسية لكشف الحواف مثلاً مصفوفة 3×3 أكثر حساسية من 7×7

2- قيمة العتبة (Gray Level Threshold) :
إذا كانت قليلة سيؤدي ذلك إلى تقليل تأثير الضوضاء .



شكل(30): صورة أصلية مع تحديد الحواف لها

// ملاحظة //

تعتمد جميع عمليات كشف الحواف على أن معلومات الحافة يمكن الحصول عليها من العلاقة بين عناصر الصورة ومجاوراتها فإذا كان عنصر الصورة يشبه مجاوراته لا توجد حافة ..
أما إذا كان لا يشبهه وهناك فرق كبير بينهم عندئذ توجد حافة ..

5-3 طرائق إيجاد الحافة واتجاهها

Edge / Line Detection and direction For Image

توجد العديد من الطرائق الخاصة لإيجاد الحافة واتجاه الحافة يمكن أدرجها كالتالي:

Roberts Operation -1

يستخدم هذا الكاشف لكشف نقاط الحافة بدون أن نعطي أي معلومات عن اتجاه الحافة أي فقط (Edge Magnitude) ويأخذ هذا الكاشف شكلين :

$I(r-1, c-1)$	$I(r-1, c)$
$I(r, c-1)$	$I(r, c)$

أ - يتم حساب الحافة بأخذ الجذر التربيعي لمجموع مربعات فروقات الأقطار كما في المعادلة :

$$\text{Edge} = \sqrt{[I(r,c) - I(r-1,c-1)]^2 + [I(r,c-1) - I(r-1,c)]^2} \dots(9)$$

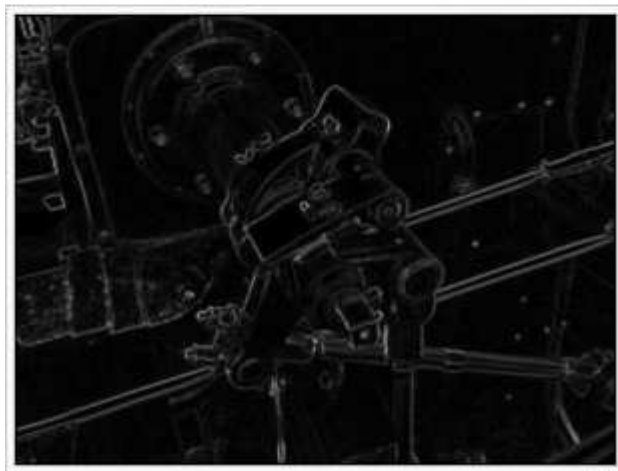
ب - الطريقة الثانية تكون باستخدام المعادلة :

$$\text{Edge} = \left| [I(r,c) - I(r-1,c-1)] + [I(r,c-1) - I(r-1,c)] \right| \dots(10)$$

يتم إيجاد مجموع فروقات الأقطار المجاورة باستخدام القيمة المطلقة



A picture of a steam engine.



شكل(31): إيجاد الحافة باستخدام Roberts Operation

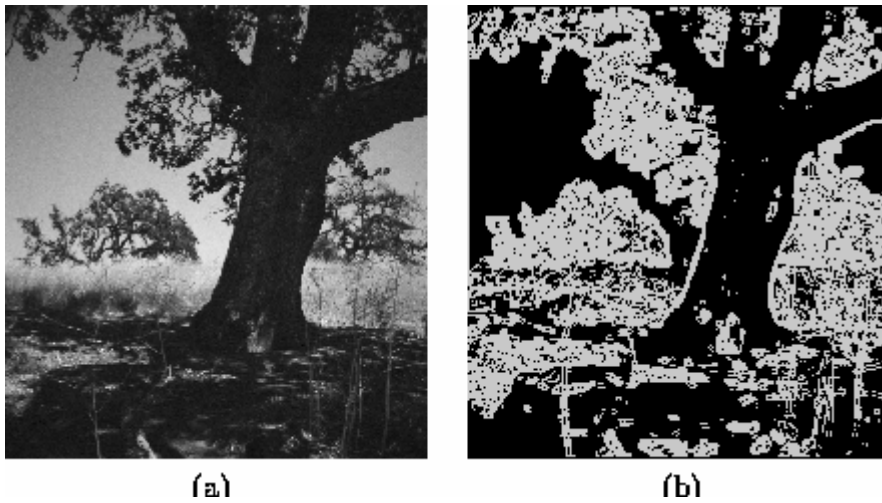
ملاحظة //

يستخدم الشكل الثاني B في التطبيق العملي حيث تكون العملية أسهل وأسرع يدوياً أما الطريقة A فيفضل استخدامها بالحاسوب .

SOBEL Operation -2

يستخدم هذا الكاشف لإيجاد قيمة الحافة واتجاه الحافة بالاتجاهين الأفقي والعمودي حيث يستخدم هنا ماسك هو :

$$\begin{array}{c}
 \left[\begin{array}{ccc} -1 & -2 & -1 \\ 0 & 0 & 0 \\ 1 & 2 & 1 \end{array} \right] \xrightarrow{\text{row mask}} S1 \\
 \left[\begin{array}{ccc} -1 & 0 & 1 \\ -2 & 0 & 2 \\ -1 & 0 & 1 \end{array} \right] \xrightarrow{\text{column mask}} S2
 \end{array}$$



شكل(32): أ- صورة اصلية ب- تأثير **SOBEL Operation** عليها

ويتم تحديد قيمة الحافة عن طريق القانون التالي :-

$$\text{Edge Magnitude} = \sqrt{S_1^2 + S_2^2} \dots\dots\dots(11)$$

row mask : S_1
column mask : S_2

ملاحظة //
طبق مصفوفة ال S_1 للصفوف على أول 3×3 من الصورة ثم نطبق مصفوفة ال S_2 للأعمدة على 3×3 من الصورة نفسها ثم نجمع القيمتين الناتجتين ثم نضيف مجموعهما مع المربعات إلى مركز 3×3 أي في منتصف المركز .

مثال // طبق قانون SOBEL لمصفوفة التالية ؟

$$\begin{bmatrix} 3 & 9 & 7 \\ 2 & 4 & 3 \\ 1 & 8 & 6 \end{bmatrix}$$

الحل // نضرب 3×3 من الصورة بال S_1

$$\begin{bmatrix} 3 & 9 & 7 \\ 2 & 4 & 3 \\ 1 & 8 & 6 \end{bmatrix} * \begin{bmatrix} -1 & -2 & -1 \\ 0 & 0 & 0 \\ 1 & 2 & 1 \end{bmatrix} = -5$$

$$= -3 - 18 - 7 + 1 + 16 + 6 = -5$$

نفس الجزء نضربه بال S_2

$$\begin{bmatrix} 3 & 9 & 7 \\ 2 & 4 & 3 \\ 1 & 8 & 6 \end{bmatrix} * \begin{bmatrix} -1 & 0 & 1 \\ -2 & 0 & 2 \\ -1 & 0 & 1 \end{bmatrix} = -5$$

$$= -3 + 7 - 4 + 6 - 1 + 6 = 11$$

$$= \sqrt{5^2 + 11^2} = \sqrt{25 + 121} = 7$$

فنضع هذه القيمة في منتصف المصفوفة أي ال 7 بدل ال 4 فتتصبح المصفوفة

$$\begin{bmatrix} 3 & 9 & 7 \\ 2 & 7 & 3 \\ 1 & 8 & 6 \end{bmatrix}$$

وبعدها نأخذ الجزء الثاني بتزحيف المصفوفة إلى التالية معأخذ المصفوفة الجديدة بنظر الاعتبار عند التزحيف أي يستخدم الرقم الجديد الذي وضع في وسط الماسك .

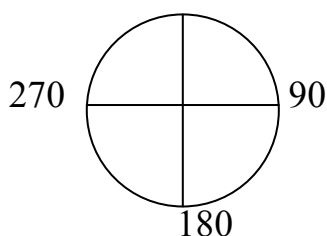
$$\text{Edge Direction} = \tan^{-1} [-5 / 11] = 0.045$$

اتجاه الحافة يستخدم القانون التالي :

$$\text{Edge Direction} = \tan^{-1} \left[\frac{S_1}{S_2} \right] \dots \dots \dots (12)$$

إذا كان السؤال الاتجاه لكل ماسك يكون بأخذ الاتجاه له بتطبيق القانون Edge direction على كل ماسك ...

بينما إذا كان الاتجاه الكلي للصورة نقوم بجمع الماسكات ... $S_1 + S_2 + S_3 + \dots$ وبعدها نأخذ لها قانون الاتجاه مع رسم الاتجاه له ...



واجب // طبق قانون ال SOBEL على المصفوفة التالية لإيجاد الحافة وإيجاد قيمة اتجاه الحافة والاتجاه الكلي ؟

$$\begin{bmatrix} 3 & 27 & 3 & 9 \\ 4 & 7 & 16 & 8 \\ 8 & 3 & 6 & 5 \end{bmatrix}$$

Prewitt Operator -3

يشبه الماسك السابق الـ SOBEL حيث يتم تعریفة كالتالي :-

$$\begin{bmatrix} -1 & -1 & -1 \\ 0 & 0 & 0 \\ 1 & 1 & 1 \end{bmatrix}$$

(Row mask P1)

$$\begin{bmatrix} -1 & 0 & 1 \\ -1 & 0 & 1 \\ -1 & 0 & 1 \end{bmatrix}$$

(Column mask P2)

ولإيجاد قيمة الحافة Edge Magnitude

$$\text{Edge Magnitude} = \sqrt{\mathbf{P}_1^2 + \mathbf{P}_2^2} \quad \dots\dots\dots(13)$$

أما لإيجاد الاتجاه للحافة فيكون :-

$$\text{Edge Direction} = \tan^{-1} \left| \frac{\mathbf{P}_1}{\mathbf{P}_2} \right| \quad \dots\dots\dots(1)$$

مثال // طبق قانون الـ Prewitt على المصفوفة التالية لإيجاد الحافة وإيجاد قيمة اتجاه الحافة

$$\begin{bmatrix} 3 & 9 & 7 & 1 \\ 2 & 4 & 3 & 3 \\ 1 & 8 & 6 & 4 \end{bmatrix}$$

والاتجاه الكلي ؟

الحل // نأخذ الجزء الأول 3×3

$$\begin{bmatrix} 3 & 9 & 7 \\ 2 & 4 & 3 \\ 1 & 8 & 6 \end{bmatrix} * \begin{bmatrix} -1 & -1 & -1 \\ 0 & 0 & 0 \\ 1 & 1 & 1 \end{bmatrix} = -4$$

$$= -3 - 9 - 7 + 1 + 8 + 6 = -4$$

$$\begin{bmatrix} 3 & 9 & 7 \\ 2 & 4 & 3 \\ 1 & 8 & 6 \end{bmatrix} * \begin{bmatrix} -1 & 0 & 1 \\ -1 & 0 & 1 \\ -1 & 0 & 1 \end{bmatrix} = 10$$

$$= -3 + 7 - 2 + 3 - 1 + 6 = 10$$

$$\text{Edge Magnitude} = \sqrt{-4^2 + 10^2} = \sqrt{16 + 100} = \sqrt{116} = 10.7 = 11$$

نضع هذه القيمة في منتصف المصفوفة أي بدل الـ 4

$$\text{Edge Direction} = \text{TAN}^{-1} \left| -4 / 10 \right| = \text{TAN}^{-1} (0.4) = 0.36 = 0$$

أذا الاتجاه هو الشمال

أما الجزء الثاني من المصفوفة فيكون كالتالي

$$\begin{bmatrix} 9 & 7 & 1 \\ 11 & 3 & 3 \\ 8 & 6 & 4 \end{bmatrix} * P_1 \begin{bmatrix} -1 & -1 & -1 \\ 0 & 0 & 0 \\ 1 & 1 & 1 \end{bmatrix} = 1$$

$$= -9 - 7 - 1 + 8 + 6 + 4 = 1$$

$$\begin{bmatrix} 9 & 7 & 1 \\ 11 & 3 & 3 \\ 8 & 6 & 4 \end{bmatrix} * P_2 \begin{bmatrix} -1 & 0 & 1 \\ -1 & 0 & 1 \\ -1 & 0 & 1 \end{bmatrix} = -20$$

$$= -9 + 1 - 11 + 3 - 8 + 4 = -20$$

$$\text{Edge Magnitude} = \sqrt{1^2 + (-20)^2} = \sqrt{1 + 400} = \sqrt{401} = 20.2 = 20$$

نضع هذه القيمة في منتصف المصفوفة أي بدل ال 3 فتصبح المصفوفة

$$\begin{bmatrix} 3 & 9 & 7 & 1 \\ 2 & 11 & 20 & 3 \\ 1 & 8 & 6 & 4 \end{bmatrix}$$

$$\text{Edge Direction} = \text{TAN}^{-1} \left| 1 / -20 \right| = \text{TAN}^{-1} (0.05) = 0.04 = 0$$

أذا اتجاه المصفوفة شمال

أذا الاتجاه الكلي لمصفوفة الصورة يكون كالتالي :

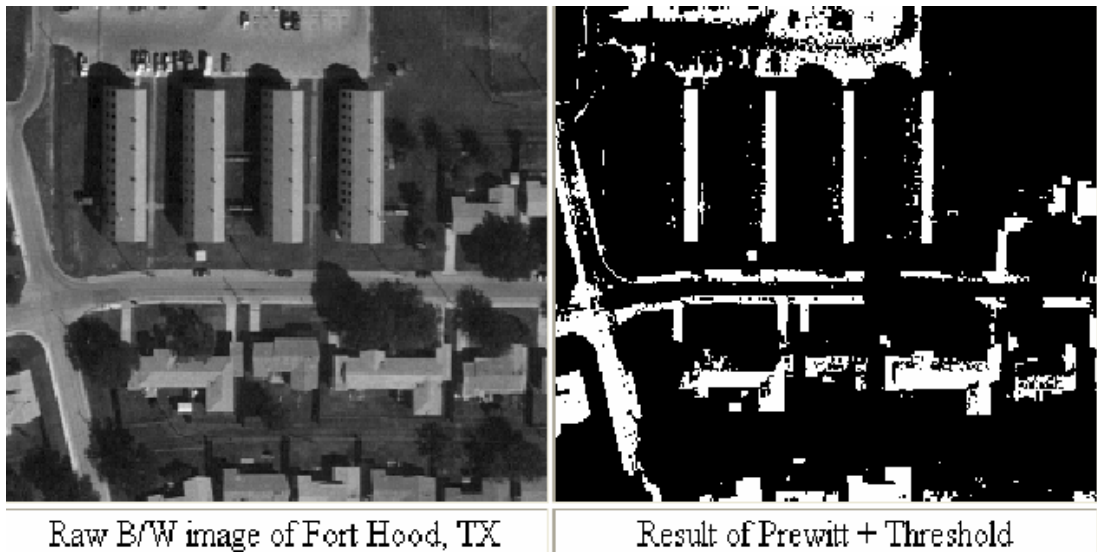
$$P_1 = P_1 + P_2 = -4 + 1 = -3$$

$$P_2 = P_2 + P_2 = 10 - 20 = -10$$

$$\text{Edge Magnitude} = \sqrt{-3 + (-10)} = \sqrt{9 + 100} = \sqrt{109} = 10.4 = 10$$

$$\text{Edge Direction} = \text{TAN}^{-1} \left| -3 / -10 \right| = \text{TAN}^{-1} (0.29) = 0$$

أذا اتجاه المصفوفة شمال



Raw B/W image of Fort Hood, TX

Result of Prewitt + Threshold

شكل(33): صورة اصلية وتأثير Prewitt Operator

Kirsch Compass Masks -4

هو أحد المعاملات الخاصة بتحديد الحواف واتجاه الحافة سمي بهذا الاسم لأنه يحدد المحيط أو الإطار الخاص بالصورة ويقوم بأخذ ماسك مفرد في كل مره وتدويره بالاتجاهات المختلفة .
وتوجد ثمان ماسكات له وهن :-

$$\begin{bmatrix} -3 & -3 & 5 \\ -3 & 0 & 5 \\ -3 & 3 & 5 \end{bmatrix} \quad \begin{bmatrix} -3 & 5 & 5 \\ -3 & 0 & 5 \\ -3 & -3 & -3 \end{bmatrix} \quad \begin{bmatrix} 5 & 5 & 5 \\ -3 & 0 & -3 \\ -3 & -3 & -3 \end{bmatrix} \quad \begin{bmatrix} 5 & 5 & 3 \\ 5 & 0 & -3 \\ -3 & -3 & -3 \end{bmatrix}$$

K0

K1

K2

K3

$$\begin{bmatrix} 5 & 3 & 3 \\ 5 & 0 & 3 \\ 5 & 3 & 3 \end{bmatrix} \quad \begin{bmatrix} 3 & 3 & 3 \\ 5 & 0 & 3 \\ 5 & 5 & 3 \end{bmatrix} \quad \begin{bmatrix} 3 & 3 & 3 \\ 3 & 0 & 3 \\ 5 & 5 & 5 \end{bmatrix} \quad \begin{bmatrix} 3 & 3 & 3 \\ 3 & 0 & 5 \\ 3 & 5 & 5 \end{bmatrix}$$

K4

K5

K6

K7

والحصول على قيمة الحافة يكون عبارة عن قيمة الماسك في تلقيف الماسك
Magnitude of Edge = Max Value of Mask Convolution

ويتم استخراجها من الحصول على أعلى قيمة من تلقيف الماسك
Direction of Edge = Is The Direction of Maximum Value
يتم استخدام كل الماسكات على الصورة فيكون أعلى جزء هو اتجاه الحافة .

كل ماسك من هذه الماسكات الثمانية نعمل لها تلقيف مع الماسك الخاص بالصورة (3*3) في كل مره أعلى قيمة هي التي نأخذها أما مجموع قيم المصفوفة الكلية تتم بجمع قيم الماسكات للجزء الواحد.

مثال // لديك الصورة التالية المطلوب تطبيق معامل Kirsch على هذه الصورة لالجزأين الأولين

$$\begin{bmatrix} 7 & 3 & 0 & 1 & 2 & 1 \\ 2 & 9 & 3 & 3 & 2 & 1 \\ 1 & 4 & 5 & 1 & 1 & 1 \end{bmatrix} \quad \text{للصورة فقط ؟}$$

$F_1 \qquad \qquad F_2$

نضرب ماسك $K_0 * F_1$ واستخراج النتيجة ونضعها في S_0 وكذلك نضرب ماسك $K_1 * F_1$ واستخراج النتيجة ونضعها في S_1 وهكذا لحد ما نضرب $K_7 * F_1$ ونضع النتيجة في S_7 وقيمة الحافة تكون أعلى قيمة واتجاهها نفس اتجاه أعلى قيمة أما مجموع قيم الماسكات لهذا الجزء نقوم بجمع جميع قيم ال S // الحل

$$K_0 * F_1 = S_0$$

$$K_1 * F_1 = S_1$$

$$K_2 * F_1 = S_2$$

$$\vdots$$

$$K_7 * F_1 = S_7$$

أما بالنسبة لالجزء الثاني

$$K_0 * F_2 = S_0$$

$$K_1 * F_2 = S_1$$

$$K_2 * F_2 = S_2$$

$$\vdots$$

$$K_7 * F_2 = S_7$$

توجد مشكله هنا في ماسكات Kirsch

1- القيم الموجودة في الماسكات هي قيم كبيرة وغير مرتبه

2- وجود حسابات كثيرة يمكن الخطاء فيها

3- قيم الصفر التي تبين الاتجاه في الماسكات تكون قليلة

Robinson Compass Masks -5

في هذا المعامل أيضا توجد ثمان ماسكات وهن :-

$$\begin{bmatrix} -1 & 0 & 1 \\ -2 & 0 & 2 \\ -1 & 0 & 1 \end{bmatrix} \quad \begin{bmatrix} 0 & 1 & 2 \\ -1 & 0 & 1 \\ -2 & -1 & 0 \end{bmatrix} \quad \begin{bmatrix} 1 & 2 & 2 \\ 0 & 0 & 0 \\ -1 & -2 & -1 \end{bmatrix} \quad \begin{bmatrix} 2 & 1 & 0 \\ 1 & 0 & -1 \\ 0 & -1 & -2 \end{bmatrix}$$

$R_0 \qquad \qquad R_1 \qquad \qquad R_2 \qquad \qquad R_3$

$$\begin{bmatrix} 1 & 0 & -1 \\ 2 & 0 & -2 \\ 1 & 0 & -1 \end{bmatrix} \quad \begin{bmatrix} 0 & -1 & -2 \\ 1 & 0 & -1 \\ 2 & 1 & 0 \end{bmatrix} \quad \begin{bmatrix} -1 & -2 & -1 \\ 0 & 0 & 0 \\ 1 & 2 & 1 \end{bmatrix} \quad \begin{bmatrix} -2 & -1 & 0 \\ -1 & 0 & 1 \\ 0 & 1 & 2 \end{bmatrix}$$

$R_4 \qquad R_5 \qquad R_6 \qquad R_7$

قيمة الحافة هي عبارة عن أعلى قيمة للحافات .
 اتجاه الحافة هو أعلى قيمة للاتجاه المأخوذ .
 وكذلك سهولة في الحاسوب وسهولة في إيجاد اتجاه الحافة



شكل(34): إيجاد الحافة واتجاهها باستخدام **Robinson**

LAPLACIAN OPERATORS - 6

أخذنا هذا المعامل في تحسين الصورة ويكون من ثلاثة ماسكات مجموع القيم بالimasكات يجب أن ينتج قيمة تساوي واحد وذلك لكي نزيد من إضاءة الصورة أما معامل ال LAPLACIAN الموجود هنا فأنه يتكون من ثلاثة ماسكات أيضاً لكن مجموع معاملات الماسكات يجب أن يكون صفر .

$$\begin{bmatrix} 0 & -1 & 0 \\ -1 & 4 & -1 \\ 0 & -1 & 0 \end{bmatrix} \quad \begin{bmatrix} 1 & -2 & 1 \\ -2 & 4 & -2 \\ 1 & -2 & 1 \end{bmatrix} \quad \begin{bmatrix} -1 & -1 & -1 \\ -1 & 8 & -1 \\ -1 & -1 & -1 \end{bmatrix}$$

LAPLACIAN MASKS

لماذا يفضل أن تكون مجموع قيم المعاملات = صفر ؟
 وذلك لأن عملية المسح للبكسلات يجب أن تعمم مثل البكسلات الصورة بحيث نضع الخلفية سوداء وحدود اللون أبيض مثل الأشعة .

مثال // لديك الصورة التالية المطلوب تطبيق معامل LAPLACIAN على هذه الصورة لجميع ماسكاته ؟

$$\begin{bmatrix} 4 & 3 & 2 & 1 & 2 & 1 \\ 1 & 1 & 5 & 1 & 2 & 1 \\ 6 & 7 & 1 & 2 & 2 & 1 \end{bmatrix}$$

F_1 F_2

// الحل

$$\begin{bmatrix} 0 & -1 & 0 \\ -1 & 4 & -1 \\ 0 & -1 & 0 \end{bmatrix} * \begin{bmatrix} 4 & 3 & 2 \\ 1 & 1 & 5 \\ 6 & 7 & 1 \end{bmatrix} = -12$$

$$L_0 * F_1 = -3 - 1 + 4 - 5 - 7 = -12$$

$$\begin{bmatrix} 1 & -2 & 1 \\ -2 & 4 & -2 \\ 1 & -2 & 1 \end{bmatrix} * \begin{bmatrix} 4 & 3 & 2 \\ 1 & 1 & 5 \\ 6 & 7 & 1 \end{bmatrix} = -15$$

$$L_1 * F_1 = 4 - 6 + 2 - 2 + 4 - 10 + 6 - 14 + 1 = -15$$

$$\begin{bmatrix} -1 & -1 & -1 \\ -1 & 8 & -1 \\ -1 & -1 & -1 \end{bmatrix} * \begin{bmatrix} 4 & 3 & 2 \\ 1 & 1 & 5 \\ 6 & 7 & 1 \end{bmatrix} = -20$$

$$L_2 * F_1 = -4 - 3 - 2 - 1 + 8 - 5 - 6 - 7 - 1 = -20$$

لا يمكن تحديد اتجاه الماسك لأنّه هو يقوم بتحديد الماسك داخل إطار .

إذا أراد كل الماسكات نطبق كل الماسكات ونختار الأعلى أما إذا أراد ماسك واحد فنختار أعلى قيمة من الماسك .

إذا أعطيت جزئين من الصورة و اختيار واحد من الماسكات

$$\begin{aligned} L_2 * F_1 &= -11 \\ L_2 * F_2 &= 5 \end{aligned}$$

جزأين للصورة وثلاث ماسكات

إذا أراد معامل ماسك واحد مثلا L_2 نضرب هذا المعامل في الجزء الأول ونأخذ أكبر قيمة . أما كل الماسكات فنجزئ وأضرب الأول في الجزء الأول والثاني في الجزء الأول وهكذا أو نختار أعلى قيمة .

$$L_0 * F_1 = -3$$

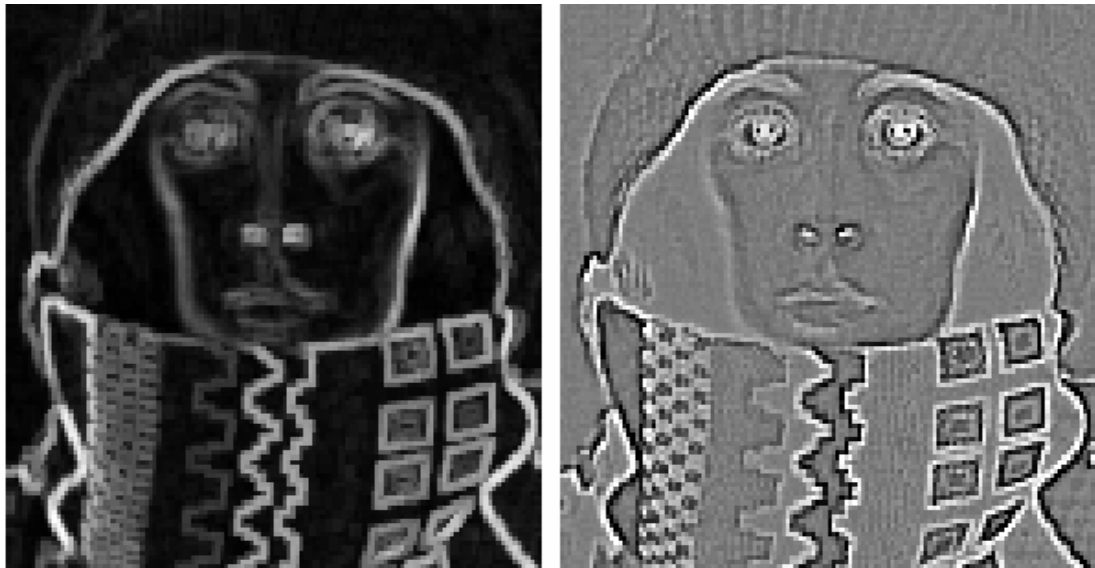
$$L_1 * F_1 = \textcolor{red}{9}$$

$$L_2 * F_1 = -1$$

$$L_0 * F_2 = 2$$

$$L_1 * F_2 = \textcolor{red}{13}$$

$L_2 * F_2 = 5$
بما أنه نفس الماسك وهو أما تكون قيمته في كل مرة فيكون نفس اللون .



شكل (35): تأثير LAPLACIAN MASKS على الصورة

FREI – CHEN MASKS - 7

هذا الماسك يعتبر فريد من نوعه في اكتشاف الحافات من حيث فكرته ، حيث يستخدم هنا معاملات للمasks كمجموع للأوزان الخاصة بكل جزء في الصورة ومن ناحية أخرى عدد masks هنا 9 ، والفكرة العامة له هو أنه الأربع masks الأولى يأخذها Edge Sub Space والأربع masks الثانية تستخدم لخطوط المساحة الجزئية Line Sub Space والماسك الأخير Average Sub Space .

$$\begin{array}{ll}
 F1 & \frac{1}{2\sqrt{2}} \begin{bmatrix} 1 & \sqrt{2} & 1 \\ 0 & 0 & 0 \\ -1 & \sqrt{2} & -1 \end{bmatrix} \\
 F2 & \frac{1}{2\sqrt{2}} \begin{bmatrix} 1 & 0 & -1 \\ \sqrt{2} & 0 & -\sqrt{2} \\ 1 & 0 & -1 \end{bmatrix} \\
 F3 & \frac{1}{2\sqrt{2}} \begin{bmatrix} 0 & 1 & \sqrt{2} \\ 1 & 0 & -1 \\ -\sqrt{2} & 1 & 0 \end{bmatrix} \\
 F4 & \frac{1}{2\sqrt{2}} \begin{bmatrix} \sqrt{2} & -1 & 0 \\ -1 & 0 & 1 \\ 0 & 1 & -\sqrt{2} \end{bmatrix} \\
 F5 & \frac{1}{2} \begin{bmatrix} 0 & 1 & 0 \\ -1 & 0 & -1 \\ 0 & 1 & 0 \end{bmatrix} \\
 F6 & \frac{1}{2} \begin{bmatrix} -1 & 0 & 1 \\ 0 & 0 & 0 \\ 1 & 0 & -1 \end{bmatrix}
 \end{array}$$

$$\frac{1}{6} \begin{bmatrix} 1 & -2 & 1 \\ -2 & 4 & -2 \\ 1 & -2 & 1 \end{bmatrix} \quad \frac{1}{6} \begin{bmatrix} -2 & 1 & -2 \\ 1 & 4 & 1 \\ -2 & 1 & -2 \end{bmatrix}$$

F7

F8

$$\frac{1}{3} \begin{bmatrix} 1 & 1 & 1 \\ 1 & 1 & 1 \\ 1 & 1 & 1 \end{bmatrix}$$

F9



Original Image



Frei&Chen operator

شكل(36) تأثير **FREI – CHEN MASKS** على الصورة

من بين الاختلافات هنا هو

- 1 ازدياد عدد الماسكات
- 2 توجد معاملات للماسكات

مثلا // لديك الصورة التالية (جزء من صورة) المطلوب تطبيق ماسكات FREI – CHEN عليها

$$I_s = \begin{bmatrix} 1 & 0 & 1 \\ 1 & 0 & 1 \\ 1 & 0 & 1 \end{bmatrix}$$

الحل // 1- نقوم بتطبيق كل الماسكات على هذا الجزء

- 1

$$\overline{2\sqrt{2}} [1(1) + 0(\sqrt{2}) + 1(1) + 1(0) + 0(0) + 1(-1) + 0(-\sqrt{2}) + 1(-1)] = 0.$$

$F_1 \longrightarrow 0$	$F_5 \longrightarrow -1$
$F_2 \longrightarrow 0$	$F_6 \longrightarrow 0$
$F_3 \longrightarrow 0$	$F_7 \longrightarrow 0$
$F_4 \longrightarrow 0$	$F_8 \longrightarrow -1$

2- نقوم باختيار القيم غير الصفرية

3- نقوم بالعملية التالية وهي بضرب النتيجة المعطاة للماسك * الماسك مع معاملة + النتيجة المعطاة للماسك غير الصفرى الثاني * الماسك مع معاملة + وهكذا

$$(-1)(\frac{1}{2}) \begin{bmatrix} 0 & 1 & 0 \\ 1 & 0 & 1 \\ 0 & 1 & 0 \end{bmatrix} + (-1)(\frac{1}{6}) \begin{bmatrix} -2 & 1 & -2 \\ 1 & 4 & 1 \\ -2 & 1 & -2 \end{bmatrix} \\ + (2)(\frac{1}{3}) \begin{bmatrix} 1 & 1 & 1 \\ 1 & 1 & 1 \\ 1 & 1 & 1 \end{bmatrix} = \begin{bmatrix} 1 & 0 & 1 \\ 1 & 0 & 1 \\ 1 & 0 & 1 \end{bmatrix} = I_s$$

أذا النتيجة تظهر نفسها أي نفس جزء الصورة أذا توجد حافة وإذا لم تنتج نفس النتيجة معناها لا توجد حافة والخلفية مستمرة .

واجب // لديك الصورة التالية (جزء من صورة) المطلوب تطبيق ماسكات FREI – CHEN

$$I_s = \begin{bmatrix} 1 & 1 & 1 \\ 0 & 0 & 0 \\ 1 & 1 & 1 \end{bmatrix}$$

عليها ??

ملاحظة //

لكي نستخدم ماسكات الـ FREI – CHEN حتى تدل على اتجاه الحافة لابد من أن نستخدم القانونين التاليين :-

$$\cos \Theta = \sqrt{\frac{\mathbf{M}}{\mathbf{S}}} \dots \dots \dots \dots \dots \dots \dots \quad (15)$$

$$1- \mathbf{M} = \sum_{k \in \{e\}} (\mathbf{I}_s, \mathbf{f}_k)^2 \dots \dots \dots \dots \dots \dots \dots \quad (16)$$

$$2- S = \sum_{k=1}^{\infty} (I_s, f_k)^2 \dots \dots \dots \dots \quad (17)$$

حيث أن :-

- 1- قيمة الـ M هي أحدي الماسكات غير الصفرية ويتم اختيارها بعد ضرب معاملها مع الصورة .
- 2- أما الـ S فهي قيمة الماسكات المأخوذة الكلية نجمعها مع بعضها ومن ثم نربع الناتج .

لتوضيح هذه المسألة نأخذ المثال السابق حيث توجد نتيجة ضرب الماسكات مع جزء الصورة غير الصفرية نطبق عليها قانون اتجاه الحافة

$$F_5 = -1$$

$$F_8 = -1$$

$$F_9 = 2$$

وبما أن الـ M هي أحدي الماسكات غير الصفرية فنأخذ الأقرب حيث أن :-

$$M = F_5 = -1$$

$$M = (F_5)^2 = (-1)^2 = 1$$

أما الـ S فهي مجموع كل نتائج الماسكات الصفرية وغير الصفرية مع تربيعها

$$S = 0^2 + 0^2 + 0^2 + 0^2 + 0^2 + (-1)^2 + (2)^2 = 6$$

ثم نقوم بإيجاد اتجاه الحافة

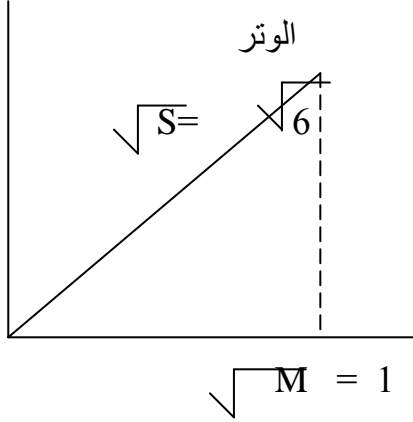
$$\cos \theta = M / s = 1 / 6$$

بعدها نرسم الزاوية التي تمثل ذلك

$$\sqrt{6^2} = \sqrt{n^2 + 1^2}$$

$$n^2 = 6 - 1$$

$$\sqrt{n} = 5 = 2.236$$



أما في حالة لو أخذنا الـ M هي F_9

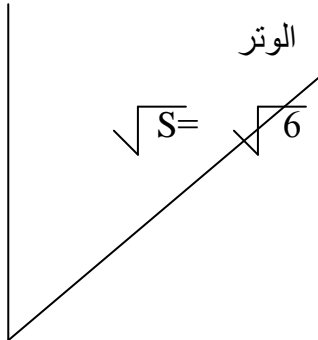
$$M = F_9 = 2$$

$$M = (F_9)^2 = (2)^2 = 4$$

ثم نقوم بإيجاد اتجاه الحافة

$$\cos \theta = M / s = 4 / 6$$

بعدها نرسم الزاوية التي تمثل ذلك



$$\sqrt{(6)^2} = (\sqrt{n})^2 + (-4)^2$$

$$n^2 = 6 - 4$$

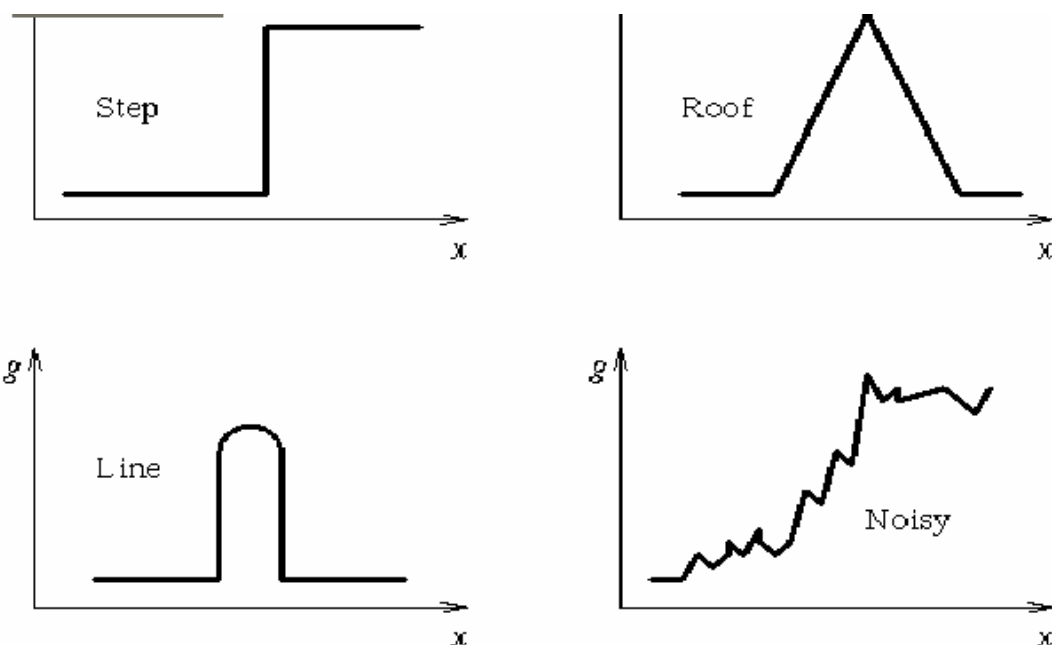
$$\sqrt{n} = \sqrt{2} = 1.414$$

شكل(37): زاوية اتجاه الحافة باستخدام فلتر FREI – CHEN

ملاحظة// يمكن أن نقسم أنواع الحافات إلى الأنواع التالية

- 1- خطوة
- 2- roof
- 3- خطى
- 4- مبعثر ضوضاء

والشكل التالي يوضح أشكال أنواع الحافات roof



شكل(38): أنواع الحافات

الفصل الرابع

تنعيم وحدة الصورة الرقمية

٤-١ زيادة حدة التفاصيل الصورة (IMAGE SHARPEING) :

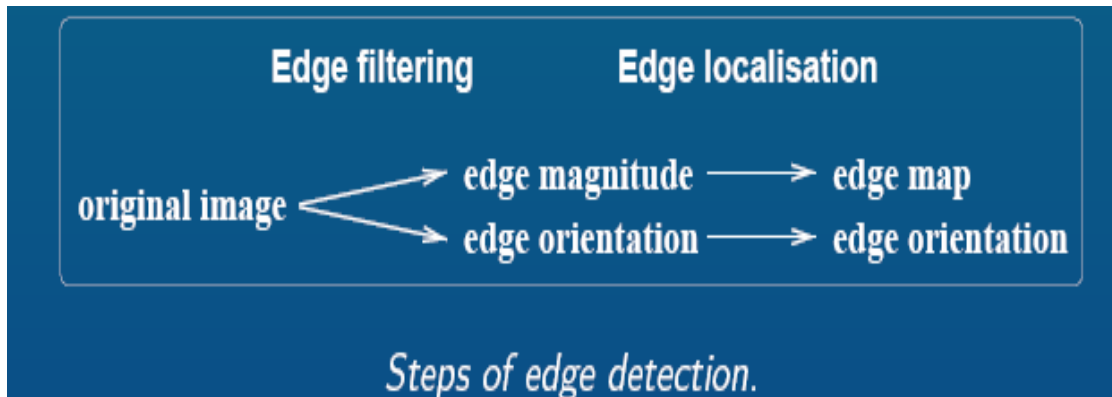
توجد طرق عديدة لإظهار حدة التفاصيل الخاصة بالصورة الرقمية يمكن إدراجها كالتالي:

A- HIGH PASS FILTERING

زيادة حدة التفاصيل باستخدام مرشحات الإمرار العالي :

يمكن تطبيق عمليات زيادة حدة التفاصيل بعد تطبيق أحد التحويلات (DCT) على عناصر الصورة حيث من المعروف أن الحواف التغيرات الحادة تكون مصاحبة لمادة عناصر التردد العالي .

يمكن الحصول على زيادة حدة التفاصيل في المجال التردد بعملية ترشيح التحرير العالي التي تحفظ بعناصر التردد العالي وتهمل عناصر التردد الواطئ .



شكل(39): يمثل خطوات إيجاد الحافة

B- HIGH – FREQUENCY EMPHASIS

زيادة حدة التفاصيل بالتأكيد على الترددات العالية :

يمكن استخدام تقنيات التأكيد على الترددات العالية لزيادة حدة التفاصيل في الصورة مع الاحتفاظ ببعض معلومات الترددات الواطئة وذلك بإضافة أزاحه تسمى Offset Value إلى دالة الترشيح يمكن الحصول على نفس النتائج في المجال الحيزوي باستخدام مرشحات يكون على شكل Mask يأخذ الهيئة التالية :-

$$\begin{bmatrix} -1 & -1 & -1 \\ -1 & X & -1 \\ -1 & -1 & -1 \end{bmatrix}$$

حيث أن المتغير X يحدد كمية المعلومات في الترددات الواطئة التي يجب أن تبقى في الصورة الناتجة فإذا كانت قيمة X تساوي 8 سوف يكون المرشح من نوع High Pass Filter (الصورة الناتجة تحتوي على الحواف فقط) .

بينما إذا كانت قيمة X أكبر فسوف يتم الاحتفاظ بمعلومات أكثر من الصورة الأصلية وإذا كانت قيمة X أقل من 8 فسوف تكون الصورة الناتجة سالبة أو عكس الصورة الأصلية .
إذا كان حجم الـ Mask أكبر سيؤدي ذلك إلى التأكيد أكثر للحواف .

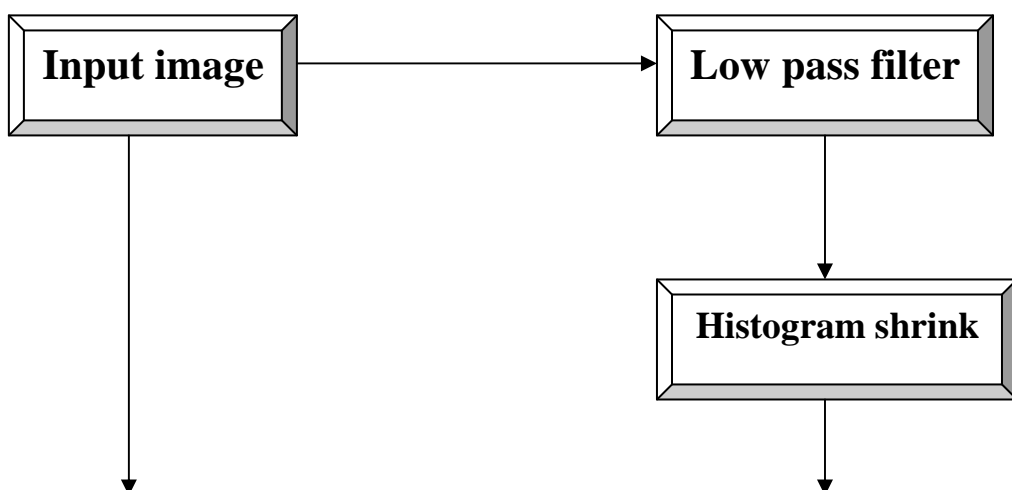
فمثلا // إذا كان حجم ال 5×5 Mask

$$\begin{bmatrix} -1 & -1 & -1 & -1 & -1 \\ -1 & -1 & -1 & -1 & -1 \\ -1 & -1 & X & -1 & -1 \\ -1 & -1 & -1 & -1 & -1 \end{bmatrix}$$

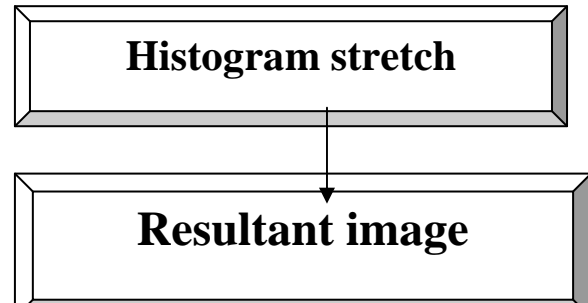
ج- UNSHARP MASKING

وهي خوارزميات لتحسين الصورة وذلك بزيادة حدة التفاصيل حيث يتم في هذه الخوارزمية جمع العديد من العمليات مثل الترشيح وعمليات تغير المدرج التكراري .

والخط الإنشيابي لهذه الخوارزمية هو :-



Subtract image



شكل(41) UNSHARP MASKING:

2-4 تتعيم الصورة :Image Smoothing

عمليات تتعيم الصورة تستعمل لها هدفين أساسين هو

1- لجعل الصورة أكثر نعومة .

2- لتخلص من الـ Noise .

تستعمل عمليات تتعيم الصورة لأضعاف الآثار الزائفة التي يمكن أن توجد في الصورة الرقمية وتنتمي عمليات التتعيم في المجالين الحيزوي والترددوي حيث تتم في المجال الحيزوي بأخذ كل عنصر صورة والعناصر المجاورة له وإبعاد أي قيمة مختلفة عن هذه المجموعة وتنتمي عادة باستخدام مرشحات (Mean ، Median) .

أما في المجال التردودي فتتم باستخدام مرشحات الأحرار المنخفض Low Pass Filter بعد تطبيق أحد التحويلات على الصورة .

ويمكن كتابة خوارزمية تدوير ماسك التتعيم للصورة الرقمية كالتالي :

Algorithm 4.1: Rotated mask smoothing

1. Consider each image pixel (i, j) .
 2. Calculate dispersion in the mask for all possible mask rotations about pixel (i, j) according to equation (4.32).
 3. Choose the mask with minimum dispersion.
 4. Assign to the pixel $g(i, j)$ in the output image the average brightness in the chosen mask.
-

1- الطريقة الحيزية تقسم إلى :-

ا - مرشح المعدل Mean Filter (توسيط الجوار)

أن توسيط الجوار هي أحدى تقنيات المجال الحيزى لتنعيم الصورة فإذا كان لدينا الصورة $F(x,y)$ وأبعادها $n \times n$ فإن تطبيق التوسيط هو توليد صورة منعمة (x, y) g يتم الحصول عليها عند كل نقطة (x, y) بأخذ متوسط القيم لعناصر الصورة المجاورة للعنصر (x, y) .

$$g(x, y) = 1 / M \sum f(x, y) \dots \dots \dots \quad (18)$$

حيث M = عدد عناصر ال Mask أو الجوار .
كلما كان حجم ال Mask سوف يحصل تنعيم أكثر للصورة .

ب - مرشح الأوسطي Median Filter

تستخدم المرشحات الأوسطية لتنعيم الصورة وذلك باستبدال قيمة المركز ال Mask المستخدم بالقيمة الوسطية .

مثال // إذا كان لدينا Mask بحجم 3×3

100	25	<u>20</u>		100	25	20
20	<u>15</u>	20		20	<u>20</u>	20
20	20	<u>20</u>		20	20	20

15 20 20 20 **20** 20 20 25 100

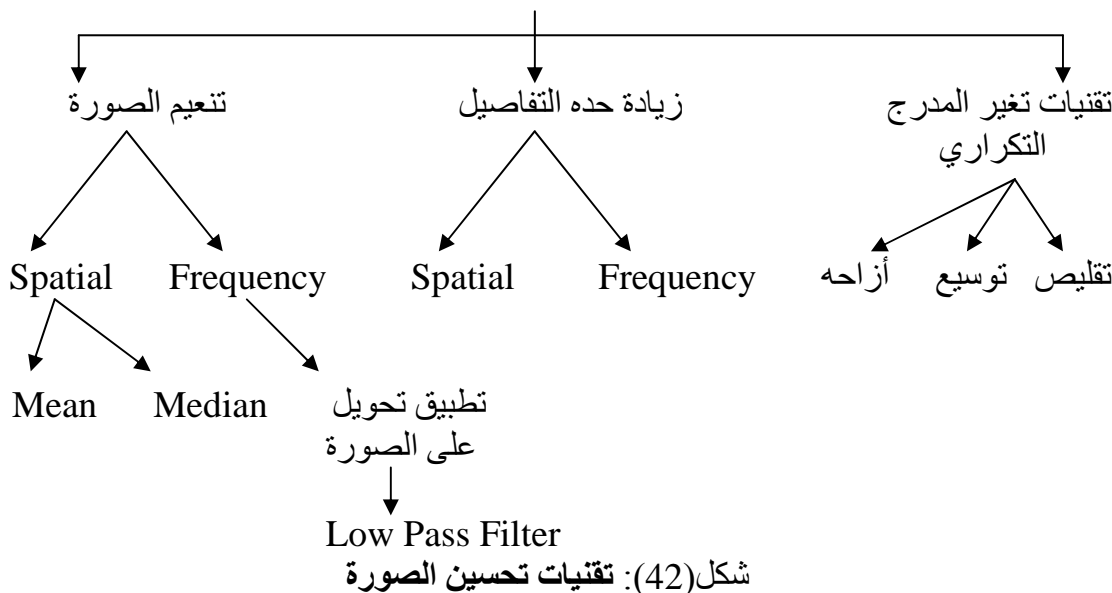
$$\text{Of Pixel} = 9 / 2 = 4.5 = 5$$

2- الطريقة التردديّة تتكون من :-

مرشحات الأحرار المنخفض Low Pass Filter
تستخدم هذه المرشحات بعد تطبيق أحد التحويلات على الصورة ثم تطبيق مرشحات الأحرار المنخفض التي تحافظ بمعلومات الصورة ذات الترددات الواطئة وتهمل الترددات العالية وهذه المرشحات هي :-

$$\begin{array}{c} \begin{bmatrix} 1 & 1 & 1 \\ 1 & 1 & 1 \\ 1 & 1 & 1 \end{bmatrix} \quad \begin{bmatrix} 1 & 1 & 1 \\ 1 & 2 & 1 \\ 1 & 1 & 1 \end{bmatrix} \\ \begin{bmatrix} 2 & 1 & 2 \\ 1 & 4 & 1 \\ 2 & 1 & 2 \end{bmatrix} \quad \begin{bmatrix} 1 & 2 & 1 \\ 2 & 4 & 2 \\ 1 & 2 & 1 \end{bmatrix} \\ \text{Low Pass Filter} \end{array}$$

المخطط العام تقنيات تحسين الصورة هو:
تقنيات تحسين الصورة



3-4 استرجاع (أعادة ترميم الصورة) : Image Restoration

وهي الطريقة التي يستخدم لإعادة ترميم واسترجاع الصورة بواسطة استخدام طريقة المعالجة عملية الاسترجاع مستخدمة موديل خاص

$$d(r,c) = h(r,c) * I(r,c) + n(r,c) \dots \dots \dots (19)$$

حيث * تمثل عملية الالتفاف Convolution
 $d(r,c)$ الصورة المسترجعة Degradation Image
 $h(r,c)$ عملية التحسين Degradation Process
 $I(r,c)$ هي الضوضاء التي تظهر في الصورة Noise Function

ملحوظة// الضوضاء هي أي معلومات غير مرغوب بها تظهر في الصورة .

مصادر الضوضاء التي تظهر في الصورة هي :-

* قناة الاتصال

* الضوضاء التي تظهر أثناء مرحلة استحصلال الصورة Image acquisition التي تتم فيها تحويل الصورة من أشارة كهربائية مستمرة إلى الشكل الرقمي التي تتقبله الحاسوب .

أنواع الضوضاء Noise Type

أ- Gaussian Noise

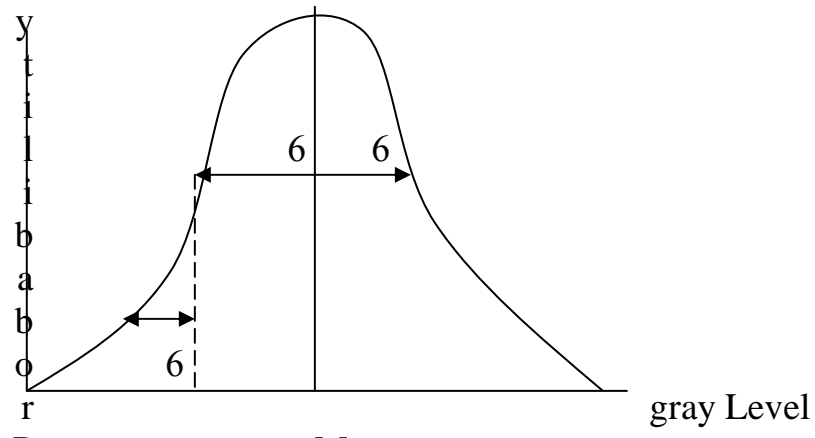
التمثيل الرياضي لهذا النوع من الضوضاء هو

$$\text{Histogram Gaussian} = \frac{1}{\sqrt{\pi} 6^2} e^{-(g-m)^2 / 262} \dots\dots\dots(20)$$

حيث

g هي القيمة اللونية gray level لعناصر الصورة
 m المعدل

(6^2 = Variance) standard deviation 6^2



شكل (43):توزيع الضوضاء من نوع Gaussian

ب- Uniform Noise

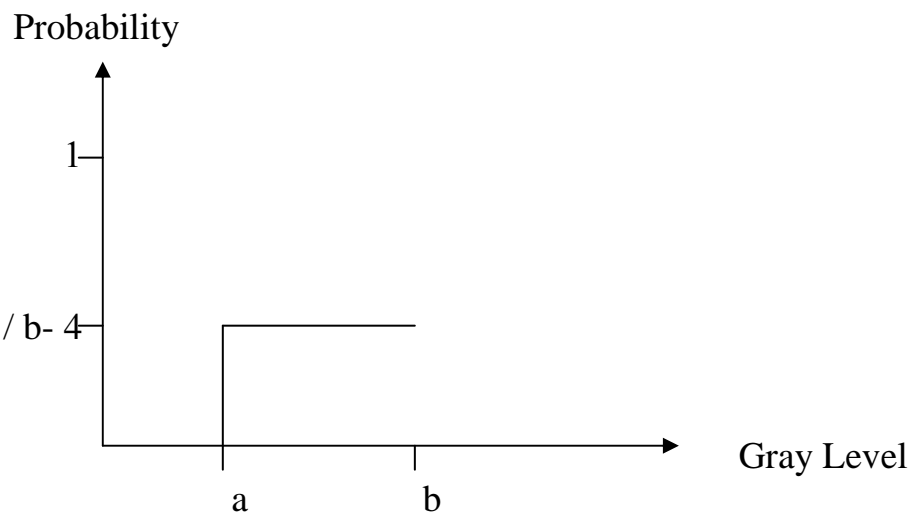
التمثيل الرياضي

$$\text{Histogram Uniform} = \begin{cases} \frac{1}{b-a} & \text{for } a \leq g \leq b \\ 0 & \text{otherwise} \end{cases}$$

$$0 \text{ else where}(21)$$

$$\text{Mean} = \frac{a + b}{2}(22)$$

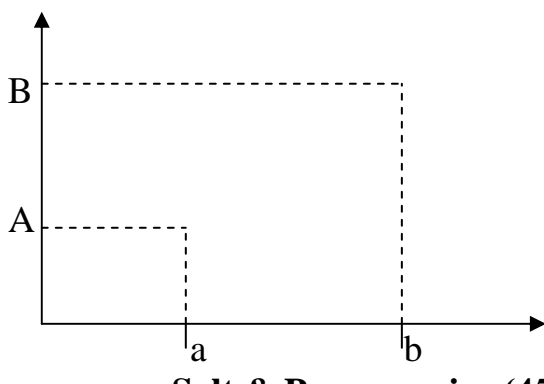
$$\text{Variance} = \frac{(b - a)^2}{12}(23)$$



Uniform Noise:(44)

Salt & Popper noise - ج التمثيل الرياضي

$$\text{Histogram Salt & Popper} = \begin{cases} A & \text{for } g = a \text{ (Popper)} \\ B & \text{for } g = b \text{ (Salt)} \end{cases}(24)$$



Salt & Popper noise:(45)

4-4 تحسين الصورة حسب المجالات:

أن الهدف الرئيسي من تقنيات التحسين هو معالجة صورة معينة بحيث تكون النتيجة أكثر ملائمة من الصورة الأصلية لتطبيق محدد.

طرق المجال - الحيزي :

أن المصطلح "المجال الحيزي" يرجع إلى تجمعات العناصر التي تشكل صورة ما ، وطرق المجال - الحيزي هي إجراءات تعمل مباشرة على هذه العناصر . يمكن التعبير عن دوال معالجة الصورة في المجال الحيزي بالصيغة التالية :

$$X(x, y) = T[\int(x, y)] \dots \dots \dots \dots \quad (25)$$

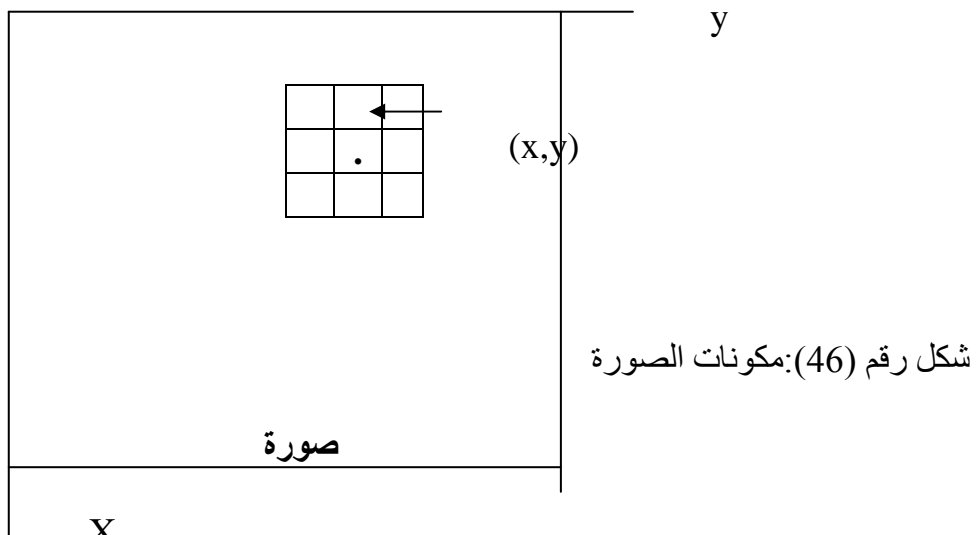
حيث أن :-

(x, y) هي صورة الدخل

X(x, y) هي صورة المعالجة

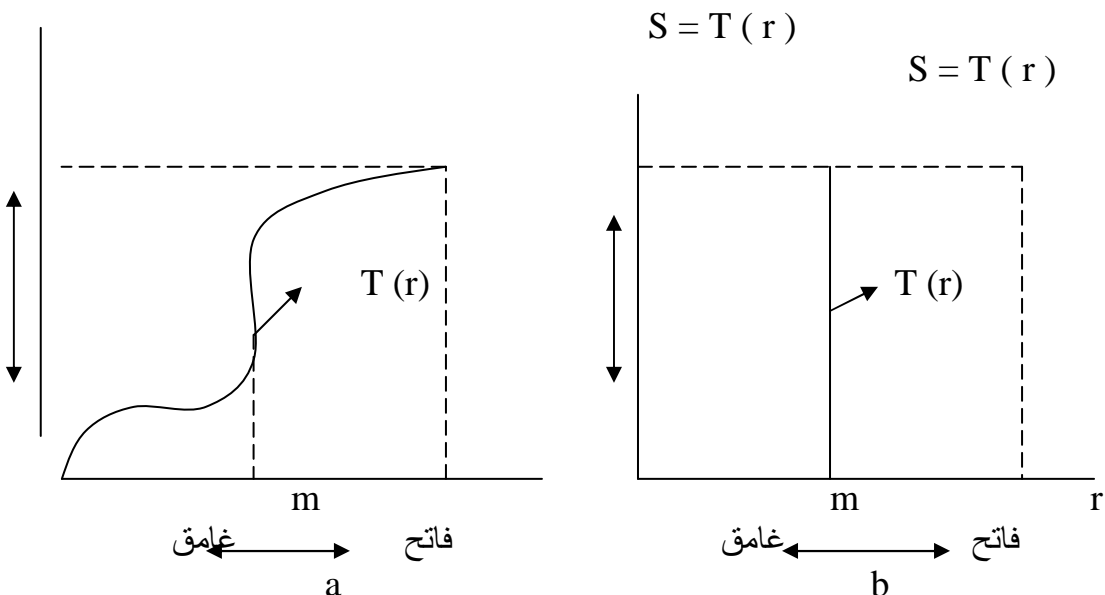
T هو عامل مؤثر يؤثر على x

والمعروف في جوار ما (y, x) ومن الممكن أيضاً أن نجعل T يؤثر على مجموعة من صور الدخل كما في حال إجراء جمع عناصر K صورة عنصراً فعنصراً من أجل تخفيض الصجيج بين



أن أبسط شكل لـ T هو عندما تكون أبعاد الجوار [x]. في هذه الحالة تعتمد g على قيمة x عند فقط وتصبح T دالة - تحويل سوية - رمادية gray level transformation function (x,y) (وتدعى أيضاً "دالة نقل" Mapping Function .)

وأن هذا التحويل هو أنتاج صورة ذات تباين أعلى من تباين الصورة الأصلية وذلك تعتمد السويات الأقل من سوية ما m وزيادة لمعان السويات الأعلى من m في طيف العنصر الأصلي في هذه التقنية المعروفة بـ " مد التباين " Contrast Stretching " تضغط سويات r الأخفض من m بواسطة دالة التحويل إلى مدى ضيق من s باتجاه النهاية المعتمد من الطيف . أن الأثر المعاكس يحدث من أجل قيم r الأعلى من m .



شكل رقم (47) دالتي تحويل سوية – رمادية من أجل تحسين التباين

أن الجوارات الأكبر تسمح باستعمال دوال معالجة متنوعة تذهب إلى مجرد تحسين الصورة بعض النظر عن التطبيق والأسلوب العام هو أن ندع قيمة f في الجوار المحدد (x,y) يحدد قيمة g عند الأحداثيين .

أن أحد الأساليب الرئيسية في هذا التشكيل يبني على ما يسمى (مراشيح أو طبعات أو أقنعة) النافذة هي أساساً مصفوفة ثنائية الأبعاد (مثلًا 3×3) .

أفترض أن لدينا صورة ثابتة وتحتوي نقاطاً معزولة بشكل متباعد وشدة تختلف عن شدة الخلفية يمكن كشف هذه النقاط

أن إجراء المستخدم : يحرك مركز النافذة (المرقم بـ 8) على الصورة عند موضع كل عنصر في الصورة نضرب كل عنصر محتوى ضمن مساحة معامل النافذة المقابل أي العنصر الموجود في مركز النافذة يضرب بـ 8 في حين أن غيراته الثمانية تضرب بـ 1 .

-1	-1	-1
-1	8	-1
-1	-1	-1

شكل رقم (48) نافذة لكشف نقاط معزولة تختلف عن خلفية ثابتة

إذا جعلنا w_9, w_1, \dots تمثل معاملات النافذة وأخذنا بعين الاعتبار الجبران الثمانية لـ (x, y) يمكن أن تقوم بإنجاز العملية التالية :

$$T[\int(x,y)] = w_1 \int(x-1,y-1) + w_2 \int(x-1,y) \\ + w_3 \int(x-1,y+1) + w_4 \int(x,y-1) \\ + w_5 \int(x,y) + w_6 \int(x,y+1) + w_7 \int(x+1,y-1) \\ + w_8 \int(x+1,y) + w_9 \int(x+1,y+1)$$

أذا أخرنا $w_1-1/9$ من أجل $i=1,2,3\dots 9$ وجعلنا $\int (r,y) - T$ ستكون قيم 8 عند (x,y) وجيرانه الثمانية .

W_1 $(x - 1, y - 1)$	W_2 $(x - 1, y)$	W_3 $(x - 1, y + 1)$
W_4 $(x, y - 1)$	W_5 (x, y)	W_6 $(x, y + 1)$
W_7 $(x + 1, y - 1)$	W_8 $(x + 1, y)$	W_9 $(x + 1, y + 1)$

شكل رقم (49) نافذة عامة أبعادها 3*3 معاملات وموقع عناصر صورة

طرق المجال – الترددية :
أن أساس تقنيات المجال الترددية هو نظرية الطي . لتكن (x, y) صورة شكل بطي صورة (x, y) غير تابع للموضع Position Invariant أي $h(x, y)$ مؤثر

$$S(x, y) = h(x, y) * f(x, y) \quad \dots \dots \dots \quad (26)$$

عندئذ ومن نظرية الطي فإن علاقة المجال الترددى التالية صحيحة :

حيث أن :-
 F, H, G هي تحويلات فورية لـ g و h و f على التوالي . أن التحويل (u, v) يدعى عادة دالة التحويل Transfer Function للعملية .

مسائل تحسين الصورة يمكن أن يعبر عنه في تطبيق تحسين صورة نموذجي ، وتعطي $f(x,y)$ ويتم بعد حساب $F(u,v)$

اختيار (u,v) بحيث تبرز الصورة المرغوبة والمعطاة بالعلاقة التالية :

$$g(x,y) = \zeta^{-1} \{ H(u,v) F(u,v) \} \quad \dots \dots (28)$$

خاصة ما للصور (x,y) فعلى سبيل المثال يمكن أن تبرز الحواف في (x,y) باستعمال دالة $H(u,v)$ تؤكد على الترددات العالية لتحويل فورييه (u,v) .

ليكن المتحول r يمثل السوية الرمادية للعناصر الموجودة في الصورة والتي نزيد تحسينها ولتبسيط سنفترض أن قيم العناصر قد قيست بحيث تقع جميعها في المدى .

$$0 \leq r \leq 1$$

حيث أن $0-r$ تمثل الأسود و $1-r$ تمثل الأبيض على السلم الرمادي من أجل أيه r في البون $[0,1]$ نحصل على:

$$S = T(r) \quad \dots \dots \dots \dots \dots (29)$$

والتي تنتج سوية S لكل عنصر r في الصورة الأصلية . يفترض أن دالة التحويل المعطاة تحقق الشرطين التاليين :

$0 \leq r \leq 1$ وحيدة القيمة وتنزأيد على وتيرة واحد Monotonically في البون (1)

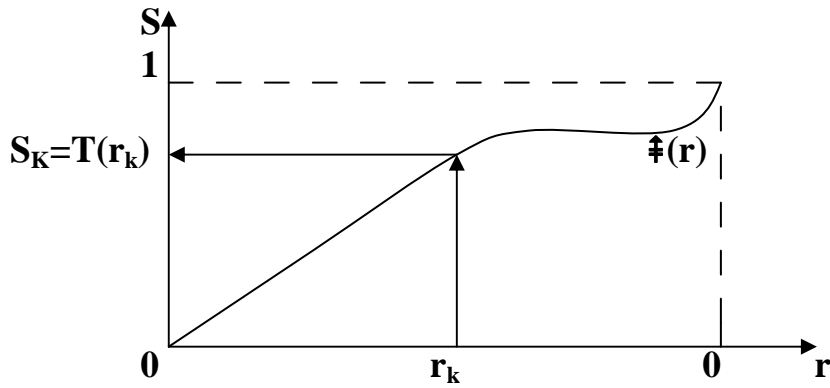
$$0 \leq T(r) \leq 1 \quad \text{for } 0 \leq r \leq 1 \quad (2)$$

يحفظ الشرط (1) الترتيب من الأسود إلى الأبيض على السلم الرمادي ، في حين ضمن الشرط (2) رسميا Mapping منسجما مع المدى المسموح به لقيم عناصر الصورة الذي يوضح دالة تحويل تحقيق هذين الشرطين سنعبر عن التحويل العكسي من S رجوعا إلى r بالشكل التالي

$$r = T^{-1}(s) \quad 0 < S < 1 \quad \dots \dots \dots \dots \dots (30)$$

حيث نفترض أن $T^{-1}(s)$ يحقق أيضا الشرطين (1) و (2) بالنسبة للمتحول s .

أن السويات الرمادية في صورة ما هي كميات عشوائية في البون $[0,1]$. فبافتراض أنها متحولات مستمرة ، يمكن أن توصف السويات الرمادية الأصلية والمحولة ، بدالتي كشافة احتمالها $p_r(s)$ و $p_s(r)$ على التوالي يمكن أن يقال الكثير حول



شكل رقم (50) دالة تحويل سويات رمادية

أن صورة لمستوياتها الرمادية دالة كثافة تستخدم مناطق مضيئة (فاتحة) لأن غالبية عناصرها رمادية فاتحة.

أنا نحتاج (s) T فقط لتسوية الهيستوغرام بأن ثبت أن الكثافة ناتجة ($p_s(s)$ هي في الحقيقة منتظمة لأن هذا يتطلب الحصول على (s) T^{-1} في الواقع العملي هذه الخطوة غير مطلوبة لأن الدالة مستقلة عن دالة التحويل العكسي.

$$r = T^{-1}(s) = 1 \pm \sqrt{1 - s} \dots\dots\dots (31)$$

أن الحل من أجل r بدلالة s يعطي

لأن r تقع في $[0,1]$ فإن الحل التالي فقط صحيح :-

$$r = T^{-1}(s) = 1 - \sqrt{1 - s} \dots\dots\dots (32)$$

يحصل على دالة كثافة الاحتمال $P_s(s)$ بتعويض النتائج:

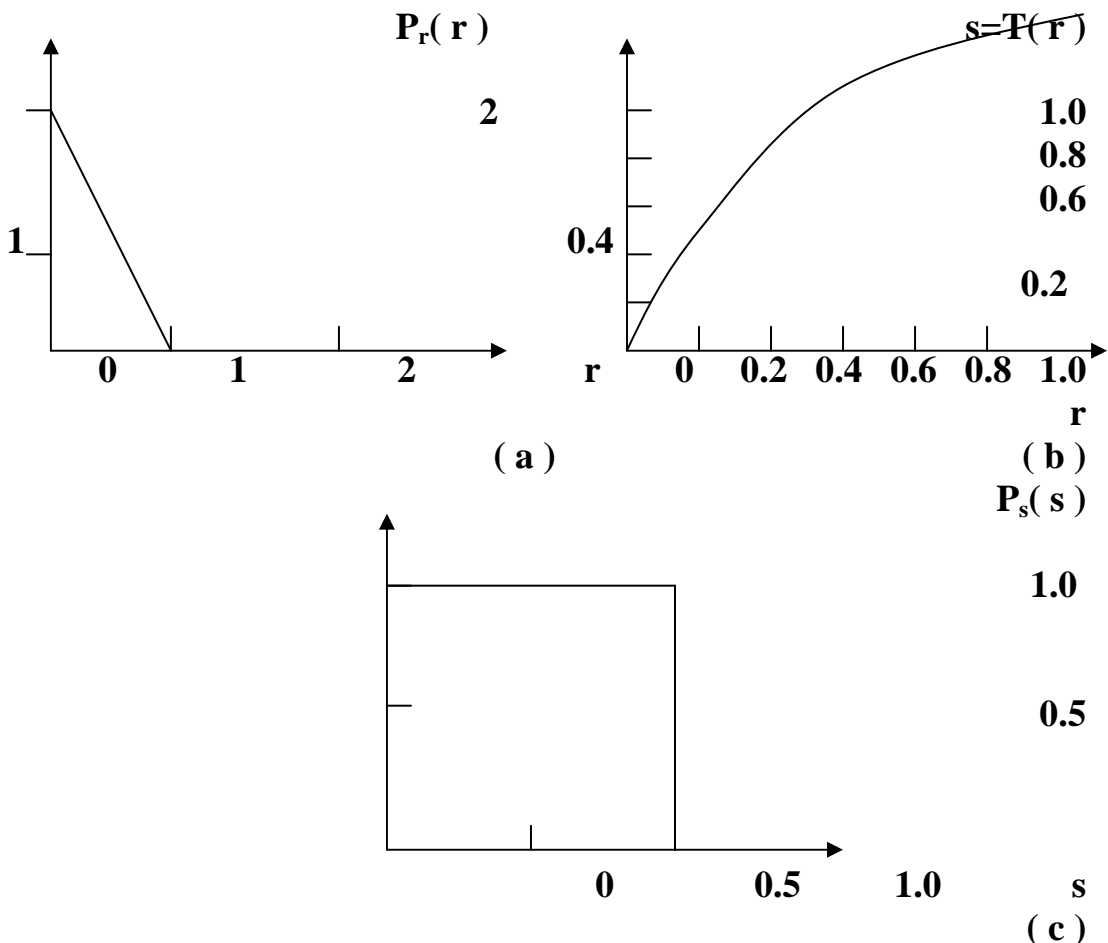
$$P_s(s) = [P_r(r) dr / ds]_{r=T^{-1}(s)} \dots\dots\dots (33)$$

$$= [(-2r + 2) dr / ds]_{r=1-\sqrt{1-s}} \dots\dots\dots (34)$$

$$= [(-2\sqrt{1-s}) d / ds (\sqrt{1-s})] = 1 \quad 0 \leq s \leq 1 \dots\dots\dots (35)$$

التي هي كثافة منتظمة في البون المرغوب.
من أجل السويات الرمادية التي تأخذ قيمًا متقطعة نتعامل مع احتمالات تعطي بالعلاقة التالية :

$$\begin{aligned} P_r(r_k) &= n_k / n \quad 0 \leq r_k \leq 1 \\ K &= 0, 1, \dots\dots\dots, L-1 \end{aligned} \dots\dots\dots (36)$$



شكل رقم (51) توضح طريقة تحويل الكثافة المنتظمة (a) دالة كثافة الاحتمال الأصلي . (b) دالة التحويل . (c) الكثافة المنتظمة الناتجة .

حيث أن L هي عدد السويات و (r_k) هي احتمال السوية الرمادية رسم K و n_k هي عدد المرات التي تظهر فيها هذه السوية في الصورة و n هي العدد الأجمالي للعناصر في الصورة .

أن الرسم البياني (P_1) مقابل r_k يدعى عادة الهيستوغرام histogram والتقنية المستخدمة للحصول على هيستوغرام منتظم تدعى تسوية الهيستوغرام Histogram Equalization أو Histogram Linearization .

أن الشكل المتقطع يعطي بالعلاقة التالية :

$$S_k = T(r_k) = \frac{\sum_{j=0}^k n_j}{n} \dots \dots \dots (37)$$

$$\begin{aligned} &= \\ &0 \leq r_k \leq 1 \\ &K = 0, 1, \dots, L-1 \end{aligned}$$

ويشار إلى التحويل العكسي كما يلي

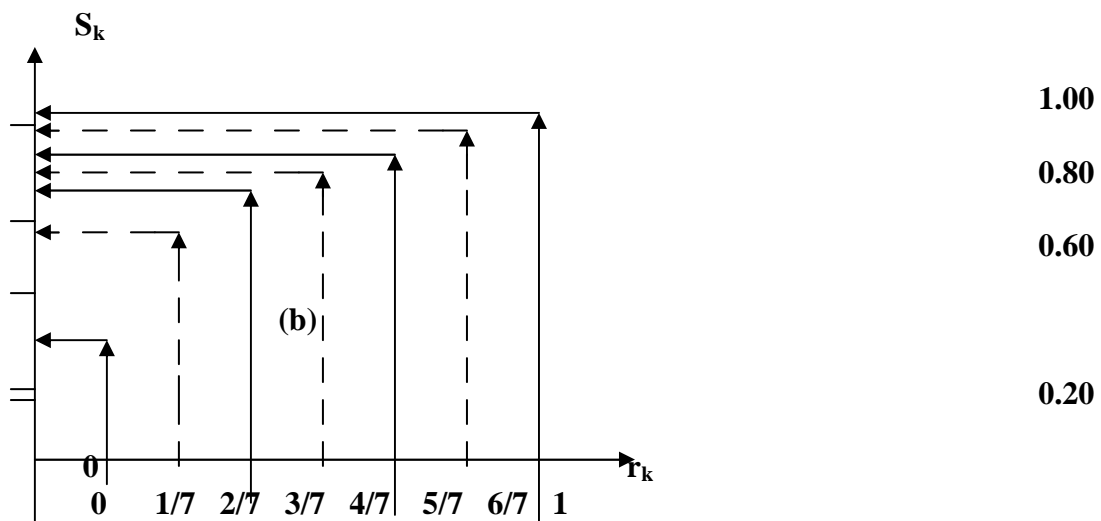
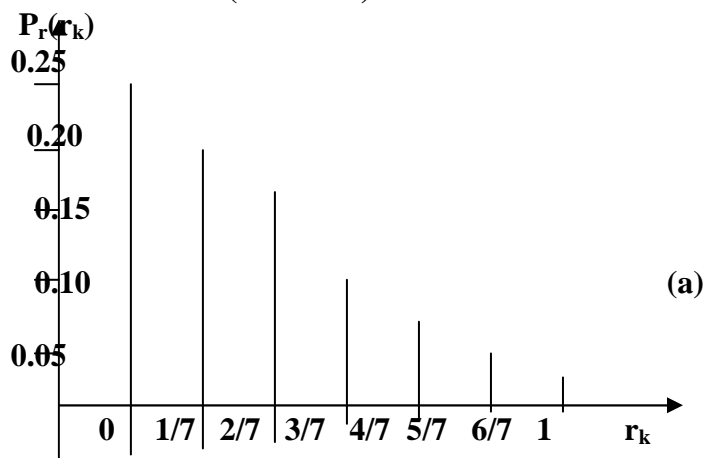
$$r_k = T^{-1}(s_k) \dots \dots \dots (38)$$

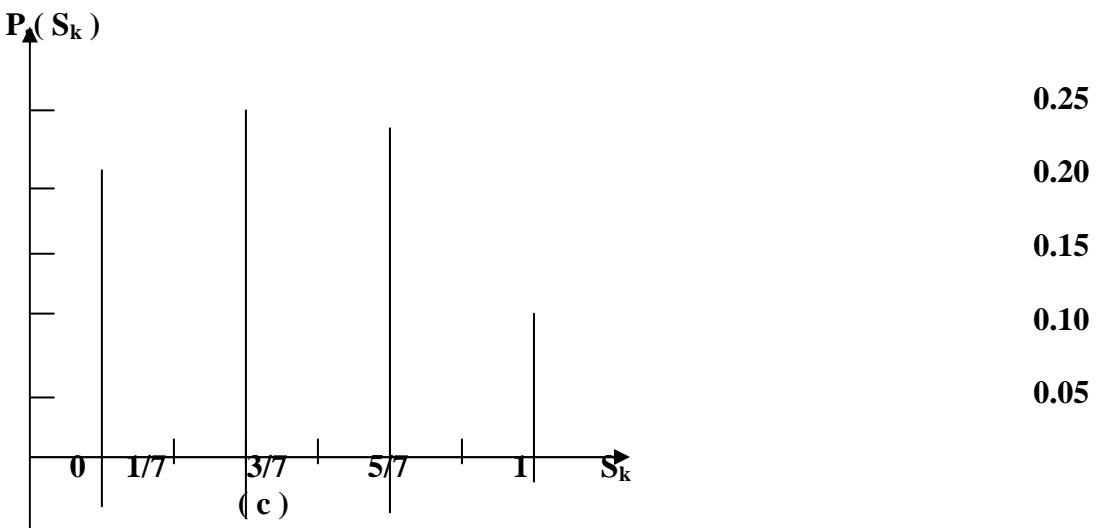
$$0 \leq s_k \leq 1$$

مثلا // أفترض أن صورة أبعادها 64×64 وفيها 8 سويات رمادية لما توزيع السويات الرمادية

r_k	n_k	$P_r(r_k) = n_k/n$
$r_0 = 0$	790	0.19
$r_1 = 1/7$	1023	0.25
$r_2 = 2/7$	850	0.21
$r_3 = 3/7$	656	0.16
$r_4 = 4/7$	329	0.08
$r_5 = 5/7$	245	0.06
$r_6 = 6/7$	122	0.03
$r_7 = 1$	81	0.02

(table . 1)





الشكل رقم (52) يوضح طريقة تسوية الهيستوغرام (a) الهيستوغرام الأصلي (b)
الهستوغرام المسوي(c)

يحصل دالة التحويل :

$$\begin{aligned} S_0 &= T(r_0) = \sum_{J=0}^0 P_r(r_J) \\ &= P_r(r_0) \\ &= 0.19 \end{aligned}$$

بشكل مشابه

$$\begin{aligned} S_1 &= T(r_1) = \sum_{J=0}^1 P_r(r_J) \\ &= P_r(r_0) + P_r(r_1) \\ &= 0.44 \end{aligned}$$

$$\begin{array}{ll} S_2 = 0.65 & S_5 = 0.95 \\ S_3 = 0.81 & S_6 = 0.98 \\ S_4 = 0.89 & S_7 = 1.00 \end{array}$$

يجب أن تنسن كل قيمة من القيم المحولة لأقرب سوية صحيحة كالتالي:

$$S_0 \approx 1/7 \quad S_1 \approx 3/7 \quad S_2 \approx 5/7$$

$$S_3 \approx 6/7 \quad S_4 \approx 6/7 \quad S_5 \approx 1$$

$$S_6 \approx 1 \quad S_7 \approx 1$$

يلاحظ أن يوجد خمس سويات هيستوغرام - مسوبي رمادية مميزة فقط . و بإعادة تعريف
التعابير الرياضية لتأخذ هذا الأمر بالحساب ، تنتج السويات التالية :

$$\begin{array}{lll} S_0 = 1/7 & S_1 = 3/7 & S_2 = 5/7 \\ S_3 = 6/7 & S_4 = 1 & \end{array}$$

و لأن r_0 - r_1 كانت قد حولت (Mapped) إلى S_0 - S_1 يوجد 790 عنصرا محولا بهذه القيمة الجديدة . ويوجد أيضا 1023 عنصرا بالقيمة S_1 - S_2 و 850 عنصرا بالقيمة S_2 - S_3 ولكن لأن كلا من السويتين r_3 و r_4 كانت قد حولت إلى S_3 - S_4 يوجد 556 عنصرا بالقيمة S_3 - S_4 ، 329 عنصرا بهذه القيمة الجديدة بشكل مشابه ، يوجد 245 عنصرا بالقيمة S_4 . أن تقسيم هذه الأعداد على 4096 يعطي للهيستوغرام . ولأن الهيستوغرام تقريب دالة كثافة الاحتمال يندر الحصول على نتائج مسطحة تماما عند التعامل مع السويات المقطعة .

5-4 التوصيف المباشر للهيستوغرام :Direct Histogram Specification

أن الطريقة السابقة مفيدة جدا لكنها ليست ملائمة من أجل تطبيقات تحسين الصور الفاعلي Intensive Image Enhancement لأن إمكانات هذه الطريقة محدودة بتوليد نتيجة واحدة فقط ، تقريب لهيستوغرام منتظم .

$$S = T(r) = \int_0^r p_r(w) dw \dots \dots \dots (39)$$

إذا كانت الصورة المرغوبة متوفرة فإن مستوياتها الرمادية يمكن أن تسوى باستعمال دالة التحويل التالية :-

$$P = G(z) = \int_0^z p_z(w) dw \dots \dots \dots (40)$$

أن العملية العكسية $(v)^{-1}G(z)$ ستعيد عندئذ السويات المرغوبة . تشكيل افتراضي لأن سويات z هي بالضبط ما نجرب الحصول عليه . ولكن أن $(s)^{-1}G(z)$ ستكونان كثافتين منتظمتين متمااثلتين لأن النتيجة النهائية مستقلة عن الكثافة داخل التكامل .

إذا استعملنا المنتظمة التي حصلنا عليها من الصورة الأصلية بدلا من v في العملية سيكون للسويات الناتجة $(s)^{-1}G(z)$ دالة الكثافة المرغوبة . بافتراض أن وحيد القيمة يمكن تلخيص الأجراء كما يلي :-

- 1- مستويات الصورة الأصلية
- 2- حدد دالة الكثافة المرغوبة واحصل على دالة التحويل $G(z)$
- 3- طبق دالة التحويل العكسي $(s)^{-1}G(z)$ على السويات التي حصلت عليها في الخطوة 1 .

هذا الأجراء يعطي النسخة المعالجة للصورة الأصلية حيث أن السويات الجديدة مميزة بالكثافة الجديدة $(z)^{-1}G(s)$.

أن طريقة تحديد الهيستوغرام تستخدم دالة تحويل $(r)^{-1}T$ متبرعة بمسألة بسيطة أن ندمج كلا من خطوتين التحسين في دالة واحدة تعطي النتائج المرغوبة بدءا من عناصر الصورة الأصلية .

$$Z = G^{-1}(s) \dots \dots \dots (41)$$

نحصل على دالة التحويل المدموج

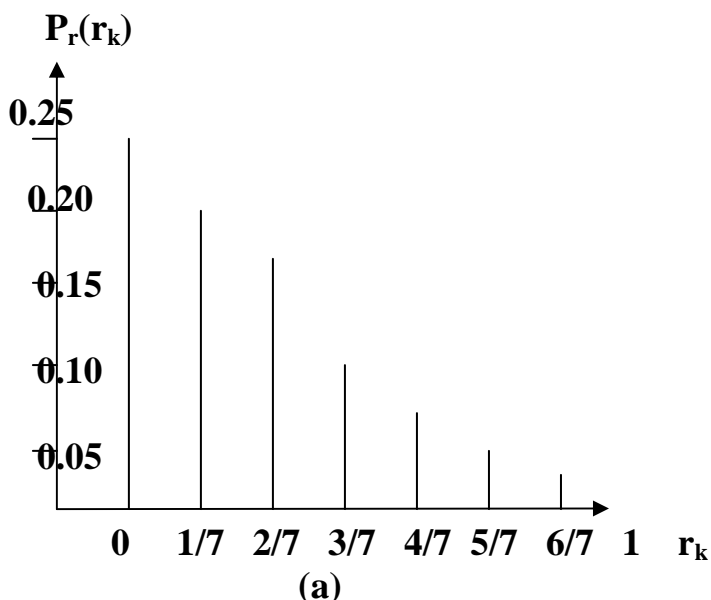
$$Z = G^{-1}[T(r)] \dots \dots \dots (42)$$

الذي يربط الـ r بالـ z يلاحظ أنه عندما تكون $(T(r) - T(z))^{-1}$ تختصر هذه إلى تسوية الهيستوغرام .

مثال // اذا كانت لديك قيم الصورة التي فيها 8 - سويات رمادية وأبعادها 64×64 . استخدم القوانين التي تحدد دالة التحويل:

z_k	$P_z(z_k)$
$z_0 = 0$	0.00
$z_1 = 1/7$	0.00
$z_2 = 2/7$	0.00
$z_3 = 3/7$	0.15
$z_4 = 4/7$	0.20
$z_5 = 5/7$	0.30
$z_6 = 6/7$	0.20
$z_7 = 1$	0.15

(table . 2)



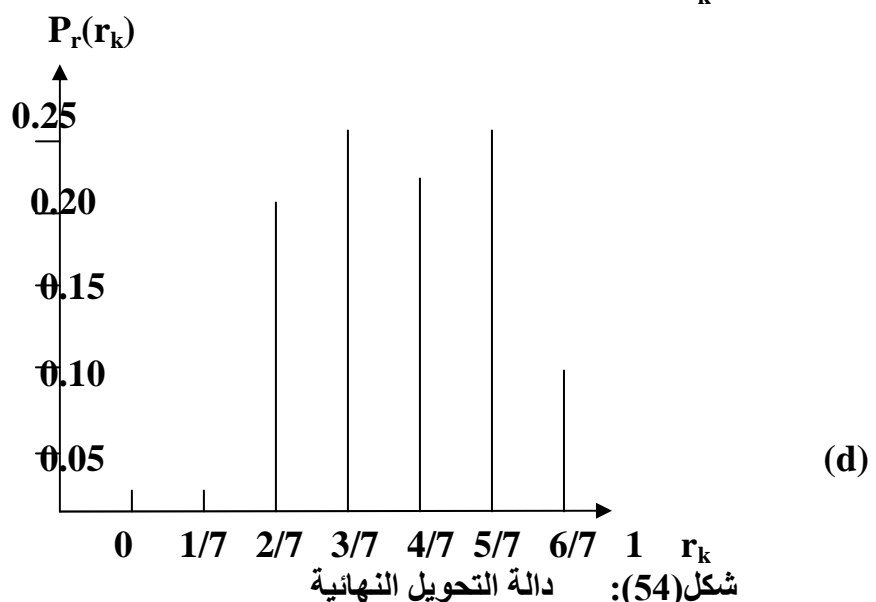
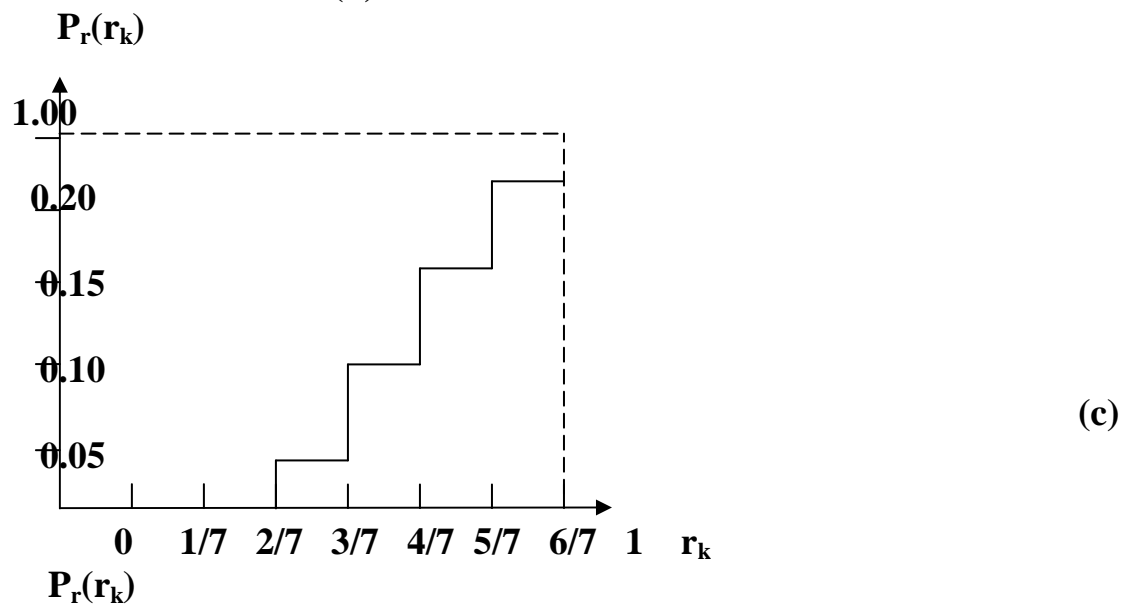
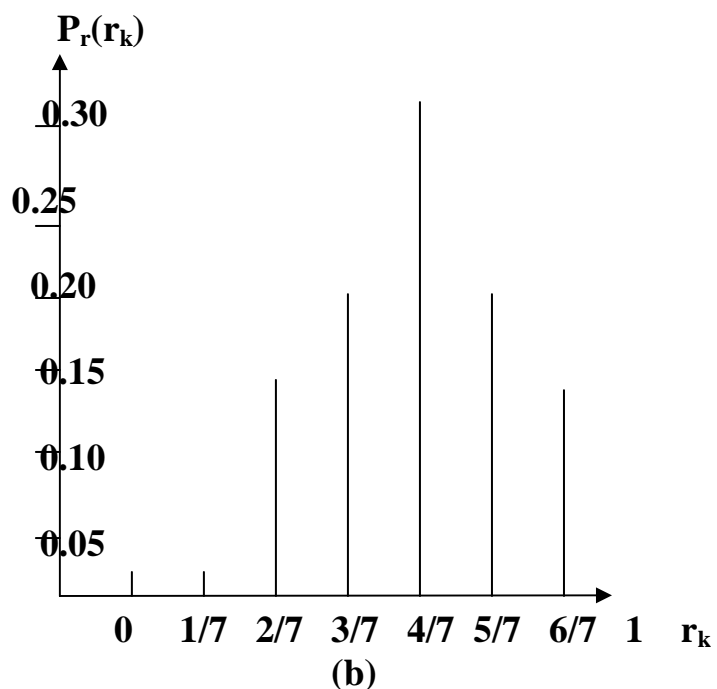
في هذا الشكل رقم (53) توضيح طريقة توصيف الهيستوغرام

(a) هيستوغرام أصلي

(b) هيستوغرام موصف

(c) دالة تحويل

(d) الهيستوغرام الناتج



شكل(54): دالة التحويل النهائية

أن الخطوة الأولى في الأجراء هي الحصول على التحويلات Mapping تسوية - الهيستوغرام بعد ذلك نحسب دالة التحويل

$$r_k = G(z_k) = \sum_{k=0}^k p_s(z_k) \quad \dots \dots \dots \quad (43)$$

وهذا يعطى القيم التالية :

$r_0 = G(z_0) = 0.00$	$r_4 = G(z_4) = 0.35$
$r_1 = G(z_1) = 0.00$	$r_5 = G(z_5) = 0.65$
$r_2 = G(z_2) = 0.00$	$r_6 = G(z_6) = 0.85$
$r_3 = G(z_3) = 0.15$	$r_7 = G(z_7) = 1.00$

$r_k \rightarrow s_k$		n_k	$P_s(s_k)$
→	$r_0 \quad s_0 = 1/7$	790	0.19
→	$r_1 \quad s_1 = 3/7$	1023	0.25
→	$r_2 \quad s_2 = 5/7$	850	0.21
→	$r_3, r_4 \quad s_3 = 3/7$	985	0.24
→	$r_5, r_6, r_7 \quad s_4 = 4/7$	448	0.11

(table . 3)

للحصول على قيم z نطبق معكوس التحويل G على السويات s_k المبينة بطريقة تسوية الـ histogram و لأننا نتعامل مع قيم منفصلة يجب عادة أن نجري تقريراً في التحويل G العكسي مثلاً أن أقرب نظير لـ $s_0 = 1/7 = 0.14$ هو $G(z_3) = 0.15$ أو استعمال التحويل العكسي $G^{-1}(0.15) = z_3$ وهذا لأن s_0 حولت إلى سوية z_3 أن استعمال هذا الأجراء يعطي تحويلات التالية :-

$$\begin{array}{lcl} s_0 = 1/7 & \longrightarrow & z_3 = 3/7 \\ s_1 = 3/7 & \longrightarrow & z_4 = 4/7 \\ s_2 = 5/7 & \longrightarrow & z_5 = 5/7 \\ s_3 = 6/7 & \longrightarrow & z_6 = 6/7 \\ s_4 = 1 & \longrightarrow & z_7 = 1 \end{array}$$

يمكن دمج هذه النتائج لإعطاء التحويلات Mapping المباشرة التالية :-

$r_0 = 0 \longrightarrow z_3 = 3/7$	$r_4 = 4/7 \longrightarrow z_6 = 6/7$
$r_1 = 1/7 \longrightarrow z_4 = 4/7$	$r_5 = 5/7 \longrightarrow z_7 = 1$
$r_2 = 2/7 \longrightarrow z_5 = 5/7$	$r_6 = 6/7 \longrightarrow z_7 = 1$

$$r_3 = 3/7 \rightarrow z_6 = 6/7 \quad r_7 = 1 \rightarrow z_7 = 1$$

أن أعادة توزيع عناصر الصورة وفقاً لهذه التحويلات والتقطیم على الھیستوغرام

r_k	n_k	$P_z(z_k)$
$r_0 = 0$	0	0.00
$r_1 = 1/7$	0	0.00
$r_2 = 2/7$	0	0.00
$r_3 = 3/7$	790	0.12
$r_4 = 4/7$	1023	0.25
$r_5 = 5/7$	850	0.21
$r_6 = 6/7$	985	0.24
$r_7 = 1$	448	0.11

(table . 4)

الفصل الخامس

ضغط الصورة الرقمية

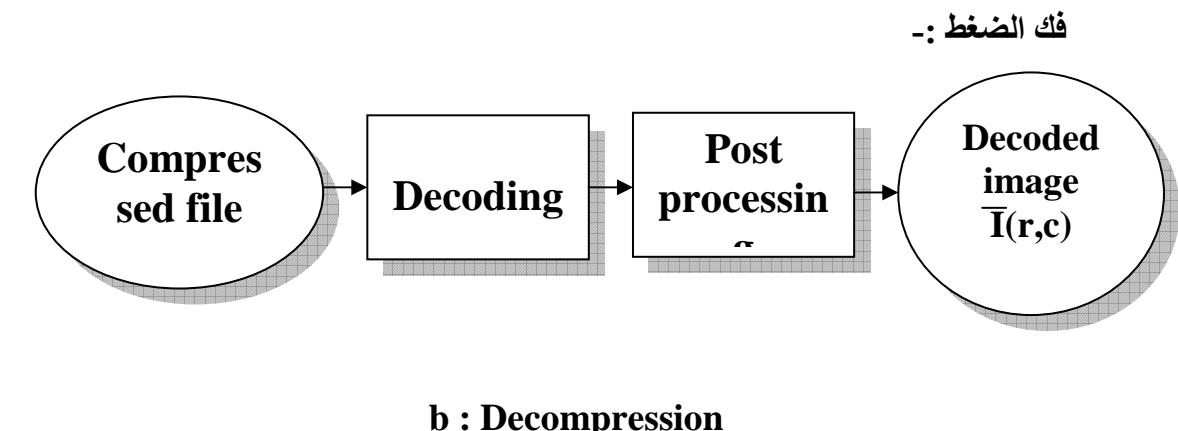
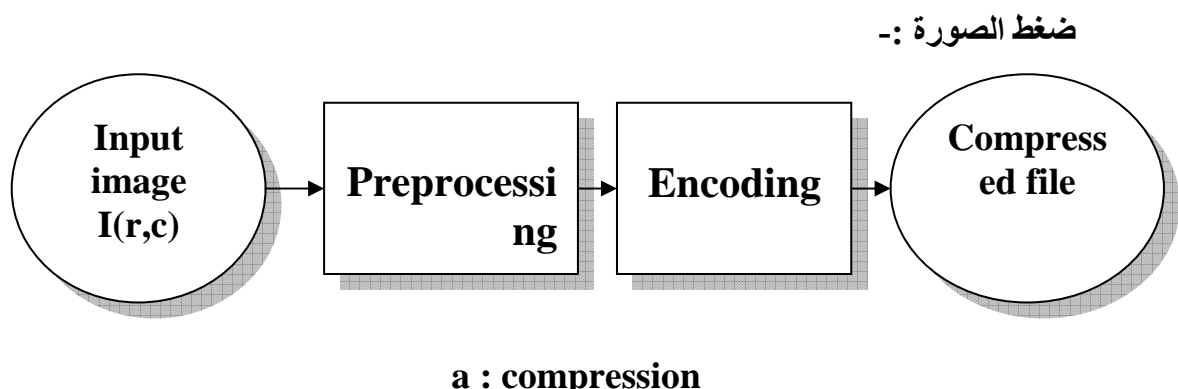
1-5 ضغط الصور :Image Compression

ضغط الصور هو تقليل حجم بيانات الصورة مع الاحتفاظ بالبيانات الضرورية لفайл الصورة أي أن حجم الفايل المتقلص يسمى بالملف المضغوط الذي يستخدم لاسترجاع الصورة المضغوطة يجب معرفة :-

- 1- نوع الصورة Type
- 2- حجم الصورة Size
- 3- بيانات الصورة Data

الرسم التالي يوضح عملية الضغط التي تتكون من مرحلتين

- 1- ضغط الصورة
- 2- فك الضغط



شكل(55):ضغط صورة وفك الضغط

2-5 نسبة الضغط : Compression ratio

هي تحديد حجم الفايل المضغوط أي مقدار ضغطة وتأتي من القانون التالي :-

$$\text{Compression ratio} = \frac{\text{uncompressed file size}}{\text{compressed file size}} \\ = \frac{\text{size u}}{\text{size c}} \dots\dots\dots\dots\dots\dots(44)$$

$$\frac{\text{حجم الصورة غير المضغوطة}}{\text{حجم الصورة الأصلية}} = \text{نسبة الضغط}$$

مثال // لديك صورة حجمها 256 (8 bits) لكل عنصر وبعد عملية الضغط أصبح حجمها (6.554) بایت . أحسب نسبة الضغط ؟؟

$$\text{Size u / Size c} = 256 * 256 / 6554 = 65536 / 6554 = 9.999 \cong 10$$

as 10 : 1

توجد طريقة ثانية لإيجاد نسبة الضغط اعتمادا على ال bit Per Pixel التي تساوي القانون التالي

$$\text{CR} = \text{Bits Per Pixel} = \frac{\text{number of Bits}}{\text{number of Pixel}} \dots\dots\dots\dots\dots\dots(45)$$

$$= (8) (\text{number of byte}) / N * N$$

طبق المثال السابق على هذا القانون

$$\text{CR} = \text{Bits Per Pixel} = 6554 * 8 / 256 * 256 = 52432 \text{ bit} / 65536 \\ = 0.8 \text{ Bit Per Pixel}$$

الفرق بين القانونين

- 1- الصورة قبل الضغط توضع في البسط لكي يتم تحويلها إلى بتات بضربها * 8 .
- 2- الطريقة الثانية نسبة الضغط أعلى أو أكبر من السابقة .

اما مساوى الطريقة الأولى فهي

عند ضغط البايت لكل بكسل فيؤدي إلى دمج الألوان لكل نهاية البايت الأول وبداية البايت الثاني .

من مساوى الطريقة الثانية

تعامل مع بت لكل بكسل في كل مرة والبت عبارة عن خلية بينما الكسل هو عبارة عن 8 خلايا وبذلك في كل مرة تفقد 7 خلايا فيؤدي إلى التشوية .

مثال // إذا كان لديك صورة من نوع BGR لونية سعتها 512×512 بت لكل بكسل (أي 8 بت لكل لون) .. المطلوب إيجاد نسبة الضغط بالأوقات (الدقائق) علماً أن الوقت المستغرق للضغط كان (Kilo bits / Second) يعني (28.8Kboud)

الحل // بما أن القوانين المستخدمة لا تحتوي على الأوقات لذا بحسب تكوين قانون جديد يتمثل بالوقت كالتالي :-

$$\frac{(512 \times 512 \text{ pixels}) (24 \text{ bits / pixel})}{(28.8 \times 1024 \text{ bits / second})} \approx 213 \text{ second} \approx 3.6 \text{ minutes}$$

نقوم بتحويل البت إلى ثواني Second والثواني نحولها إلى دقائق ال هي 60 ثانية Minuets
 $= 213 / 60 = 3.6 \text{ Minuets}$

3-5 معايير الدقة أو مقاييس التقييم (الموثوقية) :FIDELITY CRITERIA

تتطلب خوارزميات الضغط (ضغط الصور) تحديد أقل كمية من البيانات لتمثيل الصورة كمعلومات ضرورية بدون التأثير عليها وإيجاد مقاييس :

1- مقاييس الهدف objective fidelity criteria

2- إيجاد نسبة الإشارة إلى الضوضاء (SNR)

1- مقاييس الهدف : تستخدم هذه المقاييس لإيجاد معاملات نسبة الخطاء بين الصورة الأصلية والصورة المسترجعة

1- نجد الجذر التربيعي لمعدل مربعات الخطاء root – mean – square error .
 بتحديد الفرق الكلي للخطاء بين الصورة الأصلية والصورة المسترجعة .
 ويوجد قانون لإيجاد الخطاء للجذر التربيعي :-

$$\text{Total error} = \sqrt{\sum_{r=0}^{n-1} \sum_{c=0}^{m-1} [\bar{I}(r,c) - I(r,c)]^2} \dots \dots \dots (46)$$

حيث أن :-
 $I(r,c)$ هي الصورة الأصلية .
 $\bar{I}(r,c)$ هي الصورة المسترجعة بعد الضغط .

n, m هي سعة الصورة في حالة إذا كانت الصورة مربعة فتصبح n^2 أما إذا كانت غير مربعة فأنها سوف تكون m^2 .

يمكن أن نحصل على نسبة الجذر التربيعي للمعدلات مربعات الخطاء وكذا (إذا كانت المصفوفة مربعة أو غير مربعة)

$$RMSE = \sqrt{\frac{1}{N} \sum_{r=0}^{n-1} \sum_{c=0}^{n-1} [\bar{I}(r,c) - I(r,c)]^2} \dots \dots \dots (47)$$

معنى ذلك أن القيمة مربعات نسبة الخطاء كلما كانت نوعية كلما كانت الصورة المسترجعة جيدة إذا نسبة الخطاء في الصورة كانت صغيرة أو قليلة كلما كانت أفضل لأن معلومات الصورة الأصلية لا تفقد بشكل كبير على عكس إذا كانت نسبة الخطاء كبيرة.

2 - نسبة الإشارة إلى الضوضاء :

تعد هذه النسبة الأكثر استخداماً من الطريقة السابقة حيث أن هذا المقياس يمكنه تمثيل الصورة المسترجعة من خلال الإشارة والفرق بينها (الفرق بين الصورة الأصلية والصورة المسترجعة) وهنالك قانون لتمثيل ذلك :-

$$SNR = \sqrt{\frac{\sum_{r=0}^{n-1} \sum_{c=0}^{n-1} [\bar{I}(r,c)]^2}{\sum_{r=0}^{n-1} \sum_{c=0}^{n-1} [\bar{I}(r,c) - I(r,c)]^2}} \dots \dots \dots (48)$$

مثال // جد مقياس الهدف ونسبة الإشارة إلى الضوضاء بين الصورتين I الصورة الأصلية و \bar{I} الصورة المسترجعة؟

$$\begin{array}{ccc} & \begin{bmatrix} 9 & 3 & 2 \\ 4 & 5 & 8 \\ 11 & 12 & 20 \end{bmatrix} & \begin{bmatrix} 18 & 2 & 1 \\ 5 & 4 & 7 \\ 11 & 12 & 20 \end{bmatrix} \\ I & & \bar{I} \end{array}$$

$$\begin{aligned} RMSE &= \sqrt{\frac{1}{3} * 3 [(18-9) + (2-3) + (1-2) + (5-4) + \dots + (20-20)]^2} \\ &= \sqrt{\frac{1}{9} [9 - 1 - 1 + 1 - 1 - 1]^2} = \sqrt{\frac{1}{9} * [6]^2} = \sqrt{\frac{1}{9} * 36} = \sqrt{4} \end{aligned}$$

أما في حالة SNR هو أفضل وأكثر استخداماً لأنه في قانونه هو التربيع الذي سوف يتخلص من القيمة السالبة فيكبر النسبة

$$\begin{aligned} SNR &= \sqrt{\frac{[18 + 2 + 1 + 5 + 4 + 7 + 11 + 12 + 20]^2}{36}} = \sqrt{\frac{6400}{36}} \\ &= \sqrt{177.7} = 13.33 \end{aligned}$$

يوجد مقياس آخر لطريقة الهدف Beak Signal to Noise Ratio يحسب قيمة الإشارة إلى الضوضاء حسب المعادلة التالية :-

$$\text{PSNPR} = 10 \log_{10} \frac{(L-1)^2}{1/N^2 \sum_{r=0}^{n-1} \sum_{c=0}^{n-1} [\bar{I}(r,c) - I(r,c)]^2} \dots\dots\dots(49)$$

حيث أن :-

L هي قيمة معينة من الصفر إلى 255
والـ L هي القمة وتعني أعلى رقم بالضوضاء بالصورة (إذا أعطى القمة نستخدم طريقة PSNPR بالهدف) .

2- المقاييس الموضوعية الشخصية subjective fidelity criteria

أن هذه الطريقة بسيطة البرمجة وتعتمد على وسائل بسيطة لتقدير الصورة المسترجعة أي أنها تعتمد على النظام البصري لدى الإنسان (المشاهدة) هنا يمكن أن تتمثل بالملاحظتين التاليتين :-

- 1- أن الأخطاء في المناطق المعتمة تكون ملحوظة أكثر من الأخطاء بالمناطق المضاءة .
- 2- الأخطاء في حواف الصورة تكون ملحوظة أكثر من خلفية الصورة .

بعد ذلك تعرض على أشخاص ويؤخذ المعدل لتقدير هذه الاستخلاص

أسباب الملاحظتين

- 1- لأن اللون الأسود أو المعتم هو من الألوان التي يبرز فيها أي لون آخر .
- 2- في الملاحظة الثانية وذلك لوجود فقدان قيم خاصة بالحافة سوف يؤثر على ما يأتيه من الألوان المصاحبة لحافة لأن :

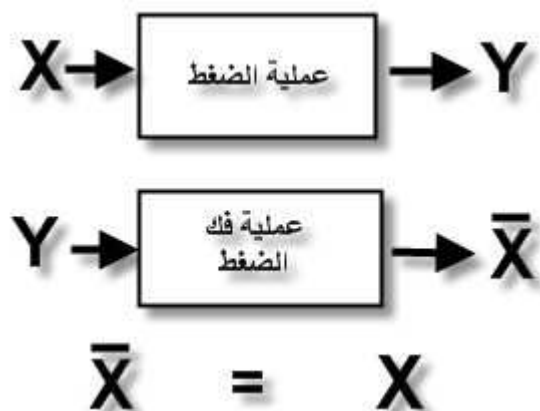
- A- بعض الأرقام هنا مجموعها مع الماسك لا يساوي واحد
- B- الفرق بين القيم سوف يكون أكبر بحيث يؤثر على فصل القيم الكبيرة الحجم عن الصورة وبالتالي تفقد الصورة ملامحها الأصلية (الصفات الأصلية لها) .

4-5 طائق الضغط للصورة الرقمية:

توجد طريقتين للضغط

1- طريق الضغط بدون فقدان قيم أي بيانات Lossless data compression

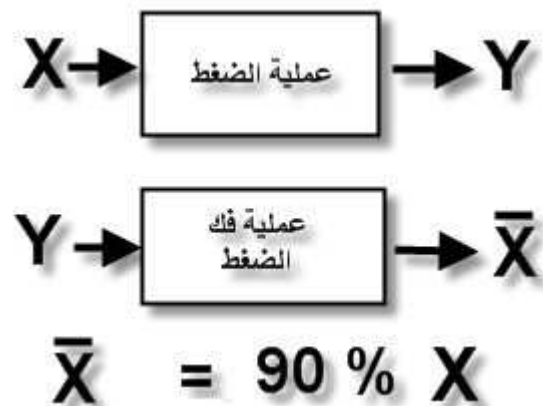
في هذا النوع لابد أن يكون الملف المضغوط بعد فكه- مطابق تماماً لملف الأصلي ، أي أنه لا يوجد فقد في المعلومات و من هنا جاءت التسمية، وهذا النوع يجب أن نستخدمه مع ملفات مثل الملفات التنفيذية EXE الملفات النصية TXT, DOC الخ.



شكل(56): طريق الضغط بدون فقدان قيم أي بيانات Lossless data compression

2- طريقة الضغط بفقدان قيم بيانات Lossy data compression

أي أن الملف المضغوط عند فك ضغطه لن نحصل منه على نسخة تكون مطابقة لملف الأصلي تماماً ولكن سنحصل مثلاً على 90% أو 80% منه بحيث يكون لدينا المعلومات المهمة عنه فقط أي أننا سنحصل على ملف مشابه لملف الأصلي ولكن جودته تكون أقل من جودة الملف الأصلي و لعلكم تعرفون الفرق في الوضوح والحجم بين ملفات الصور ذات الامتداد BMP-BMP الغير مضغوط و الملفات ذات الامتداد GIF-المضغوط ، وهذا النوع من الضغط مناسب تماماً لملفات الملتيميديا كملفات الصوت والصورة والفيديو ومثال على أنواع هذه الملفات ملفات الـ GIF و ال JPEG و في الصوت مثلاً MP3 Real Media و مثال على ملفات الفيديو Asf و Wmv. ويتم استخدام هذا الأسلوب عند الرغبة في الحصول على نسبة ضغط عالية جداً وليس هناك حاجة ضرورية لأن يكون الملف الناتج بعد عملية الضغط مطابق تماماً لملف الأصلي.



شكل(57): طريقة الضغط بفقدان قيم بيانات **Lossy data compression**

في الطريقة الأولى تبقى نوعية الصورة جيدة ولكن نسبة ضغط قليلة أما بالطريقة الثانية فهي نوعية الصورة غير جيدة ولكن الضغط فيها كبير .



شكل(58): صورة اصلية مع ثلاثة نماذج للضغط بطرق فقدان بيانات

توجد لدينا عدة طرق للنوعين :-

- بدون فقدان بيانات توجد عدة طرق لها يمكن أن نأخذ بعضها كالتالي:

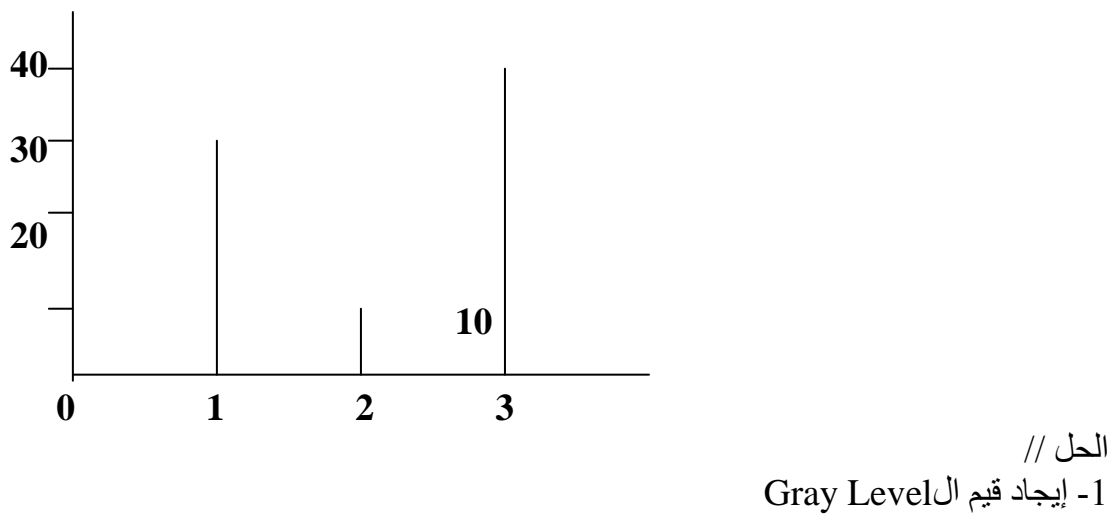
A- طريقة هوفمان HUFFMAN CODING

هي الطريقة التي طورت من قبل العالم هوفمان سنة 1952 معتمدة على إيجاد أقل قيمة لطول الشفرة لذا نستخدم هنا قانونين هما :-

- قانون Entropy
- قانون الطول Length

الخوارزمية لهذه الطريقة هي نستخدم بطورين
الطور التقدمي والطور التراجمي

مثال // لدينا جزء من الصورة التالية 2 bit / Pixel أي تساوي 4 مستويات رمادية ... المطلوب تطبيق هذه المستويات من خلال الهيستوغرام التالي إلى طريقة هوفمان علماً أن ال Row يزداد في كل مره 10



$$g_0 = 20$$

$$g_1 = 30$$

$$g_2 = 10$$

$$g_3 = 40$$

نلاحظ أن القيم المستخدمة لل gray أكبر بكثير من قيمة الواحد (أقصى احتماليه تساوي واحد)
لذا يجب تحويل القيم إلى قيم صغيرة لذا سوف نقوم بجمع الأعداد ونقسم كل عدد على مجموعهما
حيث تكون مجموع الأعداد المستخلصة هي واحد ...

$$20 + 30 + 10 + 40 = 100$$

$$g_0 = 20/100 = 0.2$$

$$g_1 = 30/100 = 0.3$$

$$g_2 = 10/100 = 0.1$$

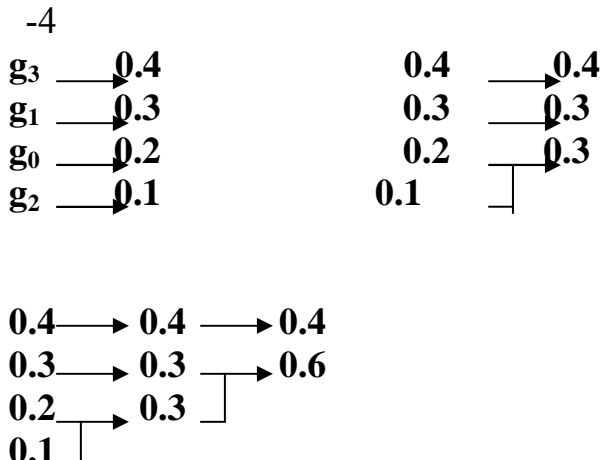
$$g_3 = 40/100 = 0.4$$

$$0.2 + 0.3 + 0.1 + 0.4 = 1$$

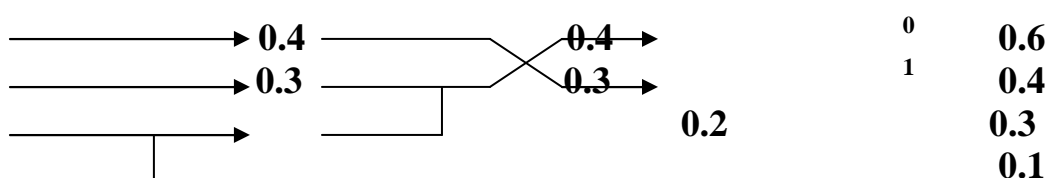
2- نرتب الأعداد التي حصلنا عليها تنازليا وكتالي :-

$$\begin{array}{l} g_3 \rightarrow 0.4 \\ g_1 \rightarrow 0.3 \\ g_0 \rightarrow 0.2 \\ g_2 \rightarrow 0.1 \end{array}$$

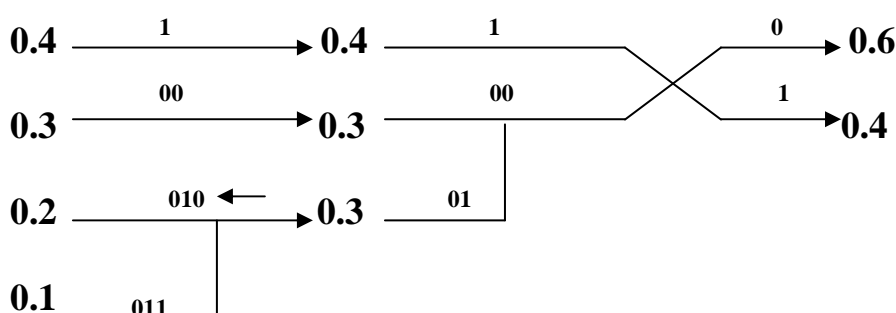
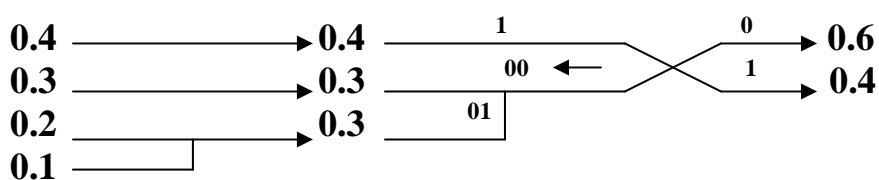
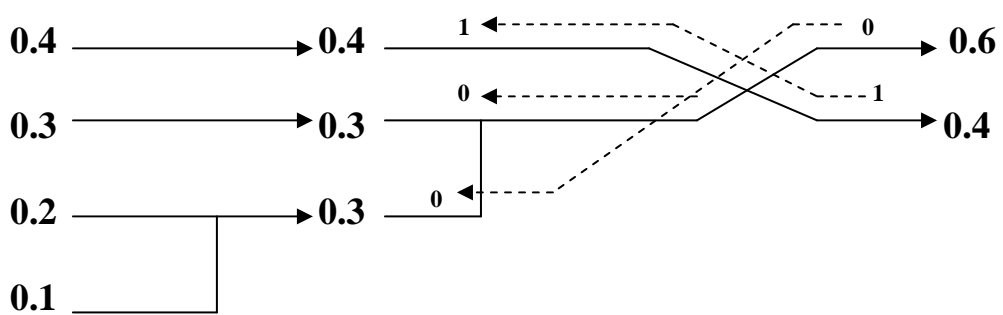
3- نأخذ أقل قيمتين وهما 0.1 و 0.2 ونجمعهم فتصبح 0.3 ونرتب النتيجة تنازليا أيضا وبعدها نأخذ أقل قيمتين ونجمعهما وهكذا إلى أن تبقى لدينا قيمتين فقط وكتالي :-



بعد أن أكملنا الطور التقدمي نأتي الآن إلى الطور التراجمي (نستخدم الشفرة)
الأولى 0.6 تأخذ الشفرة 0
والثانية 0.4 تأخذ الشفرة 1



أما تفرعاتها أو أولادها فتأخذ الأولى 0 والثانية تأخذ 1 بالإضافة إلى قيمتها وهكذا .



فتحول الأرقام إلى Code

Original gray level (natural code)	Probability	Huffman code
$g_0 : 00_2$	0.2	010_2
$g_1 : 01_2$	0.3	00_2
$g_2 : 10_2$	0.2	011_2
$g_3 : 11_2$	0.4	1_2

قانون Entropy -1

$$\text{Entropy} = - \sum_{i=0}^3 P_i \log_2 (P_i) \dots \dots \dots (50)$$

$$\begin{aligned} \text{Entropy} &= - \sum_{i=0}^3 P_i \log_2 (P_i) \\ &= - [(0.2) \log_2 (0.2) + (0.3) \log_2 (0.3) + (0.1) \log_2 (0.1) + (0.4) \log_2 (0.4)] \approx 1.846 \text{ bits /pixel} \end{aligned}$$

2- قانون الطول Length

$$\text{Length} = \sum_{i=0}^{L-1} L_i P \dots \dots \dots \quad (51)$$

$$= 3(0.2) + 2(0.3) + 3(0.1) + 1(0.4) = 1.9 \text{ bits / pixel}$$

// ملاحظة

يوجد قانون خاص بإيجاد $\log_2(x)$

$$\log_2(x) = \log_{10}(x) * 3.322 \dots \dots \dots \quad (52)$$

طريقه Huffman التي ابتكرها العالم David Huffman تعتمد على إعطاء الحرف-أو الكلمة (رمز) - كود خاص به بحيث لا يكون هناك تكرار في المعلومات اللازمه للتفرقة بين الحروف وبعضها البعض - كود ال - ASCII بحيث يأخذ الحرف -أو الرمز- الأكثر تكرارا في الملف المراد ضغطه أقل كود ممكن مثل بت واحد أو 2 بت والحرروف الأقل تكرارا تأخذ كود أطول.

أي أن طول الكود الخاص بكل رمز هو طول متغير Variable و ليس طول ثابت Fixed بت كما كان الوضع في نظام ال ASCII ولكن يجب أن يظل من الممكن التفرقة بين كود كل حرف عند الحاجة لقراءة الملف المضغوط أو عند عملية فك الضغط ، ويتم استخدام شجرة ثنائية Binary Tree من أجل توليد هذه الأكواد للحروف -أو الرموز

خوارزمية بطريقة Huffman

يمكن تلخيص خطوات كما يلي :

1- إيجاد عدد مرات تكرار كل حرف في الملف النصي.

2- يتم تكوين قائمة من العناصر كل عنصر يحتوي على الرمز و عدد مرات تكراره وهذه العناصر ستكون الأوراق - Leafs - للشجرة الثنائية.

3- اختر العنصرين من القائمة الذين لديهم أقل عدد مرات تكرار و اجمع أرقام التكرار لكل منهم لتحصل على عنصر جديد يحتوي على المجموع ويكون الابن - child -الأيمن لهذا العنصر الجديد هو العنصر الأقل تكرارا في القائمة و الابن الأيسر له هو العنصر الأقل الذي يليله ، ثم احذف العنصرين اللذان تم اختيارهما من القائمة وأضف العنصر الجديد في القائمة بترتيبه.

4- يتم تكرار الخطوة رقم 3 لحين الحصول على عنصر واحد في القائمة هذا العنصر سيكون ال root للشجرة الثنائية التي سيتم توليد الأكواد بواسطتها.

5-نقوم بزيارة كل leaf العنصر الذي ليس له أبناء في الشجرة) بداية من ال root حيث إذا انعطفنا يمينا يتم إضافة (0) للكود و إذا انعطفنا يسارا نضيف (1) للكود الخاص بالحرف الموجود في ال leaf التي سنزورها والكود الضي سينتاج من الأصفار والوحيدات التي كونتها عبر المسار من ال root إلى ال Leaf سيكون هو كود الحرف الموجود في ال leaf التي تم زيارتها.

- العملية العكسية (فك الضغط):

الحرف و عدد مرات تكراره- وهذه المعلومات يتم قراءتها عند بداية قراءة الملف المضغوط ثم يتم تكوين الشجرة الثنائية مرة أخرى داخل الذاكرة كما سبق تماما .

ثم نبدأ بقراءة الملف المضغوط بالبت Bit by Bit عند root الشجرة الثنائية، فإذا ما كانت البت المقروعة "1" ننتقل لليسار أو "0" فننتقل لليمين داخل الشجرة، ثم نختبر ما إذا كان العنصر الذي نقف عليه الآن داخل الشجرة

- فإذا كان Leaf نقرأ الحرف الموجود بداخله مثلا S و نكتبه في الملف الخرج (فك الضغط) ، ثم نعود مرة أخرى إلى ال root و نتابع القراءة من الملف المضغوط .

- أما إذا لم يكن Leaf نتابع قراءة البت التالية من الملف المضغوط وننتقل داخل الشجرة مرة أخرى على حسب قيمة البت المقروعة ثم نختبر ما إذا كانت Leaf أم لا

وهكذا حتى ننتهي من قراءة كل ال Bits الموجودة داخل الملف المضغوط .

مثلاً //استخدم طريقة Huffman Encoding لسلسلة التالية :

AAAABCDEEFFGGGH

// الحل

* نجد تكرارات كل عنصر

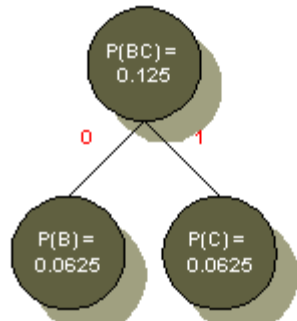
A : 4, B : 1, C : 1, D : 1, E : 3, F : 2, G : 3, H :1

Based on the frequency count the encoder can generate a statistical model reflecting the probability that each value will appear in the data stream :

*نحو القيم كالتالي:

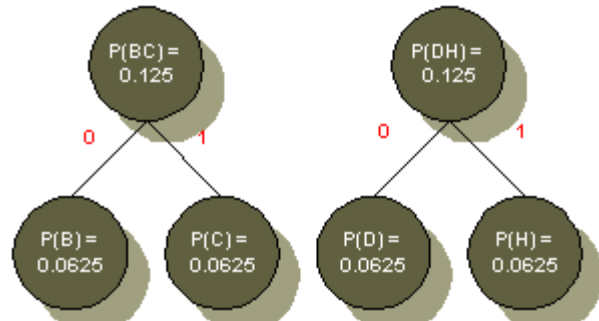
A : 0.25, B : 0.0625, C : 0.0625, D : 0.0625, E : 0.1875, F : 0.125, G : 0.1875, H : 0.0625

Step 1:



Remaining Values : P(A)=0.25,
 $P(D)=0.0625$, $P(E)=0.1875$,
 $P(F)=0.125$, $P(G)=0.1875$,
 $P(H)=0.0625$, $P(BC)=0.125$.

Step 2:

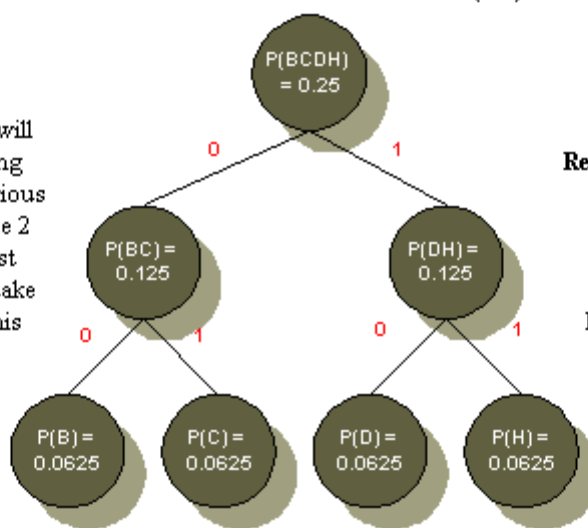


From the remaining values of Step 1 we choose another 2 values with the smallest probability and grouped them together to form a new value DH in this case.

Remaining Values : P(A)=0.25, P(E)=0.1875,
 $P(F)=0.125$, $P(G)=0.1875$, $P(BC)=0.125$,
 $P(DH)=0.125$.

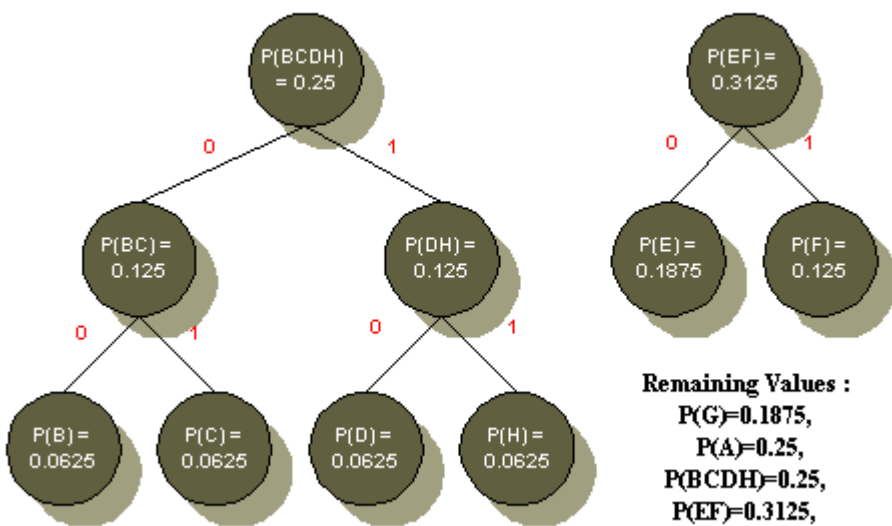
Step 3:

As in step 2, we will take the remaining values in the previous step and choose 2 with the smallest probability. We take BC and DH in this case.

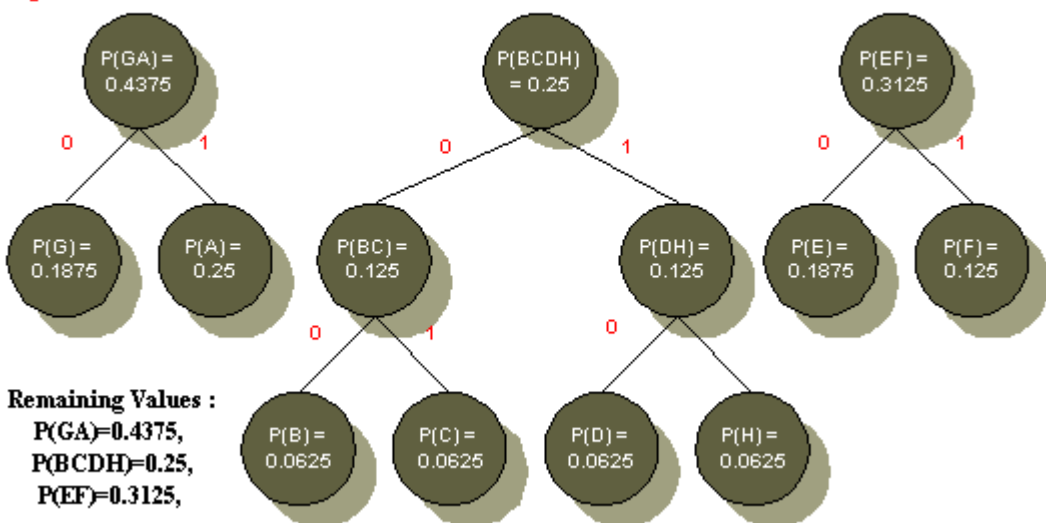


Remaining Values :
 $P(A)=0.25$,
 $P(E)=0.1875$,
 $P(F)=0.125$,
 $P(G)=0.1875$,
 $P(BCDH)=0.25$.

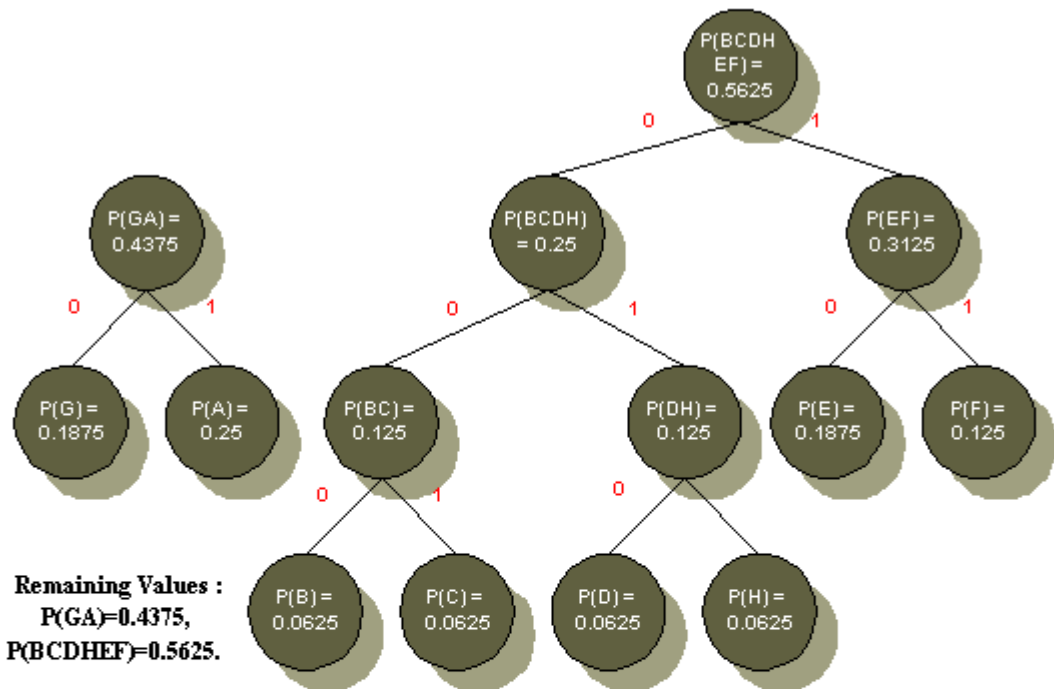
Step 4:



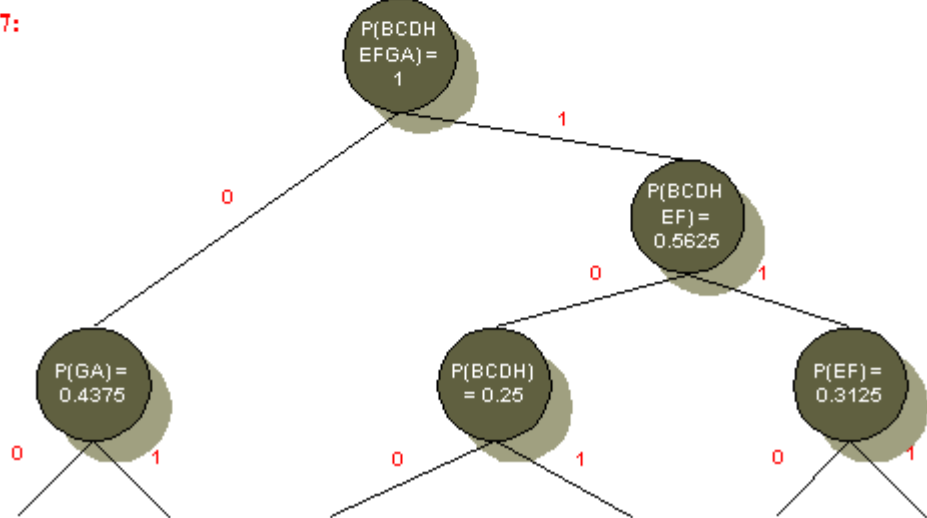
Step 5:



Step 6:

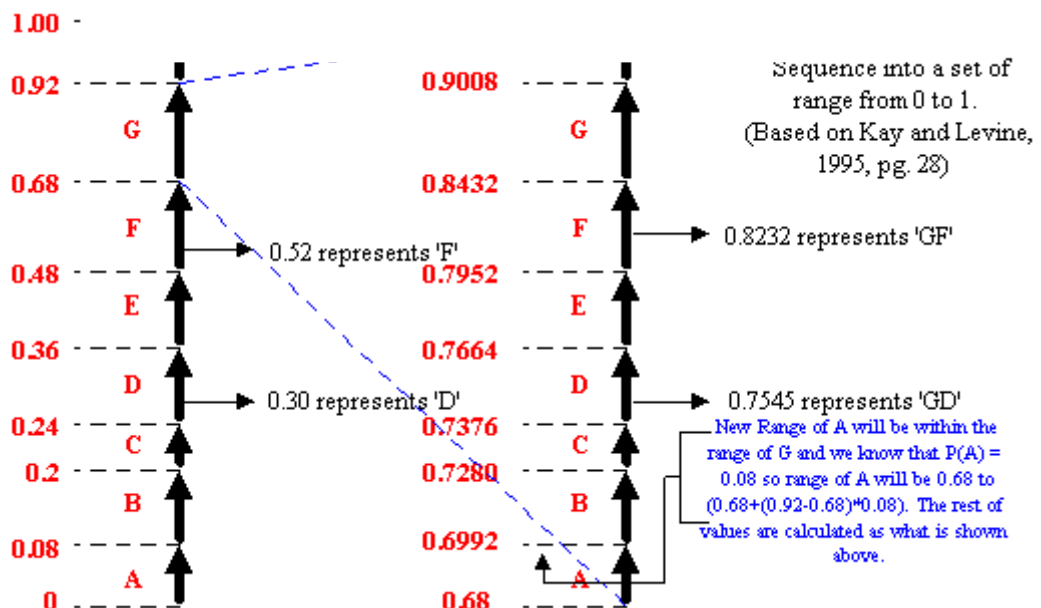
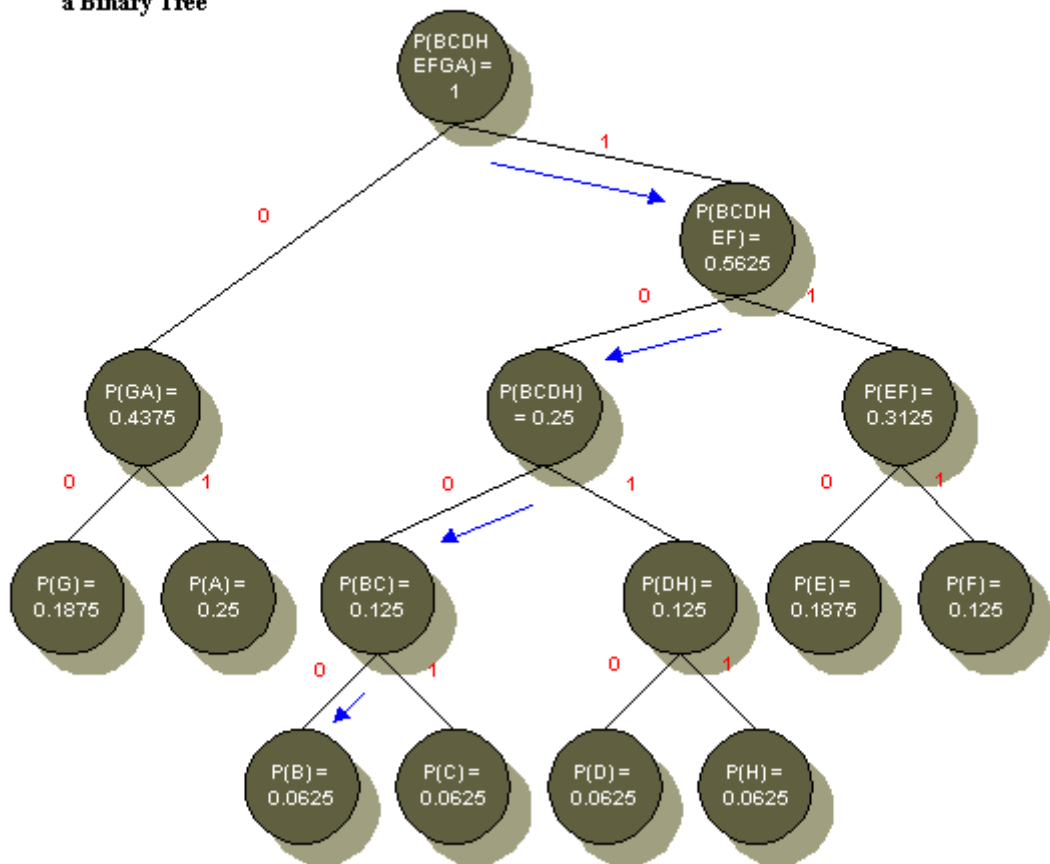


Step 7:



Finally ...

a Binary Tree



. عیوبها و Static Huffman

أنه لابد من أن يكون لدى كل من الطرفين (الطرف الذي يقوم بضغط الملف و الطرف الذي يقوم بفك الضغط) معلومات عن ال Huffman Tree و هذه تعتبر overhead على حجم الملف المضغوط .

العيوب الثاني يتمثل في أنه لابد من قراءة الملف المراد ضغطه مرتين ، مرة لإيجاد تكرار كل حرف داخل النص و المرة الثانية عند إنشاء الملف المضغوط بعد توليد الأكواد للحروف ، وفي حالة الملفات الكبيرة الحجم هذا يعد مشكلة لأن العملية ستسغرق وقت طويل .

و في تطبيق آخر لطريقة Huffman مثل إرسال البيانات عبر الشبكات، نجد أن الطرف المستقبل لابد أن ينظر حتى ينتهي المرسل من عمله كاملا ثم يرسل له معلومات الشجرة الثنائية و البيانات المضغوطة ، وهذا يعد إهدار لوقت و المصادر - Resources - لأن أحد الطرفين يظل بلا عمل () حتى ينتهي الآخر من عمله .

ب- تشفير بطريقة Run Length coding (RLC)

تعتمد على حساب عدد العناصر المجاورة التي لها نفس القيمة اللونية ويسمى هذا العدد ب Run Length.

توجد العديد من الطرق لهذه الطريقة اهمها استخدامها مع الصور الثنائية التي طورت فيما بعد لاستخدامها مع الصور ذات التدرجات الرمادية والصور الملونة.

مثلا // لديك جزء الصورة التالي المطلوب استخدام Run Length coding (RLC) لضغطها؟

0	0	0	0
0	1	1	0
1	1	1	0
0	0	1	1

//
R1=4
R2=1,2,1
R3=0,3,1
R4=2,2

حيث أن العدد الاول يمثل عدد الاطفار بالصف و العدد الثاني يمثل الوحدات

//
36 0 0 0 12
فإنها تكتب:

– 12 و يعني الرقم الأول أنه يجب أن تنتهي 3 بتأت (أي لا يتم حفظها) وأن الرقم القادم يكون 12-3

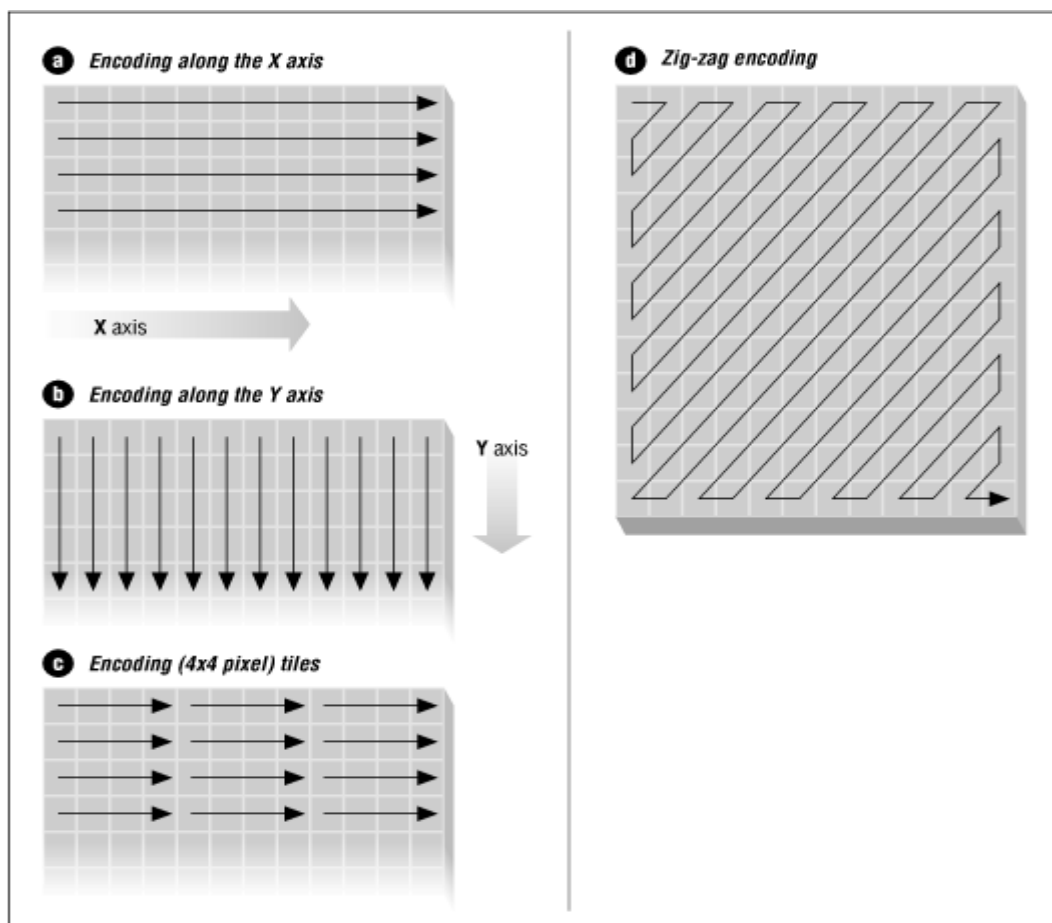
مثال//إذا كان لدينا السلسلة التالية

AAAAAAAAAAAAAAA

The same string after RLE encoding would require only two bytes:

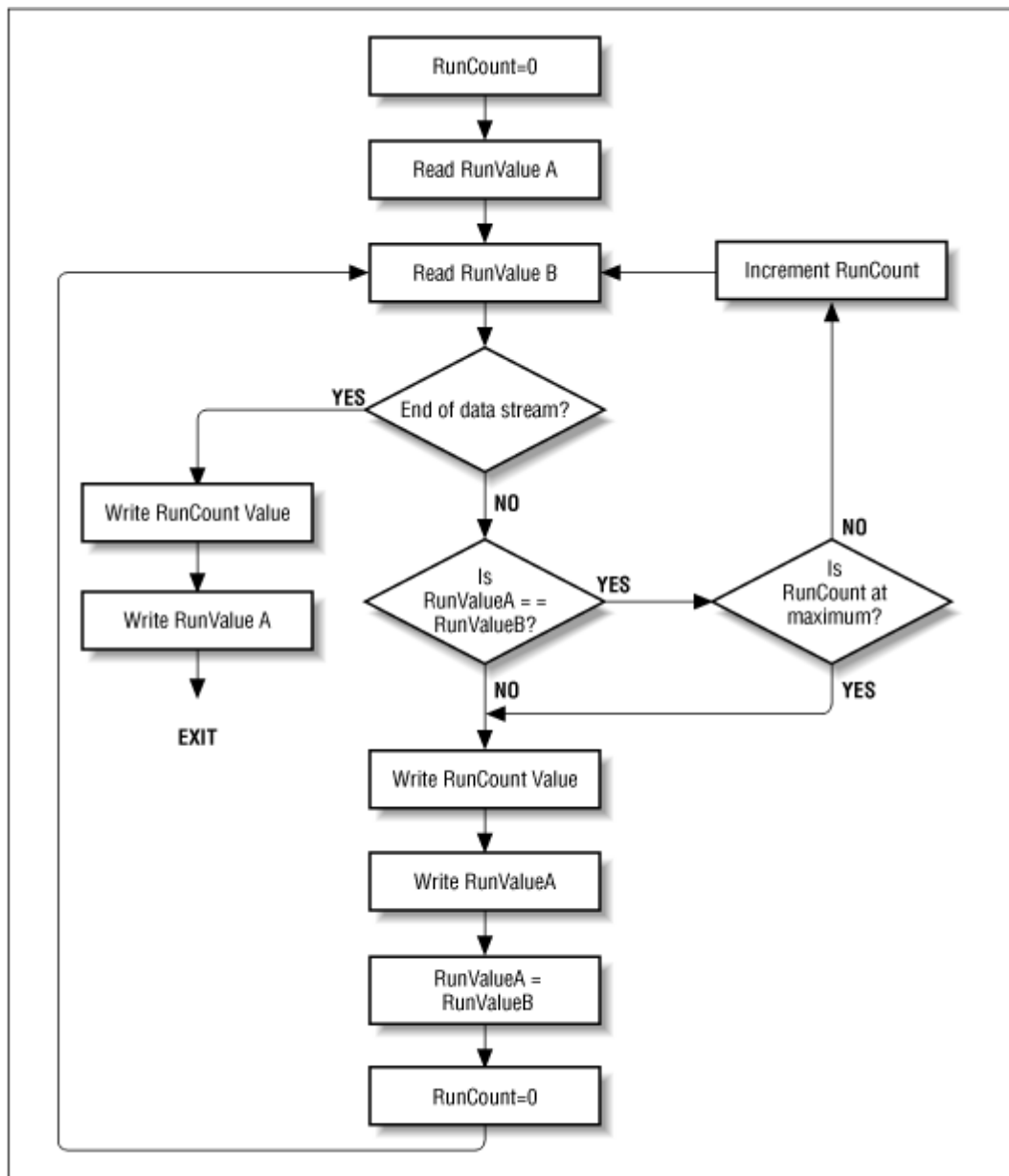
15A

نلاحظ أن اطوال التكرارات لكل رمز غير ثابتة(متغيرة) يوضحها الشكل التالي:



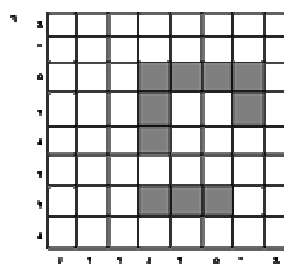
شكل (59) : اطوال طريقة تشفير طول التنفيذ

والمحاط الانسيابي يوضح الخطوات:



شكل(60) (مخطط انسیابی Basic run-length encoding

مثال//استخدم للشكل أدناه Run length coding



شكل(61) (صورة بطريقة Run length coding

// الحل

{ (2,4,6) , (4,4,4), (5,4,4,7,7) , (6,4,7) }

{ (8) , (3,3,2) , (8), (3,1,4) , (3,1,2,1,1), (3,4,1) , (8) }

// ملاحظة

قانون Run Length coding (RLC) المستخدم في الصورة الرمادية يتمثل بتعريف الزوج (G,L) حيث أن

G: القيمة اللونية
L(run): عدد تكرارات القيمة اللونية

مثال // اذا كانت لدينا صورة ابعادها 8*8 حيث اربعة لكل بكسل احسب Run coding (RLC) لها: Length

10	10	10	10	10	10	10	10
10	10	10	10	10	14	14	14
10	10	10	10	10	10	6	6
0	0	0	10	10	10	0	0
5	5	0	0	0	0	0	0
5	5	5	10	10	9	9	10
5	5	5	4	4	4	0	0
0	0	0	0	0	0	0	0

// الحل

R1=10,8

R2=10,5,14,3

R3=10,6,6,2

R4=0,3,10,3,0,2

R5=5,2,0,6

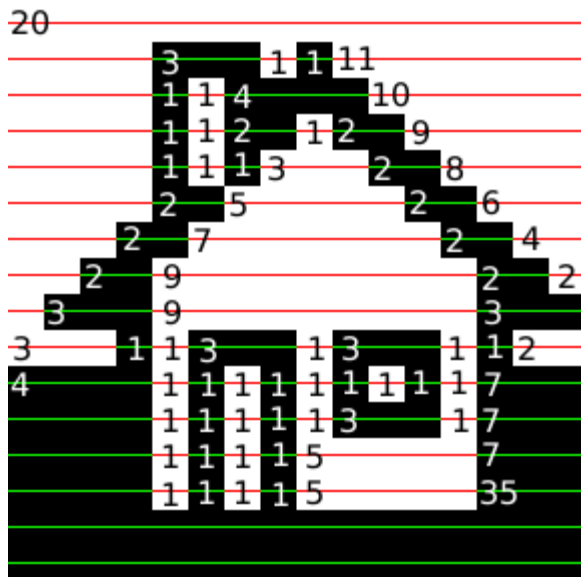
R6=5,3,10,2,92,10,1

R7=5,3,4,3,0,2

R8=0,8

= قانون (RLC Run Length coding)
{0,8,10,810,5,14,310,6,6,20,3,10,3,0,25,2,0,65,3,10,2,92,10,15,3,4,3,0,2}

مثال // اوجد Run-length encoding للصورة التالية؟



شكل(62): تحديد صورة بيت Run-length encoding

70,
 5, 25,
 5, 27,
 4, 26,
 4, 25,
 6, 24,
 6, 23,
 3, 2, 3, 22,
 3, 2, 3, 21,
 3, 5, 2, 20,
 3, 5, 2, 19,
 3, 7, 2, 18,
 3, 7, 2, 17,
 14, 16,
 14, 15,
 3, 11, 2, 14,
 3, 11, 2, 13,
 3, 13, 2, 12,
 3, 13, 2, 11,
 3, 15, 2, 10,
 3, 15, 2, 8,
 6, 12, 6, 6,
 6, 12, 6, 64

تم تحديد المربعات البيضاء والسوداء الموجة في صورة البيت اعلاه وقد تم تقليل عدد القيم إلى 72 باختيار أقصى طول 15 وضع القيمة صفر اذا تجاوز الحد حسب القيم التالية:

70,	15, 0, 15, 0, 15, 0,
10,	
5, 25,	5, 15, 0, 10,
5, 27,	6, 15, 0, 12,
4, 26,	4, 15, 0, 11,
4, 25,	4, 15, 0, 10,
6, 24,	6, 15, 0, 9,
6, 23,	6, 15, 0, 8,
3, 2, 3, 22,	3, 2, 3, 15, 0, 7,
3, 2, 3, 21,	3, 2, 3, 15, 0, 6,
3, 5, 2, 20,	3, 5, 2, 15, 0, 5,
3, 5, 2, 19,	3, 5, 2, 15, 0, 4,
3, 7, 2, 18,	3, 7, 2, 15, 0, 3,
3, 7, 2, 17,	3, 7, 2, 15, 0, 2
14, 16,	14, 15, 0, 1
14, 15,	14, 15,
3, 11, 2, 14,	3, 11, 2, 14,
3, 11, 2, 13,	3, 11, 2, 13,
3, 13, 2, 12,	3, 13, 2, 12,
3, 13, 2, 11,	3, 13, 2, 11,
3, 15, 2, 10,	3, 15, 2, 10,

3 , 15 , 2 , 8 ,	3 , 15 , 2 , 8 ,
6 , 12 , 6 , 6 ,	6 , 12 , 6 , 6 ,
6 , 12 , 6 , 64 15 , 0 , 15 , 0 , 4	6 , 12 , 6 , 15 , 0 , 15 , 0 ,

يوجد 113 nibbles وحدة (تتمثل 4—0) حيث نحتاج إلى 57 بايت لخزن كل القيم التي تكون أقل أو تساوي 93 بايت ونحتاج إلى 750 اذا استخدمنا بايت لكل بكس.

ج-طريقة Bit-Plane RLC

تعتبر طريقة موسعة لطريقة RLC للصور المستوى الرمادي لكل سطح خاص بالبت الواحد مستخدمين الشفرة الطبيعية والشفرة الرمادية محددين بقيمتى الصفر والواحد . أن نسبة الضغط بهذه الطريقة يتمثل من 0.5 إلى 1.2 مستخدمين 8 بت للصور الاحادية اللون يمكن توضيح الطريقة بالمثال ادناه

مثال//الشكل ادناه يبين شفرة الطبيعية والشفرة الرمادية لاربعة بتات مستخدما القيم الثنائية

Natural code	gray code
0 1 1 1 ↓ ↓ ↓ ↓ 1 0 0 0	0 1 0 0 ↓ ↓ ↓ ↓ 1 1 0 0

شكل(63): شفرة الطبيعية والشفرة الرمادية

طريقة ايجاد الشفرة الرمادية:

- 1-نأخذ الرقم الاول من النظام الثنوي المراد تحويلة اذا كان (1) ننزل (1)
- 2- اذا كان الرقم (0) ننزل (0)
- 3- نقارن الرقم الي بعده وللكل اذا كان الرقمان متشابهان نضع (0) والا ننزل (1)

مثال//حول 00110011 إلى شفرة الرمادية

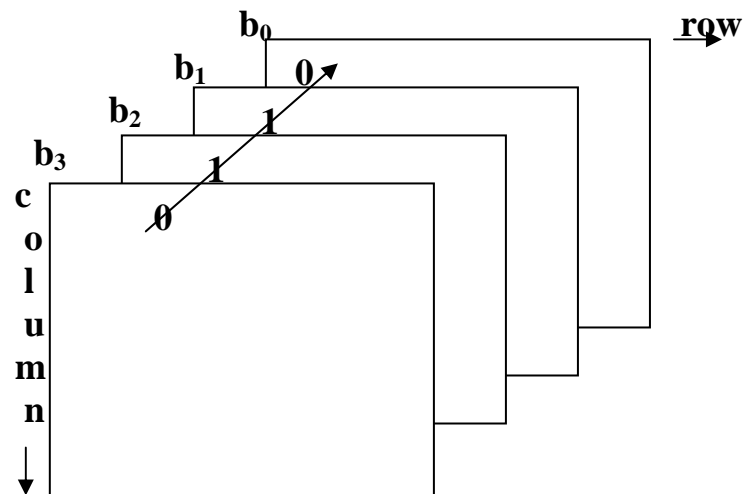
//

00101010

مثال//حول 11001001101 إلى الشفرة الرمادية

a:bits/pixel designation

b_3	b_2	b_1	b_0
0	0	0	0
0	0	0	1
0	0	1	0
0	1	1	0
1	1	1	1



شكل(64): طريقة(64) Bit – plane Run – length

ملاحظة/يمكن أن نفترض أن قيمة طريقة أخرى وهي باخذ كل قيمة مفردة للطول ومعاملين رمزين للتمثيل هما(G,L) حيث G تمثل المستوى الرمادي ، L تمثل الطول تكون هذه الطريقة فعالة اذا كانت عدد المستويات الرمادية قليل.

Decimal	4 – bit natural code	4 – bit gray code
0	0000	0000
1	0001	0001
2	0010	0010
3	0011	0010
4	0100	0110
5	0101	0111
6	0110	0101
7	0111	0100
8	1000	1100
9	1001	1101
10	1010	1111
11	1011	1110
12	1100	1010
13	1101	1011
14	1110	1001
15	1111	1000

7 : 0 1 1 1
 ↓ ↓ ↓ ↓
 8 : 1 0 0 0

b. the natural code transition of 7 to 8 changes all four bits

شكل(65): الشفرة الطبيعية مقابل الشفرة الاعتيادية

7 : 0 1 1 1
 ↓ ↓ ↓ ↓

شكل(66): الشفرة الطبيعية المستخدمة للتحويل

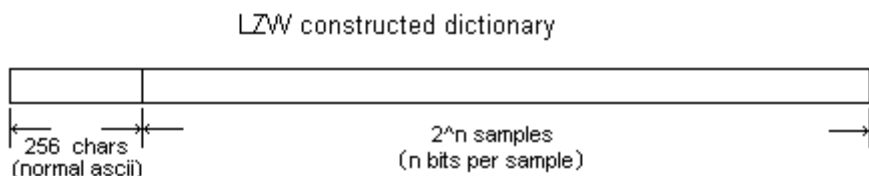
د- طريقة Lempel-Ziv-Welch (lzw)

و تم تطوير هذا النوع من تقنية الضغط في السبعينات على يد ثلاثة أساتذة و هم: Jacob Ziv و Abraham Lempel و Terry Welch . تم تعديلة و تجديده على يد الأستاذ Welch .
تقديرا لهم ، سميت التقنية بأسمائهم
 $LZW = Lempel-Ziv-Welch$

مقدار الضغط يعتمد على درجة تغيير اللون في كل سطر من البكسلات، عملية الضغط تقوم على الآلية التالية:
إذا كان هناك بكسلين أو أكثر في السطر الواحد يحملان نفس اللون، فإن هذه البكسلات تسجل كوحدة منفردة.
من هنا نستنتج أن الصورة الحاوية على شرائح لونية أفقيّة سوف تكون مضغوطة أكثر بكثير من الصورة الحاوية على شرائح عمودية، لأن كل خط أفقي سيتم تخزينه كوحدة واحدة.

الصور التي تحتوي على مناطق كبيرة ذات لون متجانس مثل السماء، الثلج، الغيوم وغيرها تكون مضغوطة أكثر من الصور الحاوية على الكثير من التدرجات اللونية. عند حفظ الصورة ذات العمق اللوني 24 بت على هيئة GIF ينبغي أولاً تخفيض عمق اللون إلى مستوى 8 بت.

معظم التطبيقات تسمح بذلك وبسهولة ، عند العمل مع صور التدرجات الرمادية (الأبيض والأسود) فإن هيئة GIF تصلح للعمل بصورة جيدة، ذلك أن معظم التطبيقات تستخدم عمق لوني 8 بت (256 تدرج رمادي) مع صور الأبيض والأسود.



شكل(67): الهيكل طريقة lzw (Lempel-Ziv-Welch)

خوارزمية LZW

Compression

The LZW Compression Algorithm can be summarized as follows:

```
w = NIL;  
while ( read a character k )  
{  
    if wk exists in the dictionary  
        w = wk;  
    else  
    {  
        add wk to the dictionary;  
        output the code for w;  
        w = k;  
    }  
}
```

تمتلك الخوارزمية قاموس متكون من 4094 من المدخلات اول 256 منها تمثل شفرات الاصكي .

ASCII

مثال//ادخال الخيط الرمزي."WED^WE^WEE^WEB^WET".

w	k	output	index	symbol
<hr/>				
NIL	^			
^	W	^	256	^W
W	E	W	257	WE
E	D	E	258	ED
D	^	D	259	D^
^	W			
^W	E	256	260	^WE
E	^	E	261	E^
^	W			
^W	E			
^WE	E	260	262	^WEE

E	^			
E^	W	261	263	E^W
W	E			
WE	B	257	264	WEB
B	^	B	265	B^
^	W			
^W	E			
^WE	T	260	266	^WET
T	EOF	T		

خوارزمية فك التشفير:

Decompression

The LZW Decompression Algorithm is as follows:

```

read a character k;
output k;
w = k;
while ( read a character k )
// k could be a character or a code.
{
    entry = dictionary entry for k;
    output entry;
    add w + entry[0] to dictionary;
    w = entry;
}

```

Decompression Example

Input string is
"^WED<256>E<260><261><257>B<260>T".

w	k	output	index	symbol
<hr/>				
---		^	^	
^	W	W	256	^W
W	E	E	257	WE
E	D	D	258	ED
D	<256>	^W	259	D^
<256>	E	E	260	^WE
E	<260>	^WE	261	E^
<260>	<261>	E^	262	^WEE

<261>	<257>	WE	263	E^W
<257>	B	B	264	WEB
B	<260>	^WE	265	B^
<260>	T	T	266	^WET

مثلاً //استعمل طريقة LZW لضغط النص التالي
itty bitty bit bin

الحل //

نقوم بایجاد القيم التي تمثل كل حرف بنظام الاسكي

32	space
98	b
105	i
110	n
116	t
121	y

: LZW Example 1 Dictionary

نقوم بتطبيق الطريقة على القيم المستحصلة

Input	Encoding		Transmission		Decoding	
		New dictionary entry		9-bit characters transmitted	New dictionary entry	Output
105 i	- -		256	(start)	- -	-
116 t	258 it		105	i	- -	i
116 t	259 tt		116	t	258 it	t
121 y	260 ty		116	t	259 tt	t
32 space	261 y-space		121	y	260 ty	y
98 b	262 space-b		32	space	261 y-space	space
105 i	263 bi		98	b	262 space-b	b
116 t	- -		-	-	- -	-
116 t	264 itt		258	it	263 bi	it
121 y	- -		-	-	- -	-
32 space	265 ty-space		260	ty	264 itt	ty
98 b	-		-	-	- -	-
105 i	266 space-bi		262	space-b	265 ty-space	space-b
116 t	- -		-	-	- -	-
32 space	267 it-space		258	it	266 space-bi	it
98 b	- -		-	-	- -	-
105 i	- -		-	-	- -	-
110 n	268 space-bin		266	space-bi	267 it-space	space-bi
- -	- -		110	n	268 space-bin	n
- -	- -		257	(stop)	- -	-

مثال//طبق طريقة lzw للنص التالي
itty bitty nitty grrritty bit bin

الحل//نقوم بایجاد القيم التي تمثل كل حرف بنظام الاسكى

32	space	110	n
98	b	114	r
103	g	116	t
105	i	121	y
256	clear dictionary	257	end of transmission

Encoding		Transmission		Decoding	
Input	New dictionary entry			New dictionary entry	Output
105 i	- -	256 (start)	- -	- -	-
116 t	258 it	105 i	- -	- -	i
116 t	259 tt	116 t	258 it	- -	t
121 y	260 ty	116 t	259 tt	- -	t
32 space	261 y-space	121 y	260 ty	- -	y
98 b	262 space-b	32 space	261 y-space	262 space-b	space
105 i	263 bi	98 b	262 space-b	- -	b
116 t	- -	- -	- -	- -	-
116 t	264 itt	258	263 bi	- -	itt
121 y	- -	- -	- -	- -	-
32 space	265 ty-space	260 ty	264 itt	- -	ty
110 n	266 space-n	32 space	265 ty-space	266 space-n	space
105 i	267 ni	110 n	266 space-n	- -	n
116 t	- -	- -	- -	- -	-
116 t	- -	- -	- -	- -	-
121 y	268 itty	264 itt	267 ni	- -	itty
32 space	- -	- -	- -	- -	-
103 g	269 y-space-g	261 y-space	268 itty	270 gr	y-space
114 r	270 gr	103 g	269 y-space-g	271 rr	g
114 r	271 rr	114 r	270 gr	272 rri	r
114 r	- -	- -	- -	- -	-
105 i	272 rri	271 rr	271 rr	272 rri	rr
116 t	- -	- -	- -	- -	-
116 t	- -	- -	- -	- -	-
121 y	- -	- -	- -	- -	-
32 space	273 itty-space	268 itty	272 rri	273 itty-space	itty
98 b	- -	- -	- -	- -	-
105 i	274 space-bi	262 space-b	273 itty-space	274 space-bi	space-b
116 t	- -	- -	- -	- -	-
32 space	275 it-space	258 it	274 space-bi	275 it-space	it
98 b	- -	- -	- -	- -	-
105 i	- -	- -	- -	- -	-
110 n	276 space-bin	274 space-bi	275 it-space	276 space-bin	space-bin
- -	- -	110 n	276 space-bin	- -	n
- -	- -	257 (stop)	- -	- -	-

2- طرق الضغط الحاوية على فقدان البيانات : Lossy Compression Methods :

للحصول على نسبة ضغط عالية يتم استخدام هذا النوع من طرق الضغط والتي تتطلب موازنة بين نوعية الصورة الناتجة ونسبة الضغط وتستخدم هذه الطرق عادة مع الصورة المعقدة Complex Image تتفذ طرق الضغط الحاوية على فقدان البيانات في المجالين الحيزي Spatial Transformation ومجال التحويل Transformation ومن هذه الطرق :-

1- طريقة قطع блокات Block Truncation Coding

وهي من الطرق التي تعمل في المجال الحيزي حيث يتم تقسيم الصورة إلى مجموعة من الصور الجزئية الصغيرة تسمى Sub images وأحياناً تسمى بالبلوك . وتعتمد هذه الطريقة على تقليل المستويات اللونية في كل صورة جزئية أو Block .
قطع الصورة إلى 4×4 بلوكات كل بلوك يحتوي 4 بait (2 بait لخزن مستويين و 2 بait لخزن خيط رمزي للبت من الصفر والواحد) كالتالي:

a. Divide image into 4×4 blocks

1	1	0	1
0	0	0	0
1	1	1	1
.	1	0	1

b. Find high and low values for blocks

High gray value

Low gray value

c. Assign a 0 to each pixel less than the mean , 1 to each pixel greater than the mean

Row 1 | Row 2

Row 3 | Row 4

d. Assign a 0 to each pixel less than the mean , 1 to each pixel greater than the mean

شكل(68): طريقة قطع блокات Block Truncation Coding

2- ترميز التحويل : Transformation coding

تعمل هذه الطريقة في مجال التحويل حيث يتم إسقاط عناصر الصورة الأصلية إلى مجال رياضي آخر يسمى Transformation. أن الهدف الأساسي من التحويلات هو لتقليل الارتباط بين عناصر الصورة وتجميع المعلومات في عدد قليل من معاملات التحويل يشبه ترميز التحويل طريقة ترميز Block، إلا أنها تعمل في مجال التحويل حيث يتم تقسيم الصورة إلى بلوكتات ثم يتم حساب التحويل المستخدم لكل Block ومن هذه التحويلات Discrete Cosines Transformation (DCT)، Discrete Fourier Transformation (DFT) ، Transformation (DCT)



شكل(69): صورة ضغطت DCT حيث النسبة 5.1
حجم البلوك=64

نظريه التحويل

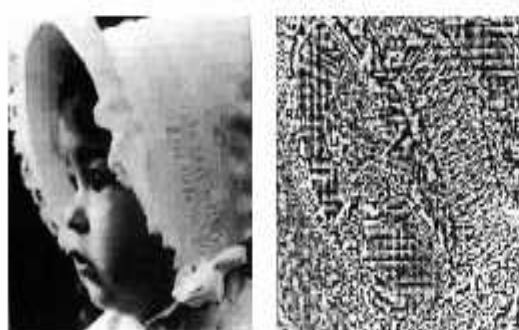
يقوم التحويل بإسقاط بيانات الصورة إلى مجال رياضي آخر عن طريق معادلة التحويل حيث يتم تحويل بيانات الصورة من المجال الحيزى إلى المجال الترددى أو مجال التحويل .
الشكل العام لمعادلة التحويل على افتراض أن حجم الصورة هو $n \times n$ يكون كالتالي :-

$$T(u, v) = \sum_{r=0}^{n-1} \sum_{c=0}^{n-1} I(r, c) B(r, c, u, v) \dots \dots \dots (53)$$

حيث v, u هي متغيرات مجال التحويل
 $I(r, c)$ هي بيانات الصورة
 $B(r, c, u, v)$ هي دالة التحويل

للحصول على بيانات الصورة من بيانات التحويل نطبق معادلة التحويل العكسي :-

$$I(r,c) = T^{-1}[T(u,v)] = \sum_{u=0}^{n-1} \sum_{v=0}^{n-1} T(u,v) B^{-1}(r,c,u,v) \dots (54)$$



Example:

DCT compression with ratio 5.6

Left: Reconstructed image

Right: Difference image (right)
with maximal difference of
125 greylevels

شكل(70) : صورة ضغطت DCT
حجم البلوك = 64

من الطرق الضغط بفقدان بيانات هي:

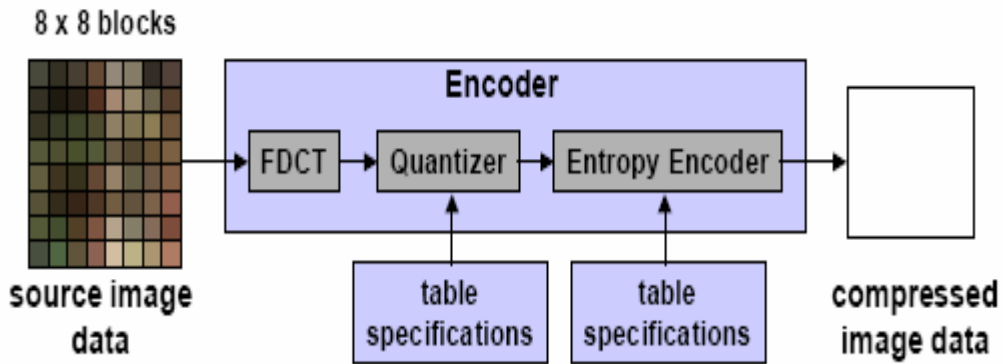
طريقة JPEG :

JPEG اختصار لكلمة Joint Photographic Expert Group، وهي الجهة القائمة على تطوير هذه الخوارزمية.

يعتبر JPEG في المعلوماتية طريقة معيارية شائعة لضغط الصور الرقمية مع خسارة في القيمة المعلوماتية للصورة. أشهر الإمتدادات المستخدمة لها هي .jpg و .jpeg و .jfif و .JPG لكن .jpg يبقى أكثرها استخداما.

تعتبر - JPEG/JFIF - الأكثر استخداما لحفظ ونقل الصور الشمسيّة على شبكة الويب، إذ أنها مفضلة على إمتدادات أخرى مثل GIF، الذي لا يسمح إلا بـ 256 لون مختلف، وهذا غير كاف للصور الشمسيّة، و PNG الذي ينتج ملفات كبيرة مقارنة ب JPEG/JFIF.

تقوم بضغط العالي الذي يضغط البيانات بنسبة 20 مرة تقريبا فمثلا إذا كانت تحتاج صورة 200 بت فإن استعمال خوارزمية الضغط هذه يمكن تقليلها إلى 10 بتات.



شكل(71): خطوات طريقة JPEG

خوارزمية JPEG للضغط متتاظرة أي أن الجهد اللازم للتشفير هو نفس الجهد اللازم لفك التشفير. وفي ما يلي شرح لكيفية عمل الخوارزمية في أبسط صيغاتها المسمى تشفير خط الأساس المتالي و القائمة على الخطوات التالية:

*تغيير التشفير

يتم تغيير التشفير من RGB (أحمر أخضر أزرق) إلى تشفير Y، U، V حيث Y هي الإضاءة و U و V هي اللون.

يتم التحويل بالطريقة التالية:

$$B0,144 + G0,587 + R0,299 = Y$$

$$128 + B0,5 + G0,331 - R0,169 = U$$

$$128 + B0,081 - G0,419 - R0,5 = V$$

مع الإشارة إلى أن R، G، B، Y، V، U بين 0 و 255. كما أن المعاملات في التحويل تأتي من حساسية العين البشرية حيث أنها حساسة جدا في مجال اللون الأخضر في حين أنها أقل حساسية في مجال اللوين الأزرق والأحمر ذلك فإن المعامل لللون الأخضر هو الأكبر قيمة مقارنة بالمعاملين الآخرين.

*تقسيم الصورة إلى قطع 8x8 بكسل

يتم تقسيم الصورة إلى قطع مكونة من 8 x 8 بكسل لتكون أسهل معالجة في الخطوة الموالية.

* تحويل جيب التمام

يتم تحويل كل من المصفوفات x_8 عن طريق تحويل جيب التمام و نحصل بذلك على مصفوفة تحتوي على التردد المكاني

* إستعيان التردد المثالي

في هذه الخطوة يمكن أن نفقد بعض البتات أو المعلومات من الصورة. حيث يتم إستعيان الترددات Frequency Sampling البطيئة بطريقة جيدة (بطريقة تسمح برؤية الفوارق الصغيرة بين ترددتين مختلفين) في حين يتم إستعيان الترددات السريعة بطريقة سيئة (أي أنه مثلاً تردد 50 بكسل في وحدة طول و 60 بكسل في وحدة طول كلها تمثل بـ 50 بكسل في وحدة طول أي لا يمكن التفريق بينهما. مع الإشارة إلى أنه يجب فهم كلمة بكسل في وحدة طول على أنها تردد مكاني حيث لا يمكن إتخاذ الهرتز كوحدة هنا لأن التردد ليس زمني).
و السبب في عمل هذا هو أن العين البشرية لا يمكنها التمييز بين الترددات المكانية السريعة فإن تأملت في خط طوله سنتمتر مثلاً يتكون من 100 بكسل فإنك لن تلاحظ فرقاً بالنسبة لخط فيه 1000 بكسل.

* مسح الصورة

يتم بعد ذلك مسح الصورة بطريقة تجعل البيانات في شكل شعاع بدلاً من مصفوفة و يتم المسح كما هو مبين في الصورة.

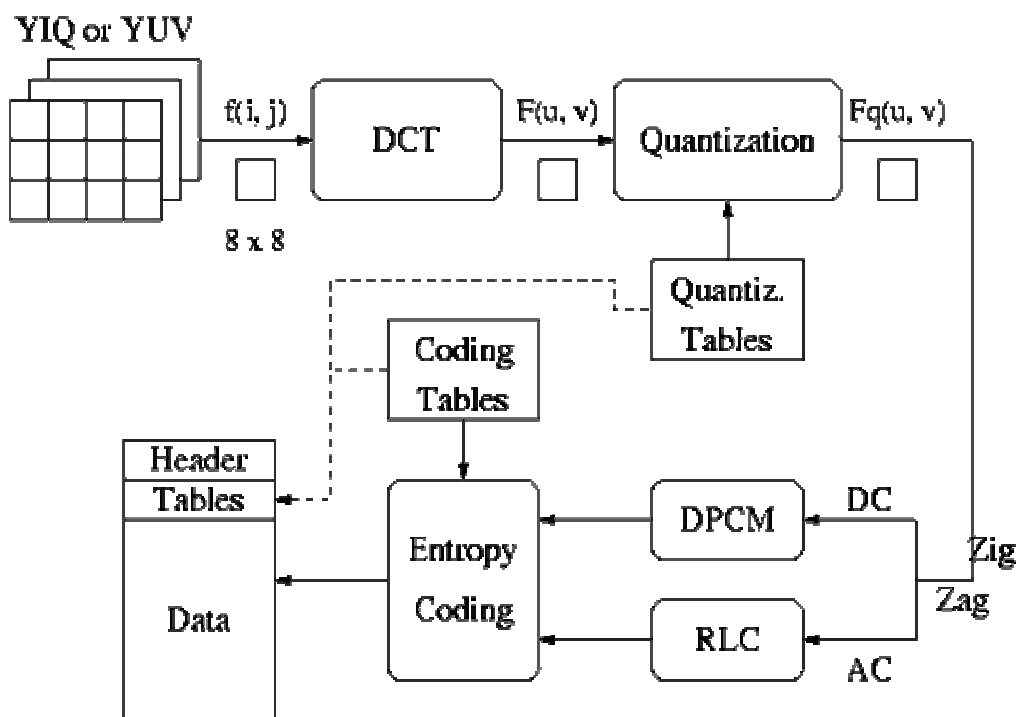
* تشفير بطريقة Run Length coding (RLC)

تعتمد على حساب عدد العناصر المجاورة التي لها نفس القيمة اللونية ويسمى هذا العدد Run Length ، توجد العديد من الطرق لهذه الطريقة أهمها استخدامها مع الصور الثنائية التي طورت فيما بعد لاستخدامها مع الصور ذات التدرجات الرمادية والصور الملونة

* تشفير بطريقة VLC

VLC اختصار ل Variable Length Coding أو ما يعرف بـ تشفير هوفمان Huffman-Coding. حيث يتم حفظ كل عدد يظهر بالشعاع بطريقة أمثل من ناحية حجم البيانات، حيث أن الأرقام التي تظهر بكثرة في الشعاع يتم تشفيرها بعدد صغير من البتات مثلاً إذا كان الرقم 2 يظهر بكثرة في الشعاع فإنه يرمز له بـ 0 عوض التشفير الثنائي العادي الذي يحتاج إلى بتان لحفظ الرقم 2 لأنه يحفظها 10.

أما الأرقام التي تظهر بقلة فإنه يتم تشفيرها بعدد كبير من البتات. يتم التشفير بطريقة حيث أنه لا يمكن أن يتشاره رقمان في بدايتهما يعني أنه لو كان أول بت تحصل عليه من الشعاع هو 0 فلا داعي لانتظار ما سيأتي بعده من بتات لمعرفة معنى هذا البت و يمكن القول مباشرةً أن 0 هي التشفير المقابل لرقم 5 مثلاً. و تمثل الخطوتان الأخيرتان ما يعرف بـ تشفير إنتروبي و هي طريقة تشفير لا تصبّع معها معلومات.



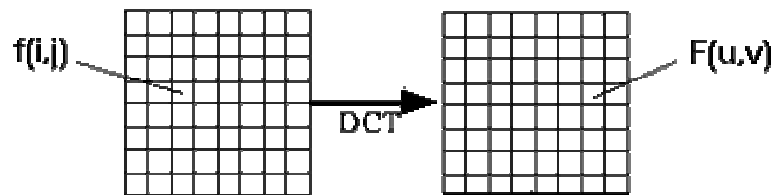
شكل(72): خطوات طريقة JPEG

الخطوات الاساسية:

- DCT (Discrete Cosine Transformation)
- Quantization
- Zigzag Scan
- DPCM on DC component
- RLE on AC Components
- Entropy Coding

1-تحويل جيب المترقطع (DCT)

يمكن تمثيل الخطوة الاولى بالشكل التالي:



شكل Discrete Cosine Transform (DCT):(73)

- Discrete Cosine Transform (DCT):

$$F(u, v) = \frac{\Lambda(u)\Lambda(v)}{4} \sum_{i=0}^7 \sum_{j=0}^7 \cos \frac{(2i+1) \cdot u\pi}{16} \cdot \cos \frac{(2j+1) \cdot v\pi}{16} \cdot f(i, j)$$

$$\Lambda(\xi) = \begin{cases} \frac{1}{\sqrt{2}} & \text{for } \xi = 0 \\ 1 & \text{otherwise} \end{cases}$$

.....(55)

Inverse Discrete Cosine Transform (IDCT):

$$\hat{f}(i, j) = \frac{1}{4} \sum_{u=0}^7 \sum_{v=0}^7 \Lambda(u)\Lambda(v) \cos \frac{(2i+1) \cdot u\pi}{16} \cdot \cos \frac{(2j+1) \cdot v\pi}{16} \cdot F(u, v)$$

$$\Lambda(\xi) = \begin{cases} \frac{1}{\sqrt{2}} & \text{for } \xi = 0 \\ 1 & \text{otherwise} \end{cases}$$

.....(56)

2- التعميم Quantization تستخدم لتقليل عدد البتات في العينة الواحدة

Example: $101101 = 45$ (6 bits).

$q[u, v] = 4 \rightarrow$ Truncate to 4 bits: $1011 = 11$.

يوجد نو عین منه:

Uniform Quantization 1 - المنتظم

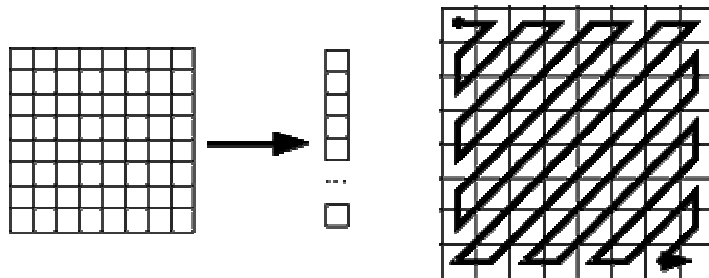
- Each $F[u,v]$ is divided by the same constant N .

2 - غير المنتظم Non-uniform Quantization – Quantization Tables

- Eye is most sensitive to low frequencies (upper left corner), less sensitive to high frequencies (lower right corner)
 - The *Luminance Quantization Table* $q(u, v)$ The
Chrominance Quantization Table $q(u, v)$
 - -----

3- مسح Zig-zag Scan الذي يبين التردد الواطي لمجموعة المعاملات في أعلى المتجة

- Maps 8 x 8 to a 1 x 64 vector



شكل(Zig-zag Scan:(74)

Differential Pulse Code Modulation (DPCM) on DC component-4

- DC component is large and varied, but often close to previous value.
- Encode the difference from previous 8 x 8 blocks -- DPCM

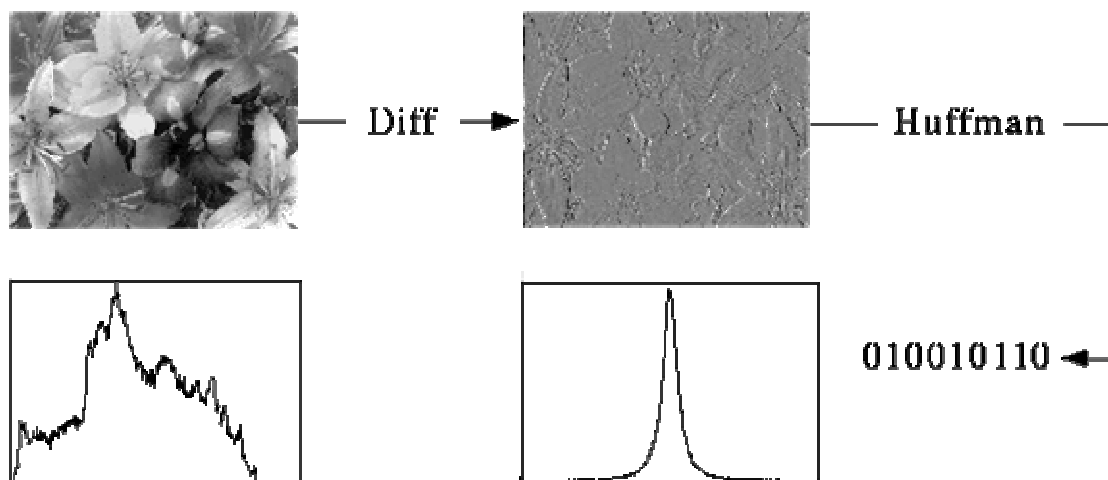
. Run Length Encode (RLE) on AC components-5

- 1 x 64 vector has lots of zeros in it
- Keeps *skip* and *value*, where *skip* is the number of zeros and *value* is the next non-zero component.
- Send (0,0) as end-of-block sentinel value.

Entropy Coding-6

- Categorize DC values into SIZE (number of bits needed to represent) and actual bits.

	SIZE	Value
.		
.	1	-1, 1
.	2	-3, -2, 2, 3
.	3	-7..-4, 4..7
.	4	-15..-8, 8..15
.	.	.
.	.	.
.	.	.
.	10	-1023..-512, 512..1023



شكل(75): كيفية الضغط بطريقة هوفمان

مثال// لديك الصورة التالية بين جدول كفاءة طرق الضغط:



شكل(76): صورة رقمية

الحل//

Table 1. Comparison of Compression Efficiencies for a 24-bit Image

Compression	Image bits/pixel	File Format	Size (kb)	(% of original)
none	24	TIFF	223,646	100
LZW	24	TIFF	243,829	109
run length	24	TGA	224,055	101
JPEG quality=75	24	JPEG	14,572	7
JPEG quality=50	24	JPEG	9,413	4

Table 2. Comparison of Compression Efficiencies for an 8-bit Image

Compression	Image bits/pixel	File Format	Size (kb)	(% of original)
none	8	TIFF	77,810	100
run length	8	PCX	79,028	102
LZW	8	GIF	59,582	77

طريقة ضغط الصورة : vector quantization

هي عبارة عن معالجة لتحديد متاجة لمجموعة قيم صغيرة حيث تقسم الصورة إلى مجموعة من اللصور الجزئية أو البلوكات .

مثال// لديك صورة التالي 4×4 يمكن تمثيلها $D - 1$ من المتجهات

$$\begin{bmatrix} 65 & 70 & 71 & 75 \\ 71 & 70 & 71 & 81 \\ 81 & 80 & 81 & 82 \\ 90 & 90 & 91 & 92 \end{bmatrix}$$

الحل// يمكن تمثيلها كمتجهات صفوف كالتالي

$$[\text{row}_1 \text{ row}_2 \text{ row}_3 \text{ row}_4] = [65 \ 70 \ 71 \ 75 \ 71 \ 70 \ 71 \ 81 \ 81 \ 80 \ 82 \ 90 \ 90 \ 91 \ 92]$$

مثال// لديك صورة 256×256 bit ، $8 -$ استخدم طريقة vector quantization طريقة ضغط الصورة علما أن عدد البلوك 4×4 والمتجه يتكون من 256 مدخل

$$\left(\frac{256 \text{ pixels}}{4 \text{ pixels / block}} \right) \quad \left(\frac{256 \text{ pixels}}{4 \text{ pixels / block}} \right) = 4.096$$

Blocks

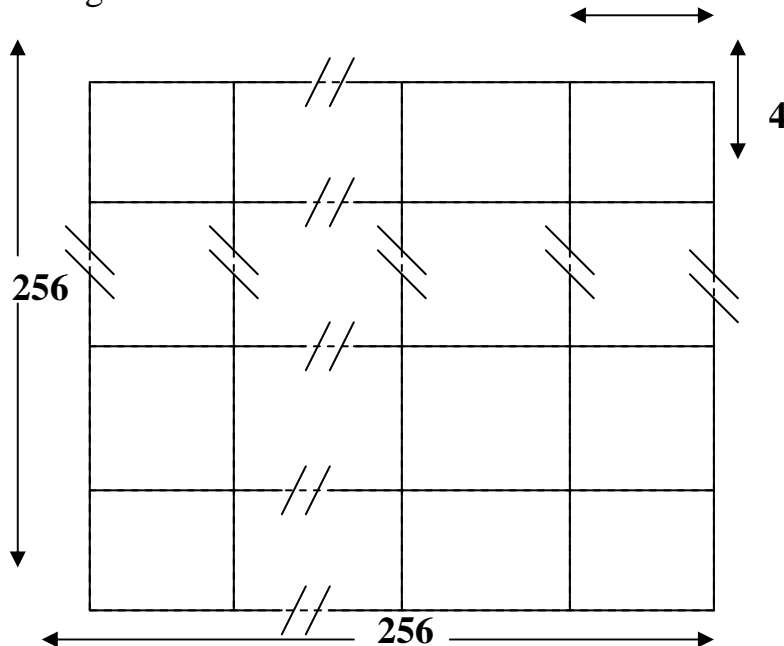
أن بايت لكل 4×4 بلوك يعطي 4.096 بايت لعنوان المتجه و استخدام الحجم.

$$4.096 + (256) (16) = 8.122 \text{ bytes for the coded file}$$

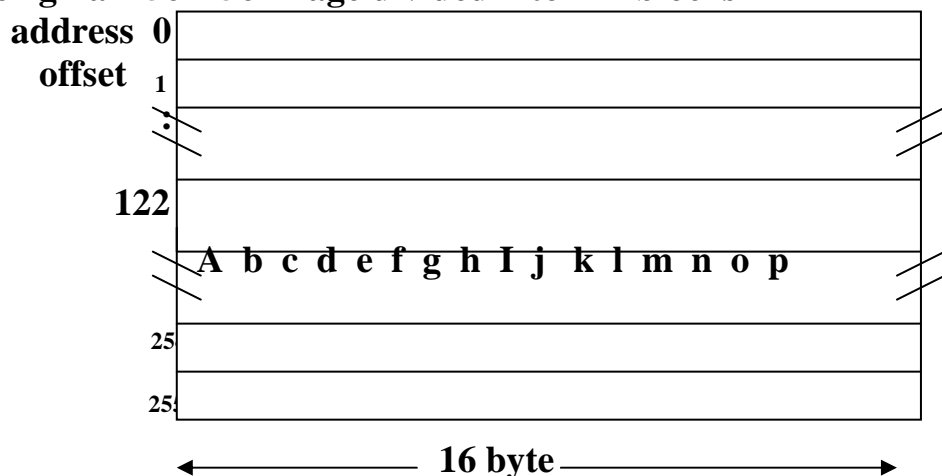
The original 8 – bit , 256*256 image contained
 $(256) (256) = 65.536$ bytes

نحصل على نسبة الضغط

$65.536 / 8.122 = 8 \rightarrow 8:1$ compression
 the Quantizing with c codebook .



a. original 256*256 image divided into 4*4 blocks



b. codebook with 256 16 – byte entries

a	b	c	d
e	f	g	h
i	j	k	l
m	n	o	p

c. A sub image decompressed with vector # 122

شكل(77): طريقة **وتقطيم** **vector quantization** Quantizing with c codebook

الفصل السادس

**بعض تطبيقات معالجة
الصورة الرقمية**

٦ - مقدمة:

يعد مجال تحليل الصور مجالاً متوسطاً بين الرؤية بالحاسب ومعالجة الصور . يصعب إلى حد ما إيجاد حدود فاصلة بين هذه المواضيع الثلاثة (معالجة الصور ، وتحليلها والرؤية بالحاسب)

إلا أنه يمكن تقسيم العمليات التي يستخدم فيها الحاسوب في هذا المجال إلى ثلاثة مستويات :

١- عمليات ذات مستوى منخفض والتي تتضمن إزالة التشوه وتحسين التباين وزيادة حدة الصورة ، ويمكن وصف هذه العمليات بأنها تلك العمليات التي يكون دخلها صورة وخرجها صورة .

٢- عمليات ذات مستوى متوسط والتي تتضمن تقسيم الصورة إلى مناطق أو عناصر ثم وصف هذه العناصر لاختزالها إلى تمثيل صالح للمعالجة بالحاسب ، كما تشمل أيضاً عمليات التعرف على عناصر محددة بالصورة ، ويمكن وصف عمليات المستوى المتوسط بكونها عمليات يكون دخلها صورة وخرجها خصائص وسمات مستخلصة من هذه الصورة ، مثل ذلك إطار العناصر وهوية تلك العناصر .

٣- عمليات ذات مستوى عال وهذه تتضمن عملية فهم أو إدراك "making sense" لمجموعة من العناصر التي تم التعرف عليها وفي قمة عمليات هذا المستوى تأتي عمليات التعلم واكتساب المعرفة المرتبطة بالرؤية بالحاسب .

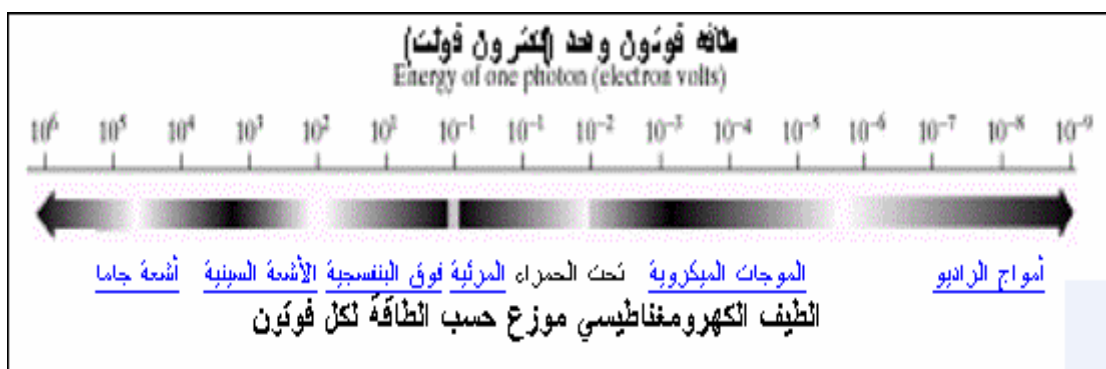
أن التداخل بين كل من معالجة وتحليل الصور يتمثل في عمليات التعرف على مناطق أو عناصر معينة تتنمي للصورة . وبالتالي يمكن وصف المعالجة الرقمية للصور على أنها العملية التي يكون دخلها وخرجها صورة بالإضافة إلى عمليات استخلاص خصائص وسمات الصورة وحتى التعرف على العناصر التي تتنمي للصورة.

بالموازاة مع التطبيقات الخاصة بالفضاء ظهرت تطبيقات طبية تتمثل في التصوير الطبي وخاصة بعد ابتكار "المسح بالحاسب CT computerized tomography" والتي يمكن عن طريقها رسم صور مجسمة ثلاثة الأبعاد للمريض أو لهدف ما عن طريق مصدر للأشعة السينية وحلقة من مجسات الأشعة السينية تحيط بالهدف حيث يتم تحريك مصدر الأشعة دائرياً ثم تحريك المجسات خطوة بخطوة رأسياً .

من التطبيقات الشيقة الأخرى والتي طورت منذ الستينيات وحتى الآن ، تحسين التباين أو تحويل مستويات الشدة intensity إلى ألوان لتسهيل فهم واستفادة صور الأشعة السينية والصور الأخرى في الصناعة وفي المجالات الحيوية .

6-2 التعرف على بعض المجالات التطبيقية في موضوع المعالجة الرقمية للصور:

يمكن تقسيم الطيف الكهرومغناطيسي حسب طاقة الفوتون إلى النطاقات الموضحة في الشكل الآتي .



شكل(78): تقسيم الطيف الكهرومغناطيسي

1-2-6 التصوير بأشعة جاما :



شكل(79): صورة اخذت بتقنية positron emission tomography

أخذت الصورة في الشكل اعلاة بتقنية ال positron emission tomography والتي يتم فيها حقن المريض بنظير مشع يشع جسيمات البوزيترون و عند تقابل البوزيترون والإلكترون

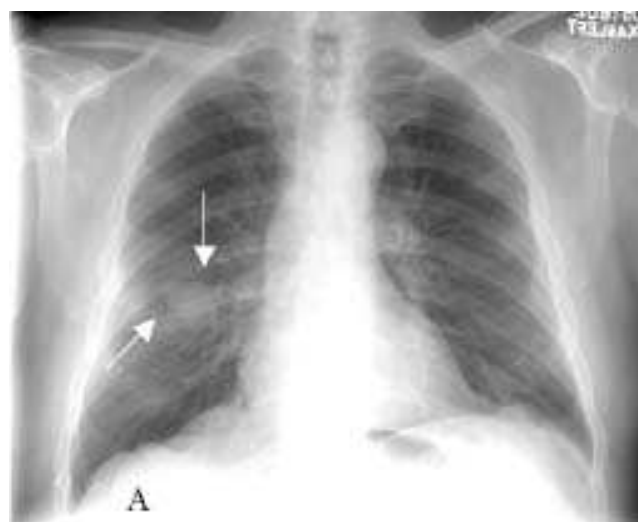
يتلاشيان و ينبع شعاعان من نوع جاما ثم بعد ذلك يتم استشعار هذه الأشعة من خارج الجسم عن طريق حساسات خاصة تدور حول الجسم لتكوين صورة ثلاثية الأبعاد . كما يمكن التصوير عن طريق استقبال أشعة جاما من المصدر/الجسم المراد تصويره .

6-2 التصوير بالأشعة السينية:

من أشهر طرق التصوير بالأشعة السينية استغلال قدرة النفاذ للأشعة السينية خلال الأجسام و استقبال الطاقة النافذة على فيلم حساس ، حيث تختلف درجة تأثر الفيلم بطبيعة الجسم المراد تصويره .

من الممكن تكوين صور ثلاثية الأبعاد بالأشعة السينية عن طريق تقنية ال Computerized Axial Tomography (CAT) حيث يتم احاطة الجسم المراد تصويره بحلقة من الحساسات ثم تحريك مصدر للأشعة السينية على هذه الحلقة ليؤثر على العنصر المقابل في الحلقة، وبذا يتم تصوير مقطع في الجسم ثم بتحريك الحلقة ككل في اتجاه عمودي يتم أخذ مقاطع أخرى. بعد ذلك و عن طريق الحاسوب يتم تكوين صورة ثلاثية الأبعاد للجسم .

أن للأشعة السينية تطبيقاتها في مجال الصناعة حيث يمكن اكتشاف الكسور أو الشروخ في دائرة الكترونية . ومن الممكن تصوير مصدر الأشعة السينية نفسها .



<http://www.dcmsonline.org/jax-medicine/2003journals/lungcancer/>

شكل (80) : صوره للفقص الصدري



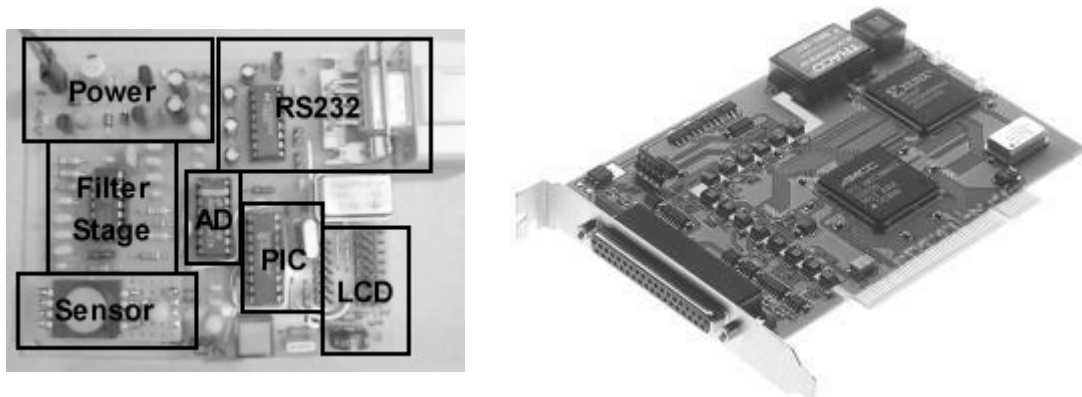
<http://cpmcnet.columbia.edu/dept/radiology/eastside/cAt.html>
شكل (81): مقطع في صورة ثلاثية الأبعاد مصورة بتقنية الـ CAT

6-2-3 التصوير في النطاق فوق البنفسجية:

يعتمد التصوير في هذا النطاق على ظاهرة فيزيانية وهي أنه عند سقوط الأشعة فوق البنفسجية على مادة فلورسية فإنها تشع ضوء وذلك لأن الأشعة فوق البنفسجية نفسها غير مرئية. كما يمكن أيضاً أخذ صور لمصدر للأشعة فوق البنفسجية.

6-2-4 التصوير في النطاق المرئي:

وهي أكثر النطاقات المستخدمة في التصوير، ويوضح الشكل الآتي صور لبعض الدوائر الإلكترونية.



شكل(82): صور لبعض الدوائر الإلكترونية.

6-2-5 التصوير في نطاق الموجات الميكروية:

يعتمد التصوير في هذا النطاق عادة على الرادار ، ويشبه التصوير هنا طريقة التصوير بالكاميرا العادية ذات الفلاش ، حيث يتم إضاعة المساحة المطلوب تصويرها بنبضات الموجات الميكروية، ثم يتمأخذ لقطة للمشهد عن طريق الموجات المنعكسة والتي يتم استقبالها بواسطة هوائي خاص، بعد ذلك وبواسطة المعالجة الرقمية بالحاسوب يتم تسجيل هذه الصور .

6-2-6 التصوير في نطاق الموجات الراديوية:

يعد التصوير الطبي والفلكي أهم مجالات التصوير في هذا النطاق. تستخدم موجات الراديو في التصوير الطبي فيما يسمى بالتصوير بالرنين المغناطيسي. حيث يتم وضع المريض على مغناطيس قوي ثم توجه نبضات قوية من موجات الراديو إلى الجزء المطلوب تصويره، بعد ذلك يتم التقاط الموجات المنعكسة من الأنسجة ويتم تحديد مكان وقوة النبضات المنعكسة باستخدام حاسب رقمي.



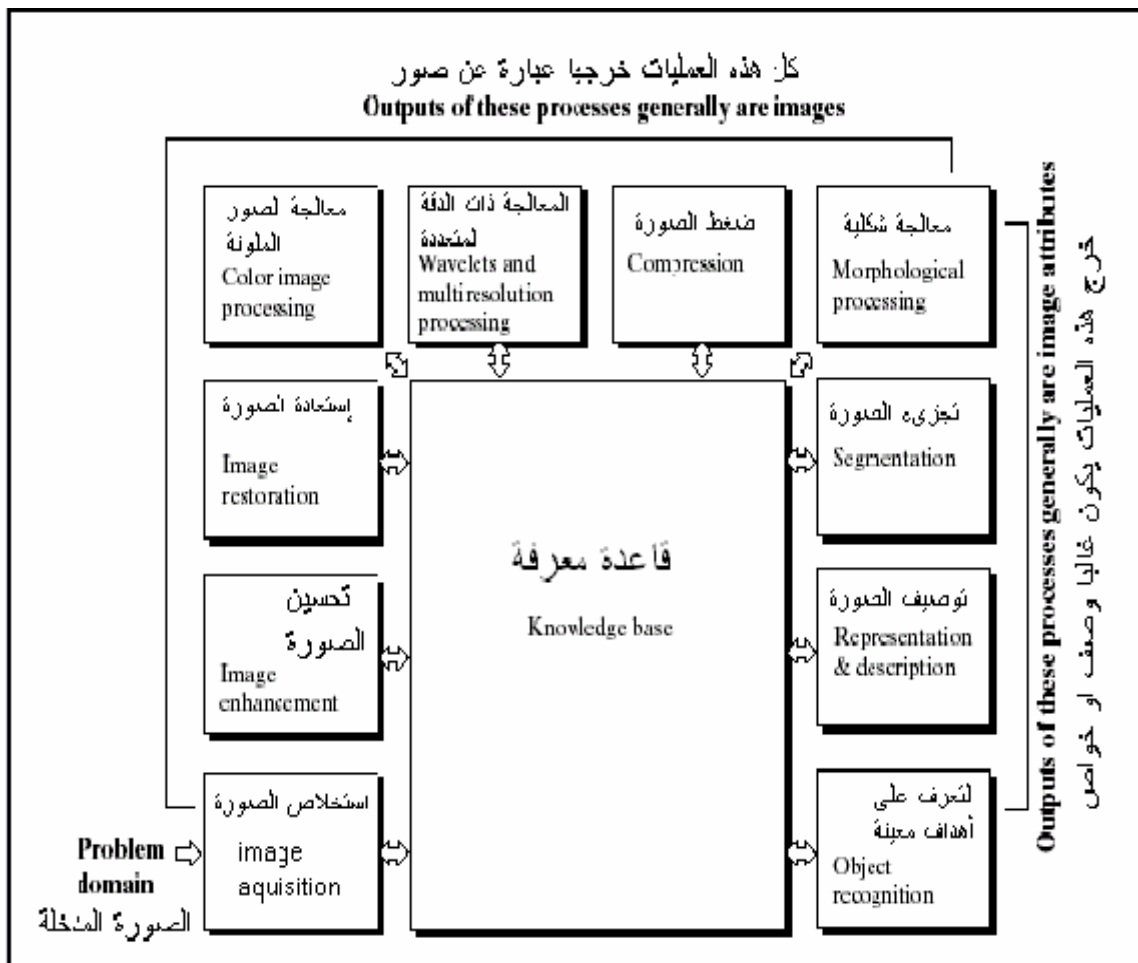
<http://brighamrad.harvard.edu/Cases/bwh/images/118/MR2Std>



<http://www.lowbackpain.com/faq.shtml>

6-3 تطبيقات المعالجة الرقمية للصور:

يمكن تحديد تطبيقات معالجة الصورة من خلال العمليات التالية على الصور الرقمية الموضحة بالشكل أدناه:



شكل(84): العمليات التي تجري على الصور الرقمية

1- الحصول على الصورة أو استخلاصها **image acquisition** دراسة طرق الحصول على الصورة عن طريق أجهزة خاصة . يعد أبسط أشكال هذه العملية هو مجرد الحصول على صورة رقمية مباشرة من جهاز حاسب .

2- تحسين الصورة **image enhancement** وبقصد بها تلك العمليات التي يتم بها إيضاح بعض التفاصيل المهمة في الصورة أو التركيز على بعض الصفات والسمات موضع الأهمية من الصورة . من أبسط الأمثلة على هذه العملية هو زيادة التباين في الصورة وذلك فقط لأن البشر يرون في ذلك وضع أفضل وأيسر لرؤيتة وفهم محتويات الصورة .

3- استرجاع أو استعادة الصورة **image restoration** تهتم هذه العملية أيضاً بتحسين مظهر الصورة ولكن عملية التحسين هنا تعتمد على بعض النماذج الرياضية أو الإحصائية لمعالجة الصورة . بينما تعتمد عملية تحسين الصورة على متطلبات بشرية مثل مقدار جودة الصورة بالنسبة لمشاهدتها .

4- معالجة الصور الملونة

ترجع أهمية هذه العملية إلى كثرة استخدام الصور الملونة الآن على شبكة الإنترنت وال الحاجة دوماً إلى معالجتها بالإضافة إلى أنه يمكن استخلاص بعض السمات والخصائص من الصورة بناءً على اللون.

5- المعالجة ذات الدقة المتعددة باستخدام المويجات wavelets وهو حجر الأساس في تمثيل الصورة بدرجات متغيرة من الإيصال resolution ويستخدم عادةً في ضغط الصور والبيانات.

6- الضغط compression يستخدم في اختزال حجم الذاكرة المطلوب لتخزين الصورة وبصورة أخرى يؤدي هذا أيضاً إلى اختزال عرض النطاق band width المطلوب لإرسال الصورة.

7- معالجة التشكيل morphological processing يهتم باستخلاص مكونات الصورة والتي تكون مفيدة في تمثيل وتصنيف شكل معين بالصورة وتعد هذه العملية أول العمليات التي تصادفنا والتي يكون خرجها هو خصائص أو سمات للصورة.

8- التقسيم أو التجزء segmentation ويهتم بتقسيم الصورة إلى مكوناتها الجزئية أو إلى عناصر ويعتبر من أهم العمليات على الصور لأن الخطأ في عملية التقسيم يعني فشل في كل التطبيقات التي تعتمد على ذلك ومنها مثلاً التعرف على الصور image recognition.

9- التمثيل والوصف يلي عملية التقسيم segmentation ، عملية التمثيل ويتم فيها تمثيل مكونات الصورة بأحد طريقتين : تمثيل إطاري boundary أو تمثيل مساحي regional ومن المعروف أن التمثيل الإطاري يهتم بالشكل الخارجي لعناصر الصورة بينما يهتم التمثيل المساحي بالخصائص الداخلية للصورة . أما عملية الوصف description فتهتم باستخلاص خصائص وصفات الصورة والتي تكون ذات أهمية في عملية التصنيف classification .

10- التعرف على الصور recognition تهتم هذه العملية بإيجاد مسمى لعنصر ما في الصورة بناءً على وصفه وسماته .

6-4 التداخل الترددية وأشكال موير:

من المعروف أنه يمكن تمثيل الدالة المحدودة زمنيا بمجموعة من المركبات الجيبية حيث يكون أعلى تردد لهذه المركبات الجيبية محدودا ، وحسب نظرية شانون فإنه إذا تمأخذ عينات من هذه الدالة بمعدل أكبر من أو يساوي ضعف نطاقها الترددية فإنه يمكن استرجاع هذه الدالة ، ولكن إذا تم أخذ العينات بمعدل أقل من المذكور آنفا فإنه يحدث ما يسمى بالتربيط aliasing حيث تتدخل تكرارات النطاق الترددية المماثلة للدالة وبالتالي لا يمكن استرجاعها ، وبالنسبة للصورة فإن معدل أخذ العينات هو معدل أخذ العينات في كل من الأحداثيين x, y .

من المعروف أنه من المستحيل تحقيق نظرية شانون عمليا لأننا نعمل دائما على دوال محدودة في الزمن. ولكن من الممكن أن نقوم بتحويل الدالة الغير محدودة في الزمن إلى دالة محدودة في الزمن عن طريق دالة البوابة (gate function) ولكنها لسوء الحظ هي نفسها غير محدودة في النطاق الترددية. وبالتالي حاولتنا تحديد زمان دالة ذات نطاق تردد محدود يجعلها غير محدودة في التردد. ولذا يكون الحل الأساسي هو تقليل قيمة المركبات ذات الترددات العالية ليتمكن إهمالها فتكون الدالة محدودة في النطاق الترددية. يمكن رؤية تأثير التداخل الترددية aliased frequency في شكل يسمى بنموذج موير moiré pattern .

يمكن فهم التكبير على أنه مضاعفة لعدد العينات كما يمكن فهم التصغر على أنه إنقاص لعدد العينات ، إلا أنه لكي نفرق بين عملية أخذ العينات (Sampling) وكل من التكبير والتصغر فإنه يمكننا القول بأن التكبير والتصغر يتم على الصور الرقمية فقط . يتطلب التكبير عمليتين :

- 1) إيجاد أماكن لمجموعة من عناصر الصورة الجديدة .
- 2) إيجاد قيمة لمستوي الرمادي لكل من هذه العناصر الجديدة .

يتم هذا بمجموعة من الطرق أبسطها هو تكرار ونسخ العنصر كما تم شرحه سابقا حيث يتم مضاعفة حجم الصورة بعد صحيحة من المرات ثم يتم نسخ المستوي الرمادي للعنصر المجاور لذلك المنشأ حديثا . ولكن عيب هذه الطريقة أن المضاعفة تتم بعد صحيحة فقط . من الطرق الأخرى طريقة تسمى nearest neighbor interpolation .

فمثلا إذا أردنا تكبير صورة ذات حجم 500×500 إلى أخرى ذات حجم 750×750 فإننا تكون شبكة خالية بالحجم الجديد 750×750 ثم نطبقها على الصورة الأصلية ، بالطبع تكون المسافات بين عناصر الصورة الجديدة صغيرة عن تلك في الصورة الأصلية ، لذا فإننا نعطي لكل عنصر في الصورة الجديدة قيمة مستوي الرمادي للعنصر الأقرب لها مسافة في الصورة الأصلية بعد مطابقة الشبكتين .

توجد طريقة تسمى bilinear interpolation والتي تستخدم أقرب أربع نقاط . لذا فإذا افترضنا أن مستوي الرمادي للنقطة المطلوبة هو $v(x, y)$ فإنه يمكن حسابه من المعادلة :

$$v(x, y) = ax + by + cxy + d \dots \dots \dots (58)$$

حيث الثوابت الأربع غير معلومة ويمكن حسابها من الأربع معادلات المماثلة لأقرب أربع نقاط في الصورة الأصلية . أما بالنسبة للتصغير فإنه من أبسط الطرق أن يتم حذف نصف عدد الأعمدة والصفوف (إما الزوجية أو الفردية) . ومن الممكن أيضا استخدام طريقة nearest neighbor interpolation أو bilinear interpolation ولتقليل تأثير ال aliasing يمكن عمل ما يسمى بالتبهيت (جعل الصورة باهتهة) blurring، ويمكن أيضا عمل عملية interpolation بعدد أكبر من النقاط المجاورة والتي تعطي نتائج أفضل إلا أنه بالطبع يحتاج مجهد حسابي أكبر .

6-5 بعض العلاقات الأساسية بين مجموعات العناصر:

1- جيران العناصر
إذا كان لدينا عنصرا (x,y) فإن الأربع نقاط المجاورة رأسيا وأفقيا تسمى 4-neighbors وهم :

$$(x+1,y), (x-1,y), (x,y+1), (x,y-1) \dots \dots \dots \quad (59)$$

تسمى هذه المجموعة بال N_4 ، وبالطبع النقاط التي على نطاق الصورة تقع بعض جيرانها خارج الصورة . تسمى النقاط المجاورة ل (x,y) على الاتجاهات الفرعية (القطرية) $\text{Diagonal neighbors}$ $N_d(p)$ وهم :

$$(x+1,y+1), (x+1,y-1), (x-1,y+1), (x-1,y-1) \dots \dots \dots \quad (60)$$

تسمى مجموعة النقط التي تحوي كل من $N_4(p)$ ، $N_d(p)$ بالجيران الثمانية 8-neighbors $(N_8(p))$.

2- التجاور والاتصال والمناطق والأطر
بعد الاتصال بين عناصر الصورة مفهوم هام لتبسيط تعريف المناطق والأطر . والآن يمكننا القول بأن عنصرين في الصورة يكونان متصلين إذا كانا :
 1) متجاورين
 2) المستويان الرماديان لكل منها يحققان شرطا معينا و ليكن التساوي .

أما بالنسبة للتجاور فإنه يمكننا تعريف ثلاثة أنواع للتجاور:

1) التجاور الرباعي 4-adjacency
 إذا كان $p, q \in N_4(p)$ ، يقال أن التجاور من النوع الرباعي المستوى V لنكن لكل منها يتبع لمجموعة محددة من مستويات الرمادي .

2) التجاور الثمانى 8-adjacency

، يقال أن التجاور من النوع الثمانى المستوي $(p) \in N8$ إذا كان p إذا كان لكل منها ينتمي لمجموعة محددة من مستويات الرمادي

3 - **m-adjacency** التجاور العام
 يقال أن التجاور من النوع العام إذا كان p, q **m-adjacent** كل منها يتبع إلى المستوى الرمادي لـ $-q \in N_4(p)$ ، أو

- **وعناصر الصورة** $N4(p) \cap N4(q)$ ليس لها مستوى رمادي ينتمي $q \in Nd(p)$

- يقال أن مجموعتين من عناصر صورة ما s_1, s_2 متجاورين إذا وجد بعض عناصر الصورة في s_1 المجاورة لبعض عناصر الصورة في s_2 . ونعني في السياق التالي بالتجاور . $8,4,m\text{-adjacency}$

- يعرف المسار الرقمي أو المنحني من عنصر (x,y) إلى عنصر (s,t) بمتتابع العناصر التالي :

حیث:

متجاورين (x_0, y_0) , (x_i, y_i) , (x_{i-1}, y_{i-1}) , وكل عنصرين $(x_n, y_n) = (s, t)$, $(x_0, y_0) = (x_n, y_n)$ في هذه الحالة بطول المسار . إذا كان n ويسمى $\langle i \rangle$ كل المسار يكون مغلقا .

- يسمى المسار ب m -path إذا كان التجاور $m, 4$ adjacency ، ويلاحظ غياب اللبث في المسار m -path .

- لفترض أن S هي مجموعة من العناصر في صورة و أن p,q نقطتين تنتهيان إلى S ،
يقال أن p,q متصلتين connected إذا كان هناك مسار path بينهما يتكون كاملا داخل S .

- لأي نقطة p تسمى مجموعة النقاط التي تتصل بها بمجموعة الاتصال connected .component

- إذا كانت R مجموعة من العناصر في صورة فإننا نسمي R منطقة region إذا كانت R مجموعة متصلة connected set.

- نطاق منطقة R هو مجموعة العناصر في المنطقة R والتي يكون كل أو أحد جيرانها لا ينتمي إلى R .
- إذا كانت R هي الصورة ككل فإن نطاقها هو الصفر الأول والأخير والعمود الأول والأخير.
- يمكن فهم الحافة edge على أنها تغير مفاجئ أو انقطاع في الكثافة intensity بينما الأطرى على أنها مسارات مغلقة discontinuities.

6- مقاييس المسافة:

لأي ثلاثة نقاط p, q, z لها الإحداثيات $(x, y), (s, t), (v, w)$ تكون D دالة مسافة إذا كان :

$$D(p, q) \geq 0, D(p, q) = 0 \text{ if } p=q \quad -$$

$$\begin{aligned} D(p, q) &= D(q, p) \\ D(p, z) &\leq D(p, q) + D(q, z) \end{aligned} \quad -$$

يمكن تعريف على أنها Euclidean distance: مسافة أقليدس

$$D_E(p, q) = [(x-s)^2 + (y-t)^2]^{1/2} \dots \dots \dots (62)$$

لهذا النوع من دوال قياس المسافة فإن عناصر الصورة التي تقع على بعد ثابت نقطة (x, y) ، تمثل قرصاً مركزاً (x, y) ونصف قطره r ، يمكن تعريف الـ city-block distance على أنها :

$$D_4(p, q) = |x-s| + |y-t| \dots \dots \dots (63)$$

في هذه الحالة فإن عناصر الصورة التي تقع على بعد ثابت r من (x, y) مقاساً بهذه الدالة تمثل معيناً مركزاً (x, y) ، ويمكن تعريف الـ chessboard distance على أنه :

$$D_8(p, q) = \max(|x-s|, |y-t|) \dots \dots \dots (64)$$

في هذه الحالة فإن عناصر الصورة التي تقع على بعد ثابت r من (x, y) مقاساً بهذه الدالة تمثل مربعاً مركزاً (x, y) وطول ضلعه $2r$ ، نلاحظ أن D_4, D_8 بين هذه النقط تعتمد فقط على أحداثيات النقط ، بينما إذا أخذنا في الحسبان m -adjacency فإن قيمة هذه النقط والنقط المجاورة لها تؤثر على هذه المسافة . فمثلاً حسب قيم جiran النقطتين (p, q) فإنه يمكننا إيجاد أكثر من m -path وكل بطول مختلف . D_m على أنها أقصر m -path بين النقطتين .

إذا كان H معامل خططي دخله وخرجه صورة ، يقال أن H إذا تحقق لأي صورتين f, g ولأي ثابتين a, b

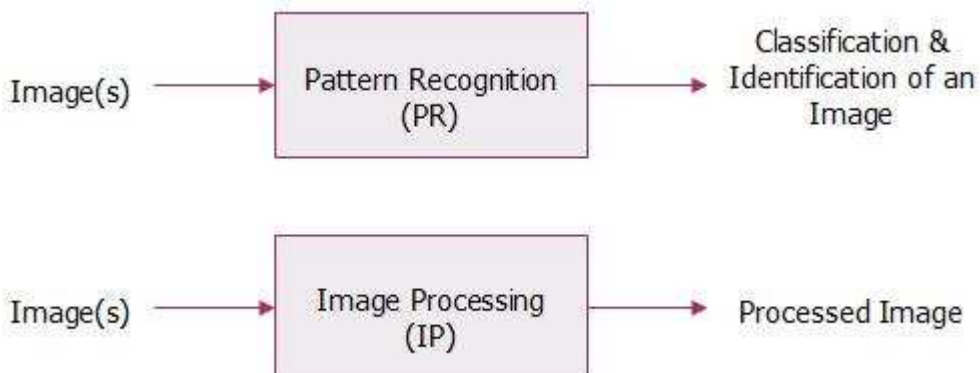
$$H(af, bg) = aH(f) + bH(g) \dots \dots \dots \dots (65)$$

معنى آخر فإن نتيجة استخدام معامل خطي على مجموع صورتين (بعد ضربهما في ثابتين عديدين) هي نفسها نتيجة استخدام المعامل مع الصورتين فرادياً (بعد ضربهما في نفس الثابتين العديدين)، يسمى المعامل الذي لا يحقق الشرط السابق بمعامل غير خطي (لا خطى).

7- تمييز الأنماط ومعالجة الصور

Introduction to Pattern Recognition and Image Processing

وهو فرع من فروع الذكاء الاصطناعي، ومعنى تمييز الأنماط ومعالجة الصور يوضحهما الرسم التالي: Block diagrams



شكل(85) : تمييز الأنماط ومعالجة الصور

يعنى أن أي برنامج لتمييز الأنماط يدخل له صورة فيعطي تصنيف أو تعرف للصورة، وأي برنامج للعمليات على الصور يدخل له صورة فيعطي صورة تمت بعض العمليات عليها. أن أي طريقة للتعرف على الأنماط أو أي شيء في العالم لا بد من أن يسبقها مرحلة تعلم لهذه الأنماط وهذه الأشياء، إذن مراحل التعرف على أي نمط مرتبتين:

1- مرحلة التعلم learning
2- مرحلة التصنيف classification or recognition

تمييز الأنماط أو التعرف على النماذج Pattern recognition هو أحد فروع علم تعلم الآلة وبشكل عام الذكاء الاصطناعي ، تهدف البحوث والتقنيات الخاصة بهذا العلم إلى إيجاد أو تطوير تقنيات للتعرف على أنماط أو هيئات محددة في الإشارات الرقمية، حيث يمكن للإشارة أن تتمثل صورة تحوي حرف مكتوب أو مقطع موسيقي أو مقطع كلامي يمثل كلمة أو حتى نص حاسوبي، ويمكن أن يكون النمط المطلوب التعرف عليه هو الحرف الذي تحويه الصورة أو الآلة المستخدمة في المقطع الموسيقي أو الكلمة الملفوظة في المقطع الكلامي .

الهيكل العام لنظم التعرف على النماذج يتكون من:

1- اكتساب المعلومات: يتم فيها الحصول على الدخل الذي نريد التعرف عليه من المعلومات المستخدم.

2 - معالجة الإشارة قبل بدء التعرف: في هذه المرحلة تقوم بإزالة التشويش من الإشارة وتحويلها إلى شكل نظامي Normal Form باستخدام التقسيس Scaling وعمليات أخرى بسيطة. الهدف هو حصول على إشارة "نظيفة" تسهل على باقي المراحل العمل.

3-استخلاص الخصائص المميزة: في هذه المرحلة يتم إيجاد صفات وخصائص من الإشارة تساعد على تحديد النموذج (النطاق) الذي تمثله.

مثلاً في مجال التعرف على الكلام، فإن المعلومات اللغوية في الإشارة هي التي تحدد الكلمة، وليست المعلومات التي تحدد المتكلم أو حالته النفسية. لو استطعنا استخلاص المعلومات اللغوية بشكل دقيق، يصبح التعرف أسهل (إذ نكون قد حذفنا معلومات أخرى غير مفيدة في التعرف).

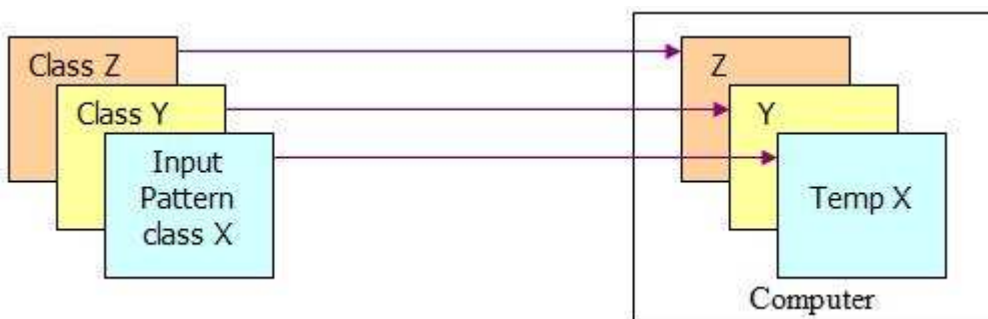
4-التصنيف: هنا الدخل هو شعاع من الخصائص المميزة، و علينا تحديد أي من النماذج المخزنة يمثلها هذا الشعاع. هناك عدة تقنيات كالشبكات العصبية وغيرها.

يوجد أربعة طرق أساسية مستخدمة في عالم تمييز الأنماط ألا وهي

1. Template-Matching and Correlation Method.
2. Statical Approach.
3. Syntactic and Structural Approach.
4. Neural Networks Approach.

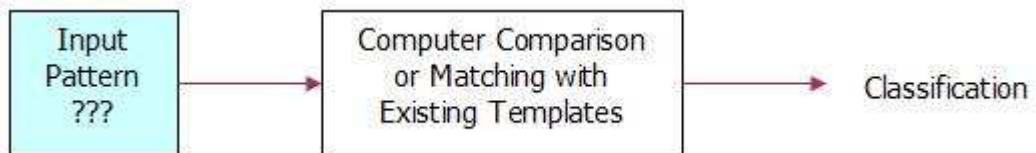
الطريقة الأولى (Template-Matching and Correlation Method)

مرحلة التعليم في هذه الطريقة تقوم على تخزين مجموعة من القوالب أو النماذج Prototypes، قالب من كل صنف في الحاسوب كما يوضح الرسم:



شكل(86): على تخزين مجموعة من القوالب Templates

وفي مرحلة التصنيف تقارن الصورة الدالة Input pattern مع Templates الخاص بكل صنف فإن كانت نتيجة مقارنتها مع الصنف س أكبر من نتيجة مقارنتها مع الصنف ص فإنها تصنف ضمن الصنف س وهكذا.



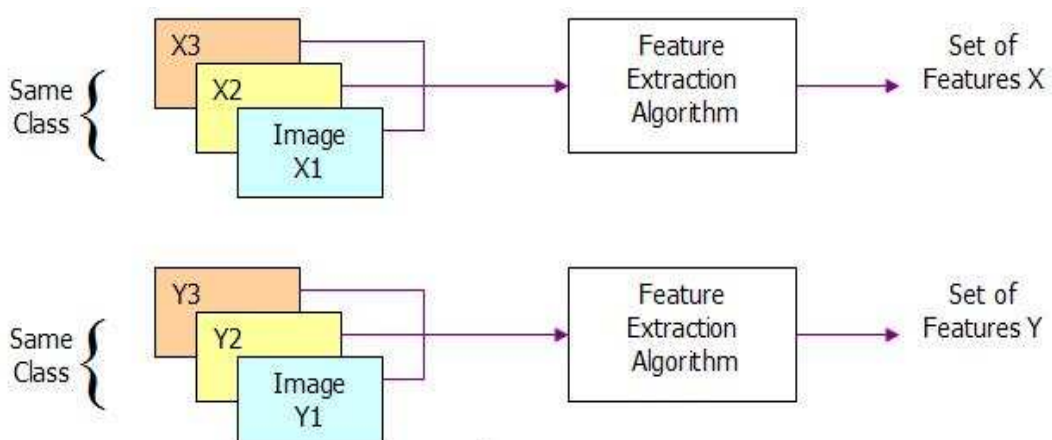
شكل(87): مقارنة الصنف

تخزن الصورة الدالة على شكل مصفوفة وتقارن مع القوالب الموجودة في الجهاز pixel by pixel وتعطي قيمة للمقارنة.

تعتبر هذه الطريقة طريقة سهلة وبسيطة جداً، الصعوبة الوحيدة في هذه الطريقة هي الاختيار الجيد للقوالب من كل صنف بالإضافة إلى تحديد معايير المقارنة وخصوصاً لو كانت الصورة الدالة تحمل تشوهات! ، فمثلاً لو استخدمنا هذه الطريقة للتعرف على المجرمين، لابد أن نأخذ لكل مجرم عدة لقطات كي تخزن على جهاز الحاسوب: لقطتان جانبيتان واحدة من كل جهة، لقطة أمامية، ولقطتان بزاوية نظر 45 درجة عن الكاميرا. ولكم أن تخيلوا المساحات التخزينية اللازمة لكل هذه القوالب!

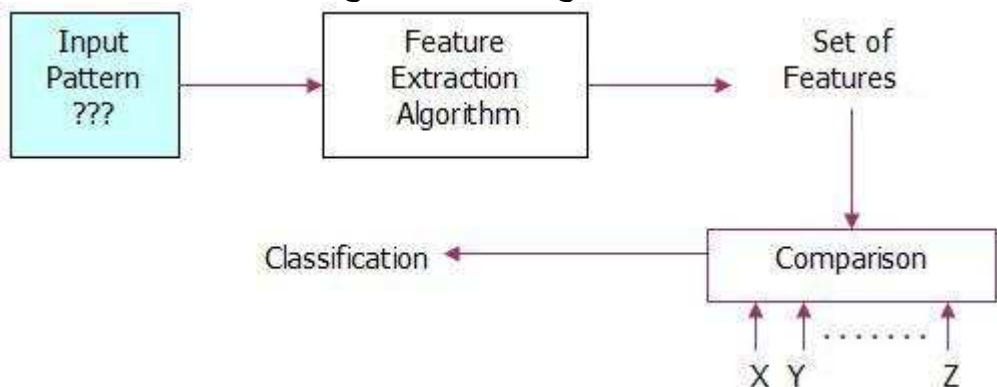
الطريقة الثانية (Statical Approach)

في هذه الطريقة، يوصف كل pattern بواسطة مجموعة من الخصائص set of features التي من الممكن أن نعبر عنها بقيم حقيقة. في مرحلة التعلم: يقدم كل نمط كمتجه من الخصائص feature vector pattern



شكل(88): تمثيل نمط pattern كمتجه من الخصائص feature vector

أما في مرحلة التعرف أو التمييز أو التصنيف، فهذه عادة تتم عن طريق تقسيم مساحة الصورة إلى مناطق مجزأة، كل منطقة تقارن مع صنف كما توضح الصورة:

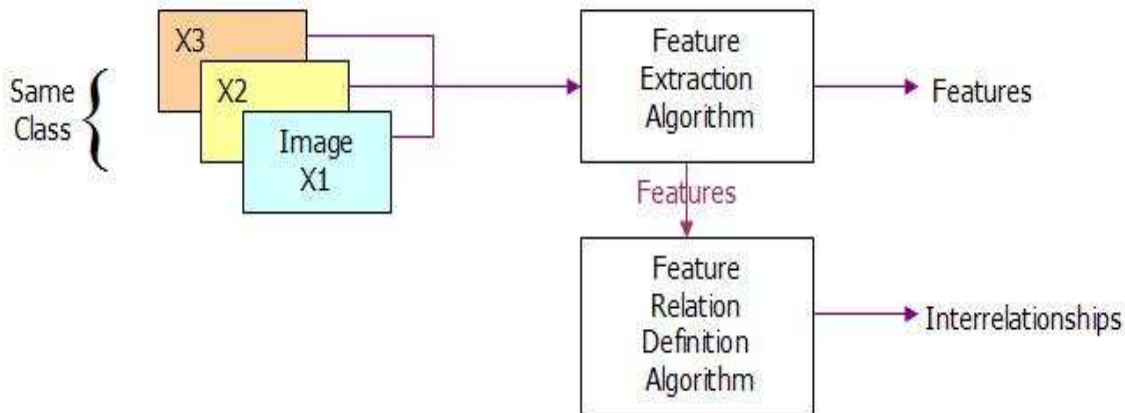


شكل(89): تقسيم مساحة الصورة إلى مناطق مجزأة

تعتمد على خصائص الصورة التي نخزنها في مرحلة التعلم: اللون، الشكل، الدوران، المنطقة السفلية، المنطقة العليا.... الخ. وكذلك يتم التعرف على الصورة، تقسم الصورة إلى أجزاء وكل جزء يقارن الخصائص الموجودة فيه مع خصائص الصنف المخزن وهذا. الصعوبة هنا هي في اختيار مجموعة الخصائص لكل فئة وقواعد القرار في التعرف على النمط

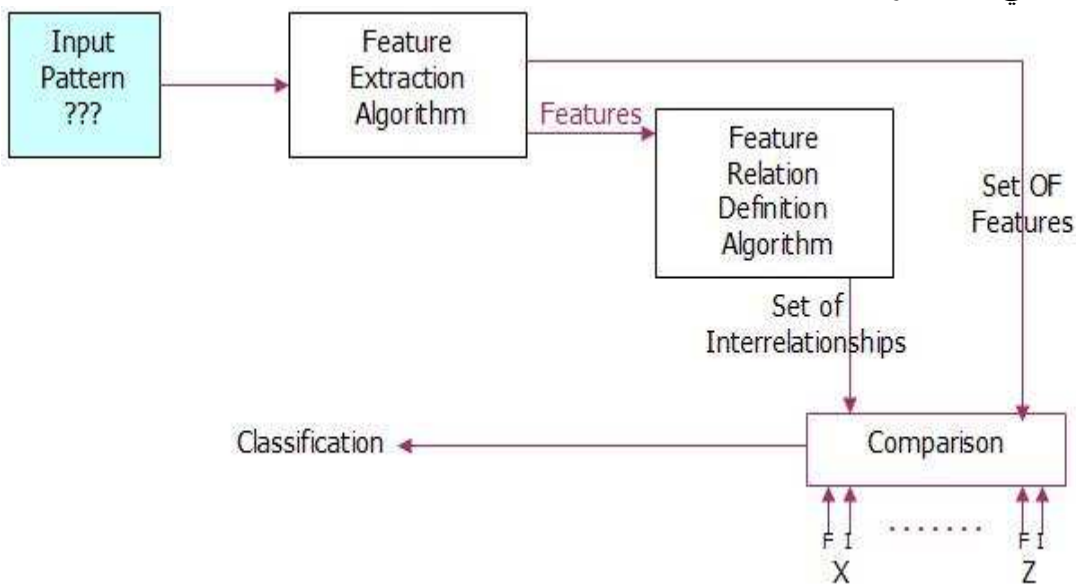
الطريقة الثالثة (Syntactic and Structural Approach)

في هذه الطريقة لا نكتفي فقط بالقيم الرقمية لخصائص كل صنف، ولكن نضيف عليها العلاقات البينية Interrelationships or Interconnection of Features بين هذه الخصائص في كل صنف والتي تتيح لنا معلومات هيكيلية ضرورية في التعرف على الأنماط. آخر الدراسات في هذا المجال توصلت إلى أن أقوى طريقة للتعرف على الأنماط هي Syntactic Statistic pattern recognition approach كطريقة واحدة تسمى Syntactic-Semantic approach. في مرحلة التعلم في هذه الطريقة يمثل النمط عادة كشجرة tree أو رسم بياني graph أو سلسلة حرفية string من العناصر الأولية primitives والعلاقات بينها relations



شكل(90): الطريقة الثالثة Syntactic and Structural Approach

وعملية اتخاذ القرار في مرحلة التعرف أو التصنيف هي عبارة عن عملية تحليل أو بمعنى آخر برنامج تعریف parsing procedure ، وأعلى نسبة مقارنة ناتجة من مقارنة الصورة المدخلة مع كل شجرة tree أو string على حسب التمثيل المعتمد في التطبيق) مخزنة تحدد الصنف الذي تنتهي إليه الصورة المدخلة! الشكل التالي يوضح عملية التصنيف في هذه الطريقة:

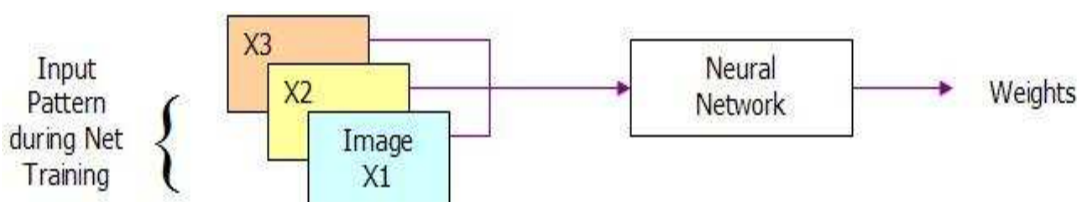


شكل(91): عملية التصنيف الطريقة الثالثة
Syntactic and Structural Approach

الطريقة الرابعة (Neural Networks Approach)

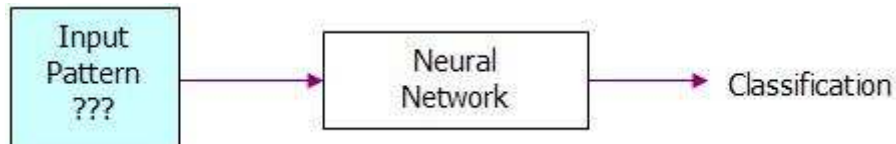
الشبكات العصبية علم قائم بحد ذاته اهتم به العلماء لسنوات عديدة بهدف الوصول إلى طريقة أشبه ما تكون بطريقة الإنسان في التعرف على الأنماط. ولا يسعنا شرح مفاهيم العلم في هذه الوهلة ولا بسلسلة دروس متكاملة، ولكن باختصار يقوم على استخدام المعالجة المتوازية للبيانات في وقت واحد، هذه المعالجة تتم في معالجات أو وحدات units أو طرفيات nodes وكلاهم بمعنى واحد. تتصل بعضها البعض عن طريق وصلات ذات أوزان weights والتي ضبطت أثناء عملية تدريب الشبكة.

وفي مجال تمييز الأنماط مجموعة من الصور patterns تدخل إلى الشبكة العصبية فتقوم الشبكة العصبية بضبط أوزانها طبقاً لميكانيزم معين وعمليات طويلة:



شكل(92): الطريقة الرابعة

بعد ذلك وفي مرحلة التصنيف يقدم للشبكة pattern وبناء على الأوزان فيها تقوم بتصنيف هذا النمط



شكل (93): التصنيف بالطريقة الرابعة

8-6 تشفير صورة باستخدام خوارزمية جديدة لتحديد وتشفي حواف ألوان الصورة:

إن مرحلة الحصول على بيانات الصورة وتحليلها أو تحويلها إلى الصيغة أو الشكل الذي من خلاله نستطيع تطبيق تتم من الآتي:

أ- تحليل الصورة وإجراء عملية مسح (SCANNING) لها للحصول على بيانات كل عنصر عرض في الصورة (Pixel) وعادة ما تكون موضوعه بالنظام العشري (Decimal) .

ب-نقوم بعملية تحويل صيغة بيانات الصورة من النظام العشري (Decimal System) إلى النظام الثنائي (Binary System) . حيث إن كل عنصر (Pixel) في الصورة يتم تحويله إلى 24 بت في النظام الثنائي ، وبما إن كل عنصر عرض يتكون من ثلاث ألوان أساسية مشتركة في تكوينه وهي الأحمر، الأخضر، الأزرق، (RGB) نظام ألوان .

فإن لكل لون من هذه الألوان يحجز 8 بิตات خاصة به وبالتالي فإن الشدة اللونية لكل لون سوف تتراوح ما بين 0_255 .

ج - يتم خزن بيانات الصورة لكل عنصر عرض (Pixel) تقوم بخزنها في مخزن وسطي (Buffer Image) وذلك لاستخدامه في المراحل اللاحقة . وجاء المعالجة البرمجي الخاص بهذه المرحلة هو :

```

for I:=0 to image1.picture.height-1 do
  for j:=0 to image1.picture.width-1 do
    begin
      z1:=image1.canvas.pixels[i,j];
      for k:=1 to 24 do
        begin
          if z1 mod 2=0 then
            begin
              if k <= 8 then
                r[i,j]:=r[i,j] +'0'
              else if (k <= 16) then
                g[i,j]:=g[i,j] +'0'
              else b[i,j]:=b[i,j] +'0';
            end
          else
            begin
              if k <= 8 then
                r[i,j]:=r[i,j] +'1'
              else if (k<=16) then
                g[i,j]:=g[i,j] +'1'
              else b[i,j]:=b[i,j] +'1';
            end;
        z1:=z1 div 2;
      end;
      s1:=r[i,j]+g[i,j]+b[i,j];
    end;
  
```

يمكن تشفير صورة معتمداً على تحديد حواف أي لون في الصورة وتحديد عدد الألوان الخاصة بالصورة ، بعدها يتم تحليل القيم المستخرجة لتحديد الحواف لكي يتم تشفيرها بخوارزمية تبديل الأعمدة المستخدمة من خلال معامل (Laplacian operator) .

1) يمكن استخدام عدد من المفاتيح للتشفير مثلا (24) مفتاح من مفاتيح التشفير ، ويمكن فك التشفير للصورة ذاتها حيث يمكنها التعامل مع كل أنواع الصور ومختلف أحجامها إذ تقوم الإلية المعتمدة على تحويل أي نوع من الصور المراد تشفيرها أو فك التشفير إلى الصور ذات الامتداد (BMP).

عملية المعالجة الخاصة بالتشفير ويمكن توضيحيها بالخطوات التالية :
أ- مرحلة المعالجة الابتدائية :

يتم في هذه الخطوة سحب بيانات كل عنصر عرض في الصورة وتحويله إلى مصفوفة ثنائية بأربعة صفوف وستة أعمدة (6*4) لأننا قلنا أن عدد المفاتيح 24 . والجزء البرمجي الخاص بهذه الخطوة :

```
W:=1;  
for f1:=1 to 4 do  
    for f2:=1 to 6 do  
        begin  
            h1[f1,f2]:=s1[w];  
            inc(w);  
        end;
```

ب- مرحلة المعالجة الوسطية :

تعتبر أهم مرحلة في المعالجة، إن الطريقة المتبعة هي عملية إبدال ما بين أعمدة أو صفوف هذه المصفوفة وبالتالي الحصول على خلطة لونية جديدة مختلفة تماماً عن الخلطة اللونية الخاصة بالصورة الأصلية وبالتالي فانه لا يمكن التعرف على هذه الصورة الجديدة .

يمكن توضيح عملية المعالجة هذه بالحالات الآتية :

1. إن المصفوفة الثنائية الخاصة بكل عنصر عرض في الصورة ذات حجم 6*4 فانه يمكن قراءتها بإحدى الحالتين:

- ◆ قراءتها بصيغة صف عمود
- ◆ قراءتها بصيغة عمود صف

وفي كلتا الحالتين فانه هناك نتيجة تشغيل مختلفة للصورة المشفرة الناتجة .

2. إجراء عملية الإبدال (Swapping) وتوجد حالتين هما:

- ◆ إبدال ما بين الأعمدة الخاصة بالمصفوفة
- ◆ إبدال ما بين الصفوف الخاصة بالمصفوفة

وفي كلتا الحالتين فانه يوجد عملية تشغيل مطبة تختلف نتائجها وكفاءتها في تطبيق النظام ، والجزء البرمجي الخاص بهذين الخطوتين :

```
for f1:=1 to 4 do  
    for f2:=1 to 6 do  
        hc1[f1,f2]:=h1[f1,strtoint(edit1.text[f2])];
```

ج - مرحلة المعالجة النهائية وإظهار النتائج :

عملية استرجاع البيانات بعد تشفيرها ووضعها في الصورة الجديدة المشفرة وتتم بالخطوات التالية :

(1) إعادة مصفوفة العنصر الثانية إلى مصفوفة أحادية والجزء البرمجي الخاص بها هو :

```
for f1:=1 to 4 do  
for f2:=1 to 6 do  
S2:=S2+hc1[f1,f2];
```

(2) تحويلها من النظام الثنائي إلى النظام العشري والجزء البرمجي الخاص بها هو :

```
for k:=1 to 24 do  
begin  
if s2[k]='1' then  
ss:=ss+p;  
p:=2*p;  
end;
```

(3) وضع هذه القيمة العشرية الجديدة لعنصر العرض في الجزء المخصص له في الصورة الجديدة(المشفرة) والجزء

البرمجي الخاص به هو :

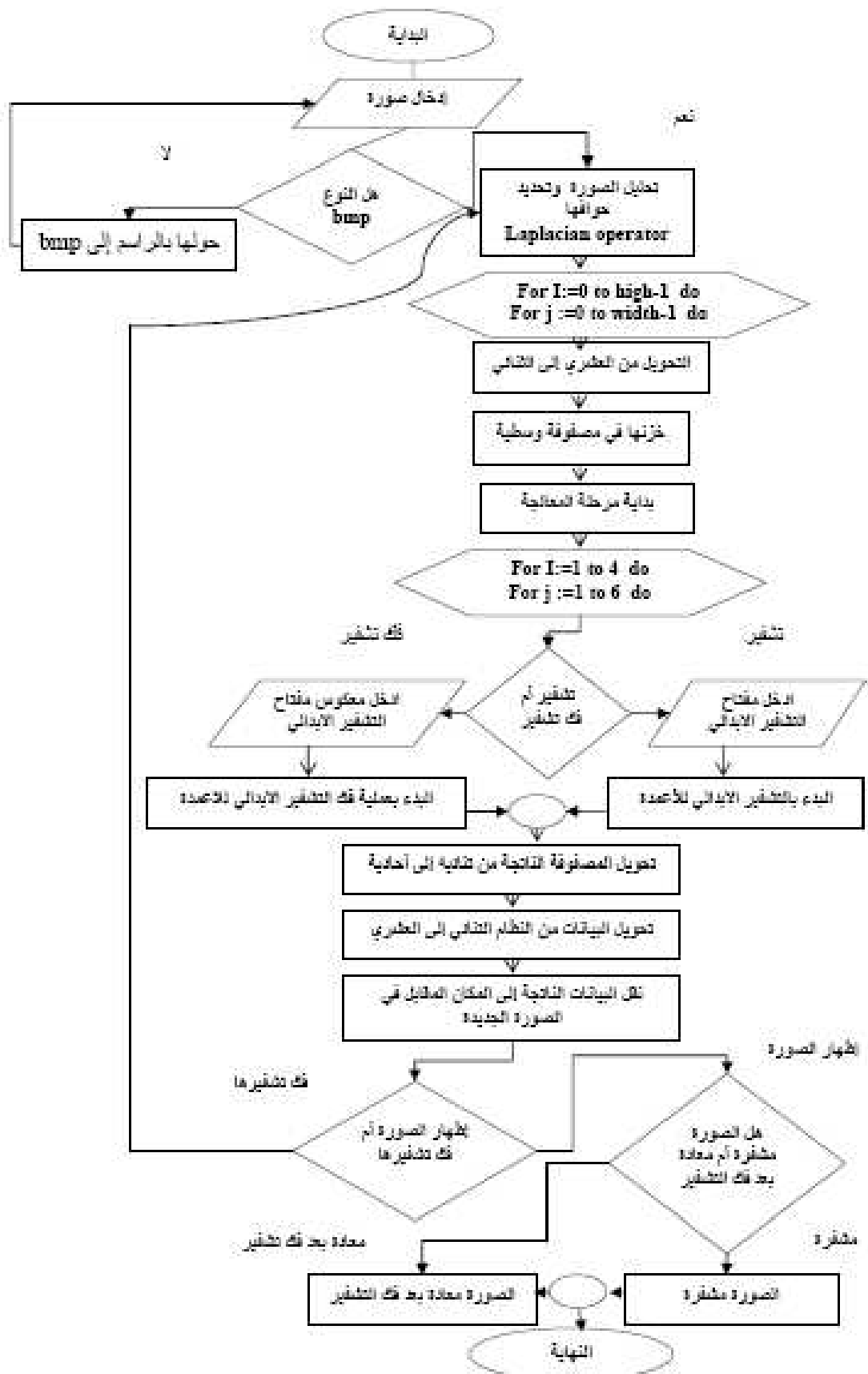
```
image2.canvas.pixels[i,j]:=ss;
```

إن مراحل تطبيق النظام التي تم توضيحها استخدمت في حالة إجراء عملية معالجة تشفير الصورة معينة بحجم معين لغرض إرسالها إلى الشخص معين عبر الانترنوت أو لحمايتها من الانتشار بين المتطفلين أو السرقة.

إن مراحل عملية فك التشفير لبيانات هذه الصورة واستعادة بياناتها الأصلية (الصورة المعادة بعد فك التشفير) هي نفسها مراحل النظام المتمثلة في

مرحلة تحليل الصورة

مرحلة معالجة الصورة (المعالجة الأولية ، المعالجة الوسطية ، المعالجة النهائية)



شكل (94):المخطط الانسيابي لتشفير صورة رقمية

٦-٩ تشفير الفونيمات الصوتية التوقفية والاحتاكية داخل صورة مشفرة:

إن تقسيم الفونيمات في اللغة العربية حسب طبيعة الأصوات المنتجة لها يكون معتمداً على طريقة نطقها من قبل المتكلم حيث تتأثر بطبيعة اللهجة الدارجة للمتكلم، لذلك فان استخراج الهيكل الفونيقي والصوتي للغة غالباً ما يكون متأثر باللهجة المحلية.

ومن المعروف إن تقسم إلى قسمين رئيسيين هما فونيمات اللين (المتحركة) (Vowels) والфонيمات الساكنة (Constants) فالأولى تمتاز باحتواها على منسوب طاقة صوتية عالي ويكون وضع المسار (المجرى الهوائي) الصوتي شبه مرتخي عند إخراج الأصوات ، أي تردداتها تكون واطئة في حين تمتاز الثانية بان منسوب الطاقة الصوتية قليل وتحصل انقباضات في مناطق مختلفة من المسار الصوتي عند الإخراج ، وبالتالي تكون ذات ترددات عالية والخصائص الصوتية تكون قليلة الوضوح والثبات ويختلف الوقت اللازم لإخراج الصوت الذي يسجل بالأمر الصوتي الزمني (Duration) والذي يؤثر فيه عدة عوامل أهمها سرعة الشخص المتكلم .

نوعية الصورة والфонيمات الصوتية المستخدمة

يتم تحويل الصورة المراد تطبيقها من أي نوع كانت إلى صورة نقطية (أي صورة ذات امتداد من نوع BMP .) وذلك لامكانيه التعامل المباشر مع محتويات هذا النوع من الصور حيث أنها لا تخضع لأي خوارزميات ضغط أو تشفير للبيانات الأصلية .

إما بالنسبة للملف الصوتي فقد استخدمت الفونيمات التوقفية (Phonemes of stopping) والfonيمات الاحتاكية (Phonemes of attrition) للأخوات المستخدمة علماً إن الجدول التالي يوضح موقع النطق الأفقية والعمودية الفونيمات المستخدمة من حيث جودة الصورة ونوع النطق .

جدول رقم (4): أنواع الفونيمات التوقفية والاحتاكية الصوتية في اللغة العربية

نوعية الأصوات		موقع النطق الأفقي								م
		شفوي	شفوي سني	بيسني	نطق	حنكي	حلقي	لهوي		
توقف	غير صوتي صوتي	ب			ط ت		ك	ق		
احتاك	غير صوتي صوتي		ف	ث ظ	د	ج	خ	غ		

الصور المطبقة لا تقتصر على حجم معين أو محدد حيث يمكن استعمال صورة بأي حجم كانت سواء صغيرة أو كبيرة ، إما بالنسبة لحجم الملف الصوتي فان الأمد الزمني (Duration) هو الذي يحدده حسب الكلمات المختارة المستخدمة والتي تحوي على الأصوات التوقفية والأصوات الاحتاكية .

ونستطيع تلخيصها بالعمليات الآتية :

أ- تحليل الصورة وإجراء عملية مسح (SCANNING) لها للحصول على بيانات كل عنصر عرض في الصورة (Pixel) وعادة ما تكون موضوعه بالنظام العشري (Decimal) .

ب- عملية تحويل صيغة بيانات الصورة من النظام العشري (Decimal System) إلى النظام الثنائي (Binary System) حيث إن كل عنصر (Pixel) في الصورة يتم تحويله إلى 24 بت في النظام الثنائي . وبما إن كل عنصر عرض يتكون من ثلاثة ألوان أساسية مشتركة في تكوينه وهي الأحمر، الأخضر، الأزرق (نظام ألوان RGB) ، فإن لكل لون من هذه الألوان يُحجز 8 بิตات خاصة به وبالنتيجة فإن الشدة اللونية لكل لون سوف تتراوح ما بين (0_0).

ج - بعد الحصول على بيانات الصورة نقوم بخزنها في مخزن وسطي (Buffer Image) وذلك لاستخدامه في المراحل اللاحقة . وجاء المعالجة البرمجي الخاص بهذه المرحلة هو :

```
for I:=0 to image1.picture.height-1 do
    for j:=0 to image1.picture.width-1 do
        begin
            z1:=image1.canvas.pixels[i,j];
            for k:=1 to 24 do
                begin
                    if z1 mod 2=0 then
                        begin
                            if k <= 8 then
                                r[i,j]:=r[i,j]+'\0'
                            else if (k <= 16) then
                                g[i,j]:=g[i,j]+'\0'
                            else b[i,j]:=b[i,j]+'\0';
                        end
                    else
                        begin
                            if k <= 8 then
                                r[i,j]:=r[i,j]+'\1'
                            else if (k<=16) then
                                g[i,j]:=g[i,j]+'\1'
                            else b[i,j]:=b[i,j]+'\1';
                        end;
                z1:=z1 div 2;
            end;
            s1:=r[i,j]+g[i,j]+b[i,j];
        end;
```

مثال //

حيث يتم تسجيل أصوات (16) متكلم (8) Male و (8) Female وبأعمار مختلفة ، وكل متكلم 8 كلمات ينطقتها تحتوي على الفونيمات الاحتكاكية والتوقفية والجدول (5) يبين الكلمات المنطقية وتفاصيلها .

جدول(5):الكلمات المحتوية على الفونيمات الاحتكاكية والتوقفية

الفهرس	الكلمة المنطقية	الملاحظات
1	جدك	تحتوي على صوتين توقفين مسموعين وصوت توقف غير مسموع
2	قط	تحتوي على صوتين توقفين غير مسموعين Un voice stop sounds
3	جد	تحتوي على صوتين توقفين مسموعين Voiced stop sounds
4	شخص	ثلاثة أصوات احتاكاكية غير مسموعة
5	صنع	صوتين احتاكاين مسموعين
6	فض	صوت احتاكاكي غير مسموع وصوت احتاكاكي مسموع
7	قفص	صوت توقف غير مسموع وصوتين احتاكاين مسموعين
8	سكب	صوت احتاكاكي غير مسموع وصوت توقف غير مسموع وصوت توقف مسموع

حيث يتم سحب بيانات الملف الصوتي من خلال المعاملات الخاصة بالصوت بعد تسجيجه وإضافته إلى بيانات الصورة الأصلية بعد تحويله إلى النظام الثنائي (Binary system) أيضاً حيث يتم دمج بيانات الملف الصوتي في نهاية الملف الخاص ببيانات الصورة ، والجدول(6) التالي يوضح قيم معاملات الكلمة(قفص) ينطقتها اثنين من المتكلمين مع معاملاتها .

الجدول(6) التالي يوضح قيم معاملات الكلمة(قفص) ينطقتها اثنين من المتكلمين مع معاملاتها .

اسم الفايل الصوتي		المعاملات
HI	HA	
68	63	عدد الكلل
1.6837188208714	1.5587301587314	الأمد الزمني
5.24296675192747	567.259489414091	التقطاع الصفرى
0.134057971014511	0.15217391309199	اكبر تقطاع صفرى
171.654874090915	203.796046223512	معدل التردد الأساسى
438.90161801911	538.168002302869	اكبر تردد أساسى
40.464424903181	117.22657992891	الطاقة
2.18937031118986	3.842195215932	الواسع

والمعاملات المستخرجة من الملف الصوتي هي :

1. نسبة الطاقة للزمن القصير:

تمثل طاقة الإشارة الصوتية التغير في وسع الصوت (Amplitude) الذي يعتبر من العوامل المهمة التي توضح خواص الأصوات المنطقية للمتكلم ، والمعادلة التالية توضح ذلك :

$$En = \sum_{m=0}^{N-1} [X(m) \cdot W(n+m)]^2 \quad \dots \dots \dots (66)$$

عندما :

N = تمثل إطار العينات

n = تمثل عدد الإطارات

$X(m)$ = تمثل إشارة الصوت لموقع (m)

$W(m)$ = تمثل النافذة المستخدمة

عدد العينات يتراوح من (100-200) عينة لكل إطار مع قسمة وقت تتراوح بين (10-20) ملي ثانية.

2. نسبة التقاطع الصفرى للزمن القصير:

والذي يحدث للتغير في الإشارة الصوتية خلال موجة الصوت للمحور الزمني الصوتي (يحدث التقاطع الصفرى للإشارة في كل مرة تعدي الموجة لمحور الزمن)، والمعادلة التالية توضح ذلك:

$$Zn = |\operatorname{sgn}[X(m)] - \operatorname{sgn}[X(m-1)]|w(n-m) \quad \dots \dots \dots (67)$$

$$\operatorname{Sgn}(X(n)) = \begin{cases} 1 & \text{for } X(n) > 0 \\ -1 & \text{for } X(n) < 0 \end{cases} \quad \dots \dots \dots (68)$$

عندما :

النقطاع الصفرى يحدث بين (n - $n-1$).

$$[X(n)] \# \operatorname{sing}[X(n-1)] \quad \dots \dots \dots (69)$$

فإذا كانت إشارة الصوت تمتلك تردد أساسى [F0] ومعدل عينات [Fs] فان :

$$Zcr = 2F0/Fs \quad \dots \dots \dots (70)$$

$$F0 = (Zcr * Fs) / 2 \quad \dots \dots \dots (71)$$

3. معدل وسع الزمن القصير :

تعكس طاقة الزمن القصير تغيرات الوعض للصوت وتعطي الخواص المعتمدة للمتكلم بصورة جيدة وتنتج التغيرات في طاقة الكلام بواسطة التغيرات في الضغط المزماري الجزئي وشكل المسار الصوتي والمعادلة التالية توضح ذلك:

$$Mn = \sum_m^{N-1} X(m) * W(n+m) \quad \dots \dots \dots (72).$$

إما النافذة المستخدمة في تحليل الصوت هي (Hamming Window):

$$W(n) = \begin{cases} 0.5 - 0.46 \cos(2\pi n / (N - 1)) & 0 \leq n \leq N - 1 \\ 0 & otherwise \end{cases} \dots\dots\dots (73)$$

مرحلة تشفير الملف الصوتي والصورة:

تم بالمرحلة التالية:

أ- مرحلة المعالجة الابتدائية : يتم في هذه الخطوة سحب بيانات كل عنصر عرض في الصورة وتحويله إلى مصفوفة ثنائية بأربعة صفوف وستة أعمدة (4*6) والحزء البرمجي الخاص بهذه الخطوة :

```

البرمجي الخاص بهذه الخطوة : W:=1;
for f1:=1 to 4 do
    for f2:=1 to 6 do
        begin
            h1[f1,f2]:=s1[w];
            inc(w);
        end;
    
```

بـ- مرحلة المعالجة الوسطية :

إن كفاءة النظام ونجاحه تعتمد على هذه المرحلة وقدرتها على تشفير بيانات الصورة ، حيث تتم عملية إبدال ما بين أعمدة أو صفوف هذه المصفوفة وبالتالي الحصول على خلطة لونية تختلف عما كانت عليه في الصورة الأصلية . وبالتالي فانه لا يمكن التعرف على هذه الصورة الجديدة ، يمكن توضيح عملية المعالجة هذه بالحالات الآتية .

١ تقرأ المصفوفة

بصيغة صف _ عمود 
بصيغة عمود صف 

2. إجراء عملية الإبدال (Swapping) :

إبدال ما بين الأعمدة الخاصة بالمصفوفة

إيدال ما بين الصفوف الخاصة بالمصفوفة

وفي كلتا الحالتين فإنه يوجد عملية تشفير مطبقة تختلف نتائجها وكفاءتها في تطبيق النظام ، والجزء البرمجي الخاص بهذين الخطوتين :

```
for f1:=1 to 4 do
    for f2:=1 to 6 do
        hc1[f1,f2]:=h1[f1,strtoint(edit1.text[f2])];
```

ج - مرحلة المعالجة النهائية وإظهار النتائج :

عملية استرجاع البيانات بعد تشفيرها ووضعها في الصورة الجديدة المشفرة وتتم بالخطوات التالية :

(1) إعادة مصفوفة العنصر الثنائي إلى مصفوفة أحادية والجزء البرمجي الخاص بها هو :

```
for f1:=1 to 4 do
    for f2:=1 to 6 do
        S2:=S2+hc1[f1,f2];
```

(2) تحويلها من النظام الثنائي إلى النظام العشري والجزء البرمجي الخاص بها هو :

```
for k:=1 to 24 do
begin
    if s2[k]='1' then
        ss:=ss+p;
        p:=2*p;
    end;
```

(3) وضع هذه القيمة العشرية الجديدة لعنصر العرض في الجزء المخصص له في الصورة الجديدة(المشفرة) ، والجزء البرمجي الخاص به هو :

```
image2.canvas.pixels[i,j]:=ss;
```

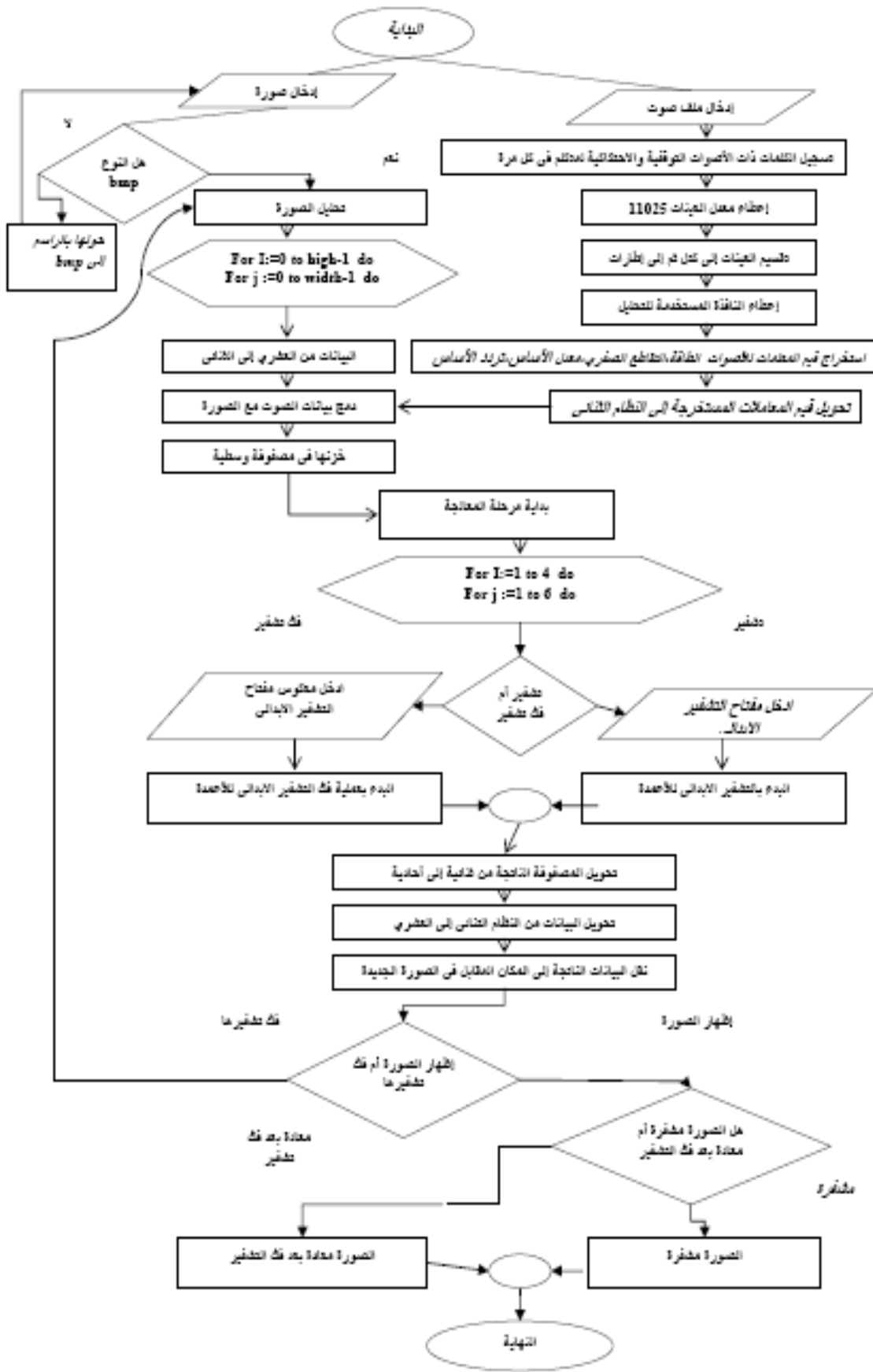
مرحلة فك تشفير الملف الصوتي والصورة:

تتمثل بالعمليات التالية :

◆ عملية تحليل الصورة

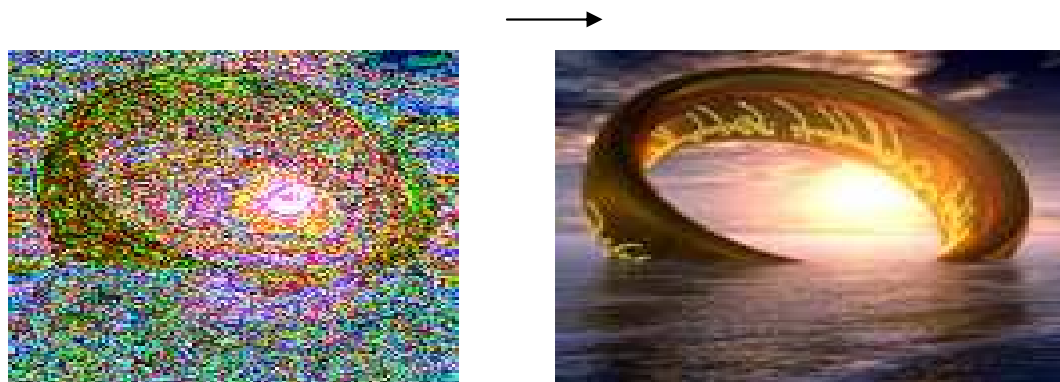
◆ عملية معالجة الصورة (المعالجة الأولية ، المعالجة الوسطية ، المعالجة النهائية) مع استخدام معكوس المفتاح الابداعي الخاص بالتشفيـر الذي سيـستخدم لفك التـشفـير والـذـي سنـوضـحـه لاحقا .

المخطط الانسيابي (95) التالي يوضح خطوات تطبيق النظام



شكل رقم (95) المخطط الانسيابي لتوسيع عمل تشفير ملف صوتي داخل صورة مشفرة

والشكل الاتي يوضح عملية التشفير وفك التشفير للنظام :



Cipher image
The key: 261534

Decipher image
The inverse of key:315642



Cipher image
The key: 416235

Decipher image
The inverse of key:245163

شكل رقم (96) يوضح عملية التشفير لملف صوتي داخل صورة بحجم (128*128) وباستخدام
عدة مفاتيح

جدول(4) يوضح القيم العشرية لعناصر الصورة اللونية لمقطع حجمه (10*10) من الصورة المستخدمة في مثال التطبيق .

pixels	Pix0	Pix1	Pix2	Pix3	Pix4	Pix5	Pix6	Pix7	Pix8	Pix9
Pix0	14929332	14929332	14929078	15060664	14994871	14863285	15060405	15126198	14994867	14994867
Pix1	14929587	14863539	14929078	14994871	14929078	14797492	15126198	14928819	14863281	15060660
Pix2	14929332	14863539	14929078	14994871	14994871	14929078	15060405	14928819	14994867	15126453
Pix3	14929332	14929332	14994871	15126457	15126457	15126711	14863026	15060405	15258039	15192246
Pix4	14863539	14929332	14994871	15060664	15126711	15126711	14928819	14994867	15192246	15258039
Pix5	14863539	14929332	14994871	14994871	14929332	14929332	15126453	14797488	14797488	15192759
Pix6	14863539	14929332	14995125	14929332	14863539	14863539	15192246	14929074	14732208	15061173
Pix7	14863539	14995125	15060918	14995125	14929332	14929332	15060660	15192759	15061173	14864308
Pix8	14797746	14995125	14863539	14995125	14995380	15192759	15061173	15192759	15324345	14930101
Pix9	14863539	14995125	14863539	14929332	14929587	15061173	15061173	14929587	15127480	14733237

جدول(5) يوضح القيم الثنائية المناظرة للقيم العشرية لعناصر الصورة اللونية في الجدول أعلاه.

pixel	Pix0	Pix1	Pix2	Pix3	Pix4	Pix5	Pix6	Pix7	Pix8	Pix9
Pix0	001011	001011	011011	000111	111011	101011	101011	011011	110011	110011
	011011	011011	010011	010111	011011	011101	011011	010111	011011	011011
	001111	001111	001111	001110	001100	001101	001110	001101	001100	001100
	000111	000111	000111	100111	100111	000111	100111	100111	100111	100111
Pix1	110011	110011	011011	111011	011011	001011	011011	110011	100011	001011
	010111	010011	010011	011011	010011	010101	010111	011101	011101	010111
	001111	001101	001111	001100	001111	001110	001101	001111	001101	001110
	000111	000111	000111	100111	000111	000111	100111	000111	000111	100111
Pix2	001011	110011	011011	111011	111011	011011	101011	110011	110011	101011
	011011	010011	010011	011011	011011	010011	011011	011101	011011	011111
	001111	001101	001111	001100	001100	001111	001110	001111	001100	001101
	000111	000111	000111	100111	100111	000111	100111	000111	100111	100111
Pix3	001011	001011	111011	100111	100111	111011	010011	101011	111011	011011
	011011	011011	011011	011111	011111	010000	010101	011011	011000	010000
	001111	001111	001100	001101	001101	101101	001101	001110	101100	101111
	000111	000111	100111	100111	100111	100111	000111	100111	010111	100111
Pix4	110011	001011	111011	000111	111011	111011	110011	110011	011011	111011
	010011	011011	011011	010111	010000	010000	011101	011011	010000	011000
	001101	001111	001100	001110	101101	101101	001111	001100	101111	101100
	000111	000111	100111	100111	100111	100111	000111	100111	100111	010111
Pix5	110011	001011	111011	111011	001011	001011	101011	000011	000011	111011
	010011	011011	011011	011011	011011	011011	011111	010101	010101	010100
	001101	001111	001100	001100	001111	001111	001101	001110	001110	101111
	000111	000111	100111	100111	000111	000111	100111	000111	000111	100111
Pix6	110011	001011	101011	001011	110011	110011	011011	010011	000011	101011
	010011	011011	010111	011011	010011	010011	010000	010011	011101	010000
	001101	001111	001100	001111	001101	001101	101111	001111	001100	101110
	000111	000111	100111	000111	000111	000111	100111	000111	000111	100111
Pix7	110011	101011	011011	101011	001011	001011	001011	111011	101011	001011
	010011	010111	011111	010111	011011	011011	010111	010100	010000	011111
	001101	001100	001110	001100	001111	001111	001110	101111	101110	001101
	000111	100111	100111	100111	000111	000111	100111	100111	100111	000111
Pix8	010011	101011	110011	101011	001011	111011	101011	111011	100111	101011
	011101	010111	010011	010111	011111	010100	010000	010100	010010	010000
	001110	001100	001101	001100	001100	101111	101110	101111	101110	101111
	000111	100111	000111	100111	100111	100111	100111	100111	010111	000111
Pix9	110011	101011	110011	001011	110011	101011	101011	110011	000111	101011
	010011	010111	010011	011011	010111	010000	010000	010111	011100	011111
	001101	001100	001101	001111	001111	101110	101110	001111	101101	001100
	000111	100111	000111	000111	000111	100111	100111	000111	100111	000111

الملحق

**جميع البرامج الخاصة
بمعالجة الصورة الرقمية**


```
#include<iostream.h>
#include<math.h>
#include<alloc.h>
#include<graphics.h>
#include<dos.h>
#include<stdio.h>
#include<conio.h>
#include<stdlib.h>
#include<fcntl.h>
#include<string.h>
#include<io.h>
#include<float.h>
typedef struct{
    char id[2];
    long filesize;
    int reseued[2];
    long headersize;
    long infosize;
    long width;
    long depth;
    int biplanes;
    int bits;
    long bicompression;
    long bisizeimage;
    long bixpelspermeter;
    long biypelspermeter;
    long biclrused;
    long biclriimportant;
}
bmphead;
/***************/
FILE *fp,*fn,*fd;
/***************/
int q,i=0,j=0,m,n,s,x1,y1;
int gdriver,gmode;
unsigned char far gr[100][100],a[100][100];
int mask[9]={0,1,0,1,5,1,0,1,0};
unsigned char color[256][3];
bmphead bmp;
///////////
int detectsvga(void)
{return 0;
```

```

}

void init_graph(void)
{int i;
gdriver=installuserdriver("svga256",detectsvga);
//gdriver=detect;
//gmode=4;
initgraph(&gdriver,&gmode,"");
for(i=0;i<255;i++)
setrgbpalette(i,color[i][2],color[i][1],color[i][0]);
}
///////////////
void main()
{clrscr();
char c1,c2,c3,c4;
char bmp_line[1024],file_name[25];
long lw,nw;
float n,x;
clrscr();
printf("enter file name to be loaded >>  ");
scanf("%s",file_name);
fp=fopen(file_name,"rb");
fread(&bmp,1,sizeof(bmphead),fp);

for(i=0;i< 255;++i)
{c1=fgetc(fp);
c1=c1>>2;
color[i][0]=c1;
c2=fgetc(fp);
c2=c2>>2;
color[i][1]=c2;
c3=fgetc(fp);
c3=c3>>2;
color[i][2]=c3;
fgetc(fp);
}

////////////array/of/image///////////
int x1,y1;
init_graph();
nw=4*((bmp.width+3)/4);
lw=(bmp.depth-1)*nw+1078;
for(i=0;i<=bmp.depth-1;i++)
{ fseek(fp,lw,0);
fread(bmp_line,nw,1,fp);
}

```

```

for(j=0;j<=bmp.width-1;j++)
{ gr[i][j]=bmp_line[j];
putpixel(j,i,bmp_line[j]);
}
lw=lw-nw;
}
int ii=0,int l;
int s=0;
for(i=0;i<99;i++)
for(j=0;j<99;j++)
{
for(int k=i;k<i+3;k++)
for(int l=j;l<j+3;l++)
{ if(ii==1||ii==3||ii==5||ii==7)
s=s+gr[k][l]*(0-mask[ii]);
else
s=s+gr[k][l]*mask[ii];
ii++;
}
a[i+1][j+1]=s;
s=0;
ii=0;
}
for(i=0;i<100;i++)
for(j=0;j<100;j++)
putpixel(j+100,i,a[i][j]);
fclose(fp);
//histogram();
getchar();
getchar();
getchar();
closegraph();
}
//return(0);
///////////////

```

برنامح لاستخدام العمليات التالية:

1-cut[1]
2-cut[2]
3-cut[3]
4-cut[4]
5-zoero order zooming
6-average zooming
7-first convolution
8-general zomming
9-add
10-sub
11-mult
12-div
13-and
14-or
15-not

Sol:

```
#include<iostream.h>
#include<math.h>
#include<alloc.h>
#include<graphics.h>
#include<dos.h>
#include<stdio.h>
#include<conio.h>
#include<stdlib.h>
#include<fcntl.h>
#include<string.h>
#include<io.h>
#include<float.h>
typedef struct{
    char id[2];
    long filesize;
    int reseued[2];
    long headersize;
    long infosize;
    long width;
    long depth;
    int biplanes;
    int bits;
    long bicompression;
    long bisizeimage;
    long bixpelspermeter;
```

```

long biypelspermeter;
long biclrused;
long biclriimportant;
}
bmphead;
/*************
FILE *fp,*fn,*fd,*ff;
/*************
int compute(int);
int q,i=0,j=0,m,n,s,x1,y1;
int gdriver,gmode;
unsigned char far gr[100][100],gr1[100][100];
unsigned char far a[100][100];
unsigned char far a1[100][200],a2[200][200];
unsigned char far n1[100][100];
unsigned char color[256][3];
unsigned char far b1[200][200];
unsigned char far b2[205][205];
unsigned char far b3[200][200];
float mask1[9]={0.25,0.5,0.25,0.5,1,0.5,0.25,0.5,0.25};
bmphead bmp;
float mask[3][3];
/*int k=0;
for(int ii=0;ii<3;ii++)
{for(int jj=0;jj<3;jj++)
mask[ii][jj]=mask1[k];k++;}*/
///////////
int detectsvga(void)
{return 0;
}
void init_graph(void)
{int i;
gdriver=installuserdriver("svga256",detectsvga);
//gdriver=detect;
//gmode=4;
initgraph(&gdriver,&gmode,"");
for(i=0;i<255;i++)
setrgbpalette(i,color[i][2],color[i][1],color[i][0]);
}
int compute(int x1)
{int x[9];
for(i=0;i<8;i++)
{x[i]=x1%2;
}
}

```

```

x1=x1/2;
}
for(i=0;i<8;i++)
{if(x[i]==0)
 x[i]=1 ;
if (x[i]==1)
 x[i]=0;
}
int s=0;
int j=7;
for(i=0;i<8;i++)
{int l=pow(2,j);
s=s+(l*x[i]);
j--;
}
return s;
}
///////////
void main()
{clrscr();
int no;
char c1,c2,c3,c4;
char bmp_line[1024],file_name[25],file_name1[25];
long lw,nw;
float n,x;
clrscr();
printf("enter file name to be loaded >>  ");
scanf("%s",file_name);
fp=fopen(file_name,"rb");
fread(&bmp,1,sizeof(bmphead),fp);

for(i=0;i< 255;++i)
{c1=fgetc(fp);
c1=c1>>2;
color[i][0]=c1;
c2=fgetc(fp);
c2=c2>>2;
color[i][1]=c2;
c3=fgetc(fp);
c3=c3>>2;
color[i][2]=c3;
fgetc(fp);
}

```

```

    printf("enter file name to be loaded >> ");
    scanf("%s",file_name1);
    cout<<"#####\n";
    cout<<"*****\n";
    cout<<"1-cut[1]\n";
    cout<<"2-cut[2]\n";
    cout<<"3-cut[3]\n";
    cout<<"4-cut[4]\n";
    cout<<"5-zoero order zooming\n";
    cout<<"6-average zooming\n";
    cout<<"7-first convolution\n";
    cout<<"8-general zomming\n";
    cout<<"9-add\n";
    cout<<"10-sub\n";
    cout<<"11-mult\n";
    cout<<"12-div\n";
    cout<<"13-and\n";
    cout<<"14-or\n";
    cout<<"15-not\n";
    cout<<"*****\n";
    cout<<"#####\n";
    cout<<"****inter yout selection**** ";
    cin>>no;
////////////////array/of/image///////////
void d();
{int r=99;
/*unsigned char far*/
cout<<r;
}
long int x1,y1;
init_graph();
nw=4*((bmp.width+3)/4);
lw=(bmp.depth-1)*nw+1078;
for(i=0;i<=bmp.depth-1;i++)
{ fseek(fp,lw,0);
fread(bmp_line,nw,1,fp);
for(j=0;j<=bmp.width-1;j++)
{ gr[i][j]=bmp_line[j];
putpixel(j,i,bmp_line[j]);
}
lw=lw-nw;
}
getchar();

```

```

switch(no)
{ case 1:
    for(i=0;i<50;i++)
    for(j=0;j<50;j++)
    { gr1[i][j]=gr[i][j];
      putpixel(j+110,i+100,gr1[i][j]);
    }break;
    /////////////////
    case 2:
    for(i=0;i<50;i++)
    for(j=50;j<=100;j++)
    { gr1[i][j]=gr[i][j];
      putpixel(j+110,i+100,gr1[i][j]);
    }break;
    /////////////////
    case 3:
    for(i=50;i<=100;i++)
    for(j=0;j<50;j++)
    { gr1[i][j]=gr[i][j];
      putpixel(j+110,i+100,gr1[i][j]);
    }break;
    /////////////////
    case 4:
    for(i=50;i<=100;i++)
    for(j=50;j<=100;j++)
    { gr1[i][j]=gr[i][j];
      putpixel(j+110,i+100,gr1[i][j]);
    }break;
    /////////////////
    case 5:
    {for(i=0;i<=bmp.depth;i++)
     {x1=0;
      for(j=0;j<=bmp.width;j++)
      {a1[i][x1]=gr[i][j];
       x1++;
       a1[i][x1]=gr[i][j];
       x1++;
      }
     for(i=0;i<=2*bmp.depth;i++)
     {y1=0;
      for(j=0;j<=bmp.width;j++)
      {a2[y1][i]=a1[j][i];
       y1++;
      }
     }
    }

```

```

a2[y1][i]=a1[j][i];
y1++;}
for(i=0;i<=2*bmp.depth;i++)
for(j=0;j<=2*bmp.width;j++)
putpixel(j+101,i,a2[i][j]);
}break;
///////////
case 6:
{for(i=0;i<=bmp.depth;i++)
{x1=0;
for(j=0;j<=bmp.width;j++)
{a1[i][x1]=gr[i][j];
x1++;
a1[i][x1]=(gr[i][j]+gr[i][j+1])/2;
x1++;
}
for(i=0;i<=2*bmp.depth;i++)
{y1=0;
for(j=0;j<=bmp.width;j++)
{a2[y1][i]=a1[j][i];
y1++;
a2[y1][i]=(a1[j][i]+a1[j+1][i])/2;
y1++;
}
for(i=0;i<=2*bmp.depth;i++)
for(j=0;j<=2*bmp.width;j++)
putpixel(j+101,i,a2[i][j]);
}break;
///////////
case 7:
{int ii=0;

for(i=0;i<100;i++)
{for(j=0;j<100;j++)
b1[ii][j]=0;
ii++;
for(j=0;j<100;j++)
b1[ii][j]=gr[i][j];
ii++;
}
for(j=0;j<100;j++)
b1[ii][j];
int jj=0;
for(j=0;j<100;j++)

```

```

{for(i=0;i<201;i++)
b2[i][jj]=0;
jj++;
for(j=0;j<201;j++)
b2[i][jj]=b1[i][j];
jj++;
}
ii=0;
int s=0,int k,l;
for(i=0;i<199;i++)
for(j=0;j<199;j++)
{for(k=i;k<i+3;k++)
for(l=j;l<j+3;l++)
{s=s+(b2[k][l]*mask1[ii]);
i++;
}
b3[i][j]=s;
ii=0; s=0;
}
for(i=0;i<199;i++)
for(j=0;j<199;j++)
putpixel(j+150,i,b3[i][j]);
}break;
///////////////
case 15:
{for(i=0;i<100;i++)
for(j=0;j<100;j++)
{int l=compute(gr[i][j]);
n1[i][j]=l;
putpixel(j+100,i,n1[i][j]);
}
}
fclose(fp);
ff=fopen(file_name1,"rb");
fread(&bmp,1,sizeof(bmphead),ff);

for(i=0;i< 255;++i)
{c1=fgetc(ff);
c1=c1>>2;
color[i][0]=c1;
c2=fgetc(ff);
c2=c2>>2;
color[i][1]=c2;

```

```

c3=fgetc(ff);
c3=c3>>2;
color[i][2]=c3;
fgetc(ff);
}
nw=4*((bmp.width+3)/4);
lw=(bmp.depth-1)*nw+1078;
for(i=0;i<=bmp.depth-1;i++)
{ fseek(ff,lw,0);
fread(bmp_line,nw,1,ff);
for(j=0;j<=bmp.width-1;j++)
{ a[i][j]=bmp_line[j];
putpixel(j,i,bmp_line[j]);
}
lw=lw-nw;
}
//histogram();
getchar();
getchar();
closegraph();
}
//return(0);

```

برنامج لاستخدام وتحليل قيم الصورة : histogram

```

#include<iostream.h>
#include<math.h>
#include<alloc.h>
#include<graphics.h>
#include<dos.h>
#include<stdio.h>
#include<conio.h>
#include<stdlib.h>
#include<fcntl.h>
#include<string.h>
#include<io.h>
#include<float.h>
typedef struct{
char id[2];
long filesize;
int reseued[2];
long headersize;
long infosize;

```

```

long width;
long depth;
int biplanes;
int bits;
long bicompression;
long bisizeimage;
long bixpelspermeter;
long biypelspermeter;
long biclrused;
long biclriimportant;
}
bmphead;
/*************
FILE *fp,*fn,*fd,*ff;
/*************/

int q,i=0,j=0,m,n,s,x1,y1;
int gdriver,gmode;
unsigned char far gr[100][100],gr1[100][100];
unsigned char far gr2[100][100];
unsigned char color[256][3];
bmphead bmp;
///////////
int detectsvga(void)
{return 0;
}
void init_graph(void)
{int i;
gdriver=installuserdriver("svga256",detectsvga);
//gdriver=detect;
//gmode=4;
initgraph(&gdriver,&gmode,"");
for(i=0;i<255;i++)
setrgbpalette(i,color[i][2],color[i][1],color[i][0]);
}
///////////
void main()
{clrscr();
char c1,c2,c3,c4,c;
char bmp_line[1024],file_name[25],file_name1[25];
long lw,nw;
float n,x;
clrscr();
printf("enter file name to be loaded >>  ");

```

```

scanf("%s",file_name);
fp=fopen(file_name,"rb");
fread(&bmp,1,sizeof(bmphead),fp);
for(i=0;i< 255;++i)
{c1=fgetc(fp);
c1=c1>>2;
color[i][0]=c1;
c2=fgetc(fp);
c2=c2>>2;
color[i][1]=c2;
c3=fgetc(fp);
c3=c3>>2;
color[i][2]=c3;
fgetc(fp);
}
printf("enter another file name to be loaded >>    ");
scanf("%s",file_name1);
int x1,y1;
init_graph();
nw=4*((bmp.width+3)/4);
lw=(bmp.depth-1)*nw+1078;
for(i=0;i<=bmp.depth-1;i++)
{ fseek(fp,lw,0);
fread(bmp_line,nw,1,fp);
for(j=0;j<=bmp.width-1;j++)
{ gr[i][j]=bmp_line[j];
putpixel(j,i,bmp_line[j]);
}
lw=lw-nw;
}
fclose(fp);
////////////array/of/image///////////
getchar();
getchar();
ff=fopen(file_name1,"rb");
fread(&bmp,1,sizeof(bmphead),ff);
for(i=0;i< 255;++i)
{c1=fgetc(ff);
c1=c1>>2;
color[i][0]=c1;
c2=fgetc(ff);
c2=c2>>2;

```

```

color[i][1]=c2;
c3=fgetc(ff);
c3=c3>>2;
color[i][2]=c3;
fgetc(ff);
}
nw=4*((bmp.width+3)/4);
lw=(bmp.depth-1)*nw+1078;
for(i=0;i<=bmp.depth-1;i++)
{ fseek(ff,lw,0);
fread(bmp_line,nw,1,ff);
for(j=0;j<=bmp.width-1;j++)
{ gr1[i][j]=bmp_line[j];
putpixel(j+100,i,bmp_line[j]);
}
lw=lw-nw;
}
fclose(ff);
//histogram();
getchar();
getchar();
getchar();
closegraph();
}
//return(0);
///////////

```

برنامج لايجاد فلتر الوسيط median

```

#include<iostream.h>
#include<math.h>
#include<alloc.h>
#include<graphics.h>
#include<dos.h>
#include<stdio.h>
#include<conio.h>
#include<stdlib.h>
#include<fcntl.h>
#include<string.h>
#include<io.h>
#include<float.h>
typedef struct{
char id[2];

```

```

long filesize;
int reseued[2];
long headersize;
long infosize;
long width;
long depth;
int biplanes;
int bits;
long bicompression;
long bisizeimage;
long bixpelspermeter;
long biypelspermeter;
long biclrused;
long biclriimportant;
}
bmphead;
/*************
FILE *fp,*fn,*fd;
/*************
int q,i=0,j=0,m,n,s,x1,y1;
int gdriver,gmode;
unsigned char far gr[100][100],a[100][100];
unsigned char ss[9];
unsigned char color[256][3];
bmphead bmp;
///////////
int detectsvga(void)
{return 0;
}
void init_graph(void)
{int i;
gdriver=installuserdriver("svga256",detectsvga);
//gdriver=detect;
//gmode=4;
initgraph(&gdriver,&gmode,"");
for(i=0;i<255;i++)
setrgbpalette(i,color[i][2],color[i][1],color[i][0]);
}
///////////
void main()
{clrscr();
char c1,c2,c3,c4;
char bmp_line[1024],file_name[25];

```

```

long lw,nw;
float n,x;
clrscr();
printf("enter file name to be loaded >>  ");
scanf("%s",file_name);
fp=fopen(file_name,"rb");
fread(&bmp,1,sizeof(bmphead),fp);

for(i=0;i< 255;++i)
{c1=fgetc(fp);
 c1=c1>>2;
 color[i][0]=c1;
 c2=fgetc(fp);
 c2=c2>>2;
 color[i][1]=c2;
 c3=fgetc(fp);
 c3=c3>>2;
 color[i][2]=c3;
 fgetc(fp);
}
////////////////array/of/image///////////////////
int x1,y1;
init_graph();
nw=4*((bmp.width+3)/4);
lw=(bmp.depth-1)*nw+1078;
for(i=0;i<=bmp.depth-1;i++)
{ fseek(fp,lw,0);
 fread(bmp_line,nw,1,fp);
 for(j=0;j<=bmp.width-1;j++)
 { gr[i][j]=bmp_line[j];
 putpixel(j,i,bmp_line[j]);
 }
 lw=lw-nw;
}
int l,s;
for(i=0;i<99;i++)
for(j=0;j<99;j++)
{ int x=0;
for(int k=i;k<i+3;k++)
for(int l=j;l<j+3;l++)
{ ss[x]=gr[k][l];
x++;
}
}

```

```

for(int t1=0;t1<8;t1++)
{ for(int t2=t1+1;t2<9;t2++)
{ if(ss[t1]>ss[t2])
{ int o=ss[t1];
ss[t1]=ss[t2];
ss[t2]=o;
}
}
s=ss[4];
a[i][j]=s;
}
for(i=0;i<100;i++)
for(j=0;j<100;j++)
putpixel(j+110,i,a[i][j]);
fclose(fp);
//histogram();
getchar();
getchar();
getchar();
closegraph();
}
//return(0);
///////////////

```

برنامه لایجاد Recorce

```

#include<iostream.h>
#include<math.h>
#include<alloc.h>
#include<graphics.h>
#include<dos.h>
#include<stdio.h>
#include<conio.h>
#include<stdlib.h>
#include<fcntl.h>
#include<string.h>
#include<io.h>
#include<float.h>
typedef struct{
char id[2];
long filesize;
int reseued[2];
long headersize;

```

```

long infosize;
long width;
long depth;
int biplanes;
int bits;
long bicompression;
long bisizeimage;
long bixpelspermeter;
long biypelspermeter;
long biclrused;
long biclriimportant;
}
bmphead;
/*************
FILE *fp,*fn,*fd;
/*************
int q,i=0,j=0,m,n,s,x1,y1;
int gdriver,gmode;
unsigned char far gr[100][100],a[100][100];
unsigned char color[256][3];
bmphead bmp;
///////////
int detectsvga(void)
{return 0;
}
void init_graph(void)
{int i;
gdriver=installuserdriver("svga256",detectsvga);
//gdriver=detect;
//gmode=4;
initgraph(&gdriver,&gmode,"");
for(i=0;i<255;i++)
setrgbpalette(i,color[i][2],color[i][1],color[i][0]);
}
///////////
void main()
{clrscr();
char c1,c2,c3,c4;
char bmp_line[1024],file_name[25];
long lw,nw;
float n,x;
clrscr();
printf("enter file name to be loaded >> ");

```

```

scanf("%s",file_name);
fp=fopen(file_name,"rb");
fread(&bmp,1,sizeof(bmphead),fp);

for(i=0;i< 255;++i)
{c1=fgetc(fp);
c1=c1>>2;
color[i][0]=c1;
c2=fgetc(fp);
c2=c2>>2;
color[i][1]=c2;
c3=fgetc(fp);
c3=c3>>2;
color[i][2]=c3;
fgetc(fp);
}

////////////array/of/image///////////
void d();
{int r=99;
cout<<r;
}
int x1,y1;
init_graph();
nw=4*((bmp.width+3)/4);
lw=(bmp.depth-1)*nw+1078;
for(i=0;i<=bmp.depth-1;i++)
{ fseek(fp,lw,0);
fread(bmp_line,nw,1,fp);
for(j=0;j<=bmp.width-1;j++)
{ gr[i][j]=bmp_line[j];
putpixel(j,i,bmp_line[j]);
}
lw=lw-nw;
}
fclose(fp);
//histogram();
getchar();
getchar();
getchar();
closegraph();
}
//return(0);
///////////////////////////////

```

برنامه لاستخدام Robert filter

```
#include<math.h>
#include<iostream.h>
#include<math.h>
#include<alloc.h>
#include<graphics.h>
#include<dos.h>
#include<stdio.h>
#include<conio.h>
#include<stdlib.h>
#include<fcntl.h>
#include<string.h>
#include<io.h>
#include<float.h>
typedef struct{
    char id[2];
    long filesize;
    int reseued[2];
    long headersize;
    long infosize;
    long width;
    long depth;
    int biplanes;
    int bits;
    long bicompression;
    long bisizeimage;
    long bixpelspermeter;
    long biypelspermeter;
    long biclrused;
    long biclriimportant;
}
bmphead;
/*************
FILE *fp,*fn,*fd;
/*************
int q,i=0,j=0,m,n,s,x1,y1;
int gdriver,gmode;
unsigned char far gr[100][100],a[100][100];
int z[4];
unsigned char color[256][3];
bmphead bmp;
//////////
```

```

int detectsvga(void)
{return 0;
}
void init_graph(void)
{int i;
gdriver=installuserdriver("svga256",detectsvga);
//gdriver=detect;
//gmode=4;
initgraph(&gdriver,&gmode,"");
for(i=0;i<255;i++)
setrgbpalette(i,color[i][2],color[i][1],color[i][0]);
}
///////////////
void main()
{clrscr();
char c1,c2,c3,c4;
char bmp_line[1024],file_name[25];
long lw,nw;
float n,x;
clrscr();
printf("enter file name to be loaded >>  ");
scanf("%s",file_name);
fp=fopen(file_name,"rb");
fread(&bmp,1,sizeof(bmphead),fp);

for(i=0;i< 255;++i)
{c1=fgetc(fp);
c1=c1>>2;
color[i][0]=c1;
c2=fgetc(fp);
c2=c2>>2;
color[i][1]=c2;
c3=fgetc(fp);
c3=c3>>2;
color[i][2]=c3;
fgetc(fp);
}

////////////array/of/image///////////
int x1,y1;
init_graph();
nw=4*((bmp.width+3)/4);
lw=(bmp.depth-1)*nw+1078;
for(i=0;i<=bmp.depth-1;i++)

```

```

{ fseek(fp,lw,0);
fread(bmp_line,nw,1,fp);
for(j=0;j<=bmp.width-1;j++)
{ gr[i][j]=bmp_line[j];
putpixel(j,i,bmp_line[j]);
}
lw=lw-nw;
}

```

```

int l;
int ss=0;
for(i=0;i<99;i++)
for(j=0;j<99;j++)
{ int x=0;
for(int k=i;k<i+2;k++)
for(int l=j;l<j+2;l++)
{ z[x]=gr[k][l];
x++;
}
int s1=(z[2]-z[1])*(z[2]-z[1]);
int s2=(z[3]-z[0])*(z[3]-z[0]);
ss=sqrt(s1+s2);
a[i+1][j+1]=ss;
ss=0;
}
for(i=0;i<100;i++)
for(j=0;j<100;j++)
putpixel(j+110,i,a[i][j]);
getchar();
getchar();
getchar();
fclose(fp);
//histogram();
getchar();
getchar();
getchar();
closegraph();
}
//return(0);

```

```
///////////
```

برنامه لاستخدام : Robinson filter

```
#include<iostream.h>
#include<alloc.h>
#include<graphics.h>
#include<dos.h>
#include<stdio.h>
#include<conio.h>
#include<stdlib.h>
#include<fcntl.h>
#include<string.h>
#include<io.h>
#include<float.h>
typedef struct{
    char id[2];
    long filesize;
    int reseued[2];
    long headersize;
    long infosize;
    long width;
    long depth;
    int biplanes;
    int bits;
    long bicompression;
    long bisizeimage;
    long bixpelspermeter;
    long biypelspermeter;
    long biclrused;
    long biclriimportant;
}
bmphead;
/***************/
FILE *fp,*fn,*fd;
/***************/
int q,i=0,j=0,m,n,x1,y1;
int gdriver,gmode;
int s;
unsigned char far gr[100][100],a[100][100];
int mask0[9]={-1,0,1,-2,0,2,-1,0,1};
int mask1[9]={0,1,2,-1,0,1,-2,-1,0};
int mask2[9]={1,2,1,0,0,0,-1,-2,-1};
int mask3[9]={2,1,0,1,0,-1,0,-1,-2};
int mask4[9]={1,0,-1,2,0,-2,1,0,-1};
```

```

int mask5[9]={0,-1,-2,1,0,-1,2,1,0};
int mask6[9]={-1,-2,-1,0,0,0,1,2,1};
int mask7[9]={-2,-1,0,-1,0,1,0,1,2};
int max[8];
unsigned char color[256][3];
bmphead bmp;
///////////////
int detectsvga(void)
{return 0;
}
void init_graph(void)
{int i;
gdriver=installuserdriver("svga256",detectsvga);
//gdriver=detect;
//gmode=4;
initgraph(&gdriver,&gmode,"");
for(i=0;i<255;i++)
setrgbpalette(i,color[i][2],color[i][1],color[i][0]);
}
///////////////
void main()
{clrscr();
char c1,c2,c3,c4;
char bmp_line[1024],file_name[25];
long lw,nw;
float n,x;
clrscr();
printf("enter file name to be loaded >>  ");
scanf("%s",file_name);
fp=fopen(file_name,"rb");
fread(&bmp,1,sizeof(bmphead),fp);

for(i=0;i< 255;++i)
{c1=fgetc(fp);
c1=c1>>2;
color[i][0]=c1;
c2=fgetc(fp);
c2=c2>>2;
color[i][1]=c2;
c3=fgetc(fp);
c3=c3>>2;
color[i][2]=c3;
fgetc(fp);
}

```

```

        }
//////////array/of/image///////////
int x1,y1;
int s0,s1,s2,s3,s4,s5,s6,s7;
init_graph();
nw=4*((bmp.width+3)/4);
lw=(bmp.depth-1)*nw+1078;
for(i=0;i<=bmp.depth-1;i++)
{
fseek(fp,lw,0);
fread(bmp_line,nw,1,fp);
for(j=0;j<=bmp.width-1;j++)
{ gr[i][j]=bmp_line[j];
putpixel(j,i,bmp_line[j]);
}
lw=lw-nw;
}
s0=0;s1=0;s2=0;s3=0;s4=0;s5=0;s6=0;s7=0;
int z=0;
for(i=0;i<99;i++)
for(j=0;j<99;j++)
{
for(int k=i;k<i+3;k++)
for(int l=j;l<j+3;l++)
{
s0=s0+(gr[k][l]*mask0[z]);
s1=s1+(gr[k][l]*mask1[z]);
s2=s2+(gr[k][l]*mask2[z]);
s3=s3+(gr[k][l]*mask3[z]);
s4=s4+(gr[k][l]*mask4[z]);
s5=s5+(gr[k][l]*mask5[z]);
s6=s6+(gr[k][l]*mask6[z]);
s7=s7+(gr[k][l]*mask7[z]);
z++;
}
max[0]=s0;
max[1]=s1;
max[2]=s2;
max[3]=s3;
max[4]=s4;
max[5]=s5;
max[6]=s6;
max[7]=s7;
x=0;
}

```

```

for(int t=0;t<8;t++)
{if(max[t]>=x)
x=max[t];
a[i+1][j+1]=x;
z=0;
s0=0; s1=0;
s2=0; s3=0; s4=0; s5=0;
s6=0; s7=0;
}
for(i=0;i<100;i++)
for(j=0;j<100;j++)
putpixel(j+110,i,a[i][j]);
fclose(fp);
//histogram();
getchar();
getchar();
getchar();
closegraph();
}
//return(0);
///////////////

```

برنامج لاستخدام العمليات المنطقية وفلاتر الترشيح

```

#include<math.h>
#include<iostream.h>
#include<math.h>
#include<alloc.h>
#include<graphics.h>
#include<dos.h>
#include<stdio.h>
#include<conio.h>
#include<stdlib.h>
#include<fcntl.h>
#include<string.h>
#include<io.h>
#include<float.h>
typedef struct{
char id[2];
long filesize;
int reseued[2];

```

```

long headersize;
long infosize;
long width;
long depth;
int biplanes;
int bits;
long bicompression;
long bisizeimage;
long bixpelspermeter;
long biypelspermeter;
long biclrused;
long biclriimportant;
}
bmphead;
/*****************/
FILE *fp,*fn,*fd;
/*****************/
int q,l,t,z,i=0,j=0,m,n,s,x1,y1;
int gdriver,gmode;
unsigned char far gr[100][100],gr1[1600],gr3[12800];
unsigned char far g1[100],gr4[200][200],g2[255];
unsigned char far a[100][100];
unsigned char far b1[100][100];
unsigned char far x2[10];
unsigned char far gr2[100];
unsigned char far g3[100];
unsigned char far z1[4];
int f0[9]={-3,-3,5,-3,0,5,-3,-3,5};
int f1[9]={-3,5,5,-3,0,5,-3,-3,-3};
int f2[9]={5,5,5,-3,0,-3,-3,-3,-3};
int f3[9]={5,5,-3,5,0,-3,-3,-3,-3};
int f4[9]={5,-3,-3,5,0,-3,5,-3,-3};
int f5[9]={-3,-3,-3,5,0,-3,5,5,-3};
int f6[9]={-3,-3,-3,-3,0,-3,5,5,5};
int f7[9]={-3,-3,-3,-3,0,5,-3,5,5};
unsigned char ss[9];
float mask1[9]={0.1,0.1,0.1,0.1,0.1,0.1,0.1,0.1,0.1};
int mask[9]={0,1,0,1,5,1,0,1,0};
int mask11[9]={(-2,-1),(0,0),(1,2,1)};
int mask12[9]={(-1,-2,-1),(0,0,0),(1,2,1)};
int n1[9]={(-1,-1,-1),(0,0,0),(1,1,1)};
int n2[9]={(-1,-1,-1),(0,0,0),(1,1,1)};
int l7[9]={-2,-1,0,-1,0,1,2};

```

```

int l0[9]={-1,0,1,-2,0,2,-1,0,1};
int l1[9]={0,1,2,-1,0,1,-2,-1,0};
int l2[9]={1,2,1,0,0,0,-1,-2,-1};
int l3[9]={2,1,0,1,0,-1,0,-1,-2};
int l4[9]={1,0,-1,2,0,-2,1,0,-1};
int l5[9]={0,-1,-2,1,0,-1,2,1,0};
int l6[9]={-1,-2,-1,0,0,0,1,2,1};
int max[8];
unsigned char color[256][3];
bmphead bmp;
///////////////
int detectsvga(void)
{return 0;
}
void init_graph(void)
{int i;
gdriver=installuserdriver("svga256",detectsvga);
//gdriver=detect;
//gmode=4;
initgraph(&gdriver,&gmode,"");
for(i=0;i<255;i++)

setrgbpalette(i,color[i][2],color[i][1],color[i][0]);
}
///////////////
void pro();

void main()
{clrscr();
char c1,c2,c3,c4;
char bmp_line[1024],file_name[25];
long lw,nw;
float n,x;
clrscr();
printf("enter file name to be loaded >>  ");
scanf("%s",file_name);
fp=fopen(file_name,"rb");
fread(&bmp,1,sizeof(bmphead),fp);

for(i=0;i< 255;++i)
{c1=fgetc(fp);
c1=c1>>2;
color[i][0]=c1;
}

```

```

c2=fgetc(fp);
c2=c2>>2;
color[i][1]=c2;
c3=fgetc(fp);
c3=c3>>2;
color[i][2]=c3;
fgetc(fp);
}
cout<<"\n";
cout<<"*1..or"<<"\n"<<"\n";
cout<<"*2..not"<<"\n"<<"\n";
cout<<"*3..and"<<"\n"<<"\n";
cout<<"*4..meanfilter"<<"\n"<<"\n";
cout<<"*5..medainfilter"<<"\n";
cout<<"*6..enhancment"<<"\n";
cout<<"*7..robert"<<"\n";
cout<<"*8..sobel"<<"\n";
cout<<"*9..prewit"<<"\n";
cout<<"*10..robinson"<<"\n";
cout<<"*11..kirsch"<<"\n";
cout<<"*12..histogram"<<"\n";
cout<<"*13*..proparity"<<"\n";
cout<<"*13*..standard deviation\n";
cout<<"14:mean***** enter your
select*****" <<"\n";
int no;
cin>>no;

//////////array/of/image///////////
int x1,y1;
init_graph();
nw=4*((bmp.width+3)/4);
lw=(bmp.depth-1)*nw+1078;
for(i=0;i<=bmp.depth-1;i++)
{
fseek(fp,lw,0);
fread(bmp_line,nw,1,fp);
for(j=0;j<=bmp.width-1;j++)
{
gr[i][j]=bmp_line[j];
putpixel(j,i,bmp_line[j]);
}
lw=lw-nw;
}
fclose(fp);

```

```

getchar();
getchar();
///////////
switch (no)
{case 1:
{
for(int i=0;i<100;i++)
for(j=0;j<100;j++)
    a[i][j]=254;
for(i=0;i<30;i++)
for(j=0;j<30;j++)
    a[i][j]=0;
for(i=0;i<100;i++)
for(j=0;j<100;j++)
    putpixel(j+100,i,a[i][j]);
for(i=0;i<100;i++)
for(j=0;j<100;j++)
{int t=gr[i][j];
int t1=a[i][j];
for(int i2=7;i2>=0;i2--)
{g1[i2]=t%2;
t=t/2;
gr2[i2]=t1%2;
t1=t1/2;
}
for(int l=0;l<8;l++)
    gr3[l]=g1[l]|gr2[l];
int c=2; z=7;l=0;int i1=0;
for(int j1=0;j1<8;j1++)
{int t2=pow(c,z);z=z-1;
x2[j1]=t2*gr3[i1];
l=l+x2[j1];i1=i1+1;
}
if (l>254)
    l=254;
b1[i][j]= l;
}
getchar();
for(i=0;i<100;i++)
for(j=0;j<100;j++)
    putpixel(j+110,i+110,b1[i][j]);
getchar();
getchar();

```

```

}break;
///////////////////////////////
case 2:
{ for(i=0;i<bmp.depth;i++)
  for(j=0;j<bmp.width;j++)
  { int t=gr[i][j];
    for(int i2=7;i2>=0;i2--)
    { gr2[i2]=t%2;
      t=t/2;
    }
    for(int l=0;l<8;l++)
    { if(gr2[l]==0)
      gr2[l]=1 ;
      else
      gr2[l]=0;
    }
    int c=2;
    int z=7;l=0;int i1=0;
    for(int j1=0;j1<8;j1++)
    { int t2=pow(c,z);z=z-1;
      gr1[j1]=t2*gr2[i1];
      l=l+gr1[j1];i1=i1+1;
    }
    if (l>255)
      l=255;
    gr4[i][j]=l;
  }
  for(i=0;i<bmp.depth;i++)
  for(j=0;j<bmp.width;j++)
    putpixel(j+100,i+100,gr4[i][j]);
  }
  getchar();
  getchar();
  getchar();
  break;
/////////////////////////////
case 3:
{ for(int i=0;i<100;i++)
  for(j=0;j<100;j++)
    a[i][j]=0;
  for(i=0;i<30;i++)
  for(j=0;j<30;j++)
    a[i][j]=254;
}

```

```

for(i=0;i<100;i++)
for(j=0;j<100;j++)
putpixel(j+100,i,a[i][j]);
for(i=0;i<100;i++)
for(j=0;j<100;j++)
{ int t=gr[i][j];
int t1=a[i][j];
for(int i2=7;i2>=0;i2--)
{ g1[i2]=t%2;
t=t/2;
gr2[i2]=t1%2;
t1=t1/2;
}
for(int l=0;l<8;l++)
gr3[l]=g1[l]&gr2[l];
int c=2; z=7;l=0;int i1=0;
for(int j1=0;j1<8;j1++)
{ int t2=pow(c,z);z=z-1;
x2[j1]=t2*gr3[i1];
l=l+x2[j1];i1=i1+1;
}
if (l>254)
l=254;
b1[i][j]= l;
}
for(i=0;i<100;i++)
for(j=0;j<100;j++)
putpixel(j+100,i+100,b1[i][j]);
getchar();
getchar();
getchar();
}break;
///////////////
case 4:
{ int ii=0;int l;
int s=0;
for(i=0;i<99;i++)
for(j=0;j<99;j++)
{
for(int k=i;k<i+3;k++)
for(int l=j;l<j+3;l++)
{
s=s+gr[k][l]*mask1[ii];

```

```

    ii++;
}
a[i+1][j+1]=s;
s=0;
ii=0;
}
for(i=0;i<100;i++)
for(j=0;j<100;j++)
putpixel(j+100,i,a[i][j]);
}break;
///////////////////////////////
case 5:
{ int l,s;
for(i=0;i<99;i++)
for(j=0;j<99;j++)
{ int x=0;
for(int k=i;k<i+3;k++)
for(int l=j;l<j+3;l++)
{ ss[x]=gr[k][l];
x++;
}
for(int t1=0;t1<8;t1++)
{ for(int t2=t1+1;t2<9;t2++)
{ if(ss[t1]>ss[t2])
{ int o=ss[t1];
ss[t1]=ss[t2];
ss[t2]=o;
}
}
s=ss[4];
a[i][j]=s;
}
for(i=0;i<100;i++)
for(j=0;j<100;j++)
putpixel(j+110,i,a[i][j]);
}break;
///////////////////////////////
case 6:
{ int ii=0,int l;
int s=0;
for(i=0;i<99;i++)
for(j=0;j<99;j++)
{
for(int k=i;k<i+3;k++)

```

```

for(int l=j;l<j+3;l++)
{ if(ii==1||ii==3||ii==5||ii==7)
s=s+gr[k][l]*(0-mask[ii]);
else
s=s+gr[k][l]*mask[ii];
ii++;
}
a[i+1][j+1]=s;
s=0;
ii=0;
}
for(i=0;i<100;i++)
for(j=0;j<100;j++)
putpixel(j+100,i,a[i][j]);
}break;
///////////////////////////////
case 7:
{ int l;
int ss=0;
for(i=0;i<99;i++)
for(j=0;j<99;j++)
{ int x=0;
for(int k=i;k<i+2;k++)
for(int l=j;l<j+2;l++)
{ z1[x]=gr[k][l];
x++;
}
int s1=fabs(z1[2]-z1[1]);
int s2=fabs(z1[3]-z1[0]);
ss=s1+s2;
a[i+1][j+1]=ss;
ss=0;
}
for(i=0;i<100;i++)
for(j=0;j<100;j++)
putpixel(j+110,i,a[i][j]);
}break;
/////////////////////////////
case 8:
{ int z=0;
for(i=0;i<99;i++)
for(j=0;j<99;j++)
{

```

```

for(int k=i;k<i+3;k++)
for(int l=j;l<j+3;l++)
{ s=s+(gr[k][l]*mask11[z]);
x=x+(gr[k][l]*mask12[z]);
z++;
}
int ss=sqrt((s*s)+(x*x));
a[i+1][j+1]=ss;
s=0;z=0;x=0;ss=0;
}
for(i=0;i<100;i++)
for(j=0;j<100;j++)
putpixel(j+110,i,a[i][j]);
}break;
///////////////////////////////
case 9:
{ int z=0;
for(i=0;i<99;i++)
for(j=0;j<99;j++)
{
for(int k=i;k<i+3;k++)
for(int l=j;l<j+3;l++)
{ s=s+(gr[k][l]*n1[z]);
x=x+(gr[k][l]*n2[z]);
z++;
}
int ss=sqrt((s*s)+(x*x));
a[i+1][j+1]=ss;
s=0;z=0;x=0;ss=0;
}
for(i=0;i<100;i++)
for(j=0;j<100;j++)
putpixel(j+110,i,a[i][j]);
}break;
///////////////////////////////
case 10:
{ int s0=0;int s1=0;int s2=0;
int s3=0;int s4=0;int s5=0;
int s6=0;int s7=0;
int z=0;
for(i=0;i<99;i++)
for(j=0;j<99;j++)
{ z=0;

```

```

for(int k=i;k<i+3;k++)
for(int l=j;l<j+3;l++)
{
s0=s0+(gr[k][l]*10[z]);
s1=s1+(gr[k][l]*11[z]);
s2=s2+(gr[k][l]*12[z]);
s3=s3+(gr[k][l]*13[z]);
s4=s4+(gr[k][l]*14[z]);
s5=s5+(gr[k][l]*15[z]);
s6=s6+(gr[k][l]*16[z]);
s7=s7+(gr[k][l]*17[z]);
z++;
}
max[0]=s0;
max[1]=s1;
max[2]=s2;
max[3]=s3;
max[4]=s4;
max[5]=s5;
max[6]=s6;
max[7]=s7;
x=0;
for(int t=0;t<8;t++)
{if(max[t]>=x)
x=max[t];}
a[i+1][j+1]=x;
z=0;
s0=0; s1=0;
s2=0; s3=0; s4=0; s5=0;
s6=0; s7=0;
}
for(i=0;i<100;i++)
for(j=0;j<100;j++)
putpixel(j+110,i,a[i][j]);
}break;
///////////////
case 11:
{ int s0=0;
int s1=0;
int s2=0;
int s3=0;
int s4=0;
int s5=0;int s6=0;int s7=0;

```

```

int z=0;
for(i=0;i<99;i++)
for(j=0;j<99;j++)
{
z=0;
for(int k=i;k<i+3;k++)
for(int l=j;l<j+3;l++)
{
s0=s0+(gr[k][l]*f0[z]);
s1=s1+(gr[k][l]*f1[z]);
s2=s2+(gr[k][l]*f2[z]);
s3=s3+(gr[k][l]*f3[z]);
s4=s4+(gr[k][l]*f4[z]);
s5=s5+(gr[k][l]*f5[z]);
s6=s6+(gr[k][l]*f6[z]);
s7=s7+(gr[k][l]*f7[z]);
z++;
}
max[0]=s0;
max[1]=s1;
max[2]=s2;
max[3]=s3;
max[4]=s4;
max[5]=s5;
max[6]=s6;
max[7]=s7;
x=0;
for(int t=0;t<8;t++)
{if(max[t]>=x)
x=max[t];}
a[i+1][j+1]=x;
z=0;
s0=0; s1=0;
s2=0; s3=0; s4=0; s5=0;
s6=0; s7=0;
}
for(i=0;i<100;i++)
for(j=0;j<100;j++)
putpixel(j+110,i,a[i][j]);
}
/*////////////////////////////*/
case 12:
{int n=0;
for(int k1=0;k1<256;k1++)

```

```

{ n=0;
for (i=0;i<bmp.depth;i++)
for(j=0;j<bmp.width;j++)
if(gr[i][j]==k1)
    n=n+1;
g2[k1]=n;
}
for(i=0;i<258;i++)
{
    putpixel(258,i,111) ;
    putpixel(i,199,111);
}
for(k1=0;k1<255;k1++)
    for(int k=199;k>(199-g2[k1]);k--)
        putpixel(k1,k,k1+10);
}break;
/*************
case 13: /*prority for all image*/
{
closegraph();
pro();
} break;
/*************
case 14:
{ closegraph();
int s=0;
int m=bmp.depth*bmp.width;
for (i=0;i<bmp.depth;i++)
for(j=0;j<bmp.width;j++)
    s=s+gr[i][j];
float mean=s/m;
cout<<"mean:"<<mean;
} } /*break;
/************

closegraph();
}
/*************
void pro()
{float p[10000];
float c=0;
int m=bmp.depth*bmp.width;
for(int k1=0;k1<256;k1++)

```

```

{
for (i=0;i<bmp.depth;i++)
for(j=0;j<bmp.width;j++)
if(gr[i][j]==k1)
    n=n+1;
p[k1]=n/m;
c=c+p[k1];
cout<<"p["<<k1<<"]:"<<p[k1]<<" ";
}

cout <<"\n"<<c;
}

```

برنامج لإيجاد الھستوغرام

```

#include<alloc.h>
#include<graphics.h>
#include<dos.h>
#include<stdio.h>
#include<conio.h>
#include<stdlib.h>
#include<fcntl.h>
#include<string.h>
#include<float.h>
#include<iostream.h>
#include<math.h>
#include<stdio.h>
// process(int fr,int er,int fc,int ec);
typedef struct{
char id[2];
long filesize;
int reserved[2];
long headersize;
long infoSize;
long width;
long depth;
int biPlanes;
int bits;
long bicompression;
long biSizeImage;
long biXPelsPerMeter;
long biYPelsPerMeter;
long biClrUsed;

```

```

long biClrImportant;
}BMPHEAD;
/*********************************************************/
*****/
FILE *fp,*fn,*fd;
/*********************************************************/
*****/
int q,j,i=0,m,n,s,x,l,kl;
int gdriver,gmode;
unsigned char far
gr[100][100],gr1[100][100],gr2[100][100],gr3[200][200],c,kc;
unsigned char color[256][3];
BMPHEAD bmp;
int b[4];
float avr;
float w;
float s1;
int thre=3;
//int b[8];
int b1[8];
int hist[255];
static int r[9]={1,2,4,8,16,32,64};
static float mask[9]={0,1,0,0,1,0,0,-1,0};
static float mask24[9]={0.25,0.5,0.25,0.5,1,0.5,0.25,0.5,0.25};
static float mask11[4]={1,1,1,1};
static float mask1[9]={0,-1,0,-1,0,-1,0};
///////////////////////////////
int huge detectsvga(void)
{
return 0;
}
int matherr(struct exception *a)
{
if(a->type==DOMAIN)
if(!strcmp(a->name,"sqrt"))
a->retval=sqrt(-(a->arg1));
return 1;
}
/* return 0;
}
int matherr1 (struct exception *a)
{
if(a->type==DOMAIN)

```

```

if(!strcmp(a->name,"sqrt"))
a->retval=sqrt(-(a->argl));
return 1;
} */
void init_graph(void)
{
int i;
gdriver=installuserdriver("svga256",detectsvga);
//gdriver=DETECT;
//gmode=4;
initgraph(&gdriver,&gmode,"");
for(i=0;i<255;i++)
setrgbpalette(i,color[i][2],color[i][1],color[i][0]);
}
///////////repeat///////////
void repeet(unsigned char gr[100][100])
{
int n=100,m=100,k1;
init_graph();
k1=0;
for(i=0;i<n*2;i=i+2)
{
for(j=0;j<m;j++)
{
gr3[i][j]=gr[k1][j];
putpixel(j,i,gr3[i][j]);
gr3[i+1][j]=gr[k1][j];
putpixel(j,i+1,gr3[i][j]);
}k1=k1+1;
}getchar();
getchar();
}
///////////
void display(){
init_graph();
setcolor(100);
line(0,199,256,199);
line(0,199,256,199);
line(0,90,0,199);
line(256,90,256,199);
int max=hist[0];
for(i=1;i<255;i++)if(hist[i]>max)
max=hist[i];
}

```

```

int d;
d=max/100;
if(d<1)
d=1;
cout<<"scale of(y/d)axis="<<d;
setcolor(254);
for(i=0;i<255;i++)
line(i+1,199,i+1,199-(hist[i]/d));
getchar();
getchar();
}
void histogram()
{
init_graph();
for(i=0;i<255;i++)hist[i]=0;
for(i=0;i<bmp.depth;i++)
for(j=0;j<bmp.width;j++)
{
int x;
x=gr[i][j];
hist[x]++;
}
display();
}
//////////////////array/of /image///////////////////////////////
init_graph();
nw=4*((bmp.width+3)/4);
lw=(bmp.depth-1)*nw+1078;
for(i=0;i<=bmp.depth-1;i++)
{
fseek(fp,lw,0);
fread(bmp_line,nw,l,fp);
for(j=0;j<=bmp.width-1;j++)
{
gr[i][j]=bmp_line[j];
putpixel(j+120,i+30,bmp_line[j]);
}lw=lw-nw;
}
///////////////////////////////
fclose(fp);
getchar();
getchar();
closegraph();

```

```

getchar();
for(i=0;i<bmp.depth;i++)
for(j=0;j<bmp.width,j++)
putpixel(j,i,255-gr[i][j]);
getchar();
///////////////////////////////
// histogram
read(gr);
histogram();
closegraph();
//mean
s1=0.0;
//for(i=0;i<bmp.depth;i++)
float n=bmp.depth*bmp.width;
for(i=0;i<255;i++)
s1+=(hist[i]/(n)*i);
float mean=s1;
// float mean=(1/bmp.depth+bmp.width)*s;
cout<<"mean="<<endl;
//stander divation
s1=0.0;
for(int g=0;g<=255;g++)
s1+=(((g-mean)*(g-mean))*hist[g]/(n));
float sd=sqrt(s1);
/* for(i=0;i<bmp.depth;i++);
   for(j=0;j<bmp.width;j++)
   if(gr[i][j]==g)
   no++;
   float p=no/bmp.depth+bmp.width;
   s*=p;
 */
cout<<endl<<"sd="<<(sd);
}

```

برنامـج معالـجة المـنـاطـق الدـاخـلـية:

```

#include<iostream.h>
#include<math.h>
#include<alloc.h>
#include<graphics.h>
#include<dos.h>
#include<stdio.h>

```

```

#include<conio.h>
#include<stdlib.h>
#include<fcntl.h>
#include<string.h>
#include<io.h>
#include<float.h>
typedef struct{
char id[2];
long filesize;
int reseued[2];
long headersize;
long infosize;
long width;
long depth;
int biplanes;
int bits;
long bicompression;
long bisizeimage;
long bixpelspermeter;
long biypelspermeter;
long biclrused;
long biclriimportant;
}
bmphead;
/*************
FILE *fp,*fn,*fd,*ff;
/*************
int compute(int);
int q,i=0,j=0,m,n,s,x1,y1;
int gdriver,gmode;
unsigned char far gr[100][100],gr1[100][100];
unsigned char far a[100][100];
unsigned char far a1[100][200],a2[200][200];
unsigned char far n1[100][100];
unsigned char color[256][3];
unsigned char far b1[200][200];
    unsigned char far b2[205][205];
    unsigned char far b3[200][200];
float mask1[9]={0.25,0.5,0.25,0.5,1,0.5,0.25,0.5,0.25};
bmphead bmp;
float mask[3][3];
/*int k=0;
for(int ii=0;ii<3;ii++)

```

```

{for(int jj=0;jj<3;jj++)
mask[ii][jj]=mask1[k];k++;}*/
///////////////////////////////
int detectsvga(void)
{return 0;
}
void init_graph(void)
{int i;
gdriver=installuserdriver("svga256",detectsvga);
//gdriver=detect;
//gmode=4;
initgraph(&gdriver,&gmode,"");
for(i=0;i<255;i++)
setrgbpalette(i,color[i][2],color[i][1],color[i][0]);
}
int compute(int x1)
{int x[9];
for(i=0;i<8;i++)
{x[i]=x1%2;
x1=x1/2;
}
for(i=0;i<8;i++)
{if(x[i]==0)
x[i]=1 ;
if (x[i]==1)
x[i]=0;
}
int s=0;
int j=7;
for(i=0;i<8;i++)
{int l=pow(2,j);
s=s+(l*x[i]);
j--;
}
return s;
}
/////////////////////////////
void main()
{clrscr();
int no;
char c1,c2,c3,c4;
char bmp_line[1024],file_name[25],file_name1[25];
long lw,nw;

```

```

float n,x;
clrscr();
printf("enter file name to be loaded >>  ");
scanf("%s",file_name);
fp=fopen(file_name,"rb");
fread(&bmp,1,sizeof(bmphead),fp);

for(i=0;i< 255;++i)
{c1=fgetc(fp);
 c1=c1>>2;
 color[i][0]=c1;
 c2=fgetc(fp);
 c2=c2>>2;
 color[i][1]=c2;
 c3=fgetc(fp);
 c3=c3>>2;
 color[i][2]=c3;
 fgetc(fp);
}
printf("enter file name to be loaded >>  ");
scanf("%s",file_name1);
cout<<"#####<<"\n";
cout<<"*****<<"\n";
cout<<"1-cut[1]"<<"\n";
cout<<"2-cut[2]"<<"\n";
cout<<"3-cut[3]"<<"\n";
cout<<"4-cut[4]"<<"\n";
cout<<"5-zoero order zooming"<<"\n";
cout<<"6-average zooming"<<"\n";
cout<<"7-first convolution"<<"\n";
cout<<"8-general zomming"<<"\n";
cout<<"9-add"<<"\n";
cout<<"10-sub"<<"\n";
cout<<"11-mult"<<"\n";
cout<<"12-div"<<"\n";
cout<<"13-and"<<"\n";
cout<<"14-or"<<"\n";
cout<<"15-not"<<"\n";
cout<<"*****<<"\n";
cout<<"#####<<"\n";
cout<<"****inter yout selection***  ";
cin>>no;
////////////array/of/image///////////

```

```

void d();
{int r=99;
/*unsigned char far*/
cout<<r;
}
long int x1,y1;
init_graph();
nw=4*((bmp.width+3)/4);
lw=(bmp.depth-1)*nw+1078;
for(i=0;i<=bmp.depth-1;i++)
{ fseek(fp,lw,0);
fread(bmp_line,nw,1,fp);
for(j=0;j<=bmp.width-1;j++)
{ gr[i][j]=bmp_line[j];
putpixel(j,i,bmp_line[j]);
}
lw=lw-nw;
}
getchar();
switch(no)
{ case 1:
for(i=0;i<50;i++)
for(j=0;j<50;j++)
{ gr1[i][j]=gr[i][j];
putpixel(j+110,i+100,gr1[i][j]);
}break;
///////////
case 2:
for(i=0;i<50;i++)
for(j=50;j<=100;j++)
{ gr1[i][j]=gr[i][j];
putpixel(j+110,i+100,gr1[i][j]);
}break;
///////////
case 3:
for(i=50;i<=100;i++)
for(j=0;j<50;j++)
{ gr1[i][j]=gr[i][j];
putpixel(j+110,i+100,gr1[i][j]);
}break;
///////////
case 4:
for(i=50;i<=100;i++)

```

```

for(j=50;j<=100;j++)
{ gr1[i][j]=gr[i][j];
putpixel(j+110,i+100,gr1[i][j]);
}break;
///////////////////////
case 5:
{for(i=0;i<=bmp.depth;i++)
{x1=0;
for(j=0;j<=bmp.width;j++)
{a1[i][x1]=gr[i][j];
x1++;
a1[i][x1]=gr[i][j];
x1++;
}
for(i=0;i<=2*bmp.depth;i++)
{y1=0;
for(j=0;j<=bmp.width;j++)
{a2[y1][i]=a1[j][i];
y1++;
a2[y1][i]=a1[j][i];
y1++;}}
for(i=0;i<=2*bmp.depth;i++)
for(j=0;j<=2*bmp.width;j++)
putpixel(j+101,i,a2[i][j]);
}break;
///////////////////////
case 6:
{for(i=0;i<=bmp.depth;i++)
{x1=0;
for(j=0;j<=bmp.width;j++)
{a1[i][x1]=gr[i][j];
x1++;
a1[i][x1]=(gr[i][j]+gr[i][j+1])/2;
x1++;
}
for(i=0;i<=2*bmp.depth;i++)
{y1=0;
for(j=0;j<=bmp.width;j++)
{a2[y1][i]=a1[j][i];
y1++;
a2[y1][i]=(a1[j][i]+a1[j+1][i])/2;
y1++;}}
for(i=0;i<=2*bmp.depth;i++)

```

```

for(j=0;j<=2*bmp.width;j++)
putpixel(j+101,i,a2[i][j]);
}break;
///////////////
case 7:
{int ii=0;

for(i=0;i<100;i++)
{for(j=0;j<100;j++)
b1[ii][j]=0;
ii++;
for(j=0;j<100;j++)
b1[ii][j]=gr[i][j];
ii++;
}
for(j=0;j<100;j++)
b1[ii][j];
int jj=0;
for(j=0;j<100;j++)
{for(i=0;i<201;i++)
b2[i][jj]=0;
jj++;
for(j=0;j<201;j++)
b2[i][jj]=b1[i][j];
jj++;
}
ii=0;
int s=0;int k,l;
for(i=0;i<199;i++)
for(j=0;j<199;j++)
{for(k=i;k<i+3;k++)
for(l=j;l<j+3;l++)
{s=s+(b2[k][l]*mask1[ii]);
i++;
}
b3[i][j]=s;
ii=0; s=0;
}
for(i=0;i<199;i++)
for(j=0;j<199;j++)
putpixel(j+150,i,b3[i][j]);
}break;
/////////////

```

```

case 15:
{for(i=0;i<100;i++)
 for(j=0;j<100;j++)
 {int l=compute(gr[i][j]);
 n1[i][j]=l;
 putpixel(j+100,i,n1[i][j]);
 }
 }
fclose(fp);
ff=fopen(file_name1,"rb");
fread(&bmp,1,sizeof(bmphead),ff);

for(i=0;i< 255;++i)
 {c1=fgetc(ff);
 c1=c1>>2;
 color[i][0]=c1;
 c2=fgetc(ff);
 c2=c2>>2;
 color[i][1]=c2;
 c3=fgetc(ff);
 c3=c3>>2;
 color[i][2]=c3;
 fgetc(ff);
 }
 nw=4*((bmp.width+3)/4);
lw=(bmp.depth-1)*nw+1078;
for(i=0;i<=bmp.depth-1;i++)
{ fseek(ff,lw,0);
 fread(bmp_line,nw,1,ff);
 for(j=0;j<=bmp.width-1;j++)
 {a[i][j]=bmp_line[j];
 putpixel(j,i,bmp_line[j]);
 }
 lw=lw-nw;
}
//histogram();
getchar();
getchar();
closegraph();
}
//return(0);
///////////////

```

برنامه لاستخدام : mean filter

```
#include<iostream.h>
#include<math.h>
#include<alloc.h>
#include<graphics.h>
#include<dos.h>
#include<stdio.h>
#include<conio.h>
#include<stdlib.h>
#include<fcntl.h>
#include<string.h>
#include<io.h>
#include<float.h>
typedef struct{
char id[2];
long filesize;
int reseued[2];
long headersize;
long infosize;
long width;
long depth;
int biplanes;
int bits;
long bicompression;
long bisizeimage;
long bixpelspermeter;
long biypelspermeter;
long biclrused;
long biclriimportant;
}
bmphead;
/***************/
FILE *fp,*fn,*fd;
/***************/
int q,i=0,j=0,m,n,s,x1,y1;
int gdriver,gmode;
unsigned char far gr[100][100],a[100][100];
float mask[9]={0.1,0.1,0.1,0.1,0.1,0.1,0.1,0.1,0.1};
unsigned char color[256][3];
bmphead bmp;
///////////
int detectsvga(void)
```

```

{return 0;
}
void init_graph(void)
{int i;
gdriver=installuserdriver("svga256",detectsvga);
//gdriver=detect;
//gmode=4;
initgraph(&gdriver,&gmode,"");
for(i=0;i<255;i++)
setrgbpalette(i,color[i][2],color[i][1],color[i][0]);
}
///////////////
void main()
{clrscr();
char c1,c2,c3,c4;
char bmp_line[1024],file_name[25];
long lw,nw;
float n,x;
clrscr();
printf("enter file name to be loaded >>  ");
scanf("%s",file_name);
fp=fopen(file_name,"rb");
fread(&bmp,1,sizeof(bmphead),fp);

for(i=0;i< 255;++i)
{c1=fgetc(fp);
c1=c1>>2;
color[i][0]=c1;
c2=fgetc(fp);
c2=c2>>2;
color[i][1]=c2;
c3=fgetc(fp);
c3=c3>>2;
color[i][2]=c3;
fgetc(fp);
}
////////////array/of/image///////////
int x1,y1;
init_graph();
nw=4*((bmp.width+3)/4);
lw=(bmp.depth-1)*nw+1078;
for(i=0;i<=bmp.depth-1;i++)
{ fseek(fp,lw,0);

```

```

fread(bmp_line,nw,1,fp);
for(j=0;j<=bmp.width-1;j++)
{ gr[i][j]=bmp_line[j];
putpixel(j,i,bmp_line[j]);
}
lw=lw-nw;
}
int ii=0,int l;
int s=0;
for(i=0;i<99;i++)
for(j=0;j<99;j++)
{
for(int k=i;k<i+3;k++)
for(int l=j;l<j+3;l++)
{
s=s+gr[k][l]*mask[ii];
ii++;
}
a[i+1][j+1]=s;
s=0;
ii=0;
}
for(i=0;i<100;i++)
for(j=0;j<100;j++)
putpixel(j+100,i,a[i][j]);
fclose(fp);
//histogram();
getchar();
getchar();
getchar();
closegraph();
}
//return(0);
///////////

```

: prewit filter مرشح برنامه

```

#include<math.h>
#include<iostream.h>
#include<alloc.h>
#include<graphics.h>
#include<dos.h>

```

```

#include<stdio.h>
#include<conio.h>
#include<stdlib.h>
#include<fcntl.h>
#include<string.h>
#include<io.h>
#include<float.h>
typedef struct{
char id[2];
long filesize;
int reseued[2];
long headersize;
long infosize;
long width;
long depth;
int biplanes;
int bits;
long bicompression;
long bisizeimage;
long bixpelspermeter;
long biypelspermeter;
long biclrused;
long biclriimportant;
}
bmphead;
/*************
FILE *fp,*fn,*fd;
/*************
int q,i=0,j=0,m,n,x1,y1;
int gdriver,gmode;
int s;
unsigned char far gr[100][100],a[100][100];
int mask1[9]={(-1,-1,-1),(0,0,0),(1,1,1)};
int mask2[9]={(-1,-1,-1),(0,0,0),(1,1,1)};
unsigned char color[256][3];
bmphead bmp;
///////////
int detectsvga(void)
{return 0;
}
void init_graph(void)
{int i;
gdriver=installuserdriver("svga256",detectsvga);

```

```

//gdriver=detect;
//gmode=4;
initgraph(&gdriver,&gmode,"");
for(i=0;i<255;i++)
setrgbpalette(i,color[i][2],color[i][1],color[i][0]);
}
///////////////
void main()
{clrscr();
char c1,c2,c3,c4;
char bmp_line[1024],file_name[25];
long lw,nw;
float n,x;
clrscr();
printf("enter file name to be loaded >>  ");
scanf("%s",file_name);
fp=fopen(file_name,"rb");
fread(&bmp,1,sizeof(bmphead),fp);

for(i=0;i< 255;++i)
{c1=fgetc(fp);
c1=c1>>2;
color[i][0]=c1;
c2=fgetc(fp);
c2=c2>>2;
color[i][1]=c2;
c3=fgetc(fp);
c3=c3>>2;
color[i][2]=c3;
fgetc(fp);
}

////////////array/of/image///////////
int x1,y1;
init_graph();
nw=4*((bmp.width+3)/4);
lw=(bmp.depth-1)*nw+1078;
for(i=0;i<=bmp.depth-1;i++)
{ fseek(fp,lw,0);
fread(bmp_line,nw,1,fp);
for(j=0;j<=bmp.width-1;j++)
{ gr[i][j]=bmp_line[j];
putpixel(j,i,bmp_line[j]);
}
}

```

```

lw=lw-nw;
}
int z=0;
for(i=0;i<99;i++)
for(j=0;j<99;j++)
{
for(int k=i;k<i+3;k++)
for(int l=j;l<j+3;l++)
{s=s+(gr[k][l]*mask1[z]);
x=x+(gr[k][l]*mask2[z]);
z++;
}
int ss=sqrt((s*s)+(x*x));
a[i+1][j+1]=ss;
s=0;z=0;x=0;ss=0;
}
for(i=0;i<100;i++)
for(j=0;j<100;j++)
putpixel(j+110,i,a[i][j]);
fclose(fp);
//histogram();
getchar();
getchar();
getchar();
closegraph();
}
//return(0);
///////////

```

برنامه مرشح : robert1

```

#include<iostream.h>
#include<math.h>
#include<alloc.h>
#include<graphics.h>
#include<dos.h>
#include<stdio.h>
#include<conio.h>
#include<stdlib.h>
#include<fcntl.h>
#include<string.h>

```

```

#include<io.h>
#include<float.h>
#include<math.h>
typedef struct{
char id[2];
long filesize;
int reseued[2];
long headersize;
long infosize;
long width;
long depth;
int biplanes;
int bits;
long bicompression;
long bisizeimage;
long bixpelspermeter;
long biypelspermeter;
long biclrused;
long biclriimportant;
}
bmphead;
/*************
FILE *fp,*fn,*fd;
/*************
int q,i=0,j=0,m,n,s,x1,y1;
int gdriver,gmode;
unsigned char far gr[100][100],a[100][100];
unsigned char far z[4];
unsigned char color[256][3];
bmphead bmp;
///////////
int detectsvga(void)
{return 0;
}
void init_graph(void)
{int i;
gdriver=installuserdriver("svga256",detectsvga);
//gdriver=detect;
//gmode=4;
initgraph(&gdriver,&gmode,"");
for(i=0;i<255;i++)
setrgbpalette(i,color[i][2],color[i][1],color[i][0]);
}

```

```

///////////
void main()
{clrscr();
char c1,c2,c3,c4;
char bmp_line[1024],file_name[25];
long lw,nw;
float n,x;
clrscr();
printf("enter file name to be loaded >>  ");
scanf("%s",file_name);
fp=fopen(file_name,"rb");
fread(&bmp,1,sizeof(bmphead),fp);

for(i=0;i< 255;++i)
{c1=fgetc(fp);
c1=c1>>2;
color[i][0]=c1;
c2=fgetc(fp);
c2=c2>>2;
color[i][1]=c2;
c3=fgetc(fp);
c3=c3>>2;
color[i][2]=c3;
fgetc(fp);
}
//////////array/of/image///////////
int x1,y1;
init_graph();
nw=4*((bmp.width+3)/4);
lw=(bmp.depth-1)*nw+1078;
for(i=0;i<=bmp.depth-1;i++)
{ fseek(fp,lw,0);
fread(bmp_line,nw,1,fp);
for(j=0;j<=bmp.width-1;j++)
{ gr[i][j]=bmp_line[j];
putpixel(j,i,bmp_line[j]);
}
lw=lw-nw;
}
int l;
int ss=0;
for(i=0;i<99;i++)
for(j=0;j<99;j++)

```

```

{int x=0;
for(int k=i;k<i+2;k++)
for(int l=j;l<j+2;l++)
{z[x]=gr[k][l];
x++;
}
int s1=fabs(z[2]-z[1]);
int s2=fabs(z[3]-z[0]);
ss=s1+s2;
a[i+1][j+1]=ss;
ss=0;
}
for(i=0;i<100;i++)
for(j=0;j<100;j++)
putpixel(j+110,i,a[i][j]);
fclose(fp);
//histogram();
getchar();
getchar();
getchar();
closegraph();
}
//return(0);
///////////////

```

: Robert مرشح برنامج

```

#include<iostream.h>
#include<math.h>
#include<alloc.h>
#include<graphics.h>
#include<dos.h>
#include<stdio.h>
#include<conio.h>
#include<stdlib.h>
#include<fcntl.h>
#include<string.h>
#include<io.h>
#include<float.h>
#include<math.h>
typedef struct{
char id[2];

```

```

long filesize;
int reseued[2];
long headersize;
long infosize;
long width;
long depth;
int biplanes;
int bits;
long bicompression;
long bisizeimage;
long bixpelspermeter;
long biypelspermeter;
long biclrused;
long biclriimportant;
}
bmphead;
/*************
FILE *fp,*fn,*fd;
/*************
int q,i=0,j=0,m,n,s,x1,y1;
int gdriver,gmode;
unsigned char far gr[100][100],a[100][100];
unsigned char far z[4];
unsigned char color[256][3];
bmphead bmp;
///////////
int detectsvga(void)
{return 0;
}
void init_graph(void)
{int i;
gdriver=installuserdriver("svga256",detectsvga);
//gdriver=detect;
//gmode=4;
initgraph(&gdriver,&gmode,"");
for(i=0;i<255;i++)
setrgbpalette(i,color[i][2],color[i][1],color[i][0]);
}
///////////
void main()
{clrscr();
char c1,c2,c3,c4;
char bmp_line[1024],file_name[25];

```

```

long lw,nw;
float n,x;
clrscr();
printf("enter file name to be loaded >>  ");
scanf("%s",file_name);
fp=fopen(file_name,"rb");
fread(&bmp,1,sizeof(bmphead),fp);

for(i=0;i< 255;++i)
{c1=fgetc(fp);
 c1=c1>>2;
 color[i][0]=c1;
 c2=fgetc(fp);
 c2=c2>>2;
 color[i][1]=c2;
 c3=fgetc(fp);
 c3=c3>>2;
 color[i][2]=c3;
 fgetc(fp);
}
////////////////array/of/image///////////////////
int x1,y1;
init_graph();
nw=4*((bmp.width+3)/4);
lw=(bmp.depth-1)*nw+1078;
for(i=0;i<=bmp.depth-1;i++)
{ fseek(fp,lw,0);
 fread(bmp_line,nw,1,fp);
 for(j=0;j<=bmp.width-1;j++)
 { gr[i][j]=bmp_line[j];
 putpixel(j,i,bmp_line[j]);
 }
 lw=lw-nw;
}
int l;
int ss=0;
for(i=0;i<99;i++)
for(j=0;j<99;j++)
{ int x=0;
for(int k=i;k<i+2;k++)
for(int l=j;l<j+2;l++)
{ z[x]=gr[k][l];
 x++;
}
}

```

```
    }
int s1=fabs(z[2]-z[1]);
int s2=fab(z[3]-z[0]);
ss=s1+s2;
a[i+1][j+n]=ss;
ss=0;
}
for(i=0;i<100;i++)
for(j=0;j<100;j++)
putpixel(j+100,i,a[i][j]);
fclose(fp);
//histogram();
getchar();
getchar();
getchar();
closegraph();
}
//return(0);
///////////////
```

References:

- on, D. J. Schneberk, M. F. Skeate (1990). Geometric Effects in Tomographic Reconstruction. Lawrence Livermore National Laboratory Rep. UCRL-ID-105130.
- M. F. Barnsley, L. P. Hurd (1993). Fractal Image Compression. Peters, Wellesley, MA.
- G. Bertrand, J-C. Everat, M. Couprie (1997). Image segmentation through operators based on topology. *J. Electron. Imaging* 6(4):395-405.
- M. A. Bassiouni, N. Tzannes, M. Tzannes (1993). High-fidelity integrated lossless/lossy compression and reconstruction of images. *Opt. Eng.* 32(8):1848-1853.
- F. R. Boddeke, L. J. van Vliet, H. Netten, I. T. Young (1994). Autofocusing in microscopy based on the OTF and sampling. *Bioimaging* 2:193-203.
- D. S. Bright, D. E. Newbury, E. B. Steel (1998). Visibility of objects in computer simulations of noisy micrographs. *J. Microsc.* 189(1):25-42.
- W. A. Carrington (1990). Image restoration in 3D microscopy with limited data, in *Bioimaging and Two Dimensional Spectroscopy*, Proc. SPIE, Vol. 1205 (L. C. Smith, Ed.), 72-83.
- .
- P. Chieco, A. Jonker, C. Melchiorri, G. Vanni, C. J. F. van Noorden (1994). A user's guide for avoiding errors in absorbance image cytometry. *Histochem. J.* 26:1-19.
- C. K. Chui (1992). An Introduction to Wavelets. Academic Press, London.
- J. Cookson (1994). Three-Dimensional Reconstruction in Microscopy. *Proc. R. Microsc. Soc.* 29(1) Jan., 1994, pp. 3-10.

D. M. Coppola, H. R. Purves, A. N. McCoy, D. Purves (1998). The distribution of oriented contours in the real world. Proc. Natl. Acad. Sci. 95:4002-4006.

D. G. Daut, D. Zhao, J. Wu (1993). Double predictor differential pulse coded modulation algorithm for image data compression. Opt. Eng. 32(7):1514-1523.

J. Davidson (1991). Thinning and skeletonization: a tutorial and overview, in Digital Image Processing: Fundamentals and Applications (E. Dougherty, Ed.). Marcel Dekker, New York.

D. DeMandolx, J. Davoust (1997). Multicolor analysis and local image correlation in confocal microscopy. J. Microsc. 185: 21-36.

G. Diaz, D. Quacci, C. Dell'Orbo (1990). Recognition of cell surface modulation by elliptic Fourier analysis. Comput. Methods Programs Biomed. 31: 57-62.

M. Dietzsch, K. Papenfuss, T. Hartmann (1997). The MOTIF method (ISO 12085) — a suitable description for functional manufactual and metrological requirements, in 7th Int. Conf. Metrol. Prop. Eng. Surf. (B. G. Rosen, R. J. Crafoord, Eds.), Chalmers Univ., Göteborg, Sweden, pp. 231-238.

E. R. Dougherty, J. Astola (1994). An Introduction to Nonlinear Image Processing. SPIE, Bellingham, WA.

M. W. Mitchell, D. A. Bonnell (1990). Quantitative topographic analysis of fractal surfaces by scanning tunneling microscopy. J. Mat. Res. 5(10):2244-2254.

J. R. Monck, A. F. Oberhauser, T. J. Keating, J. M. Hernandez (1992). Thin-section ratiometric Ca²⁺ images obtained by optical sectioning of Fura-2 loaded mast cells. J. Cell Biol. 116:745-759.

R. B. Mott (1995). Position-tagged spectrometry, a new approach for EDS spectrum imaging. Proc. Microsc. Microanal., p. 595.

Jones and Begall, NY.

K. S. Nathan, J. C. Curlander (1990). Reducing speckle in onelook SAR images. NASA Tech. Briefs, Feb:70.

W. Niblack (Ed.) (1993). Storage and retrieval for image and video databases. SPIE Proc., Vol. 1908.

A. Nicoulin, M. Mattavelli, W. Li, M. Kunt (1993). Subband image coding using jointly localized filter banks and entropy coding based on vector quantization. Opt. Eng. 32(7):1430-1450.

K. Oistämö, Y. Neuvo (1990). Vector median operations for color image processing. Nonlinear Image Processing (E. J. Delp, Ed.). SPIE Proc. 1247:2-12

C. K. Olsson (1993). Image Processing Methods in Materials Science. Ph. D. Thesis, Technical University of Denmark, Lyngby, Denmark.

W. K. Pratt (1991). Digital Image Processing, Second Ed. Wiley, New York.

T. Prettyman, R. Gardner, J. Russ, K. Verghese (1991). On the performance of a combined transmission and scattering approach to industrial computed tomography. Advances in X-Ray Analysis, Vol. 35. Plenum Press, New York.

C. F. Quate (1994). The AFM as a tool for surface imaging. Surf. Sci. (Netherlands) 299-300, 980-95.

M. G. Reed, C. V. Howard, C. G. Shelton (1997). Confocal imaging and second-order stereological analysis of a liquid foam. J. Microsc. 185(3):313-320.

M. G. Reed, C. V. Howard (1997). Edge corrected estimates of the nearest neighbor function for three-dimensional point patterns. J. Microsc. (in press).

M. G. Reed, C. V. Howard (1998). Unbiased Stereology. Bios Scientific Pub., Oxford.

A. A. Reeves, Optimized Fast Hartley Transform with Applications in Image Processing, Thesis, Dartmouth University, March 1990.

G. X. Ritter, J. N. Wilson (1996). Handbook of Computer Vision Algorithms in Image Algebra. CRC Press, Boca Raton, FL.

B. G. Rosen, R. J. Crafoord, (Eds.) (1997). Metrology and Properties of Engineering Surfaces. Chalmers University, Göteborg Sweden.

J. C. Russ (1991). Multiband thresholding of images. *J. Comput. Assist. Microsc.* 3(2):77-96.

J. C. Russ (1993). JPEG Image Compression and Image Analysis. *J. Comput. Assist. Microsc.* 5(3):237-244.

J. C. Russ (1993). Method and application for ANDing features in binary images. *J. Comput. Assist. Microsc.* 5(4):265-272.

J. C. Russ (1995). Thresholding images. *J. Comput. Assist. Microsc.* 7(3):41-164.

J. C. Russ (1995). Designing kernels for image filtering. *J. Comput. Assist. Microsc.* 7(4):179-190.

J. C. Russ (1995). Optimal greyscale images. *J. Comput. Assist. Microsc.* 7(4):221-234.

J. C. Russ (1995f). Segmenting touching hollow features. *J. Comput. Assist. Microsc.* 7(4):253-261.

J. C. Russ (1997). Fractal dimension measurement of engineering surfaces, in 7th Int. Conf. Metrol. Prop. Eng. Surf. (B. G. Rosen, R. J. Crafoord, Eds.), Chalmers University, Göteborg, Sweden, 170-174.

B. D. Smith (1990). Cone-beam tomography: recent advances and a tutorial review. *SPIE Opt. Eng.* 29:5.

D. L. Snyder, T. J. Schutz, J. A. O'Sullivan (1992). Deblurring subject to nonnegative constraints. IEEE Trans. Signal Process. 40:1143-1150.

S. Srinivasan, J. C. Russ, R. O. Scattergood (1990). Fractal analysis of erosion surfaces. J. Mat. Res. 5(11):2616-2619.

J. A. Stark, W. J. Fitzgerald (1996). An alternative algorithm for adaptive histogram equalization. Comput. Vis. Graph. Image Process. 56(2):180-185.

J. A. Storer (1992). Image and Text Compression. Kluwer Academic Publishers, New York.

R. E. Swing (1997). An Introduction to Microdensitometry. SPIE Press, Bellingham, WA.

J. G. Verly, R. L. Delanoy (1993). Some principles and applications of adaptive mathematical morphology for range imagery. Opt. Eng. 32(12):3295-3306.

H. Verschueren, B. Houben, J. De Braekeleer, J. De Wit, D. Roggen, P. De Baetselier (1993). Methods for computer assisted analysis of lymphoid cell shape and motility, including Fourier analysis of cell outlines. J. Immunol. Methods 163: 99-113.

J. S. Villarrubia (1994). Morphological estimation of tip geometry for scanned probe microscopy. Surf. Sci. 321:287-300.

J. S. Villarrubia (1996). Scanned probe microscope tip characterization without calibrated tip characterizers. J. Vac. Sci. Technol. B14:1518-1521.

G. Wang, T. H. Lin, P. C. Cheng, D. M. Shinozaki, H. Kim (1991). Scanning cone-beam reconstruction algorithms for X-ray microtomography. SPIE Scanning Microsc. Instrument. 1556:99.

A. Wen, C. Lu (1993). Hybrid vector quantization. Opt. Eng. 32(7):1496-1502.

D. J. Whitehouse (1994). Precision — The Handbook of Surface Metrology. Institute of Physics Publishing, Bristol.

H. K. Wickramasinghe (1991). Scanned probes old and new. AIP Conf. Proc. (USA), 9-22.

Z. Wang (1990). Principles of Photogrammetry (with Remote Sensing). Press of Wuhan Technical University of Surveying and Mapping, Beijing.

G. Wolf (1991). Usage of global information and a priori knowledge for object isolation. Proc. 8th Int. Congr. Stereol., Irvine, CA, 56.

S. H. Wong, S. F. Yau (1998). Linear neural network for the solution of limited angle problems in computer-aided tomography. *J. Electron. Imaging* 7(1):70-78.

B. P. Wrobel (1991). Least-squares methods for surface reconstruction from images. *ISPRS J. Photogramm. Remote Sensing*, 46:67-84.

S. Wu, A. Gersho (1993). Lapped vector quantization of images. *Opt. Eng.* 32(7):1489-1495.

R. W. Young, N. G. Kingsbury (1993). Video compression using lapped transforms for motion estimation/compensation and coding. *Opt. Eng.* 32(7):1451-1463.

X. Zhou, E. Dorrer (1994). An automatic image matching algorithm based on wavelet decomposition, *ISPRS Int. Arch. Photogramm. Remote Sensing* 30(3/2):951-960.

رقم الإيداع في دار الكتب والوثائق الوظيفية بغداد (١٠٥٢) لسنة ٢٠٠٨